

საქართველოს მეცნიერებათა ეროვნული აკადემიის გაცე  
PROCEEDINGS OF THE GEORGIAN NATIONAL ACADEMY OF SCIENCES  
ИЗВЕСТИЯ НАЦИОНАЛЬНОЙ АКАДЕМИИ НАУК ГРУЗИИ

ეითის სერია

**CHEMICAL SERIES**

**СЕРИЯ ХИМИЧЕСКАЯ**

**ISSN – 0132 – 6074**

**2012 № 2 – 3**

გოდი  
Volume 38  
Том

**თბილისი – TBILISI – ТБИЛИСИ**

საქართველოს მეცნიერებათა ეროვნული აკადემიის გაცემ  
PROCEEDINGS OF THE GEORGIAN NATIONAL ACADEMY OF SCIENCES  
ИЗВЕСТИЯ НАЦИОНАЛЬНОЙ АКАДЕМИИ НАУК ГРУЗИИ

გ08001 ს0002

**CHEMICAL SERIES**

**СЕРИЯ ХИМИЧЕСКАЯ**

**ISSN – 0132 – 6074**

გოდი  
2012 № 2 – 3      Volume 38  
Том

თბილისი – TBILISI – ТБИЛИСИ

საქართველოს მეცნიერებათა ეროვნული აკადემიის გაცე  
PROCEEDINGS OF THE GEORGIAN NATIONAL ACADEMY OF SCIENCES  
ИЗВЕСТИЯ НАЦИОНАЛЬНОЙ АКАДЕМИИ НАУК ГРУЗИИ

ქიმიის სერია  
**CHEMICAL SERIES**  
**СЕРИЯ ХИМИЧЕСКАЯ**

---

**ISSN – 0132 – 6074**

ტომი  
Volume      **38 № 2 – 3**  
Том

ქურნალი დაარსდა 1975 წელს  
The Journal is founded in 1975  
Журнал основан в 1975 году

წელიწადში 4 ნომერი  
4 numbers annually  
4 номера в год

0304060 – TBILISI – ТБИЛИСИ

2012

## სარედაქციო კოლეგია

თ.ანდრონიკაშვილი, ი.ჯორდანია, ი.რუეილო (პოლონეთი), შ.სამსონია, ე.ქემერტელიძე, გ.ცინცაძე, გ.ციციშვილი, ვ.ციციშვილი (რედაქტორი), გ.ჯაფარიძე., თ.აგლაძე, ა.ბაკურიძე, ზ.ფაჩულია

საქართველოს მეცნიერებათა ეროვნული აკადემია, ქიმიისა და ქიმიური ტექნოლოგიების განყოფილება  
თბილისი, რუსთაველის გამზირი 52

პასუხისმგებელი მდივანი რ.ციცარიშვილი, მდივანი ქ.ებრალიძე  
პეტრე მელიქიშვილის ფიზიკური და ორგანული ქიმიის ინსტიტუტი  
0186 თბილისი, პოლიტკოვსკაიას ქ. № 5; ტელ. 254-15-62; ელ.ფოსტა: chematsne@posta.ge  
უკრნალის ელექტრონული ვერსია (ტომი 33, № 1-დან) იხილეთ ვებ-გვერდზე: [www.ipoc.org.ge](http://www.ipoc.org.ge)  
სტატიების რეფერატებს აქვეყნებს Chemical Abstracts\* და საქართველოს რეფერატული ჟურნალი\*\*

## EDITORIAL BOARD

T.Andronikashvili, K.Japaridze, E.Kemertelidze, I.Jordania, Jan K.Rózylo (Poland),  
Sh.Samsoniya, G.Tsintsadze, G.Tsitsishvili, V.Tsitsishvili (Editor), T.Agladze, A.Bakuridze,  
Z.Pachulia

Georgian National Academy of Sciences, Department of Chemistry and Chemical Technologies  
52 Rustaveli av., Tbilisi

Executive Secretary R.Tsiskarishvili, K.Ebralidze

Petre Melikishvili Institute of Physical and Organic Chemistry

5 Politkovskaia str., Tbilisi 0186; tel.: 254-15-62; e-mail: chematsne@posta.ge

Digital version of Proceedings (from volume 33, No 1) see at web-site [www.ipoc.org.ge](http://www.ipoc.org.ge)  
Abstracts of articles are published in Chemical Abstracts\* and Georgian Abstracts Journal\*\*.

## РЕДАКЦИОННАЯ КОЛЛЕГИЯ

Т.Г.Андроникашвили, К.Г.Джапаридзе, И.С.Жордания, Э.П.Кемертелидзе, Я.К.Ружило  
(Польша), Ш.А.Самсония, Г.В.Цинцадзе, Г.В.Цицишвили, В.Г.Цицишвили (редактор),  
Т.Р.Агладзе, А.Дж.Бакуридзе, З.В.Пачулия

Национальная Академия наук Грузии, Отделение химии и химических технологий  
Тбилиси, проспект Руставели 52

Ответственный секретарь Р.П.Цискаришвили, секретарь К.Г.Эбралидзе

Институт физической и органической химии им. П.Г.Меликишвили

0186 Тбилиси, ул. А.Политковской 5; тел. 254-15-62; эл.почта: chematsne@posta.ge

Электронную версию журнала (начиная с тома 33, № 1) смотрите на веб-сайте [www.ipoc.org.ge](http://www.ipoc.org.ge)

Резюме статей публикуются в Chemical Abstracts\* и Грузинском реферативном журнале \*\*

\* 2540 Olentagy River Road, P.O. Box 3012, Columbus, OH 43210-0012, USA, American Chemical Society

\*\* LERL TECHINFORMI, <http://www.tech.org.ge>; [www.tech.caucasus.net](http://www.tech.caucasus.net)

**შინაარსი****ლექტორების**

**ბ.ხუციშვილი,** სკასვიანი, ლ.აბაზაძე, ნ.მაისურაძე, ცვაბისონია. ქრომის დისილიციდის  
მაღალტემპერატურული ელექტროქიმიური სინთეზი ლიტობილებიდან

135

**ორგანული ქიმია**

**ნ.ჩაგანაგა, მ.ციცავი, მ.ხაჩიძე, მ.ბუზარიაშვილი.** 4-ჰიდროქსიკუმარინის აზოტშემცველი  
ჰეტეროციკლური წარმოებულების სინთეზი

139

**ი.ჯინიშვილი,** ქ.სარჯიშვილი, რ.დევდარიანი, მ.ბურჯანაძე, ვ.ციციშვილი. 1H-პიროლო[3,2-h]ფტალინ-6,9-დიონის სინთეზი\*

142

**ბიოორგანული ქიმია**

**მთავრიძე, გ.ხვდელიძე, ი.გვაფარიძე, ექმაძაძე, ა.კალანდა.** მოცვის ნაყოფის ფენოლური ნაერთები

143

**შინაპური ქიმია**

**გ.გლავაძე, გ.წურწუმა, ნ.ქოიავა, ნ.გოგიშვილი, ლ.ბერიაშვილი, ი.ზარიძე.** მანგანუმ-ამონიუმის სულფატის ხსნარებში მანგანუმის ჰიდრატწარმოქმნის pH-ის ტემპერატურისაგან დამოკიდებულების შესწავლა

148

**რ.ჭედია, ოლეკაშვილი, ცკაულია, ლ.ჯანიაშვილი, მ.ბეროშვილი, თ.ქორქია, ფდოლგუშინი, ა.სმოლიაბუვი, მეზერნიცკაია, ა.ქორიძე.** ელექტრონული კომუნიკაცია ფეროცენილ ჯგუფებს შორის ოქრო-რენიუმის კლასტერებში

153

**გ.ბალარჯიშვილი, ლ.სამხარაძე, ნ.ყალაბეგაშვილი, დ.ოსელიანი.** ანიზოლის აცილირება ძმარმუავას ანციდრიდით მოდიფიცირებულ კლინოპტილოლიტზე

160

**რ.თუშერაშვილი, ც.ასილაძე, გ.ხიდეშვილი, მ.ფანჩევიძე.** ულტრაინფერი გამოსხივების გავლენის შესწავლა ზოგიერთ ორგანულ საღებარზე მათი ფოტომედგობის გაზრდის მიზნით

162

**ვ.ციციშვილი, ნ.დოლაბერიძე, ნ.მირძევლი, მ.ნიუარაძე, ვ.ვაბუნაძე.** ბუნებრივი მინერალური ნედლეულიდან ახალი წვრილდასპერსული ცეოლითური მასალის მიღება

165

**ე.ქაჩიძა, რ.იმნაძე, თ.პაიკიძე, დ.ძანაშვილი.** ზოლ-გელ მეთოდით სინთეზირებული LiCr<sub>x</sub>Ni<sub>0.5-x</sub>Mn<sub>1.5</sub>O<sub>4</sub>-შპინელი როგორც Li-იონური აკუმულატორების საკათოდე მასალა\*

171

**რ.ჯანელიძე, ი.ბლაგიძე, გ.შეკელიძე, მ.ქაციაშვილი, ო.გოგოლიძე, ე.ციციშვილი.** CdTe და AgBr ნახევარგამტარული ნაერთებით ლეგინებული ბოროსილიკატური მინების ოპტიკური სპექტრები და ელექტრული გამტარებლობა\*

175

**ი.ბერძენიშვილი, მ.სირაძე.** თერმოდინამიკური მიდგომის გამოყენება გლუკოზის მეტაბოლიზმის ანალიზისთვის\*

181

**თ.კორძახია, ლ.ეპრიკაშვილი, მ.ზაუტაშვილი, ნ.ფირცხალავა, მ.ძაგანია.** ზოგიერთი ნავთობპროდუქტის ანალიზი აირ-თხევადი ქრომატოგრაფის მეთოდი\*

185

**ა.ფაშავევი, ოდავარაშვილი, მ.ენუქაშვილი, ზ.ახვლედიანი, ლ.ბიჩქოვა, მ.ძაგანია.** ტყვია სელენიდის ნანოფენების ოპტიკური ტრანსმისიის სპექტრების თანმიმდევრული მიახლოებებითი ანალიზი \*

192

**თ.მარსაგიშვილი, მ.მაჭავარიანი, გ.ტატიშვილი.** ნანოსენსორის მუშაობის კვანტური თეორიისთვის\*

201

**შ.ერესელიძე.** ზოგიერთი აზოტშემცველი ჰეტეროციკლის ტაუტომერული გარდაქმნების ახალი მონაცემები\*

216

**მათემატიკური ქიმია**

**გ.ჩახავა, მ.რუსია, ლ.ლობეგანიძე, მ.გვერდწითელი.** დარიშხანის ქვეჯგუფის ელემენტების მათემატიკურ-ქიმიური გამოკვლევა

217

\* რეზიუმე

<b>გ.ნ.ჩახავა, მ.გვერდწითელი, გ.გ.ჩახავა.</b> ასტატის პიდრიდის წარმოქმნის ჯიბის თავისუფალი ენერგიის მათემატიკურ-ქიმიური გამოკვლევა	219
<b>მ.ქარჩხაძე, ნ.ოვსეანიკოვა, მ.გვერდწითელი.</b> წრფივად კონდენსირებული არომატული ნახშირწყალბადების მათემატიკურ-ქიმიური გამოკვლევა	221
<b>მ.ქარჩხაძე, მ.კვერნაძე, მ.გვერდწითელი.</b> ედვარდის კორელაციური განტოლების მათემატიკურ-ქიმიური გამოკვლევა	223
<b>მაღალმოლექულურ ნაერთითა მიზია</b>	
<b>ევაგაშელიძე, გ.ჰაჟავა, ნ.მაისურაძე, ნ.ხოტენაშვილი, რ.ცისკარიშვილი.</b> პიბრიდული ფოროვანი სორბენტების მიღება ორგანული წარმოების ნარჩენების ბაზაზე	225
<b>კორონინაციულ ნაერთითა მიზია</b>	
<b>ელელალუტაშვილი, ე.გინტური, ა.რჩეულიშვილი, ნ.ბალდავაძე, ნ.კუჭავა.</b> Cr(III) და Au(III) იონების გავლენა Arthrobacter oxidans 61B და Arthrobacter globiformis 151B ბაქტერიებზე*	230
<b>ელელალუტაშვილი, ე.გინტური, ნ.კუჭავა, ნ.ბალდავაძე, ა.რჩეულიშვილი.</b> Ag და Au იონების ბიომონათესობა Spirulina platensis-თან*	233
<b>ბიოლოგიურად ატიცრი ნაერთები</b>	
<b>რ.მდივანი, ნ.ზარნაძე, ვ.წერეთელი.</b> ფიტოპორმონები	234
<b>გარემოს მიზია</b>	
<b>მ.გუგეშიძე, დ.ერისთავი, ა.სარუხანიშვილი.</b> რუსთავის მოძველებული მარტენის წილის ზიანსა და სარგებლის საკითხისათვის*	247
<b>მიზია ეკოლოგია</b>	
<b>ლ.გვერდწითელი, ჯ.გუგეშიძე, ი.ბაზლაძე.</b> ხორცპროდუქტების წარმოების ჩამდინარე წყლის გაწმენდის ტექნოლოგიური პროცესის სქემის დამუშავება	248
<b>თ.შარაშიძე, გ.მეტრეკვლი, ლ.გვერდწითელი.</b> მდინარე არაგვის პიდროლოგიური რეჟიმის შესწავლის შედეგები	251
<b>ა.დოლიძე, გ.დავითაძა, ი.მიქაძე, ნ.ქავთარაძე, ნ.წეროძე, რ.ურიდა.</b> მევნენახობის ნარჩენებიდან შუალედური პროდუქტების გამოყოფა სამკურნალო და პროფილაქტიკური საშუალებების დამზადების მიზნით	256
<b>ა.დოლიძე, ი.მიქაძე, ნ.ქავთარაძე, ლ.დოლიძე, ნ.წეროძე, რ.ურიდა, მ.სტეფანიშვილი.</b> პესტიციდების ნარჩენების ნეიტრალიზაციის ალტერნატივები ადგილობრივი პირობებისა და შესაძლებლობების გათვალისწინებით	261
<b>მიზია ტექნოლოგია</b>	
<b>მ.ჩხაიძე, ქ.ებრალიძე, მ.ციცავი, მ.ხაჩიძე, ნ.ჩაგანავა.</b> პომიდვრის კანიდან ბუნებრივი საკვები საღებავების ექსტრაქცია სუპერკრიტიკული ფლუიდებით	262
<b>ე.გოზალიშვილი, დ.რამაზაშვილი.</b> ქრომ-მანგანუმიანი დუპლექს ფოლადის კოროზიული თვისებები	265
<b>ლ.ტატიაშვილი, ნ.ნონიგაშვილი, ნ.ქარქაშვიძე, მ.სტეფანიშვილი, თ.ლვებუაძე, ი.მიქაძე.</b> ტყვიაშემცველი ანტიდეტონატორების ალტერნატიული ორგანული დანამატების მიღება და კვლევა	271
<b>ლ.ტატიაშვილი, ნ.წეროძე, ქ.ქოჩიაშვილი, მ.ჯაფარიძე, რ.ცისკარიშვილი, ი.მიქაძე.</b> ეკოლოგიურად უსაფრთხო ორგანული დანამატების შერჩევა საავტომობილო ბენზინებისათვის	276
<b>იცვლება აპტორობისათვის</b>	
	280

\* რეზიუმე

---

**CONTENTS**
**ELECTROCHEMISTRY**

- M.Khutsishvili, S.Gasviani, L.Abazadze, N.Maisuradze, Ts.Gabisonia.* High-Temperature Electrochemical Synthesis of Chromium Disilicide from Melted Salts\* 138

**ORGANIC CHEMISTRY**

- N.Chaganava, M.Tsitsagi, M.Khachidze, M.Chkhaidze, M.Buzariashvili.* Synthesis of 4-Hydroxycoumarine Nitrogen-Containing Heterocyclic Derivatives\* 140
- I.Jinikashvili, K.Sarajishvili, R.Devdariani, M.Burjanadze, V.Tsitsishvili.* Synthesis of 1H-Pirrolo[3,2-h]phthalazine-6,9-dion 141

**BIOORGANIC CHEMISTRY**

- M.Tatvidze, V.Khvedelidze, I.Japaridze, E.Qamadadze, A.Kalandia.* Phenolic Compounds in Blueberry Fruit\* 147

**PHYSICAL CHEMISTRY**

- G.Agladze, G.Tsurtsunia, N.Koiava, N.Gogishvili, L.Beriashvili, I.Zaridze.* Dependence of Manganese Hydroxide Precipitation pH on Temperature in Manganese and Ammonia Sulfates Solutions\* 152
- R.V.Chedia, O.I.Lekashvili, T.V.Kakulia, L.K.Janiashvili, M.G.Beroshvili, T.V.Korkia, F.M.Dolgushin, A.F.Smolyakov, M.G.Ezernitskaya, A.A.Koridze.* Electronic Communi-cation Between Ferrocenyl Groups in Gold-Rhenium Clusters\* 159
- G.Balarjishvili, L.Samkharadze, N.Kalabegashvili, D.Ioseliani.* Anisole Acylation by Acetyl Anhydride on Modified Clinoptilolite\* 161
- R.Tushurashvili, Ts.Basiladze, G.Khidesheli, M.Panchvidze.* Study of the Effect of Ultraviolet Light on Some Organic Dyes to Increase Their Photoresistance\* 164
- V.Tsitsishvili, N.Dolaberidze, N.Mirdzveli, M.Nijaradze, V.Gabunia.* Preparation of New Zeolite Materials With High Dispersity From Natural Mineral Raw Materials\* 167
- E.Kachibaia, R.Imnadze, T.Paikidze, D.Dzanashvili.* LiCr<sub>x</sub>Ni<sub>0.5-x</sub>Mn<sub>1.5</sub>O<sub>4</sub>-Spinel Synthesized Through Sol-Gel Method as Cathode Material For Li-Ion Accumulators 168
- R.Janelidze, Y.Blagidze, G.Mshvelidze, M.Katsiashvili, O.Gogolin, E.Tsitsishvili.* Optical Spectra and Electrical Conductivity of Borosilicate Glasses Doped with CdTe and AgBr Semiconductor Compounds 172
- I.Berdzenishvili, M.Siradze.* Application of the Thermodynamic Approach to the Analysis of Glukose Metabolism 181
- T.Kordzakhia, L.Eprakashvili, M.Zautashvili, N.Pirtskhalava, M.Dzagania.* Analysis of Some Oil Products by Gas-Liquid Chromatographic Method \* 185
- A.M.Pashaev, O.I.Davarashvili, M.I.Enukashvili, Z.G.Akhvlediani, L.P.Bychkova, M.A.Dzagania.* Sequential Approximations in the Analysis of the Spectra of Optical Transmision of Lead Selenide Nanolayers\* 192
- T.A.Marsagishvili, M.N.Machavariani, G.D.Tatishvili.* For Quantum Theory of Nanosensor Work\* 201
- J.Kereselidze.* New Data of the Tautomeric Transformations of Some Nitrogen Containing Heterocycles\* 216

**MATHEMATICAL CHEMISTRY**

- G.Chachava, M.Rusia, L.Lobdjanidze, M.Gverdtsiteli.* Mathematical-Chemical Investigation of the Hydrides of the Elements of Arsenic Subgroup\* 218
- G.N.Chachava, M.Gverdtsiteli, G.G.Chachava.* Mathematical-Chemical Calculation of Gibbs' Free Energy of Formation for Astatine Hydride\* 220
- M.Karchkhadze, N.Ovsyanikova, M.Gverdtsiteli.* Mathematical-Chemical Investigation of Linear-Fused Aromatic Hydrocarbons\* 222

---

\* Summary

<b>M.Karchkhadze, M.Kvernadze, M.Gverdtsiteli.</b> Mathematical-Chemical Investigation of Edwards' Correlation Equation*	224
<b>CHEMISTRY OF MACROMOLECULAR COMPOUNDS</b>	
<b>E.Gavashelidze, G.Papava, N.Maisuradze, N.Khotenashvili, R.Tsiskarishvili.</b> Obtaining of Hybrid Porous Sorbents on the Base of Production Remains *	227
<b>CHEMISTRY OF COORDINATION COMPOUNDS</b>	
<b>E.Gelagutashvili, E.Ginturi, A.Rcheulishvili, N.Bagdavadze, N.Kuchava.</b> Influence of Cr(III) and Au(III) Ions on <i>Arthrobacter oxidans</i> 61B and <i>Arthrobacter globiformis</i> 151B	228
<b>E.Gelagutashvili, E.Ginturi, N.Kuchava, N.Bagdavadze, A.Rcheulishvili.</b> Bioavailability of Gold and Silver Ions With <i>Spirulina platensis</i>	231
<b>BIOLOGICALLY ACTIVE COMPOUNDS</b>	
<b>R.Mdivani, N.Zarnadze, V.Tsereteli.</b> The Phytohormons*	243
<b>ENVIRONMENTAL CHEMISTRY</b>	
<b>M.Gugeshidze, D.Eristavi, A.Sarukhanishvili.</b> On the Question of Dangers and Benefits of Rustavi Steel Open-Hearth Slag*	247
<b>CHEMICAL ECOLOGY</b>	
<b>L.Gverdtsiteli, J.Gugeshidze, I.Bazgadze.</b> Development of Technological Process Scheme for Cleaning of Meat Products Production Wastewater *	250
<b>T.Sharashidze, G.Metreveli, L.Gverdtsiteli.</b> Results of River Aragvi Hydrological Regime Study*	255
<b>A.Dolidze, G.Davitaia, I.Mikadze, N.Kavtaradze, N.Tserodze, R.Uridia.</b> Preparation of the Intermediates of Viticulture Wastes for Subsequent Manufacture of Therapeutic and Prophylactic Means*	258
<b>A.Dolidze, I.Mikadze, N.Kavtaradze, L.Dolidze, R.Uridia, M.Stephanishvili.</b> Alternatives of Pesticide Residues Neutralization Considering Local Conditions and Possibilities	259
<b>CHEMICAL TECHNOLOGY</b>	
<b>M.Chkhaidze, M.Tsitsagi, K.Ebralidze, M.Khachidze, N.Chaganava.</b> Supercritical Fluid Extraction of Natural Food Colorants from Tomato Skin*	264
<b>E.I.Gozalishvili, D.R.Ramazashvili.</b> Corrosion Properties of Chrome-Manganese Duplex Steel*	270
<b>L.Tatiashvili, N.Nonikashvili, N.Karkashadze, M.Stepanishvili, T.Dgebuadze, I.Mikadze.</b> Production and Research of Alternative Organic Additives of Lead Containing Antidetonators*	275
<b>L.Tatiashvili, N.Tserodze, K.Kochiashvili, M.Japaridze, R.Tsiskarishvili, I.Mikadze.</b> Ecologically Safe Organic Additives for Car Gasoline *	279
<b>INFORMATION for AUTHORS</b>	280

---

\* Summary

## СОДЕРЖАНИЕ

### ЭЛЕКТРОХИМИЯ

- М.Ш.Хуцишвили, С.Г.Гасвиани, Л.М.Абазадзе, Н.Г.Маисурадзе, Ц.Д.Габисония.** Высокотемпературный электрохимический синтез дисилицида хрома из расплавленных солей\* 138

### ОРГАНИЧЕСКАЯ ХИМИЯ

- Н.Т.Чаганава, М.В.Цицаги, М.М.Хачидзе, М.Ш.Чхаидзе, М.С.Бузариашвили.** Синтез азотсодержащих гетероциклических производных 4-гидроксикумарина\* 140

- И.Джиникашвили, К.Сараджишвили, Р.Девдариани, М.Бурджанадзе, В.Цицишвили.** Синтез 1Н-пирроло[3,2-*h*]фталазин-6,9-диона\* 142

### БИООРГАНИЧЕСКАЯ ХИМИЯ

- М.Татвидзе, В.Хведелидзе, И.Джапаридзе, Э.Камададзе, А.Каландия.** Фенольные соединения в плодах черник\* 147

### ФИЗИЧЕСКАЯ ХИМИЯ

- Г.Р.Агладзе, Г.С.Цуриумия, Н.Ш.Коиава, Н.Ш.Гогишвили, Л.Д.Бериашвили, И.Т.Заридзе.** Изучение зависимости pH гидратообразования марганца от температуры в растворах сульфатов марганца и аммония\* 152

- Р.В.Чедия, О.И.Лекашвили, Ц.В.Кацулия, Л.К.Джаниашвили, М.Г.Берошвили, Т.В.Коркия, Ф.М.Долгушин, А.Ф.Смоляков, М.Г.Езерницкая, А.А.Коридзе.** Электронная коммуникация между ферроценильными группами в кластерах золота-рения\* 159

- Г.И.Баларджишвили, Л.О.Самхарадзе, Н.Г.Калабегашвили, Д.К.Иоселиани.** Ацилирование анизола уксусным ангидридом на модифицированном клиноптилолите\* 161

- Р.Г.Тушурашвили, Ц.М.Басиладзе, Г.И.Хидешели, М.В.Панчвидзе.** Изучение влияния ультрафиолетового излучения на некоторые красители с целью повышения их фотостойкости\* 164

- В.Цицишвили, Н.Долаберидзе, Н.Мирдзвели, М.Нижарадзе, В.Габуния.** Получение новых высокодисперсных цеолитных материалов из природного минерального сырья\* 167

- Э.И.Качибая, Р.А.Имнадзе, Т.В.Паикидзе, Д.И.Дзанашивили.** Синтезированная золь-гель методом  $\text{LiCr}_{x}\text{Ni}_{0.5-x}\text{Mn}_{1.5}\text{O}_4$ -шпинель как катодный материал Li-ионных аккумуляторов\* 171

- Р.Б.Джанелидзе, Ю.М.Благидзе, Г.Г.Мишвиладзе, М.Р.Кациашвили, О.В.Гоголин, Е.Г.Цицишвили.** Оптические спектры и электрическая проводимость боросиликатных стекол легированных полупроводниковыми соединениями CdTe и AgBr\* 175

- И.Г.Бердзенишвили, М.Г.Сираძе.** Применение термодинамического подхода к анализу метаболизма глюкозы 176

- Т.Н.Кордзахия, Л.Г.Эприкашвили, М.Г.Зауташивили, Н.В.Пирцхалава, М.А.Дзагания.** Анализ некоторых нефтепродуктов методом газо-жидкостной хроматографии 182

- А.М.Пашаев, О.И.Даварашвили, М.И.Енукашвили, З.Г.Ахвледиани, Л.П.Бычкова, М.А.Дзагания.** Последовательные приближения при анализе спектров оптического пропускания нанослоев селенида свинца 186

- Т.А.Марсагиашвили, М.Н.Мачавариани, Г.Дж.Татишвили.** К квантовой теории работы наносенсора 193

- Дж.А.Кереселидзе.** Новые данные таутомерных превращений некоторых азотсодержащих гетероциклов 203

### МАТЕМАТИЧЕСКАЯ ХИМИЯ

- Г.Н.Чачава, М.Ш.Русия, Л.В.Лобжанидзе, М.И.Гвердцители.** Математико-химическое исследование гидридов элементов подгруппы мышьяка\* 218

\* Резюме

<b>Г.Н.Чачава, М.И.Гвердцители, Г. Г.Чачава.</b> Математико-химическое вычисление свободной энергии образования Гиббса для гидрида астата *	220
<b>М.Г.Карчадзе, Н.Н.Овсяникова, М.И.Гвердцители.</b> Математико-химическое исследование линейно конденсированных ароматических углеводородов*	222
<b>М.Г.Карчадзе, М.С.Квернадзе, М.И.Гвердцители.</b> Математико-химическое исследование корреляционного уравнения Эдвардса*	224
<b>ХИМИЯ ВЫСОКОМОЛЕКУЛЯРНЫХ СОЕДИНЕНИЙ</b>	
<b>Э.Ш.Гавашелидзе, Г.Ш.Папава, Н.А.Маисурадзе, Н.З.Хотенашвили, Р.П.Цискаришвили.</b> Получение гибридных пористых сорбентов на основе органических производственных отходов *	227
<b>ХИМИЯ КООРДИНАЦИОННЫХ СОЕДИНЕНИЙ</b>	
<b>Э.С.Гелагуташвили, Э.Н.Гинтури, АН.Рчеулишвили, Н.В.Вагдavadze, Н.Е.Кучава.</b> Влияние ионов Cr(III) и Au(III) на <i>Arthrobacter oxidans 61B</i> И НА <i>Arthrobacter globiformis 151B</i> *	230
<b>Э.С.Гелагуташвили, Э.Н.Гинтури, Н.Е.Кучава, Н.В.Вагдavadze, АН.Рчеулишвили.</b> Биосродство ионов Ag и Au с <i>Spirulina platensis</i> *	233
<b>БИОЛОГИЧЕСКИ АКТИВНЫЕ СОЕДИНЕНИЯ</b>	
<b>Р.В.Мдивани, Н.К.Зарнадзе, В.С.Церетели.</b> Фитогормоны*	243
<b>ХИМИЯ ОКРУЖАЮЩЕЙ СРЕДЫ</b>	
<b>М.К.Гугешидзе, Д.В.Эристави, А.В.Саруханишвили.</b> К вопросу о вреде и пользе руставского лежалого мартеновского шлака	244
<b>ХИМИЧЕСКАЯ ЭКОЛОГИЯ</b>	
<b>Л.В.Гвердцители, Дж.Э.Гугешидзе, И.Б.Базгадзе.</b> Разработка схемы технологического процесса очистки сточных вод производства мясопродуктов*	250
<b>Т.А.Шарашидзе, Г.С.Метревели, Л.В.Гвердцители.</b> Результаты изучения гидрологического режима реки Арагви*	255
<b>А.В.Долидзе, Г.Ш.Давитая, И.И.Микадзе, Н.А.Кавтарадзе, Н.П.Церодзе, Р.З.Уридия.</b> Получение полупродуктов из отходов виноградарства с целью последующего изготовления лечебно-профилактических средств*	257
<b>А.В.Долидзе, И.И.Микадзе, Н.А.Кавтарадзе, Л.А.Долидзе, Р.З.Уридия, М.А.Степанишвили.</b> Альтернативы нейтрализации остатков пестицидов с учетом местных условий и возможностей*	261
<b>ХИМИЧЕСКАЯ ТЕХНОЛОГИЯ</b>	
<b>М.Ш.Чхаидзе, М.В.Цицаги, К.Г.Ебралидзе, М.М.Хачидзе, Н.Т.Чаганава.</b> Экстракция суперкритическими флюидами натуральных пищевых красителей из кожицы помидоров *	264
<b>Э.И.Гозалишвили, Д.Р.Рамазашвили.</b> Коррозионные свойства хромо-марганцевой дуплекс стали*	270
<b>Л.Т.Тамиашвили, Н.У.Ноникашвили, Н.Г.Каркашадзе, М.А.Степанишвили, Т.Г.Дгебуадзе, И.И.Микадзе.</b> Производство и исследование альтернативных свинецсодержащим антидетонаторам органических присадок*	275
<b>Л.Т.Тамиашвили, Н.П.Церодзе, К.Н.Кочиашвили, М.З.Джапаридзе, Р.П.Цискаришвили, И.И.Микадзе.</b> Экологически безопасные органические присадки для автомобильного топлива*	279
<b>ИНФОРМАЦИЯ ДЛЯ АВТОРОВ</b>	
	280

\* Резюме

## ელექტრომიზია

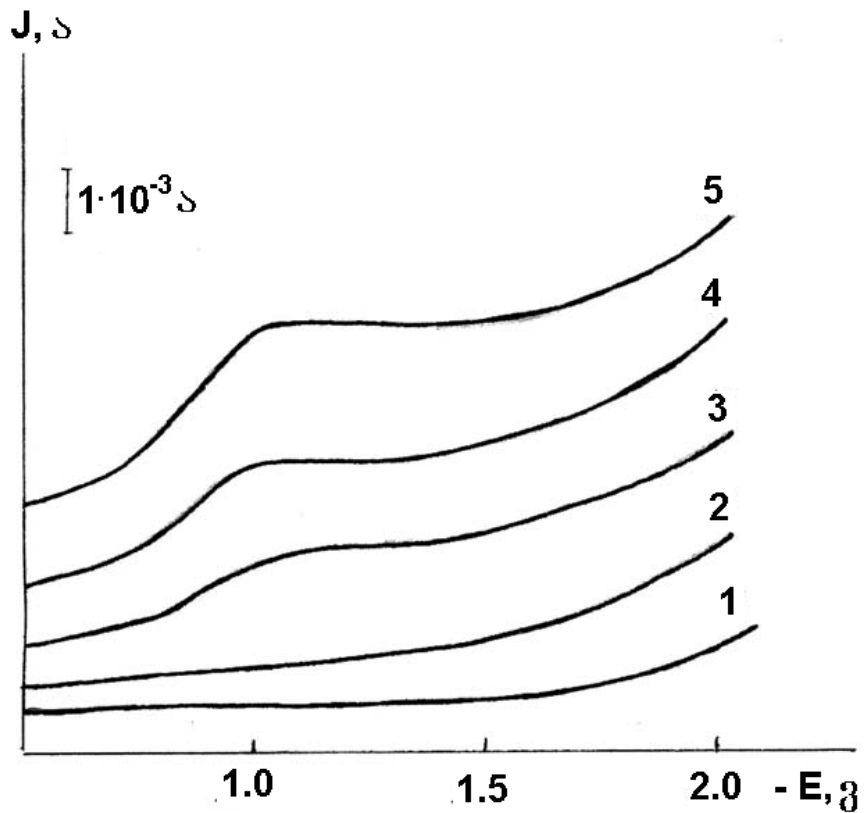
**პრომის დისილიციდის მაღალტემატრატურული ელექტროქიმიური სიცოვზი  
ლილგილებიდან**

მარინე ხუციშვილი, სერგო გასვიანი, ლია აბაზაძე, ნინო მაისურაძე, ცისანა გაბისონია

რაფიელ აგლაძის არაორგანული ქიმიისა და ელექტროქიმიის ინსტიტუტი

წარმოდგენილი ნაშრომი შეეხება მნელადლობადი ლითონის — ქრომის დისილიციდის მიღებას მაღალტემპერატურული ელექტროქიმიური სინთეზით  $\text{NaCl} - \text{Na}_3\text{AlF}_6$  იონური ნალლობიდან. როგორც ცნობილია, ქრომის დისილიციდის  $\text{CrSi}_2$ -ის ფხვნილი ძირითადად გამოიყენება დაბალხარისხიანი ფოლადების და სხვადასხვა დეტალების ელექტროქიმიური ლევირებისათვის [1]. რაც შეეხება აღნიშნული ფხვნილის მიღების მეთოდს, დღემდე არსებულ სხვა ცნობილ მეთოდებთან შედარებით, ტექნოლოგიური ოვალსაზრისით, უპირატესობა ენიჭება ელექტროქიმიურ მეთოდს იონური ნალლობებიდან. [2-3].

ექსპერიმენტი ტარდებოდა სამელექტროდიანი ელექტროქიმიური უჯრედის გამოყენებით. ანოდად აღებული გვქონდა მინა-გრაფიტის ტიგელი, რომელშიც იტვირთებოდა  $\text{NaCl} - \text{Na}_3\text{AlF}_6$  ფონური ნალლობი, კათოდად — პლატინის მავთული, რომლის  $d=0,2$  მმ. შედარების ელექტროდად კი — პლატინის ფირფიტა. ტემპერატურა ელექტოლიზერში შეადგენდა 1123 K.  $\text{NaCl} - \text{Na}_3\text{AlF}_6$ -ის ფონურ ნალლობს თანდათანობით ვამატებდით  $\text{Na}_2\text{CrO}_4$  ქრომის ელექტროქიმიური გამოლექვის პირობების დადგენის მიზნით. ნახ. 1-ზე მოცემულია ქრომის ელექტროქიმიური აღდგენის ვოლტამპეროგრამა, რომელზეც ჩანს ფონური ნალლობიდან ქრომის გამოყოფის საწყისი და საბოლოო პოტენციალები — (0,7  $\div$  0,9).



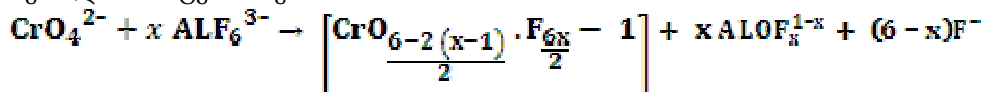
**ნახ. 1.** ვოლტამპეროგრამა

1. ფონი  $\text{NaCl} - \text{Na}_3\text{AlF}_6$ ; 2. ფონი  $+ 2,2 \cdot 10^{-5}$  მოლ/სმ<sup>3</sup>  $\text{Na}_2\text{CrO}_4$ ; 3. ფონი  $+ 2,2 \cdot 10^{-5}$  მოლ/სმ<sup>3</sup>  $\text{Na}_2\text{CrO}_4$ ;

4. ფონი  $+ 2,2 \cdot 10^{-5}$  მოლ/სმ<sup>3</sup>  $\text{Na}_2\text{CrO}_4$

$T = 850^\circ\text{C}$ ;  $v = 0,1$  გ/წმ

აქ  $\text{CrO}_4^{2-}$  და  $\text{AlF}_6^{3-}$ -ის იონებს შორის მიმდინარეობს ფუძე-მჟაური რეაქცია, რომლის დროსაც ადგილი აქვს  $\text{O}^{2-}$  და  $\text{F}^-$  იონების გაცვლას ქრომის იონების გარემოში, რაც საბოლოოდ იწვევს ქრომისა და ალუმინის ფტორ-ოქსიდური კომპლექსების წარმოქმნას. ელექტროქიმიურად აქტიური ნაწილაკების წარმოქმნის შესაძლო პროცესი ასეთია:

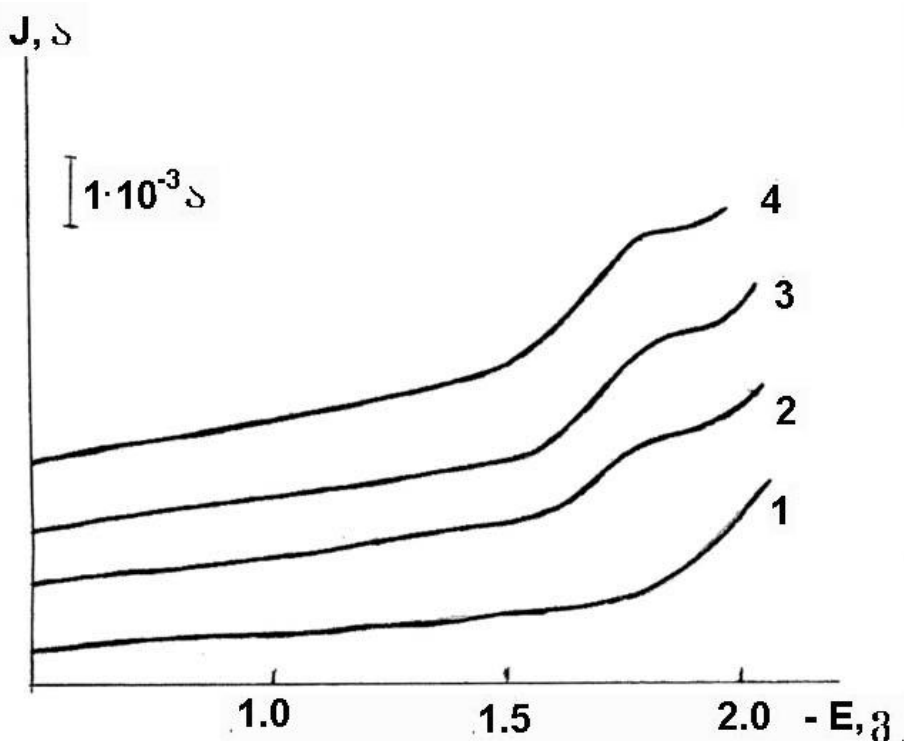


იმისათვის, რომ დაგვედგინა სილიციუმის გამოლექვის პირობები ამავე  $\text{NaCl} - \text{Na}_3\text{AlF}_6$  ნალღობიდან, ვამატებდით  $\text{K}_2\text{SiF}_6$ -ის გარკვეულ რაოდენობას. სილიციუმის ალდგენის სურათი მოცემულია ნახ. 2-ზე. ვოლტამპეროგრამებიდან ჩანს, რომ სილიციუმის გამოლექვის საზღვრები ძეგს  $(1,6 \div 1,9)$  ვ. პროცესის ჯამური სურათი სავარაუდოდ ასეთია [5]:



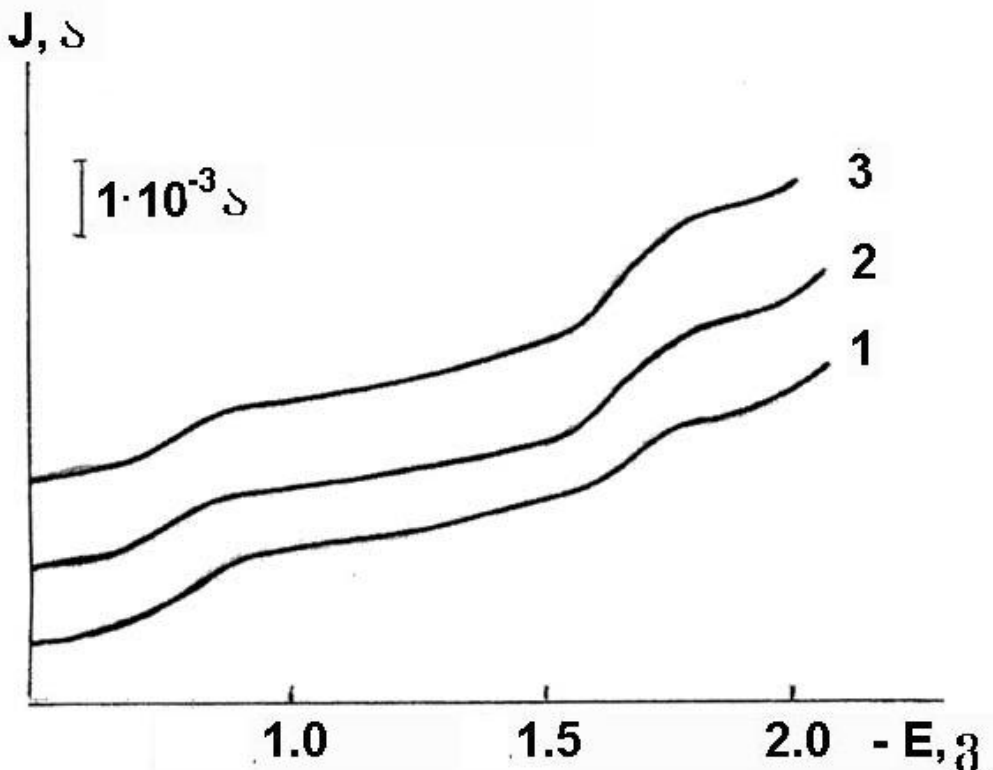
დავადგიეთ რა, ფონური ნალღობიდან ქრომისა და სილიციუმის ელექტროქიმიური ალდგენის შესაძლებლობა, შემდგომში მათი ერთდროული გამოყოფის მიზნით, ნალღობში, რომლშიც უკვე არსებობდა ქრომის იონები, დავამატეთ  $\text{K}_2\text{SiF}_6$ . ნახ. 3-ზე მოცემულია ქრომისა და სისლიციუმის ერთდროული გამოლექვის სურათი.

ნალღობში ქრომისა და სილიციუმის დამატების შემდეგ ვოლტამპეროგრამაზე ჩნდება ორი ტალღა:  $E_{11} = -(0,7 \div 0,9)$  ვ. და  $E_{11} = -(0,6 \div 0,9)$  ვ. ელექტროლიზის პროცესში ადგილი აქვს ქრომისა და სილიციუმის ოქსიფოროლიდული კომპლექსების შესაძლო წარმოქმნას. როგორც თეორიიდან არის ცნობილი, იმისათვის, რომ განხორციელდეს ორი ან ორზე მეტი კომპონენტის ელექტროქიმიური სინთეზი, საჭიროა, რომ სხვაობა მათი გამოყოფის ელექტროქიმიურ პოტენციალებს შორის არ აღემატებოდეს 0,2 ვოლტს [2, 3, 4].



ნახ. 2. ვოლტამპეროგრამა

1. ფონი  $\text{NaCl} - \text{Na}_3\text{AlF}_6$ ;
  2. ფონი  $+ 2,0 \cdot 10^{-5}$  მოლ/სმ<sup>3</sup>  $\text{Ka}_2\text{SiF}_6$ ;
  3. ფონი  $+ 4,0 \cdot 10^{-5}$  მოლ/სმ<sup>3</sup>  $\text{Ka}_2\text{SiF}_6$ ;
  4. ფონი  $+ 6,0 \cdot 10^{-5}$  მოლ/სმ<sup>3</sup>  $\text{Ka}_2\text{SiF}_6$
- $T = 850^\circ\text{C}$ ;  $v = 0,1$  ვ/წ



ნახ. 3. ვოლტამპეროგრამა

1. ფონი  $\text{NaCl} - \text{Na}_3\text{AlF}_6 + 2,2 \cdot 10^{-5} \text{ мол/см}^3 \text{ Na}_2\text{CrO}_4 + 2,0 \cdot 10^{-5} \text{ мол/см}^3 \text{ K}_2\text{SiF}_6$  (I);
  2. (I) +  $4,0 \cdot 10^{-5} \text{ мол/см}^3 \text{ K}_2\text{SiF}_6$  (II); 3. (II) +  $6,0 \cdot 10^{-5} \text{ мол/см}^3 \text{ K}_2\text{SiF}_6$
- $T = 850^\circ\text{C}$ ;  $v = 0,1 \text{ см/წ}$

ჩვენს შემთხვევაში ქრომისა და სილიციუმის ელექტროქიმიური აღდგენის პოტენციალები მკვეთრად განსხვავდება ერთმანეთისაგან. (0,7)ვ, რაც უდაოდ დიდია თეორიულად დასაშვებ ნორმასთან შედარებით. გამომდინარე აქედან, შევეცადეთ აგვესნა ასეთი მკვეთრი სხვაობის ფონზე, თუ რით იყო განპირობებული აღებული ორი კომპონენტის Cr და Si-ის ელექტროქიმიური სინთეზი.

ჩატარებული ექსპერიმენტის საფუძველზე გამოვთქვით მოსაზრება, რომ ქრომის დისილიციდის წარმოქმნა კათოდზე ხდება ელექტროქიმიურად ახლადაღდგენილ, აქტიურ მდგომარეობაში მყოფი ქრომის ატომების ურთიერთქმედებით სილიციუმის შემცველ კომპლექსთან, რაც შესაძლებელს ხდის კათოდზე წარმოიქმნას ქრომის დისილიციდი  $\text{CrSi}_2$ .

ქრომის დისილიციდის კომპოზიციური ფხვნილის მიღებისთვის კვლევებს ვაწარმოებდით გალვანოსტატიკურ რეჟიმშიც. შახტური ტიპის ღუმელში 1123 – 1103 K ტემპერატურულ ზღვრებში. დენის კათოდური სიმკვრივე  $D_{\text{კა.}} = 0,3 \pm 1 \text{ а/ს}^2$ . პროცესის მიმდინარეობის დრო  $t = 15 \text{ წ.} \div 0,5 \text{ სთ.}$

მრავალჯერადმა ექსპერიმენტებმა შესაძლებლობა მოგვცა დაგვედგინა ელექტროლიზის ოპტიმალური პირობები. კათოდზე მიღებული საბოლოო პროდუქტის – წვრილდისპერსული ფხვნილის შედგენილობა რენტგენფაზური ანალიზის საფუძველზე შეესაბამება –  $\text{CrSi}_2$ .

#### ლიტერატურა – REFERENCES – ЛИТЕРАТУРА

1. Салконов Х.В. Силициды и их использование в технике, Киев, 1959 г.
2. Барабошкин А.Н. Электрокристаллизация металлов из расплавленных солей, Москва: Наука, 1972, стр. 280.
3. Кузнецов С.А., Мораческий А.Г., Стангрит П.Т. Электрохимия, 1992, Т. 18, с. 1522.
4. Васько А.Т., Ковач С.К. Электрохимия тугоплавких металлов, Киев: Техника, 1983.
5. Кущиков Х.Б., Мальшев В.В., Шаповал В.И. и др. Электровосстановление кремния (IV) на фоне расплава  $\text{NaCl} - \text{Na}_3\text{AlF}_6$ . Украинский хим. ж., 1991, т. 57, № 10, с. 1097-1100.

## HIGH-TEMPERATURE ELECTROCHEMICAL SYNTHESIS OF CHROMIUM DISILICIDE FROM MELTED SALTS

Marine Khutsishvili, Sergo Gasviani, Lia Abazadze, Nino Maisuradze, Tsisana Gabisonia

*Rafael Agladze Institute of Inorganic Chemistry and Electrochemistry*

*of Ivane Javakhishvili Tbilisi State University*

### SUMMARY

Parameters of electrochemical reduction of Cr and Si from background melts  $\text{NaCl} - \text{Na}_3\text{AlF}_6 - \text{Na}_2\text{CrO}_4 - \text{K}_2\text{SiF}_6$  at  $850^\circ\text{C}$  have been studied. Conditions high-temperature electrochemical synthesis of chromium disilicide as well as general parameters of electrolysis are established on the basis of kinetical studies, composition of target product –  $\text{CrSi}_2$ .

## ВЫСОКОТЕМПЕРАТУРНЫЙ ЭЛЕКТРОХИМИЧЕСКИЙ СИНТЕЗ ДИСИЛИЦИДА ХРОМА ИЗ РАСПЛАВЛЕННЫХ СОЛЕЙ

М.Ш.Хуцишвили, С.Г.Гасвиани, Л.М.Абазадзе, Н.Г.Маисурадзе, Ц.Д.Габисония

*Институт неорганической химии и электрохимии им. Р.И. Агладзе  
Тбилисский государственный университет им. И. Джавахишвили*

### РЕЗЮМЕ

Изучены параметры электрохимического восстановления хрома и кремния из фонового расплава  $\text{NaCl} - \text{Na}_3\text{AlF}_6 - \text{Na}_2\text{CrO}_4 - \text{K}_2\text{SiF}_6$  при температуре  $850^\circ\text{C}$ . На основе кинетических исследований установлены условия высокотемпературного электрохимического синтеза дисилицида хрома, а также основные параметры электролиза. Состав полученного конечного продукта –  $\text{CrSi}_2$ .

## ორგანული ქიმია

## 4-ჰიდროქსიპურინის აზოფშემარინის ჰიდროგენის ჰიდროგენი ჰიდროგენის სინთეზი

ნანა ჩაგანავა, მზია ციცაგი, მირანდა ხაჩიძე, მარიამ ჩხაიძე, მანანა ბუზარიაშვილი

ივ. ჯავახიშვილის სახელობის თბილისის სახელმწიფო უნივერსიტეტის

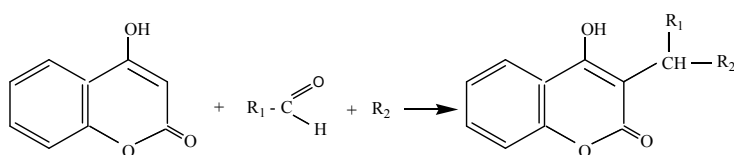
პეტრე ძელიქიშვილის ფიზიკური და ორგანული ქიმიის ინსტიტუტი

კუმარინი და მისი ნაწარმები ბიოლოგიური აქტივობის ფართო სპექტრის მქონე კლასს წარმოადგენს. ამ ნაერთებიდან ბევრი მათგანი ავლენს ანტიაქტერიულ, ანტიფენიციდურ, ანტიკოაგულანტურ, ანთებისა და სიმსივნის საწინააღმდეგო აქტივობას. ჩვენს ლაბორატორიაში სამკომპონენტიანი რეაქციით მიღებულ 4-ჰიდროქსიპურინის ერთერთ წარმოქმულს აღმოჩნდა ანტიკოაგულანტური აქტივობა ღვიძლის მორფოლოგიური სურათისა და ფუნქციური პარამეტრების გამოხატული ცვლილებების გარეშე. 4-ჰიდროქსიპურინის კონდენსაციით ვანილინთან ბენზალდეპიდოთან ქინოლონთან და იზოქინოლინთან მმარტყავა არეში სამკომპონენტიანი რეაქციის გამოყენებით მიღებული იქნა ოთხი ახალი ნივთიერება. სინთეზირებული ნაერთები მდგრადია ბიოლოგიური აქტივობის დასადგენად.

ბუნებრივი და სინთეზური კუმარინები და მათი წარმოებულები გამოირჩევიან მაღალი რეაქციისუნარიანობით და ბიოლოგიური აქტივობის ფართო სპექტრით. მრავალი მათგანი ამჟღავნებს ანტიაქტერიულ, ანტიფენიციდურ, ანტიკოაგულანტურ, ანთებისასაწინააღმდეგო და ანტიკონკროგნულ აქტივობებს. ამ კლასის ნივთიერებების მიმართ ინტერესი კიდევ უფრო გაიზარდა მას შემდეგ, რაც დადგინდა მათი მნიშვნელოვანი ციტოტოქსურობა და აივ-საწინააღმდეგო აქტივობა *in vitro* და *in vivo*. განსაკუთრებული ანტი აივ-აქტიურობით გამოირჩევიან დი და ტრი-მეთოქსი-4-ჰიდროქსიკუმარინები [1-6].

მეორე მხრივ, ქინოლინები პეტეროციკლური ნაერთებია, რომლებიც ასევე ხასიათდებიან მრავალფეროვანი ბიოლოგიური აქტივობებით. GS-9137 ქინოლინის ბირთვის შემცველი პეტეროციკლია, რომელიც აივ-ვირუსის ენზიმის – ინტეგრაზს ინჰიბიტორია და ძლიერი ანტივირუსული თვისებებით გამოირჩევა. აღსანიშნავია ბუნებრივი და სინთეზური ქინოლინების ანტიმიკრობული აქტივობებიც, კერძოდ გრამდაღებითი ბაქტერიების და გრამუარყოფითი ბაქტერიის *E. coli*-ს მიმართ. ამ ნაერთების ბიოაქტიურობას ზრდის ბირთვში ჩამნაცვლებლებად ითდის, ჰიდროქსი, მეთილ ან მეთოქსი ჯგუფების არსებობა. 4-ჰიდროქსი-3-იოდო-ქინოლინ-2-ონი განსაკუთრებით აქტიური აღმოჩნდა მეთიცილინ-რეზისტანტული *Staphylococcus aureus*-ის მიმართ [7-8].

ჩვენს მიერ სამკომპონენტიანი რეაქციით მიღებული 4-ჰიდროქსიკუმარინის ზოგიერთი ნაწარმი ბიოლოგიურად აქტიური აღმოჩნდა ღვიძლის მორფოლოგიური სურათისა და მისი ფუნქციური პარამეტრების გამოხატული ცვლილებების გარეშე [9]. აღნენად, საჭიროდ ჩავთვალეთ გაგვერდებინა ამ მიმართულებით მუშაობა და ისეთი პეტეროციკლური ნაერთების მიღება, რომლებიც შეიცავნ მაღალი ბიოლოგიური აქტივობების მქონე პეტეროციკლებს, კერძოდ, 4-ჰიდროქსიკუმარინის და ქინოლინის ან იზოქინოლინის ბირთვებს. ჩვენს მიერ გამოყენებულ სამკომპონენტიან რეაქციაში აღდევთდების ცვლა იძლევა ერთი მხრივ ახალი ბიოლოგიურად აქტიური ფრაგმენტის დამატების და მეორე მხრივ პოტენციურად ბიოლოგიურად აქტიური ნივთიერებების სერიის შექმნის საშუალებას. სინთეზი განხორციელდა 4-ჰიდროქსიკუმარინის კონდენსაციით ქინოლინთან (Ia) და იზოქინოლინთან (Ib), ალდეჰიდად გამოყენებული იქნა ვანილინი (IIa) და ბენზალდეჰიდი (IIb). რეაქცია ტარდებოდა 55-60°C-ზე. ტემპერატურის გაზრდა მნიშვნელოვნად არ ცვლილა მიზნობრივი პროცესების გამოსავალს. მიღებული ნივთიერებები 3-(4-ჰიდროქსიკუმარილ)-5'-ქინოლილ-4"-ჰიდროქსი-3"-მეთოქსიფენილ-მეთინი (III); 3-(4-ჰიდროქსიკუმარილ)-5'-იზოქინოლილ-4"-ჰიდროქსი-3"-მეთოქსიფენილ-მეთინი (IV); 3-(4-ჰიდროქსიკუმარილ)-5'-ქინოლილფენილ-მეთინი (V); 3-(4-ჰიდროქსიკუმარილ)-5'-იზოქინოლილ-მეთოქსიფენილმეთინი (VI) მდგრადია, რაც საშუალებას იძლევა ჩატარდეს მათი ტესტირება ბიოლოგიურ აქტივობებზე.



III-VI

R<sub>1</sub> – IIa – ვანილინი; IIb – ბენზალდეჰიდი

R<sub>2</sub> – Ia – ქინოლინი; Ib – იზოქინოლინი

**ექსპერიმენტული ნაწილი**

ნარევს, რომელიც შეიცავს 0.00025 მოლ 4-ჰიდროქსიკუმარინს, 0,00025მოლ (Ia ან Iб)-ს და 0,0004 მოლ ალფებიდს (IIა ან IIბ)-ს უმატებენ 3 მლ ფინულოვან ძმარმჟავას და ურევენ 60<sup>0</sup>C-ზე 15 სთ-ის განმავლობაში. რეაქციის პროცესში უმატებენ 10%-იან NaOH pH-7-მდე, გამოყოფილ ნალექს ფოლტრავენ, რეცხავენ გამოხდილი წყლით. მიღებულ პროცესში ასუფთავებენ გადაკრისტალებით მეთანოლიდან. (VI) –ის სარეაქციო ნარევს 10%-იანი NaOH-ით დამუშავების შემდეგ ნალექი არ გამოიყოფა და პროდუქტის ექსტრაქცია ხდება დიეთილის ეთერით.  $t_{\text{და}}^{\text{ა}} \text{ (III)} 138-140^{\circ}\text{C}; (\text{IV}) 198-200^{\circ}\text{C}; (\text{V}) 132-134^{\circ}\text{C}; (\text{VI}) 330-332^{\circ}\text{C}$ . ი.წ. სპექტრი (III) 477; 678; 763; 1126; 1187; 1373; 1457; 1612; 1666; ს.მ<sup>-1</sup> (IV) 477; 678; 763; 1126; 1187; 1373; 1457; 1612; 1666; ს.მ<sup>-1</sup> (V) 477; 763; 1187; 1303; 1373; 1457; 1612; 1666 sm<sup>-1</sup> (VI) 477; 763; 1187; 1303; 1373; 1457; 1612; 1666 ს.მ<sup>-1</sup>.

**ლიტერატურა - REFERENCES -ЛИТЕРАТУРА**

1. Jae-Chul Jung, Ji-Ho Lee, Seikwan Oh, Jae-Gon Lee and Oee-Sook Park. Synthesis and antitumor activity of 4-Hydroxycoumarin derivatives. Bioorganic&Medicinal Chemistry Letters, 2004, 14, p.5527-5531
2. M.A.Al-Haisa, M.S.Mostafa and M.Y.El-Kady. Synthesis and Biological Evaluation of SOME New Coumarine Derivatives. Molecules 2003, 8, p.275-286.
3. Davorska Zarvsnik, Samija Muratovic, Selma Spirtovic, Dzenita Softic, Marica Medic-Saric. BOSNIAN JOURNAL OF BASIC MEDICAL SCIENCES 2008, 8(3), 28p.277-281.
4. M.A.Al-Haisa, M.S.Mostafa and M.Y.El-Kady. Preparation of Some New Coumarin Derivatives with Biological Activity. Scientific Journal of King Faisal University(Basic and Applied Sciences) 2005, Vol.6 №1 p.75-94
5. Ilia Manilov, Caecilia Maichle-Moessmer, Nicolay Danchev. Synthesis, structure, toxicological and pharmacological investigations of 4-Hydroxycoumarin derivatives. European Journal of Medical Chemistry, 2006, 41, p.882-890
6. S. Raleva, A. Savov, L. Froloshka, D.Dundarova, I.Manolov, R.Argirova. Examination for anti human immunodeficiency virus-type1(HIV-1) effect of three 4-Hydroxycoumarin(4-hc) derivatives. 2005, 19/2, p.11-17
7. Luo Zai-gang, Zeng Cheng-chu, Wang Fang. Synthesis and biological activities of quinoline derivatives as HIV-1 integrase inhibitors. Chem . Res. Chinese Universities 2009, 25(6), 841-845
8. Piyush Bihari Lal, Naresh kumar, Tasleem arif, T.K mandal. in vitro anti-bacterial activity of a novel isoquinoline derivative and its post antibacterial effects on pseudomonas aeruginosa. African Journal of Microbiology Research. vol. (2)pp. 126-130, may 2008.
9. ჯინიფაშვილი, მ. ხაჩიძე, მ.ჩხაიძე, მ. ბუზარიშვილი, მ. ციცავი 4-ჰიდროქსიკუმარინის კონდენსაცია პიროლოქინოლინებთან. საქართველოს მეცნიერებათა ეროვნული აკადემიის მაცნე, ქმიის სერია 2009 გ.35 №3 გვ.307-308

**SYNTHESIS OF 4-HYDROXYCOUMARINE NITROGEN-CONTAINING HETEROCYCLIC DERIVATIVES**

Nana Chaganava, Mzia Tsitsagi, Miranda Khachidze, Mariam Chkhaidze, Manana Buzariaishvili  
Petre Melikishvili Institute of Physical and Organic Chemistry of Ivane Javakhishvili Tbilisi State University

**SUMMARY**

Coumarin and its derivatives represent one of the most active classes of compounds possessing a wide spectrum of biological activity. Many of these compounds have proved to be active as antitumor, antibacterial, antifungal, anticoagulant and anti-inflammatory. One of the 4-hydroxycoumarin derivatives were synthesized in our laboratory by using three component reaction revealed anticoagulative effect without any pronounced changes of liver morphological picture and functional parameters. Four new compounds were synthesized by using a three component reaction with 4-hydroxicoumarine, vaniline, benzaldehyde and quinoline , isoquinoline in acetic acid. All received compounds are stable for biological activity testing.

**СИНТЕЗ АЗОТСОДЕРЖАЩИХ ГЕТЕРОЦИКЛИЧЕСКИХ ПРОИЗВОДНЫХ 4-ГИДРОКСИКУМАРИНА**

Н.Т.Чаганава. М.В.Цицаги, М.М.Хачидзе, М.Ш.Чхайдзе, М.С.Бузариашвили

*Институт физической и органической химии им. П.Г.Меликисхвili  
Тбилисского государственного университета им. Ив.Джавахишвили*

**РЕЗЮМЕ**

Кумарин и его производные являются одним из наиболее активных классов соединений с широким спектром биологической активности. Многие из этих соединений проявляют антибактериальную, антифунгицидную, антикоагулянтную, противовоспалительную и антиканцерогенную активность. Один из производных 4-гидроксикумарина, синтезированный в нашей лаборатории, с использованием трехкомпонентной реакции, проявил антикоагулянтный эффект без явного изменения морфологической картины печени и функциональных параметров. Были синтезированы четыре новых соединения с использованием трехкомпонентной реакции с 4-гидроксикумарином, ванилином, бензальдегидом, хинолином, изохинолином в уксусной кислоте. Синтезированные соединения являются стабильными для биологического тестирования.

## ORGANIC CHEMISTRY

## SYNTHESIS OF 1H-PIRROLO[3,2-h]PHTALAZINE-6,9-DION

I.Jinikashvili, K.Sarajishvili, R.Devdariani, M.Burjanadze, V.Tsitsishvili

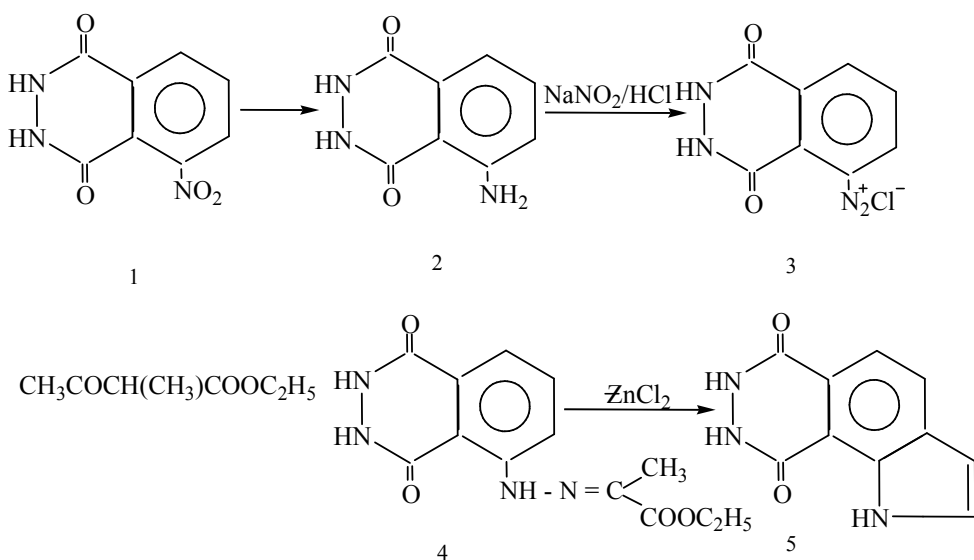
*I.Javakhishvili Tbilisi State University, Petre Melikishvili Institute of Physical and Organic Chemistry*

Hydrazone was obtained by dinitration of 5-aminophthalaze-1,4-dion hydrochloride obtained by chemical action on 5-nitrophthalaze-1,4-dion and by reducing of excreted diazonium salt. 1H-pirrolo[3,2-h]phtalazine-6,9-dion was obtained by cyclization of the latter compound.

In the past decades, the synthesis of heterocyclic compounds was a subject of great interest, due to their wide applicability. Heterocyclic compounds occur very widely in nature and are essential to life. Among a large variety of heterocyclic compounds, heterocycles containing the phtalazine moiety are of interest due to their pharmacological and biological activities[1-3].

Some compounds of phtalhidrazines are used as therapeutic agents in therapy[4-6]. 1-(2-aminoethylamino)-4-(p-chloranilin)phtalazine shows antimalarial activity against avian malaria type [7]. 2-phenyl-4-oxosophtalazones showed high tuberculostatic activity against *Mycobacterium tuberculosis* [8,9]. Many phtalhydrazones are characterized by hypotension ability [10]. Hydrazinophtalazines have effect upon central nervous system showing hypophysis effect, they have adrenolytic properties as well and regulate blood pressure.

Phtalhidrazines are 1,4-diketo derivatives of tetrahydrophthalazines. Phtalhydrazines exist mainly in the form of dions. Phtalhidrazines are obtained generally by way of condensation of phthalic acid with hydrazine. Phthalic acids, their ethers, anhydrides and amides react with hydrazines giving Phtalhidrazines. By reaction between aminophthalazones and nitric acid respective Phtalhidrazines are obtained. Phtalhidrazines are inert against electrophilic substitution. Our objective was obtaining 1H-pirrolo[3,2-h]Phtalazine-6,9-dion according to the following scheme:



Hydrazone of ethyl ether of piruvic acid 5-phtalazil-1,4-dion(4) was obtained by dinitration of 5-aminophthalaze-1,4-dion hydrochloride (2) obtained by chemical action of SnCl<sub>2</sub> on 5-nitrophthalaze-1,4-dion (1) and by reducing of excreted diazonium salt (3). 1H-pirrolo[3,2-h]phtalazine-6,9-dion(5) was obtained by cyclization of the latter compound.

Composition and structure of synthesized compounds is determined by element analysis and physical methods of investigation.

**Experimental**

5-nitrophthalaz-1,4-dion (1). 96,5 g of 3-nitrophthalic anhydride was diluted with 400 ml of glacial acetic acid. The mixture was cooled to 70°C and 26g of hydrazine hydrate (70%) was carefully added upon stirring. The reaction lasted for 30 minutes under boiling. Precipitate was diluted by NaOH (5%). After adding of acetic acid 5-nitrophthalaze-1,4-dion was obtained 75g (84%). Melting point 314-315°C; <sup>1</sup>H-NMR(CCl<sub>4</sub>) δ 7.90 (1H, gg, <sup>3</sup>J7.7, <sup>4</sup>J1.4), 7.97 (1H, <sup>3</sup>J7.7), 8.24 (1H g.g, <sup>3</sup>J 7.7, <sup>4</sup>J 1.4), 11.37 (2H, NH).

5-aminophthalaze-1,4-dion(2). 10.0g of 5-nitrophthalaze-1,4-dion was dissolved in 100 ml of NaOH (5%) and heated up to 50°C. 45g of SnCl<sub>2</sub> dissolved in 225 ml of HCl was carefully added to the mixture during 15

minutes. 40 minutes later the mixture was cooled to 0°C. Crystals of 5-aminophthalaze-1,4-dion hydrochloride was filtrated, washed by water, diluted in ammonia (10%) and filtrated once again. After acidifying with acetic acid 6,5 g amine was obtained. Yield was 95%. Melting point 332-333°C (with destruction). IR (nujol)  $\text{cm}^{-1}$ : 3300 $\text{cm}^{-1}$ .  $^1\text{H-NMR}(\text{CCl}_4)$  86.3 (2H, NH+H<sub>2</sub>O<sub>dms</sub>), 6.83 (1H, gg,  $^3\text{J}$ 8.2,  $^4\text{J}$ 1.0,C<sub>6</sub>H<sub>3</sub>), 6.99 (1H, gg,  $^3\text{J}$ 7.6,  $^4\text{J}$ 1.0,C<sub>6</sub>H<sub>3</sub>), 7.08 (2H, NH<sub>2</sub>), 7.35 (1H, gg,  $^3\text{J}$ 8.2,  $^3\text{J}$ 7.6, C<sub>6</sub>H<sub>3</sub>).

Hydrazone of ethyl ether of piruvic acid 5-phtalazil-1,4-dion (4). 50ml of HCl (18%) was added to 6,1g (0,033mol) of 5-aminoftalaze-1,4-dion hydrochloride, cooled to 0°C and then 5g NaNO<sub>2</sub> diluted in 35 ml of water was added. The temperature during reaction was 0-3°C. Synthesis lasted for 1h. The obtained salt of diazonium was cooled to -10°C and then 7,0g (0,05mol) 2-methylacetooacetic acid ethyl ether diluted in propanol-2 (25ml) was added. pH of the mixture was reduced to 6 by sodium acetate and left to stand for 3 hours at 0°C. Hydrazone was extracted with chloroform. Solvent was removed in rotary evaporator. 5,9g (75%) of technical hydrazone was obtained. Melting point 220-225°C. IR (nujol)  $\text{cm}^{-1}$ : 3432 $\text{cm}^{-1}$ , 3162 $\text{cm}^{-1}$ , 1658 $\text{cm}^{-1}$ .  $^1\text{H-NMR}(\text{CCl}_4)$  8.24 (1H g,g,  $^3\text{J}$  7.7,  $^4\text{J}$  1.4), 1.24(J 7.1CH<sub>2</sub>CH<sub>3</sub>), 11.37 (2H, NH).

1H-pirolo [3,2-h]phtalazine-6,9-dion(5). 11g of ZnCl<sub>2</sub> was added to 2g of hydrazone (4) and heated up to 190°C during 15 minutes. After cooling, the mixture was transferred to porcelain mortar, 40 ml of water was added and after homogenization the product was extracted with ethyl acetate. Mixture was dried with sodium sulfate, then filtrated and the solvent was removed in rotary evaporator. 0,56g(40%) of white, crystal compound was obtained.

The IR measurements were carried out with a Thermo Nicolet AVATOR model 370 FT-IR.

The NMR spectra were recorded on a Varian Mercury-300VX spectrometer ( $^1\text{H-NMR}$  at 300 MHz), using CCl<sub>4</sub> as the solvent.

#### ლიტერატურა-REFERENCES- ЛИТЕРАТУРА.

1. F.Al-Assar, K.N.Zelenin, E.E.Lesiovskaya, I.P.Bezhan, B.A.Chakchir, J.Pharm. Chem. 2002, 36, p.598.
2. R.P.Jain, J.C.Vederas, Bioorg. Med. Chem.Lett. 2004, 14, p.3655.
3. R.W.Carling, K.W.Moore, L.J.Street, D.Wild, C.Isted, P.D.Lesson, S.Thomas, D.O Connor, R.M. McKernan, K. Quirk, S.M. Cook, J.R. Atack,; K.A Wafford, S.A Thompson, G.R Dawson, P. Ferris, J.L.Castro, J.Med. Chem. 2004, 47, p.1807.
4. S.Grasso, G. De Sarro, A. De Sarro, N.Micale, M. Zappala, G. Puja, M. Baraldi, C.De Micheli, J. Med. Chem. 2000, 43, p. 2851.
5. Y.Nomoto, H. Obase, H.Takai, T. Hirata, M. Teranishi, J. Nakamura, T. Ohno, K. Kubo, Chem.Pharm. Bull. 1990.38, p.2467.
6. N. Watanabe, Y. kabasawa, Y. Takase, M. Matsukura, K. Miyazaki, H. Ishihara, K.Kodama, H.Adachi, J.Med.chem. 1998,41, p.3367.
7. R.D.Haworth, S.Robinsin, J.Chem.Soc., 1948, 27, p.777-782.
8. D.J.Drain, D. E.Seymour, J.Chem.Soc., 1955, 4, p.852-855.
9. E.M.Bavin, D.J.Drain, M.Seilur and D.F.Seymour. J.Pharm Pharmacol, 1952, 4, 844-848.
10. N.Craver, W.Barrett, A.Cameron et al., J.Am.Pharm.Soc., 1951, 40, p.559-564.

#### 1H-პიროლო[3,2-h]ფტალაზინ-6,9-დიონის სინთეზი

იმა ჯინიშვილი, ქეთევან სარაჯიშვილი, რუსუდან დევდარიანი, მანანა ბურჯანაძე, ვლადიმერ ციციშვილი  
ივანე გამარჯველის თბილისის სახელმწიფო უნივერსიტეტის  
აუთორუ მელიქშვილის ფიზიკური და ორგანული ქიმიის ინსტიტუტი  
რეზიუმე

5-ნიტროფტალაზ-1,4-დიონის ქლორირებით მიღებულ 5-ამინოფტალაზ-1,4-დიონის ჰიდროქლორიდის დიაზოტირებით  
და გამოყოფილი დიაზონიუმის მარილის ალდენით მიღებულ იქნა ჰიდრაზონი. უკანასკნელის ციკლიზაციით  
მიღებულია შესაბამისი 1H-პიროლო[3,2-h]ფტალაზინ-6,9-დიონი

#### СИНТЕЗ 1Н-ПИРРОЛО[3,2-h]ФТАЛАЗИН-6,9-ДИОНА

И.Джиникашвили, К.Сараджишвили, Р.Девдариани, М.Бурджанадзе, В.Цицишвили

Институт физической и органической химии им. П.Меликисиши  
Тбилисского Государственного Университета им. И.Джавахишвили

#### РЕЗЮМЕ

Хлорированием 5-нитрофталаз-1,4-диона получен гидрохлорид 5-аминофталаз-1,4-диона. Диазотированием хлорпроизводного и восстановлением соли диазона выделен гидразон. Циклизацией последнего получен соответствующий 1Н-пирроло[3,2-h]фталазин-6,9-дион.

**ბიოორგანული ძიმია****მოცვის ნაყოფის ზენოლური ნამრთები**

მაღვინა თათვიძე, ვარდენ ხვედელიძე, ინდირა ჯაფარიძე\*, ელენე ქამადაძე\*,  
ალექს კალანდია\*

*ქუთაისის აკადემიური წერტილის სახელმწიფო უნივერსიტეტი  
\*ბათუმის შოთა რუსთაველის სახელმწიფო უნივერსიტეტი*

ფლავონოიდები პოლიფენოლების მრავალფეროვანი ჯგუფია და გამოიჩინა ანტიოქსიდანტური, ანტიალერგიული და სხვა აქტიურობებით. ადამიანისათვის ამ ნაერთების წყარო მხოლოდ მცენარეული ნედლეულია, ამიტომაც ძალზე მნიშვნელოვანია ასეთი ნედლეულის აღმოჩენა და გამოყენება.

ფლავონოიდები ფართოდ გამოიყენება სხვადასხვა პრეპარატის წარმოებაში. დღეისათვის მოთხოვნები პრეპარატებში შემავალ აქტიურ ნაერთია იდენტიფიცირებისადმი საკმაოდ გამკაცრებულია, ამიტომ აუცილებელი ხდება კვლევისას მაღალი წნევის სითხეური ქრომატოგრაფის (მწსქ) და ატომურ-ადსორბციული სპექტრომეტრის გამოყენება.

საინტერესოა მოცვის ნაყოფის გამოყენება სხვა მცენარეებთან კომბინაციაში ანგიის საწინააღმდეგო პრეპარატების წარმოებაში. მოცვი - *Vaccinium mirtillus L* კარგად ცნობილია მსოფლიოში, როგორც ფუნქციონალური პროდუქტი, ანტიოქსიდანტების წყარო, მასში ფენოლური ნაერთების მნიშვნელოვანი რაოდენობით, მრავალფეროვანი ანტოციანების [1-5], ვიტამინების, მინერალების, უჯრედანას, ქლოროფილის მჟავის და ა.შ. [6-8] მაღალი შემცველობის გამო.

საქართველოში მოცვი ძირითადად მთიან ზონაშია და 3 ძირითადი სახეობითაა წარმოდგენილი. მიუხედავად იმისა, რომ მოცვი ხალხურ მედიცინაში უხსოვარი დროიდან ფართოდაა ცნობილი მისი უნიკალური სამკურნალო თვისებების გამო, საქართველოში გავრცელებული ფორმები მაღალი წნევის სითხეური ქრომატოგრაფირებით პრაქტიკულად შეუსწავლელია.

**კვლევის მზანს** წარმოადგენდა შეგვესწავლა დასავლეთი საქართველოში გავრცელებული ველურად მზარდი მოცვის *Vaccinium mirtillus L* ნაყოფის ფენოლური ნაერთების (ანტოციანები, ფლავონოლები, კატექინები, ლეიკონტოციანები, ფენოლკარბონმჟავები) რაოდენობრივი და თვისობრივი (HPLC მეთოდით) შემცველობა, დაგვედგინა ბიოლოგიურად აქტიური ნაერთების გადამუშავების შემდგომი ცვალებადობა; დაგვედგინა მოცვის ნაყოფში რკინის შემცველობა და მისი ცვალებადობა გადამუშავების დროს.

მოცვის ნიმუშების აღება ხდებოდა სამომხმარებლო სიმწიფის ეტაპებზე. შესაბამისად ამავე ეტაპებზე მომზადდა ექსტრაქტები და ჩატარდა ზოგიერთი ფენოლური ნაერთის თვისობრივი და რაოდენობრივი კვლევები სპექტრალური და მწსქ მეთოდებით, ხოლო რკინის ანალიზი ატომურ-ადსორბციული მეთოდით.

**ნედლეული და მეთოდები**

საკვლევი ნიმუშები აღებულ იქნა საქართველოში, იმერეთის რეგიონში, სხვადასხვა რაიონში. ნედლეულად გამოყენებულ იქნა *Vaccinium mirtillus L* სამომხმარებლო სიმწიფის ნაყოფი.

ფლავონოლების, კატექინების, ლეიკონტოციანების და ფენოლკარბონმჟავების კვლევისათვის ნიმუშის ექსტრაქტია ხდებოდა 70%-იანი ეთანოლით  $70\text{--}80^{\circ}\text{C}$  ტემპერატურის პირობებში. ანტოციანების რაოდენობრივი ანალიზისათვის საკვლევი ნიმუშის ექსტრაქტია მიმდინარეობდა შემჟავებული ეთანოლით (3% მარილმჟავით) (-15)–(-18) $^{\circ}\text{C}$ . რაოდენობრივი ანალიზისათვის გამოყენებულ იქნა შესაბამისი რეაგენტები [24, 25] და მათი შემცველობა განისაზღვრა სპექტრალური მეთოდით სტანდარტული ნაერთებით საკალიბრო მრუდის აგებით, ფლავონოლებისათვის - რუთინზე (400 ნმ), კატექინებისათვის - (+) კატექინზე (500 ნმ), ლეიკონტოციანებისათვის - ციანიდინზე (550 ნმ), ფენოლკარბონმჟავებისათვის - კოფეინის მჟავაზე (325 ნმ), ანტოციანებისათვის ციანიდინ-3-გლუკოზიდ ქლორიდზე გადანგარიშებით (528 ნმ). შედეგები მოცემულია ცხრილში 1, 2 და 3.

ანტოციანების, ფლავონოიდური გლიკოზიდებისა და ფენოლკარბონმჟავებისა თვისობრივი განსაზღვრა - მაღალი წნევის სითხეური ქრომატოგრაფირების მეთოდით: ქრომატოგრაფი - Waters (USA), Waters HPLC system equipped with a model 525 pump; ქრომატოგრაფიული სვეტი - C<sub>18</sub> - 4,6x150 Symmetry;

დეტექტორება – ანტოციანებისათვის 510 ნმ, ფლავონოლებისათვის 360 და 370 ნმ-ზე, ფენოლგარბონმჟავებისათვის 280 ნმ-ზე. მოძრავი ფაზას წარმოადგენდა - 5%-იანი ჟიანჯველმჟავა (A) და მეთანოლი (B), ხაზობრივი გრადიენტი. ასკორბინის მჟავას დეტექტორება ხდებობოდა 254 ნმ, მოძრავი ფაზას წარმოადგენდა 20 %-იანი მეთანოლი pH 2,6. გამზნელის სიჩქარე - 0,7მლ/წთ-ში, საკვლევი ნიმუშის რაოდენობა 20 µl.

რკინის განსასაზღვრავად გამოყენებული იქნა ატომურ-ადსორბციული მეთოდი. მინუში წინასწარ დაინაცრა, რეაგენტებთან მოქმედებით წარმოიქმნა მარილი, რომელიც შემდგომში გაიხსნა შესაბამის გამზნელებში.

სტატისტიკური დამუშავება - ანალიზის შედეგების მათემატიკური დამუშავება ტარდებოდა  $P < 0,05$  სიზუსტით.

### შედეგი და მათი განხილვა

ფენოლური ნაერთების შემცველობა მოცვის ნაყოფში დამოკიდებულია სიმწიფის უტაპსა და გადამუშავების პირობებზე [1-8].

მოცვის, როგორც საკვებად და გადასამუშავებლად ვარგისი კენკრა ფასდება მასში ფენოლურ ნაერთთა (ანტოციანები, ქლოროფინის მჟავა) მაღალი შემცველობის გამო, რაც ასევე მის სამკურნალო ეფექტსაც ზრდის [1-5].

დადგენილ იქნა, რომ რაოდენობრივი თვალსაზრისით ანტოციანები ბევრად აღემატება ფლავონოლების შემცველობას. შედეგები განხილულია ცხრილში 1. მშრალ ნაყოფში ეს მაჩვენებელი რამდენადმე კლებულობს, თუმცა შრობის შერჩეული რეაქიმით მაქსიმალურად იქნა შენარჩუნებული (90%-მდე), რაც მშრალი მასის პრეპარატებში უშუალოდ გამოყენების საშუალებას იძლევა.

**ცხრილი 1.** ფლავონოიდების შემცველობა ნედლ და გამშრალ მოცვის ნაყოფში

ნიმუშის აღების ადგილი	მოცვის ნაყოფი	ფლავონოლები მგ/კგ, 70% C <sub>2</sub> H <sub>5</sub> OH		კატექინები მგ/კგ, 70% C <sub>2</sub> H <sub>5</sub> OH		ლეიკონტოციანები მგ/კგ, 70% C <sub>2</sub> H <sub>5</sub> OH	
		ნედლ მასაზე	მშრალ მასაზე	ნედლ მასაზე	მშრალ მასაზე	ნედლ მასაზე	მშრალ მასაზე
<i>Vaccinium mirtillus L</i> (შუაზევის რაოონი)	მწიფე ნედლი ნაყოფი	973,75	3895,00	89,24	356,96	205,23	820,92
	მშრალი ნაყოფი	968,11	1210,14	82,65	103,31	196,80	246,00
<i>Vaccinium mirtillus L</i> (იმერეთი)	მწიფე ნედლი ნაყოფი	842,53	3370,12	62,85	251,40	125,07	500,28
	მშრალი ნაყოფი	855,34	1069,18	64,04	80,05	97,64	122,05

ცხრილიდან ჩანს, რომ გაშრობის დროს ფლავონოლების, კატექინებისა და ლეიკონტოციანების შემცველობა მცირდება; კერძოდ მწიფე ნაყოფში ფლავონოლები შეადგენს 3895 – 3370 მგ/კგ მშრალ მასაზე გადაანგარიშებით, კატექინები 356,96 – 251,40 მგ/კგ მშრალ მასაზე გადაანგარიშებით და ლეიკონტოციანები 820,92 – 500,28 მგ/კგ მშრალ მასაზე გადაანგარიშებით, ხოლო გამშრალ ნაყოფში, შეიძლება ითქვას, რომ სხვაობა 50%-ია.

ნაყოფში ფენოლგარბონმჟავათა რაოდენობა იცვლება ნაყოფის გაშრობის შედეგად (ცხრილი 2), შესაბამისად 8746-2912 მგ/კგ მშრალ მასაზე გადაანგარიშებით.

ნაყოფის გაშრობისას ანტოციანების რაოდენობა კლებულობს, შესაბამისად მწიფე ნედლ და გამშრალ ნაყოფში შეადგენს 20841-6689 მგ/კგ მშრალ მასაზე გადაანგარიშებით.

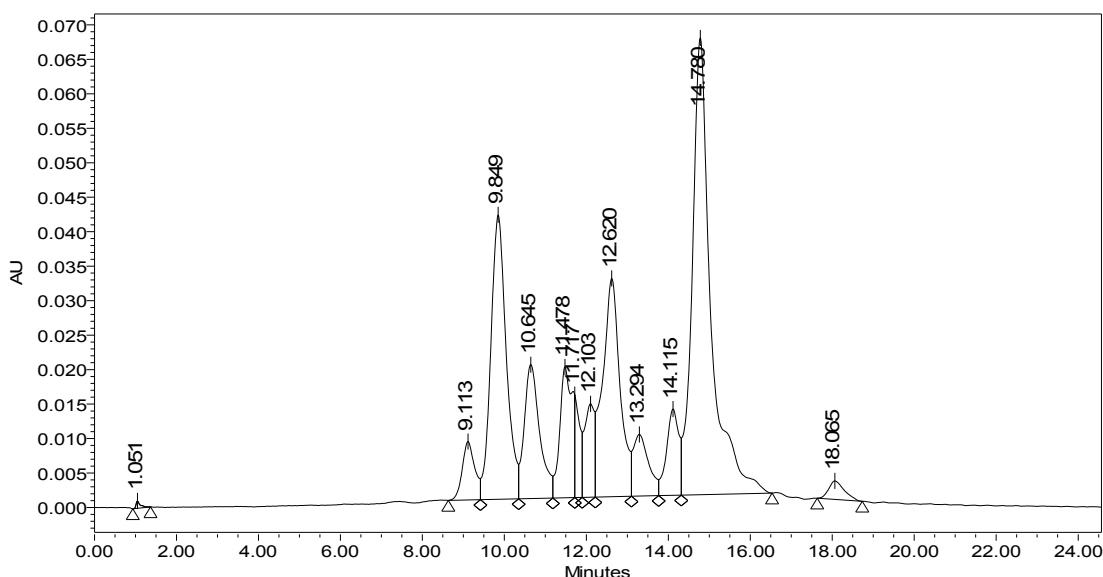
მოცვის ნაყოფის თვისობრივი ანალიზის შედეგები (ქრომატოგრამები) მოცემულია ნახაზებზე 1-3.

**ცხრილი 2.** ფენოლგარბომჟავების შემცველობა მოცვის ნაყოფში ვეგეტაციის შესაბამისად

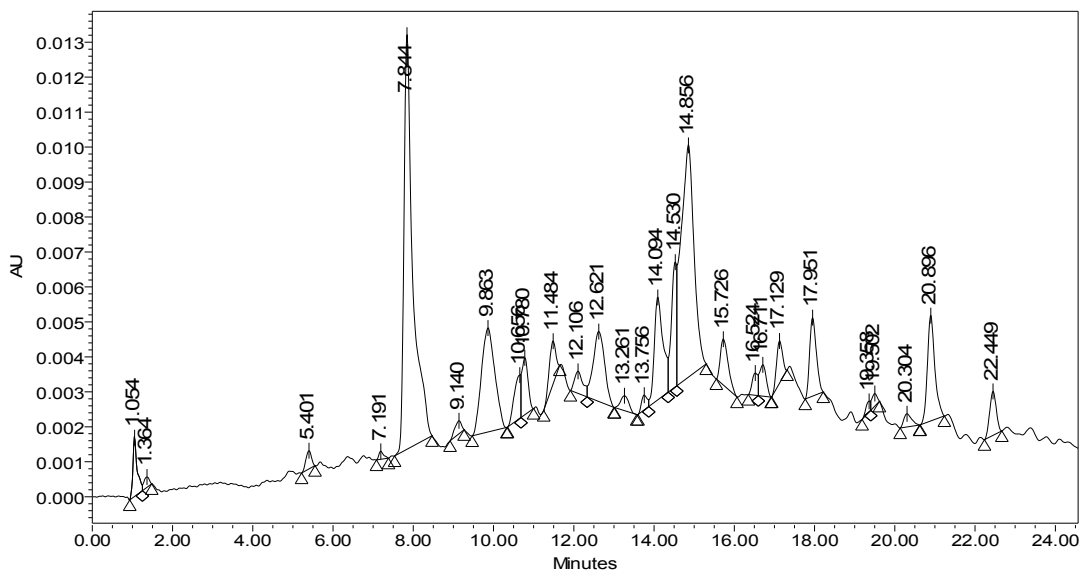
ნიმუშის აღების ადგილი	მოცვის ნაყოფი	ფენოლგარბომჟავები, მგ/კგ, 70% C <sub>2</sub> H <sub>5</sub> OH	
		ნედლ მასაზე გადაანგარიშებით	მშრალ მასაზე გადაანგარიშებით
<i>Vaccinium mirtillus L</i> (შუაზევის რაიონი)	მწიფე ნედლი ნაყოფი	2186,71	8746,84
	მშრალი ნაყოფი	2330,1	2912,625
<i>Vaccinium mirtillus L</i> (იმერეთი)	მწიფე ნედლი ნაყოფი	1556,92	6227,68
	მშრალი ნაყოფი	1603,1	2003,875

**ცხრილი 3.** ანტოციანების შემცველობა მოცვის ნედლ და მშრალ ნაყოფში

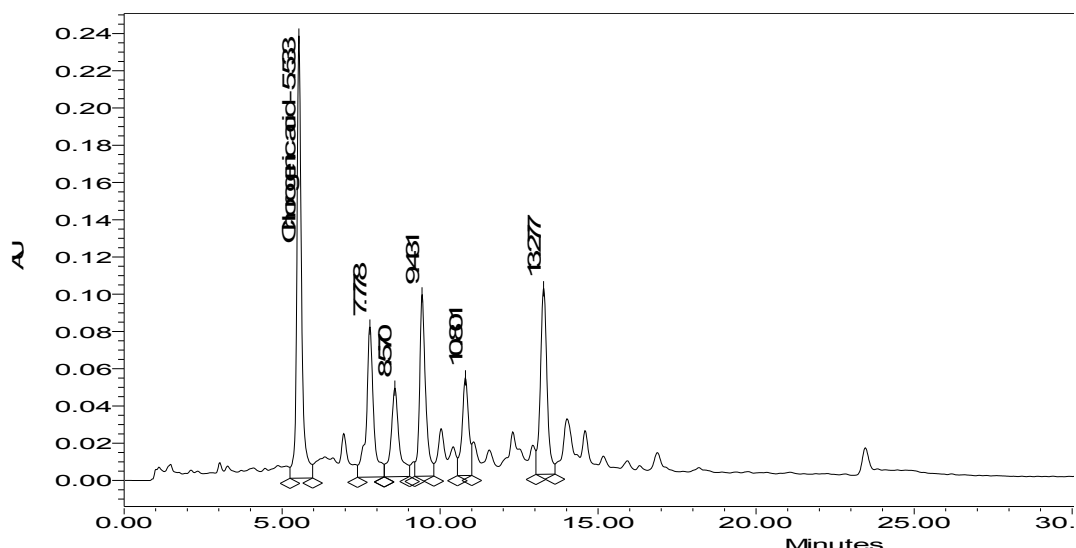
ნიმუშის აღების ადგილი	მოცვის ნაყოფი	ანტოციანები, მგ/კგ. 3%HCl 40% C <sub>2</sub> H <sub>5</sub> OH	
		ნედლ მასაზე გადაანგარიშებით	მშრალ მასაზე გადაანგარიშებით
<i>Vaccinium mirtillus L</i> (შუაზევის რაიონი)	მწიფე ნედლი ნაყოფი	5210,38	20841,52
	მშრალი ნაყოფი	5351,46	6689,325
<i>Vaccinium mirtillus L</i> (იმერეთი)	მწიფე ნედლი ნაყოფი	4583,53	18334,12
	მშრალი ნაყოფი	4639,16	5798,95



**ნახაზი 1.** ანტოციანების HPLC ქრომატოგრამა - *Vaccinium mirtillus L.* სამომხმარებო სიმწიფის ნაყოფი დელფინიდინ-3-გალაქტოზიდი (9,849 წთ); პეტუნიდინ-3-გალაქტოზიდი (12,620 წთ); მალვიდინ-3-გალაქტოზიდი (14,7 წთ)



**ნახაზი 2.** ფლავონოლების HPLC ქრომატოგრამა *Vaccinium myrtillus L.* სამომხმარებო სიმწიფის ნაყოფი კვერცეტინ-3-გალაქტოზიდი (9,48 წთ); კვერცეტინ-3-გლუკოზიდი (14,27 წთ)



**ნახაზი 3.** ფენოლგარბონმჟავების HPLC ქრომატოგრამა

მოყვანილი ქრომატოგრამებიდან ჩანს, რომ მოცვის ნაყოფის ანტოციანებიდან დომინანტ ნივთიერებას წარმოადგენერ პეტუნიდინის, დელფინიდინის და მალვინიდინის გალაქტოზიდები. რაც შეეხება მოცვის ნაყოფის ფლავონოლებს, იდენტიფიცირებული იქნა კვერცეტინ-3-გალაქტოზიდი (9,48 წთ) და კვერცეტინ-3-გლუკოზიდი (14,27 წთ).

ფენოლური მჟავები მცენარეში წარმოდგენილი არიან, როგორც თავისუფალი ისე შეკავშირებული ფორმით. გაზრდილი ინტერესი ანტიოქსიდანტური აქტიურობის განსაზღვრისა დამოკიდებულია ფენოლურ მჟავებისა და მათი წარმოებულების განსაზღვრაზე. ფენოლგარბონმჟავებიდან, როგორც მოსალოდნელი იყო, დომინირებს მაღალი ანტიოქსიდანტური აქტივობის მქონე ქლოროგენის მჟავა, რომელიც მათი საერთო შემცველობის მესამედზე მეტითაა წარმოდგენილი.

### **დასკნები**

შესწავლილია რეგიონში გავრცელებული მოცვის *Vaccinium myrtillus L.* ნაყოფის ანტოციანების, ფლავონოლერი გლიკოზიდების და ფენოლგარბონმჟავების თვისობრივი და რაოდენობრივი შემცველობა და დადგენილ იქნა, რომ რეგიონში *Vaccinium myrtillus L.* ნაყოფი მდიდარია ამ ნაერთებით. დადგენილ

იქნა, რომ ნაყოფში ფენოლკარბონმჟავები წარმოდგენილია ძირითადად ქლოროგენის მჟავას სახით, რომლიც ნარჩუნდება ნაყოფის გაშრობის შემდგომ და წარმოებულ პრეპარატში.

ფლავონოიდური გლიკოზიდებიდან იღენტიფიცირებულია კვერცეტინ-3-გალაქტოზიდი და კვერცეტინ-3-გლუკოზიდი, რომლებიც ნაყოფის გადამუშავებისას შენარჩუნებულია.

დადგენილია, რომ მოცვის ნაყოფში წარმოდგენილ ფენოლურ ნაერთაგან ყველაზე მცირე რაოდენობითაა წარმოდგენილი კატექინები, ლეიკოანტოციანები და ფლავონოიდური გლიკოზიდები.

მოცვის ნაყოფში ფენოლურ ნაერთთა შორის დომინანტ ნივთიერებას წარმოადგენს ანტოციანური პიგმენტები, რომლებიც 50%-მდეა შენარჩუნებული გადამუშავების დროს.

ავტორები მადლობას უხდიან შოთა რუსთაველის ეროვნულ სამეცნიერო ფონდს ფინანსური (გრანტი GNSF/ST8/513) უზრუნველყოფისათვის.

### ლიტერატურა – REFERENCES – ЛИТЕРАТУРА

- Mertz, C.; Gancel, A.; Gunata, Z.; Alter, P.; Dhuique-Mayer, C.; Vaillant, F.; Perez, A. M.; Ruales, J.; Brat, P. Phenolic compounds, carotenoids and antioxidant activity of three tropical fruits. *J. Food Compos. Anal.* 2009, 22, 381–387.
- Puupponen-Pimia, R.; Nohynek, L.; Alakomi, H.; Oksman-Caldentey, K. Bioactive berry compounds; *Appl. Microbiol. Biotechnol.* 2005, 67, 8–18.
- LESLIE WADA\*, BOXIN OU. Antioxidant Activity and Phenolic Content of Oregon Caneberries. *J. Agric. Food Chem.* 2002, 50, 3495-3500.
- Swain T., Hillis W.E. The phenolic constituents of *Prunus domestica*. 1. The quantitative analysis of phenoliss constituents. *J. sci food agric.* 1959. 10.63.
- E.X.Botinov, A.A.Drenin, A.B.Makarova. Chemistry of vegetative raw materials. 2006, №1, p. 45-48.
- Fresh Bilberry fruit, Ph Eur monograph 1602. Crown Copyright 2005.
- Shahidi, F.; Naczk, M. Phenolics in Food and Nutraceuticals; CRC Press: Boca Raton, FL, 2004; pp 131-155, 490.
- Rice-Evans, C. A.; Miller, N. J.; Papanga, G. Structureantioxidant activity relationships of flavonoids and phenolic acids. *Free Radical Biol. Med.* 1996, 20, 933-956.

### PHENOLIC COMPOUNDS IN BLUEBERRY FRUIT

Malvina Tatvidze, Varden Khvedelidze, Indira Djaparidze\*, Elene Qamadadze\*, Aleko Kalandia\*

*The Akaki Tsereteli Kutaisi State University*

\**The Shota Rustaveli State University (Batumi)*

### SUMMARY

The qualitative and quantitative composition of anthocyanins, flavonoids glycosides and phenol carboxylic acid in the fruit blueberry *Vaccinium mirtillus* L, growing in the western regions of Georgia, has been studied by liquid chromatography and atomic absorption spectroscopy. Composition of phenolic substances after drying and processing of fruits was established also.

### ФЕНОЛЬНЫЕ СОЕДИНЕНИЯ В ПЛОДАХ ЧЕРНИКИ

М.Татвидзе, В.Хведелидзе, И.Джапаридзе\*, Э.Камададзе\*, А.Каландия\*

*Кутаисский государственный университет им. Ак. Церетели*

\**Государственный университет Шота Руставели (Батуми)*

### РЕЗЮМЕ

Изучен количественный и качественный состав антоцианов, флаваноидных гликозидов и фенолкарбоновых кислот в плодах черники *Vaccinium mirtillus* L, распространенной в западных регионах Грузии. Для исследований применялись методы жидкостной хроматографии и атомно-абсорбционной спектроскопии. Установлен также количественный состав указанных веществ после сушки и обработки плодов.

**ვიზიტორი ძიმია**

**მანგანუმ-ამონიუმის სულფატის ხსნარებში მანგანუმის ჰიდრატზარმოქმნის pH-ის  
ტემპერატურისაბან დამოკიდებულების შესწავლა**

გორგი აგლაძე<sup>1,2</sup>, გიგლა წურწუმია<sup>1,2</sup>, ნანა ქოიავა<sup>1</sup>, ნათელა გოგიშვილი<sup>1</sup>, ლევან ბერიაშვილი<sup>1,2</sup>,  
ირაკლი ზარიძე<sup>1</sup>

<sup>1</sup>o. ჯავახიშვილის სახ. თბილისის სახელმწიფო უნივერსიტეტის

რ. აგლაძის არორგანული ქიმიისა და ელექტროქიმიის ინსტიტუტი

<sup>2</sup>საქართველოს ტექნიკური უნივერსიტეტი

**შესავალი**

მანგანუმის ორი მნიშვნელოვანი პროცესის – ელექტროლიზური ლითონური მანგანუმისა და აქტიური ელექტროლიზური მანგანუმის დიოქსიდის ერთდროული მიღებისას ანიონსელექტიური მემბრანით გაყოფილი ელექტროქიმიური რეაქტორის კათოლიტში ტემპერატურა შესაძლებელია მანგანუმის ელექტროგამოლექვისათვის ოპტიმალურ, 350C-ზე მაღალი იყოს [1,2]. კათოლიტის გაცხელებას იწვევს ცხელი (94-95°C) ანოლიტიდან მემბრანის გავლით სითბოს გადაცემა. შედარებით მაღალ (>40°C) ტემპერატურებზე სისტემაში MnSO<sub>4</sub> - (NH<sub>4</sub>)<sub>2</sub>SO<sub>4</sub> - H<sub>2</sub>O იცვლება როგორც ხსნარის pH, ასევე მანგანუმის ჰიდრატზარმოქმნის pH. ეს სიდიდეები მნიშვნელოვან გავლენას ახდენენ ლითონის დენით გამოსავალზე და მის სისუფთავეზე. ელექტროლიზური ლითონური მანგანუმის წარმოების ცნობილ სამრეწველო მეთოდებში [3, 4] კათოლიტის pH შენარჩუნებულია 8-8.25 ზღვრებში, რათა ხსნარში შემცირდეს წყალბადის იონების კონცენტრაცია და შესაბამისად, წყალბადის გამოყოფის თანაური რეაქციის წილი ლითონური მანგანუმის გამოლექვის პროცესში. აღსანიშნავია, რომ ნეიტრალურ და სუსტ ტუტე არები ლითონური მანგანუმი ხშირად არის გაჭუჭყანებული მანგანუმის ჰიდროქსიდებით [5]. მანგანუმისა და ამონიუმის მარილთა ხსნარების ნარევში ჰიდროქსიდების წარმოქმნის pH ტიტრაციის მეთოდით შესწავლილია სულფატებსა და ქლორიდებში [4, 6]. ამ სამუშაოებში ტიტრანტად გამოყენებული იყო 1 ნატრიუმის ტუტის ხსნარი და პროცესი ტარდებოდა ოთახის ტემპერატურაზე.

წარმოდგენილ სამუშაოში მოცემულია ტემპერატურის 25-70°C ფარგლებში მანგანუმ – ამონიუმის სულფატების სხვადასხვა შემცველობის ხსნარების pH-ისა და მანგანუმის ჰიდრატზარმოქმნის pH ექსპერიმენტალურად გაზომილი სიდიდეები ამასკის წყლით გატიტვრის პირობებში.

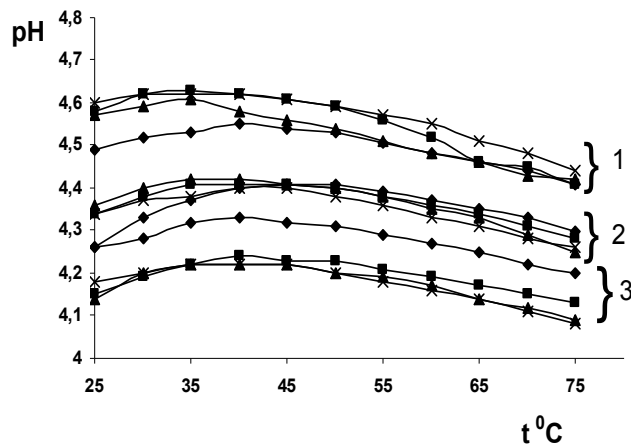
**ექსპერიმენტის ჩატარების მეთოდება**

მანგანუმ-ამონიუმის სულფატის ხსნარებში pH-ის ტემპერატურისაგან დამოკიდებულების და მათში სხვადასხვა ტემპერატურაზე მანგანუმის ჰიდრატზარმოქმნის pH-ის განსაზღვრისათვის გამოყენებული იყო პრეციზიული pH-მეტრი MP512 (ჩინეთი). მოცემულ ტემპერატურაზე მანგანუმ-ამონიუმის სულფატის ხსნარებში მანგანუმის ჰიდროქსიდების წარმოქმნის pH-ს ვაფიქსირებდით ვიზუალურად ხსნარის შემღვრევის დაწყების მომენტში მასზე ბიურეტიდან განსაზღვრული მოცულობის ამასკის წყალხსნარის დამატებისა და ინტენსიური მორევის პირობებში. ცდა ტარდებოდა ცილინდრული ფორმის პირექსის მინის ჭურჭელში, რომელშიც ზემოდან ჩაშესული იყო pH-მეტრის ელექტროდი. ხსნარის საჭირო ტემპერატურამდე გასაცხელებლად ჭურჭელს გარშემო ჰქონდა ჰერანგი თერმოსტატიდან განსაზღვრული ტემპერატურის წყლის მისაწოდებლად.

ექსპერიმენტში გამოყენებული იყო ერთჯერადად გადაკრისტალებული “სუფთა” კვალიფიკაციის მანგანუმის სულფატის მარილი და “ქიმიურად სუფთა” ამონიუმის სულფატი დამატებითი გასუფთავების გარეშე; ტიტრაციას ვახდებით ბიურეტიდან “სუფთა” კვალიფიკაციის ამასკიანი წყალის დამატებით. განსაზღვრული შედგენილობის მანგანუმ-ამონიუმის სულფატების ხსნარები მზადდებოდა დისტილირებული წყლის გამოყენებით. მანგანუმის იონებისა და ამონიუმის იონების კონცენტრაციების განსაზღვრისათვის გამოყენებული იყო, შესაბამისად, ფოლგარდის და კიელდალის ცნობილი ქიმიური ანალიზის მეთოდები [7-9].

### ექსპერიმენტის შედეგები და განხილვა

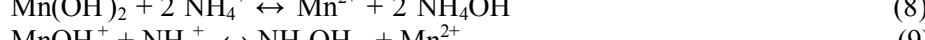
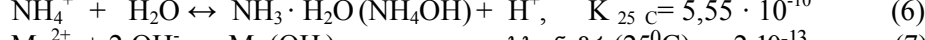
სხვადასხვა შედეგებით მანგანუმ-ამონიუმის სულფატების ხსნარების pH-ის ცვლილება ტემპერატურის ფართო ზღვრებში ( $25\text{--}75^{\circ}\text{C}$ ) მოცემულია ნახაზზე 1.



ნახ. 1. მანგანუმ-ამონიუმის სულფატების ხსნარების pH-ის დამოკიდებულება ტემპერატურისაგან

- 1} ♦ -  $15\text{g/l}$   $\text{Mn}^{2+} + 30 \text{ g/l}$   $(\text{NH}_4)_2\text{SO}_4$ ; ■ -  $15\text{g/l}$   $\text{Mn}^{2+} + 50 \text{ g/l}$   $(\text{NH}_4)_2\text{SO}_4$ ;
   
▲ -  $15\text{g/l}$   $\text{Mn}^{2+} + 70 \text{ g/l}$   $(\text{NH}_4)_2\text{SO}_4$ ; ✕ -  $15\text{g/l}$   $\text{Mn}^{2+} + 100 \text{ g/l}$   $(\text{NH}_4)_2\text{SO}_4$
- 2} ♦ -  $30\text{g/l}$   $\text{Mn}^{2+} + 30 \text{ g/l}$   $(\text{NH}_4)_2\text{SO}_4$ ; ■ -  $30\text{g/l}$   $\text{Mn}^{2+} + 50 \text{ g/l}$   $(\text{NH}_4)_2\text{SO}_4$ ;
   
▲ -  $30\text{g/l}$   $\text{Mn}^{2+} + 70 \text{ g/l}$   $(\text{NH}_4)_2\text{SO}_4$ ; ✕ -  $30\text{g/l}$   $\text{Mn}^{2+} + 100 \text{ g/l}$   $(\text{NH}_4)_2\text{SO}_4$
- 3} ♦ -  $45\text{g/l}$   $\text{Mn}^{2+} + 30 \text{ g/l}$   $(\text{NH}_4)_2\text{SO}_4$ ; ■ -  $45\text{g/l}$   $\text{Mn}^{2+} + 50 \text{ g/l}$   $(\text{NH}_4)_2\text{SO}_4$ ;
   
▲ -  $45\text{g/l}$   $\text{Mn}^{2+} + 70 \text{ g/l}$   $(\text{NH}_4)_2\text{SO}_4$ ; ✕ -  $45\text{g/l}$   $\text{Mn}^{2+} + 100 \text{ g/l}$   $(\text{NH}_4)_2\text{SO}_4$

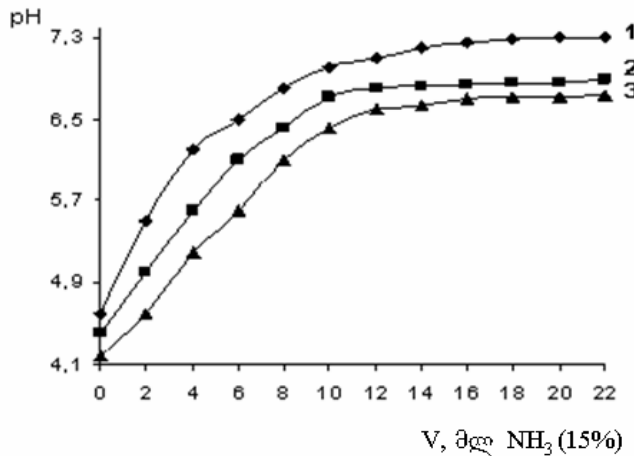
ნახ.1-ზე მოტანილი გრაფიკებიდან ჩანს, რომ ტემპერატურის გაზრდით ( $25\text{--}40^{\circ}\text{C}$  ფარგლებში) მოცემული კონცენტრაციის მანგანუმ-ამონიუმის სულფატის ხსნარების pH დასაწყისში ჯერ მცირდებ იზრდება, ხოლო ტემპერატურის შემდგომი გაზრდით ( $>40^{\circ}\text{C}$ ) შესამჩნევად ეცემა. გრაფიკებიდან ასევე ჩანს, რომ მანგანუმის იონების კონცენტრაციის გაზრდით ხსნარის pH მცირდება. მანგანუმ-ამონიუმის სულფატის ხსნარებში pH-ის ასეთი ცვლილება ტემპერატურისაგან დამოკიდებულებით მიუთითებს ხსნარში არსებულ რთულ წონასწორულ პროცესებზე, რომლებიც შეიძლება წარმოვადგინოთ შემდეგი სახით:



შედარებით დაბალ ტემპერატურებზე ( $25\text{--}40^{\circ}\text{C}$ ) სულფატ-იონის მაღალი კონცენტრაციის პირობებში შესაძლებელია მე-(4) რეაქციის წონასწორობის გადახრა მარჯვნივ იონური წყვილის –  $\text{HSO}_4^-$  წარმოქმნით. ამ მოსაზრებას ამყარებს ის ფაქტი, რომ წონასწორული რეაქცია (4) წარმოადგენს გოგირგმულავას დისოციაციის მეორე საფეხურის შებრუნებულ რეაქციას ( $\text{HSO}_4^- \leftrightarrow \text{H}^+ + \text{SO}_4^{2-}$ ), რომლის დისოციაციის კონსტანტა ტოლია 0.01 [10]; ე.ი. ხსნარში  $\text{HSO}_4^-$  იონების არსებობა მაღალია. შესაბამისად, იონური წყვილის –  $\text{HSO}_4^-$ -ის წარმოქმნის გამო იღვევა (3) რეაქციის წონასწორობა და  $\text{OH}^-$ -ის სიჭარბე განაპირობებს pH-ის გაზრდას. ტემპერატურის შემდგომი მომატებით იზრდება

მანგანუმის და ამონიუმის იონების ჰიდროლიზის რეაქციების სიჩქარეები (5 და 6) და უკეცარი მანგანუმის იონების pH-ის მცირდება.

ყველა შესწავლილ მანგანუმ-ამონიუმის სულფატების ხსნარებში მანგანუმის იონების კონცენტრაციის ან ხსნარის ტემპერატურის გაზრდით ადგილი ჰქონდა მანგანუმის ჰიდრატურმოქმნის pH-ის შემცირებას. ერთ-ერთი ასეთი პოტენციომეტრული ტიტრაციის მრუდები  $70^{\circ}\text{C}$ -ზე მოცემულია ნახაზე 2, ხოლო სხვადასხვა ტემპერატურაზე მანგანუმის ჰიდრატურმოქმნის pH-ის მნიშვნელობები წარმოდგენილია ცხრილში 1.



ნაზ. 2. მანგანუმ-ამონიუმის სულფატების ხსნარების pH-ის ცვლილება  
ამიაკის წყალხსნარით ტიტრაციის პირობებში  $70^{\circ}\text{C}$ -ზე:

1 – 15 გ/ლ  $\text{Mn}^{2+} + 100$  გ/ლ  $(\text{NH}_4)_2\text{SO}_4$ ; 2 – 30 გ/ლ  $\text{Mn}^{2+} + 100$  გ/ლ  $(\text{NH}_4)_2\text{SO}_4$ ;  
3 – 45 გ/ლ  $\text{Mn}^{2+} + 100$  გ/ლ  $(\text{NH}_4)_2\text{SO}_4$

ცხრ. 1. მანგანუმ-ამონიუმის სულფატის ხსნარებში მანგანუმის ჰიდრატურმოქმნის pH-ის მნიშვნელობები ტემპერატურის 25-70°C ფარგლებში

№	ხსნარის შედეგნილობა	მანგანუმის ჰიდრატურმოქმნის pH		
		25°C	40°C	70°C
1	15გ/ლ $\text{Mn}^{2+} + 30$ გ/ლ $(\text{NH}_4)_2\text{SO}_4$	7.77	7.35	7.1
	15გ/ლ $\text{Mn}^{2+} + 50$ გ/ლ $(\text{NH}_4)_2\text{SO}_4$	7.8	7.4	7.15
	15გ/ლ $\text{Mn}^{2+} + 70$ გ/ლ $(\text{NH}_4)_2\text{SO}_4$	7.83	7.35	7.2
	15გ/ლ $\text{Mn}^{2+} + 100$ გ/ლ $(\text{NH}_4)_2\text{SO}_4$	7.85	7.4	7.25
2	30გ/ლ $\text{Mn}^{2+} + 30$ გ/ლ $(\text{NH}_4)_2\text{SO}_4$	7.65	7.25	6.88
	30გ/ლ $\text{Mn}^{2+} + 50$ გ/ლ $(\text{NH}_4)_2\text{SO}_4$	7.6	7.3	6.92
	30გ/ლ $\text{Mn}^{2+} + 70$ გ/ლ $(\text{NH}_4)_2\text{SO}_4$	7.65	7.3	6.85
	30გ/ლ $\text{Mn}^{2+} + 100$ გ/ლ $(\text{NH}_4)_2\text{SO}_4$	7.65	7.3	6.92
3	45გ/ლ $\text{Mn}^{2+} + 30$ გ/ლ $(\text{NH}_4)_2\text{SO}_4$	7.55	7.15	6.73
	45გ/ლ $\text{Mn}^{2+} + 50$ გ/ლ $(\text{NH}_4)_2\text{SO}_4$	7.5	7.1	6.74
	45გ/ლ $\text{Mn}^{2+} + 70$ გ/ლ $(\text{NH}_4)_2\text{SO}_4$	7.5	7.05	6.76
	45გ/ლ $\text{Mn}^{2+} + 100$ გ/ლ $(\text{NH}_4)_2\text{SO}_4$	7.45	6.95	6.75

ცხრ. 1-ის მონაცემებიდან ჩანს, მანგანუმ-ამონიუმის სულფატის ხსნარებში მანგანუმის ჰიდროქსიდების წარმოქნის pH სიდიდე დამოკიდებულია მანგანუმის იონების კონცენტრაციაზე და ნაკლებად ამონიუმის სულფატის კონცენტრაციაზე; რაც უფრო მაღალია მანგანუმის იონების კონცენტრაცია, მით უფრო დაბალია მანგანუმის ჰიდროქსიდების წარმოქნის pH სიდიდე. ეს ექსპერიმენტულად მიღებული შედეგი შესაბამისობაშია ზოგად განტოლებასთან, რომელიც ასახავს მეტალის ჰიდრატურმოქმნის pH-ის დამოკიდებულებას მეტალის ჰიდროქსიდის ხსნადობის ნამრავლზე, წყლის იონურ ნამრავლზე და მეტალის იონების აქტიურ კონცენტრაციაზე [7]:

$$\text{pH} = \frac{1}{n} \lg L_{\text{Me(OH)}_n} - \lg K_w - \frac{1}{n} \lg a_{\text{Me}^{n+}},$$

სადაც,  $L_{\text{Me(OH)}_n}$  – მეტალის ჰიდროქსიდის ხსნადობის ნამრავლია;  
 $K_w$  – წყლის იონური ნამრავლი;  
 $a_{\text{Me}^{n+}}$  – ხსნარში მეტალის იონების აქტიური კონცენტრაცია.

განტოლებიდან ჩანს, რომ მეტალის კონცენტრაციის გაზრდით (იონის აქტივობის კოეფიციენტის მუდმივობისას) მეტალის ჰიდრატარმოქმნის pH მცირდება.

მიღებული შედეგებიდან გამომდინარეობს, რომ კათოდზე სუფთა მეტალური მანგანუმის მიღებისათვის ოპტიმალურ –  $35^{\circ}\text{C}$  ტემპერატურაზე აუცილებელია pH-ის შენარჩუნება  $7.0$ -მდე, ხოლო ტემპერატურის  $70^{\circ}\text{C}$ -მდე გაზრდის შემთხვევაში pH კათოლიტში არ უნდა აღემატებოდეს  $6.7$ -ს (მანგანუმის იონების მაღალი შემცველობის ხსნარებში); წინააღმდეგ შემთხვევაში ადგილი ექნება გამოლექილი მეტალის გაჭუჭყინებას ჰიდროქსიდებით და მანგანუმის იონების დანაკარგს კათოლიტში.

### დასკვნები

1. მანგანუმ - ამონიუმის სულფატების  $[15-45 \text{ г/ლ } \text{Mn}^{2+} + 30-100 \text{ г/ლ } (\text{NH}_4)_2\text{SO}_4]$  ხსნარებში ტემპერატურის მომატებით pH-ის სიდიდე მცირდება, განსაკუთრებით მანგანუმის იონების კონცენტრაციის გაზრდისას.

2. ტემპერატურის გაზრდით  $20-70^{\circ}\text{C}$  ფარგლებში მანგანუმის ჰიდრატარმოქმნის pH მცირდება; დაღვენილია, რომ რაც უფრო მაღალია ტემპერატურა და მანგანუმის იონების კონცენტრაცია, მით უფრო დაბალია მანგანუმის ჰიდრატარმოქმნის pH და იგი პრაქტიკულად არ არის დამოკიდებული ამონიუმის სულფატის კონცენტრაციაზე.

### მადლობა

ავტორები მადლობას უხდიან შ. რუსთაველის ეროვნულ სამეცნიერო ფონდს ფინანსური მხარდაჭერისათვის (გრანტი № GNSF/ST 09-795 7-200; ხელშეკრულება № 1-7/62).

### **ლიტერატურა – REFERENCES – ЛИТЕРАТУРА**

1. გ. აგლაძე. საქართველოს პატენტი 1999, № P 2273.
2. G.Agladze, N.Gogishvili, N.Kojava, I.Zaridze. Bulletin of the Georgian National Academy of Sciences, 2008, vol.2, №.4, pp.89-91.
3. R.S. Dean. Electrolitic Manganese and its Alloys. The Ronald Press Company, New York 1952. pp.39-45.
4. Р.И. Агладзе и Н.Т. Гофман. Электрохимия марганца. Изд. АН ГССР, Тбилиси, 1957, т.1. стр. 27-51.
5. Р.И. Агладзе и Э.М. Унгиадзе. Электрохимия марганца. Изд. АН ГССР, Тбилиси, 1957, т.1. стр. 439-461.
6. С.Н. Басманова. Сб. трудов “Исследования по переработке марганцевого и топливного сырья Грузии”. Изд. Мецниереба, Тбилиси, 1967, стр. 20-28.
7. 7. А.П. Крешиков. Основы аналитической химии, т. II, 1961, стр. 164-166, 176-179, 248-249, 252-260.
8. Физико-химические методы анализа. Издание 2-е, под редакцией В.Б. Алексовского и К.Б. Яцумирского; Л., Химия, 1971, стр. 245-246.
9. В. Н. Алексеев. Количественный анализ. Изд. 4-е, М., Химия, 1972, стр. 308-311.
10. D.J. Pickett. Electrochemical Reactor Design. Elsevier, Amsterdam-Oxford-New-York, 1979, p. 457.
11. А.Я. Шаталов и И.К. Маршаков. Практикум по физической химии. М., «Высшая школа», 1975, стр. 139-140.

## DEPENDENCE OF MANGANESE HYDROXIDE PRECIPITATION pH ON TEMPERATURE IN MANGANESE AND AMMONIA SULFATES SOLUTIONS

Giorgi Agladze<sup>1,2</sup>, Gigla Tsurtsunia<sup>1,2</sup>, Nana Koiava<sup>1</sup>, Natela Gogishvili<sup>1</sup>, Levan Beriashvili<sup>1,2</sup>, Irakli Zaridze<sup>1</sup>.

<sup>1</sup>*I. Javakhishvili Tbilisi State University R.Agladze Institute of Inorganic*

*Chemistry and Electrochemistry*

<sup>2</sup>*Georgian Technical University*

### SUMMARY

Dependences of pH and manganese hydrate formation on temperature change in range of 25-70°C of the solution containing different concentrations of MnSO<sub>4</sub> and (NH<sub>4</sub>)<sub>2</sub>SO<sub>4</sub> has been studied. The rise of temperature of mixture of manganese – ammonia sulfate solution (15-45 g/L Mn<sup>2+</sup> + 30-100 g/L (NH<sub>4</sub>)<sub>2</sub>SO<sub>4</sub> ) causes decrease of pH especially when concentration of manganese ions is increased. Manganese hydrate precipitation pH becomes lower in manganese – ammonia sulfate solutions at high temperatures. At high temperature, as higher is concentration of manganese ions as lower is manganese hydrate precipitation pH and it is practically independent from concentration of ammonia sulfate.

### ИЗУЧЕНИЕ ЗАВИСИМОСТИ РН ГИДРАТООБРАЗОВАНИЯ МАРГАНЦА ОТ ТЕМПЕРАТУРЫ В РАСТВОРАХ СУЛЬФАТОВ МАРГАНЦА И АММОНИЯ

Г.Р.Агладзе<sup>1,2</sup>, Г.С.Цурцумия<sup>1,2</sup>, Н.Ш.Коиава<sup>1</sup>, Н.Ш.Гогишвили<sup>1</sup>, Л.Д.Бериашвили<sup>1,2</sup>, И.Т.Заридзе<sup>1</sup>

<sup>1</sup>*Институт неорганической химии и электрохимии им.Р.И. Агладзе Тбилисского Государственного Университета им. И. Джавахишвили*

<sup>2</sup>*Грузинский Технический Университет*

### РЕЗЮМЕ

Изучено изменение pH растворов с различными концентрациями сульфатов марганца и аммония и pH гидратообразования марганца в интервале температур 25-70°C. Установлено, что с увеличением температуры растворов (15-45 г/л Mn<sup>2+</sup> + 30-100 г/л (NH<sub>4</sub>)<sub>2</sub>SO<sub>4</sub> ) уменьшается pH и особенно с возрастанием концентрации ионов марганца. С ростом температуры и концентрации ионов марганца в этих растворах pH гидратообразования марганца уменьшается и практически не зависит от концентрации сульфата аммония.

**ზოზიპური ძიმია****ელექტრონული კომუნიკაცია უეროცენილ ჯგუფებს შორის ოქრო-რენიუმის კლასტერებში**

როინ ჭედია, ოლიკო ლეგაშვილი, ციალა კაგულია, ლილი ჯანიაშვილი, მარინე ბეროშვილი,  
თამარ ქორქია, ფიოლონ ღოლგუშინი\*, ალექსანდრე სმოლიაკოვი\*,  
მარიამ ეზერნიცკაია\*, ავთანდილ ქორიძე

ივ. ჯავახიშვილის სახ. თბილისის სახელმწიფო უნივერსიტეტი, მეტალორგანული ქიმიის ინსტიტუტი

\*ა.ნესმეიანოვის სახელობის ელექტრორგანული ნაერთების ინსტიტუტი,  
რუსეთის მეცნიერებათა აკადემია, მოსკოვი

შესწავლითა ელექტრონული კომუნიკაცია ფეროცენილ ჯგუფებს შორის ოქრო-რენიუმის კლასტერებში  $\text{Re}_2(\text{AuPPh}_3)(\mu\text{-C}_2\text{Fc})(\text{CO})_8$  (1),  $\text{Re}_4(\text{AuPPh}_3)_2(\mu_3\text{-C}_2\text{Fc})_2(\text{CO})_{12}$  (2),  $\text{Re}_2(\text{AuPPh}_3)(\mu\text{-C}_4\text{Fc})(\text{CO})_8$  (3) და  $\text{Re}_4(\text{AuPPh}_3)(\mu_4\text{-C}_2)(\mu_3\text{-C}_2\text{Fc})(\text{NCMe})(\text{CO})_{13}$  (4). კლასტერები სინთეზირებულია  $\text{Re}_2(\text{CO})_8(\text{NCMe})_2$ -ის ურთიერთქმედებით  $\text{Au}(\text{PPh}_3)(\text{C}_n\text{Fc})$ -თან ( $n=2,4$ ) რიმატებული ნახშირწყალბადების არეში  $75-90^{\circ}\text{C}$ -ზე. ციკლური ვალტიმპეტრული და ახლო უბანში ინფრაწითელი სპექტროსკოპიული კვლევებით დადგენილია, რომ (1)-(3) კლასტერები მიეკუთვნებან II კლასის მოლეკულურ გამტარებს, ხოლო (4)-ის სპექტრში არ შეინშება IVCT ზოლები, როგორც ჩანს სპეისერის არ არსებობის გამო.

შერეული ვალენტობის ნაერთები [Mixed-valence (MV)] შეიძლება განვიხილოთ, როგორც მარტივი სისტემები ელექტროგამტარი მოდელების ტესტირებისათვის [1-3]. ფეროცენი ხასიათდება მაღალი შექცევადი რეალქს თვისებებით და მდგრადი (+1/0) წყვილის საფუძველზე იგი ძალიან ხშირად გამოიყენება მუხტის გადატანის შესასწავლად. მოლეკულური ფრაგმენტების (X) გავლით შერეული ვალენტობის ბუნების მქონე  $[\text{Fc-X-Fc}]^+$ -ის ( $\text{Fc}$ =ფეროცენილ) საფუძველზე, სადაც ეფექტური დაკავშირების (ძლიერი ურთიერთქმედების) შემთხვევაში ორი  $\text{Fc}$ -რგოლი საფეხურებრივად იუანგება, რომ დაუანგვას შორის პოტენციალთა სხვაობა შეიძლება გამოიყენებული იქნას ურთიერთქმედების ძალის შესაფასებლად [4,5]. ორი ექვივალენტური ფეროცენილ ჯგუფების შემცველ ცნობილ ნაერთებში მეტალ-მეტალ სპეისერები არ ახდენს ფეროცენის ერთეულებს შორის ელექტრონულ კომუნიკაციას [6-8]. რენიუმ-ოქროს კლასტერების უჩვეულო გეომეტრიამ და საინტერესო ელექტრონქიმიურმა თვისებებმა განაპირობა მათი ალკინილ და ბუტადინილ წარმოებულების სინთეზის აუცილებლობა და ელექტრონული კომუნიკაციის შესწავლა. ორი რეალქს-აქტიური ფეროცენილის ჯგუფის უნიგალური სივრცითი განლაგება (ორი ფეროცენული ერთეულის შედარებით ახლო მდებარეობა სივრცეში) საშუალებას იძლევა გამოვიკვლიოთ შიდამოლეკულური ელექტრონული ურთიერთქმედება სივრცეში. სიდებს შორის ელექტრონული ურთიერთქმედების შეფასებისათვის სინთეზირებული იქნა რენიუმ-ოქროს კლასტერები [4,5]. მსგავსი სისტემები გამოიყენება არახაზოვან ოპტიკურ მასალებში, მოლეკულურ სადენებში და მოლეკულურ ელექტრონიკაში [7,8].  $\text{Re}_2(\text{CO})_8(\text{NCMe})_2$ -ის ოქროს ალკინილურ კომპლექსთან  $\text{Au}(\text{PPh}_3)(\text{C}_2\text{Fc})$  ურთიერთქმედებით მიღებულა კლასტერები  $\text{Re}_2(\text{AuPPh}_3)(\mu\text{-C}_2\text{Fc})(\text{CO})_8$  (1) და  $\text{Re}_4(\text{AuPPh}_3)_2(\mu_3\text{-C}_2\text{Fc})_2(\text{CO})_{12}$  (2) [4,5]. ნაერთის (2) რენტგენოსტრუქტურულმა ანალიზმა აჩვენა, რომ კლასტერის აქვს უჩვეულო აღნაგობა; მასში ოთხი რენიუმის ატომი წარმოქმნის ჩონჩხს “პეპელას” კონფიგურაციით (თითოეული  $\text{Re}_3$  ფრთა დაფარულია  $\text{Au}(\text{PPh}_3)$  ფრაგმენტებით) და ორი ექვივალეტური ფეროცენილალკინური ჯგუფი  $\mu_3$ -კოორდინირებულია  $\text{Re}_3$  ფრთებით წარმოქმნილი ღრუს შიგნით [5]. (2) კლასტერის კიდევ ერთი თავისებურება მდგომარეობს იმაში, რომ ის განიცდის ორ შექცევად რეალქს პროცესს ფეროცენული ბირთვების მონაცილეობით, რომლებიც განსხვავდება  $109 \text{ mV}$ -ით. ეს მიუთითებს ძალიან იშვიათ ელექტრონულ კომუნიკაციაზე კლასტერული ჩონჩხის საშუალებით [5]. მაგრამ ქმიურად ექვივალენტური ფეროცენილური ჯგუფების შემცველი გარდამავალი მეტალების კლასტერები იშვიათობას წარმოადგენს; ასევე ამ კლასტერთათვის არ იყო ნაჩვენები მნიშვნელოვანი ელექტრონული კომუნიკაცია ექვივალენტურ რეალქს ცენტრებს შორის [9]. მსგავსი სისტემებში ელექტრონული კომუნიკაციის ხელშემწყობი ფაქტორების შესწავლის მიზნით, სასურველი იყო კომპლექსის მონათესავე კლასტერების რიცხვის სერიის გაფართოება და დადგენა, თუ რა გავლენას ახდენს რეალქს-აქტიურ ცენტრებს შორის კომუნიკაციაზე უჯერი ნახშირბადოვნი ჯაჭვის სიგრძის გაზრდა და სახელდობრ, ალკინილური ჯგუფების ბუტადინილურით შეცვლა. სამუშაოს მიზნის მისაღწევად პირველ ეტაპზე

სინთეზირებულ იქნა ალკინილ- და ბუტადიინილფეროცენები, მათი ოქროტრიფენილ ნაწარმები, სამწვრა ჰეტერომეტალური დირენიუმ-ოქროს კომპლექსები და ტეტრარენიუმ-ოქროს კლასტერები. მათი სტრუქტურა დადგენილია რენტგენოლიფრაქციული და ბირთვულ-მაგნიტური რეზონანსის (ბმრ) მეთოდებით. მეორე ეტაპზე სინთეზირებულ კომპლექსებში მუხტის დელოკალიზაცია შესწავლილი იქნა ციკლური ამბერმეტრიისა და ახლო უბანში ინფრაწითელი სპექტროსკოპიის მეთოდებით.

$\text{Re}_2(\text{AuPPh}_3)(\text{CO})_8(\mu\text{-C}_2\text{Fc})(1)$  სინთეზი განხორციელდა  $\text{Re}_2(\text{CO})_8(\text{CH}_3\text{CN})_2$  და  $\text{Au}(\text{C}_2\text{Fc})\text{PPh}_3$  ურთიერთქმედებით ტოლუოლში. გამოყოფები ნარინჯისფერ ნივთიერებას 70% გამოსავლით. ანალიგიურად სინთეზირებულია  $\text{Re}_2(\text{AuPPh}_3)(\text{CO})_8(\mu\text{-C}_4\text{Fc})$  (3) [10,11]. ფეროცენილალკინილ ლიგანდიანი ტეტრარენიუმ-დიოქროს  $\text{Re}_4(\text{AuPPh}_3)_2(\text{CO})_{12}(\mu_3\text{-C}_2\text{Fc})_2$  (3) და ფეროცენილბუტადინის ლიგანდის შემცველი კლასტერები  $\text{Re}_4(\text{AuPPh}_3)_2(\text{CO})_{12}(\mu_3\text{-C}_4\text{Fc})_2$  (5) სინთეზირებულია  $\text{Re}_2(\text{AuPPh}_3)(\mu\text{-C}_n\text{Fc})(\text{CO})_8$  ( $n=2, 4$ ) კომპლექსების თერმოლიზისა და  $\text{Re}_2(\text{CO})_8(\text{NCMe})_2$  და  $\text{Au}(\text{PPh}_3)(\text{C}_4\text{Fc})$  შორის რეაქციის პირობების ვარირებით. მისი წარმოქმნა დამტკიცებულია ბმრ მეთოდით:  $^{31}\text{P}\{^1\text{H}\}$  ბმრ სპექტრში რეგისტრირებულია სიგნალი  $\delta$  90.26 მ.ნ., რომელიც პრაქტიკულად ემთხვევა ბის-ალკინილური კლასტერ (3) სიგნალს ( $\delta$  90.40 მ.ნ.). აცეტონიტრილ ლიგანდის შემცველი კლასტერი -  $\text{Re}_4(\text{AuPPh}_3)(\mu_4\text{-C}_2)(\mu_3\text{-C}_2\text{Fc})(\text{NCMe})(\text{CO})_{13}$  (4) მიღებულია  $\text{Re}_2(\text{AuPPh}_3)(\mu\text{-C}_4\text{Fc})(\text{CO})_8$ -ის ურთიერთქმედებით დირენიუმის აცეტონიტრილიან კომპლექსთან. დადგენილია, რომ ფეროცენილაცეტილიდის ლიგნდი  $\text{Re}(1)$  ატომთან წარმოქმნის ს-ბმას, ხოლო  $\text{Re}(2)$ -თან π-ბმას. სინთეზირებული კლასტერების მოლეკულური სტრუქტურა და ძირითადი კრისტალოგრაფიული პარამეტრები მოცემულია შრომებში [4,5,10,11].

მიღებული რენტგენ-ოქროს კლასტერები შესწავლილია ციკლური ამბერმეტრიისა და ახლო უბანში ინფრაწითელი სპექტროსკოპიის (Near-infrared spectroscopy, NIRS) მეთოდებით. მუხტის შიდამოლეკულური გადატანის (inter-valence charge transfer, IVCT) ზოლების პარამეტრები (სიხშირე, ექსტინქცია, ნახევარსიგანე) ხიდური სპეისერით დაკავშირებული განსხვავებული დაფანგულობის ხარისხის მქონე მეტალის ორ ატომს შორის მუხტის დელოკალიზაციის ხარისხის შეფასების საშუალებას იძლევა. თეორია და ამ ზოლების აღწერის ფორმალიზმი დამუშავებულია ხაშის (N.S.Hush) მიერ [12]. ექსპერიმენტული მონაცემებიდან გაანგარიშებული იქნა ელექტრონული სიმკვრივის გადატანის შიდამოლეკულური ენერგია და დელოკალიზაციის პარამეტრი შემდეგი ფორმულებით:

$$\nu^2(\text{cm}^{-1}) = 4.2 \cdot 10^4 \cdot \nu_{\text{max}} \varepsilon_{\text{max}} \Delta\nu_{1/2} / d_{\text{MM}}^2 \quad \text{I}$$

$$\alpha^2 = 4.2 \cdot 10^4 \varepsilon_{\text{max}} \Delta\nu_{1/2} / \nu_{\text{max}} d_{\text{MM}}^2 \quad \text{II}$$

IVCT ზოლის ნახევარსიგანე გამოთვლილია შემდეგი ფორმულით:

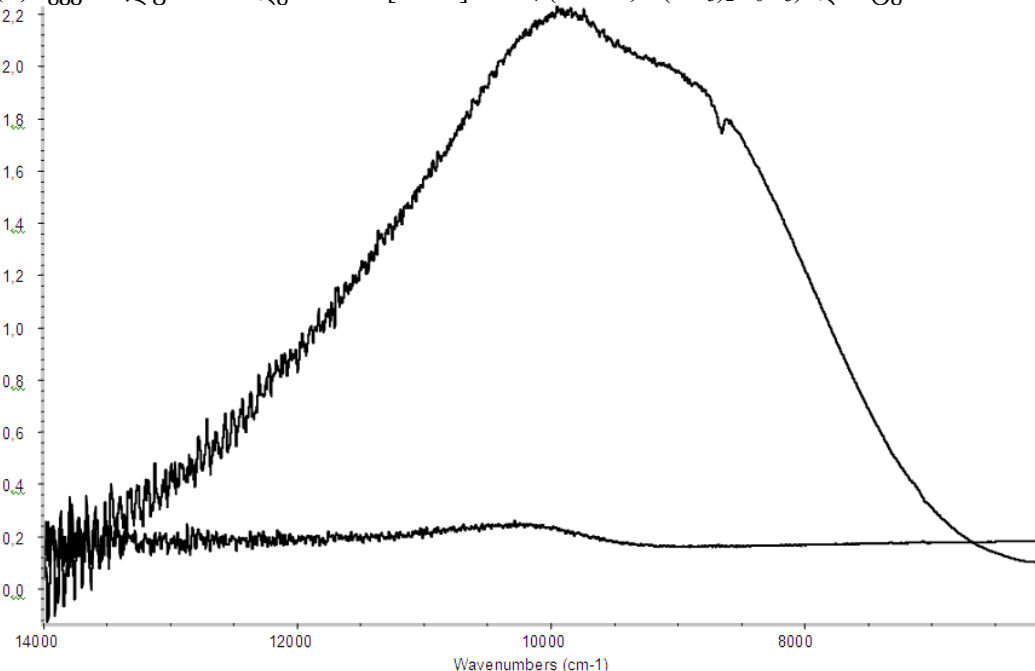
$$\Delta\nu_{1/2} = \sqrt{2310} \nu_{\text{max}}, \quad \text{III}$$

ექსპერიმენტულად განსაზღვრული ზოლის შევიწროება III ფორმულით გამოთვლილთან შედარებით, მიუთითებს მუხტის დელოკალიზაციას. ორ მეტალურ ცენტრს შორის სპეისერის საშუალებით ელექტრონული კომუნიკაციის კრიტერიუმებია: 1. ახლო იწ სპექტრში ექსტინქციის ფართო ზოლის წარმოქმნა; 2. ამ ზოლის ნახევარსიგანის უფრო დაბალი მნიშვნელობა გამოთვლილთან შედარებით; 3. ზოლის პარამეტრების დამკიდებულება გამსხველებზე (სოლვატოერომიზმი). დელოკალიზაციის პარამეტრის მნიშვნელობა საშუალებას იძლევა გამოყენებულ იქნას რობინისა და დეის კლასიფიკაცია, რომლის მიხედვით ყველა გამტარი იყოფა სამ კლასად: I კლასი ( $\alpha \sim 0$ ), არ არის ელექტრონული კომუნიკაცია მეტალის ატომებს შორის; II კლასი ( $0.707 > \alpha > 0$ ) და III კლასი ( $\alpha = 0.707$ ), მეტალურ ცენტრებს შორის არ არის მუხტების გაყოფა [13].

(1) და (2) კლასტერებში ელექტრონული კომუნიკაცია დადგენილია და მოცემულია შრომებში [4,5]. (3) და (4) კლასტერების NIR სპექტრი გადაღებული იქნა ქლორმეთილენისა და დიეთილის ეთერის ხსნარებში (ნახ.1 და 2). ზემოაღნიშნული ფორმულებით გამოთვლილი ზოლების პარამეტრები მოცემულია ცხრილში 1. ნეიტრალური კომპლექსების ხსნარებში არ შეინიშნება ზოლები ახლო იწ უბანში, ხოლო კომპლექს (1) რკინის ატომის დაფანგვა იწვევს სპექტრში ძალიან ინტენსიური ფართო ზოლის, ეწ. IVCT წარმოქმნას. დაფანგული რკინის ატომის შემცველი კომპლექსი მიღებულია ნეიტრალური კომპლექს (3) ექვიმოლური რაოდენობის  $[\text{FcAc}] \text{BAr}_4$  ( $\text{Ar}^F = 3,5\text{-}(\text{CF}_3)_2\text{C}_6\text{H}_3$ ) დამატებით.

დადგენილია, რომ დაფანგული რკინის ატომის შემცველი კომპლექსში არის საკმაოდ ძლიერი ელექტრონული ურთიერთქმედება რკინის ატომსა და  $\text{Re}(2)$  ატომს შორის (ნახ. 3). მიღებული პარამეტრები შეესაბამება ყველა კრიტერიუმს, რათა დაფანგული კომპლექსი II ტიპის მოლეკულურ გამტარებს მოვაკუთვნოთ. კომპლექსისათვის  $\text{Re}_4(\text{AuPPh}_3)_2(\mu_3\text{-C}_2\text{Fc})_2(\text{CO})_{12}$  შემჩნევა ორი შექმნავადი რედოქს პროცესი განსხვავებული 0,099 V, რაც მიუთითებს ელექტრონული კომუნიკაციის არსებობაზე

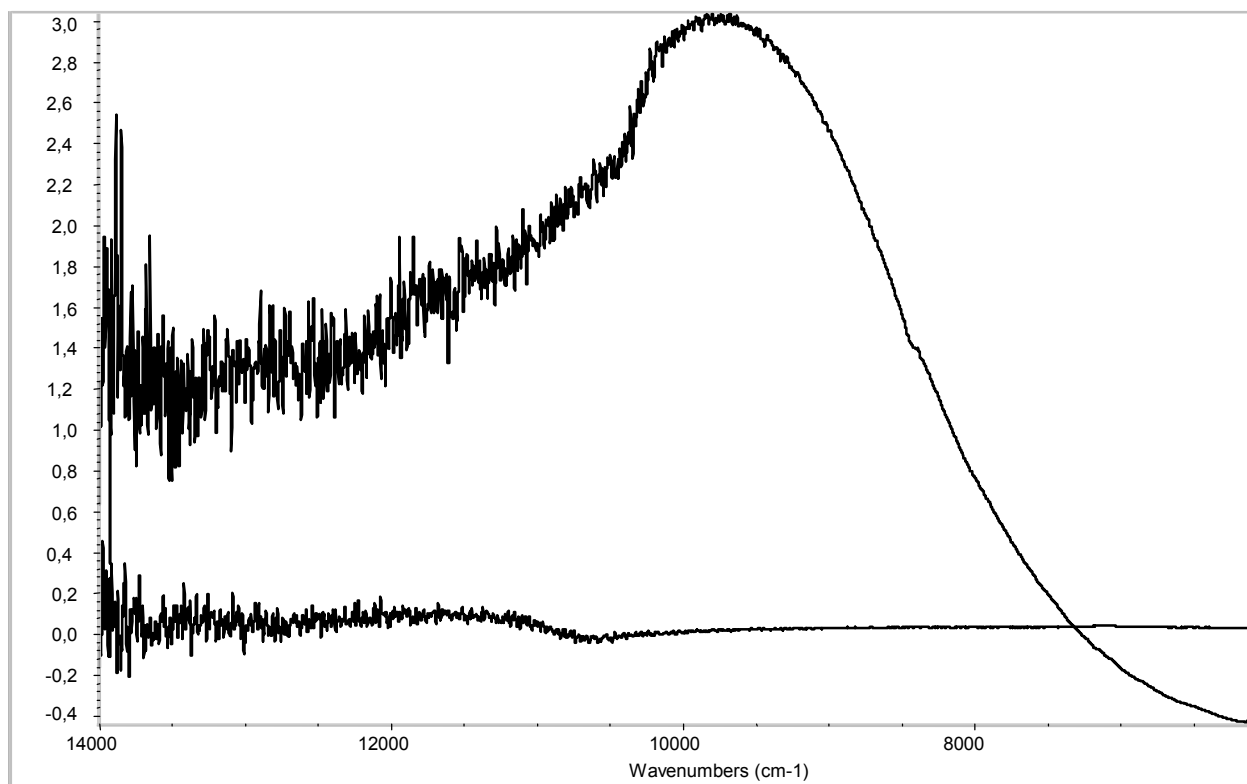
ორ ფეროცენილურ რგოლს შორის. ფეროცენშემცველი რენიუმის კომპლექსების  $\text{Re}_2(\text{AuPPh}_3)(\mu\text{-C}_4\text{Fc})(\text{CO})_8$  და  $\text{Re}_4(\text{AuPPh}_3)(\mu_4\text{-C}_2)(\mu_3\text{-C}_2\text{Fc})(\text{NCMe})(\text{CO})_{13}$  ფორმალური ულექტრონული პოტენციალები შესაბამისად 0,21 და 0,27 V ტოლია. ეს პოტენციალები განპირობებულია კომპლექსების ფეროცენული რგოლების (ბირთვების) შექცევადი 13 დაუანგვით.  $\text{Re}_2(\text{AuPPh}_3)(\mu_3\text{-C}_2\text{Fc})(\text{CO})_8$  კომპლექსის  $\text{Re}_2(\text{AuPPh}_3)(\mu\text{-C}_4\text{Fc})(\text{CO})_8$ -ში გადასვლისას ანუ ნახშირბადის ხიდის გაგრძელებისას  $\text{C}_2$ -დან  $\text{C}_4$ -მდე, გაადვილებულია ფეროცენილური ჯგუფის დაუანგვა 0,28 V-ით (შეადარეთ პოტენციალი 0,49 და 0,21 V). კლასტერის (4) (რომელიც შეიცავს დაუანგულ რენიის ატომს) ახლო უბნის იწ-სპექტრში არ შეინიშნება IVCT ზოლები, როგორც ჩანს სპეისერის არ არსებობის გმო. ეს ფაქტი აიხსნება მისი სტრუქტურით (ნახ.4): რეტგენოსტრუქტურული ანალიზით დადგენილია, რომ კლასტერ (4) მოლეკულა შეიცავს  $\text{Re}(1)$ ,  $\text{Re}(2)$  და  $\text{Re}(3)$  ატომებისგან შედგენილ ტრირენიუმის ჩონჩხს. მანძილები  $\text{Re}(1)\text{-Re}(2)$  და  $\text{Re}(1)\text{-Re}(3)$  შესაბამისად 2.9823(5) და 2.8917(5) Å-ია და წარმოადგენს დამაკავშირებელს (უფრო დაშორებული ატომები  $\text{Re}(1)\text{-Re}(2)$  დაკავშირებულია ხიდური  $\text{Au}(\text{PPh}_3)$  ფრაგმენტთან); მანძილი  $\text{Re}(2)\dots\text{Re}(3)$  (3.5909(5) Å) არ არის დამაკავშირებელი, მაშინ როდესაც  $\text{Re}_4(\text{AuPPh}_3)_2(\mu\text{-C}_2\text{Fc})_2(\text{CO})_{12}$  ოთხივე რენიუმის ატომი წარმოადგენს დამაკავშირებელებს [5].  $\text{Re}_4(\text{AuPPh}_3)(\mu_4\text{-C}_2)(\mu_3\text{-C}_2\text{Fc})(\text{NCMe})(\text{CO})_{13}$  კომპლექსის  $\mu_3\text{-C}_2\text{Fc}$  ლიგანდის ფეროცენილური ბირთვის დაუანგვის პოტენციალი (0,27 V), რამდენადმე აჭარბებს  $\text{Re}_4(\text{AuPPh}_3)_2(\mu\text{-C}_2\text{Fc})_2(\text{CO})_{12}$  კომპლექსის ერთ-ერთი  $\mu_3\text{-C}_2\text{Fc}$  აკლილინური ჯგუფის პირველადი დაუანგვის პოტენციალს - 0, 156 V. კომპლექსი (3) იუანგება უფრო ადვილად, ვიდრე შესაბამისი კომპლექსი (1) ( $\Delta E^0=0.28$  V). კლასტერი (4) დაუანგვა რამდენადმე გაძნელებულია (3) შედარებით ( $\Delta E^0=0.06$  V). მათი დაუანგვის პოტენციალების მცირედ განსხვავებული მნიშვნელობები მიგვანიშნებს ახლო ელექტრონულ სიმკვრივეზე  $\text{Fc}$ -ფრაგმენტებს შორის ორივე კლასტერში. (4) კლასტერში ლიგანდის  $\mu_3\text{-}\eta^1\text{:}\eta^2\text{-C}_2\text{Fc}$  ფეროცენის ჯგუფის დაუანგვა მიმდინარეობს 0.27 V, ე.ი. რამდენადმე უფრო ძნელად, ვიდრე ადრე შესწავლილი კლასტერ (2) პირველი  $\mu_3\text{-}\eta^1\text{:}\eta^2\text{-C}_2\text{Fc}$  ჯგუფის დაუანგვა (0.156 V). დაუანგული რენიის შემცველი კომპლექსი მიღებულია ნეიტრალურ კლასტერ (4) ექვიმოლური რაოდენობის  $[\text{FcAc}] \text{BAr}_4^F$  ( $\text{Ar}^F=3,5\text{-}(\text{CF}_3)_2\text{C}_6\text{H}_3$ ) დამატებით.



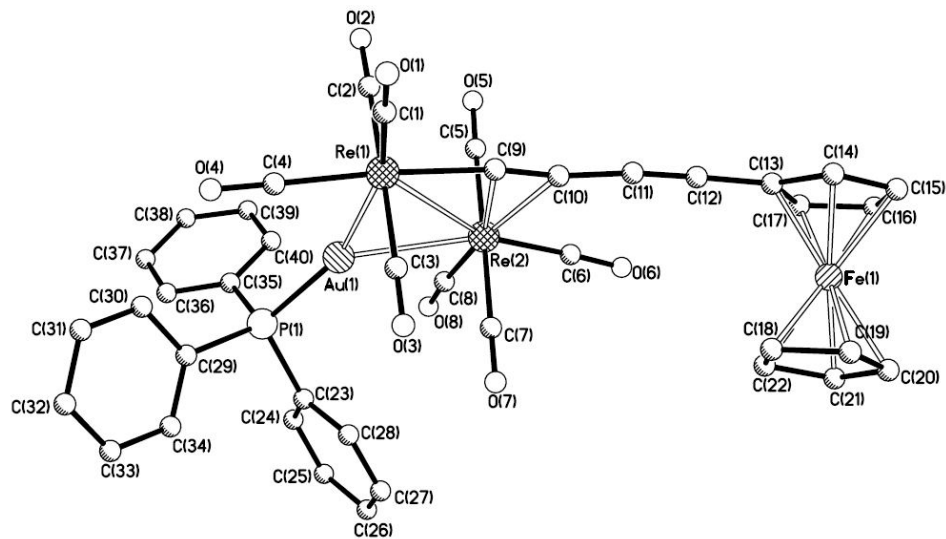
**ნახ. 1.** საწყისი (ქვედა სპექტრი) და დაუანგული (ზედა სპექტრი)  $\text{Re}_2(\text{AuPPh}_3)(\text{CO})_8(\mu\text{-C}_4\text{Fc})$  კომპლექსის NIR სპექტრი ( $\text{CH}_2\text{Cl}_2$ ).

**ცხრილი 1.** IVCT-ზოლების პარამეტრები კატიონურ კომპლექს  $\text{Re}_2(\text{AuPPh}_3)(\text{CO})_8(\mu\text{-C}_4\text{Fc})$  NIR-სპექტრებში

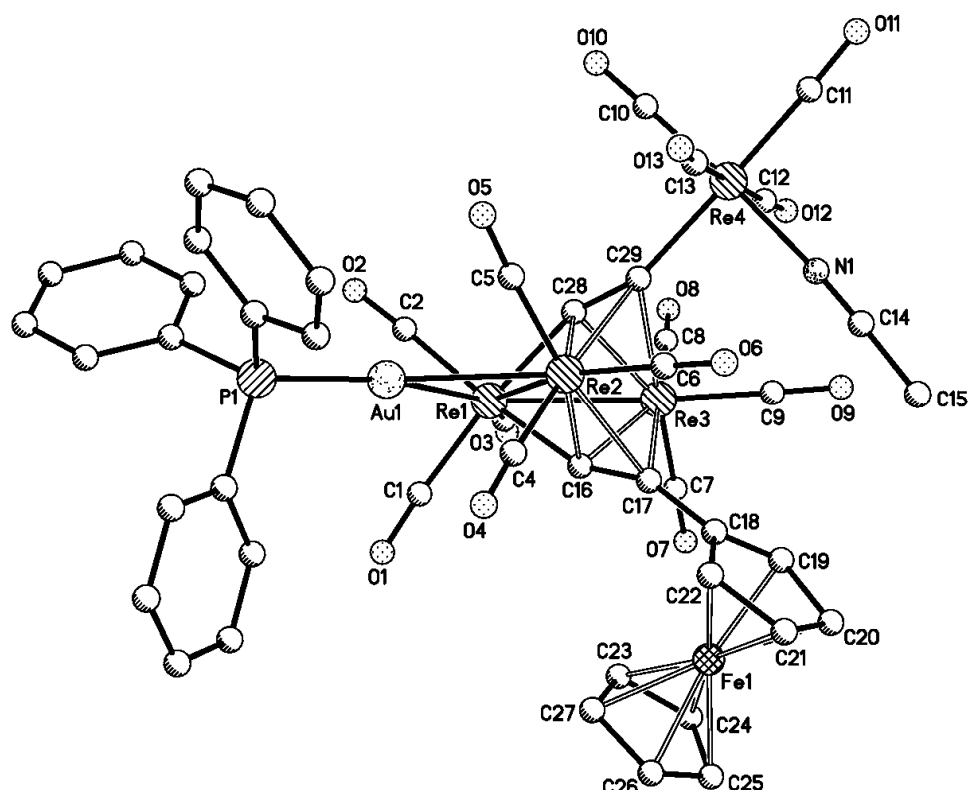
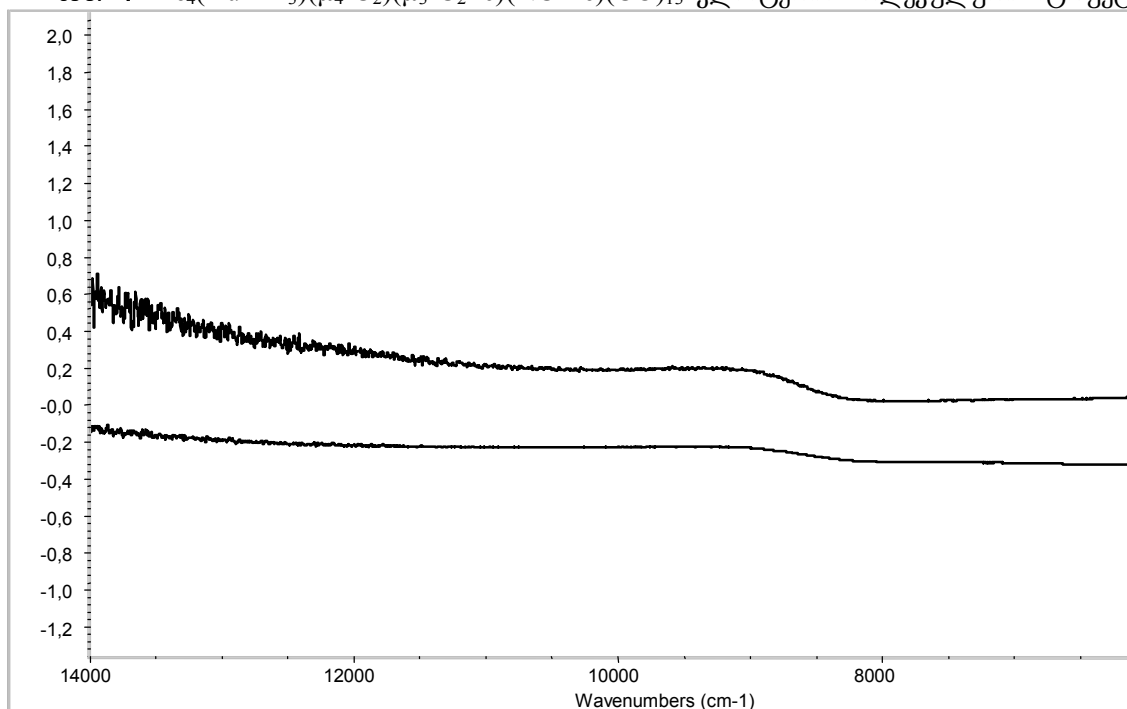
გამხსნელი	$\nu$ (სმ <sup>-1</sup> )	$\varepsilon$	$\Delta\nu^{1/2}$ ექ-სპ.(სმ <sup>-1</sup> )	$\Delta\nu^{1/2}$ გამოთ.(სმ <sup>-1</sup> )	$\Delta\nu^{1/2}$ ექსპ.-/ $\Delta\nu^{1/2}$ გამთ.	$V$ (სმ <sup>-1</sup> )	$V$ ვB	$\alpha$
$\text{CH}_2\text{Cl}_2$	9951	2690	3845	4794	0.8	990.195	0.123	0.099
$\text{Et}_2\text{O}$	9632	1957	2689	4717	0.57	592.79	0.073	0.072



**ნაზ.2.** საწყისი (ქვედა სპექტრი) და დაუანგული (ზედა სპექტრი)  $\text{Re}_2(\text{AuPPh}_3)(\text{CO})_8(\mu\text{-C}_4\text{Fc})$  კომპლექსის NIR სპექტრი ( $\text{Et}_2\text{O}$ )



**ნაზ. 3.**  $\text{Re}_2(\text{AuPPh}_3)(\text{CO})_8(\mu\text{-C}_4\text{Fc})$  კომპლექსის მოლეკულური სტრუქტურა

ნახ. 4.  $\text{Re}_4(\text{AuPPh}_3)(\mu_4\text{-C}_2)(\mu_3\text{-C}_2\text{Fc})(\text{NCMe})(\text{CO})_{13}$  კლასტერის მოლეკულური სტრუქტურანახ. 5. საწყისი (ქვედა სპექტრი) და დაფანგული (ზედა სპექტრი) კლასტერის  $\text{Re}_4(\text{AuPPh}_3)(\mu_4\text{-C}_2)(\mu_3\text{-C}_2\text{Fc})(\text{NCMe})(\text{CO})_{13}$  NIR სპექტრი ( $\text{Et}_2\text{O}$ ).

**ექსპერიმენტული ნაწილი.** რეაქციები ტარდებოდა არგონის ატმოსფეროში; პროდუქტების გამოყოფა კი ხდებოდა ჰაერზე. ქრომატოგრაფიული დაყოფა ხორციელდებოდა სილიკაგელზე (100/250 "Chemapol"). გამსხველების გაშრობა და დეგაზირება ტარდებოდა არგონის ატმოსფეროში სტანდარტული მეთოდებით. დეიტერირებული გამსხველები დეგაზირდებოდა არგონით. ბმრ  $^1\text{H}$  და  $^{31}\text{P}\{^1\text{H}\}$  სპექტრები რეგისტრირდებოდა (შესაბამისად 400.13 და 161.8 მჴ) სპექტრომეტრ Bruker

AMX-400 გამოყენებით. ბმრ  $^1\text{H}$  ქიმიური ძვრადობა მოტანილია მემილიონედ ნაწილებში ტეტრამეთილსილანთან მიმართებაში. ბმრ  $^1\text{H}$  ქიმიური ძვრადობები გაზომილია დეიტერიუმეული გამხსნელების წყალბადის ნარჩენი სიგნალის მიმართ.  $^{31}\text{P}\{^1\text{H}\}$  ბმრ ქიმიური ძვრადობები მოცემულია  $\text{H}_3\text{PO}_4$ -ის მიმართ მემილიონედ ნაწილებში, და გაზომილია 85% ფოსფორმეტას ხსნარიდან  $\text{D}_2\text{O}$ -ში. იწ სპექტრები რეგისტრირებულია სპექტრომეტრ FTIR Magna 750 IR (Nicolet) გამოყენებით.

მონოკრისტალების რენტგენოსტრუქტურული ანალიზი ჩატარდა დიფრაქტომეტრზე BRUKER SMART APEX II (გრაფიტის მონოქრომატორი, Mo-K $\alpha$  გამოსხივება,  $\lambda = 0.71073 \text{ \AA}$ , ო-სკანირების ტექნიკა,  $T=100$  (2)K). პროგრამა APEX II გამოყენებულია სტრუქტურული მონაცემების დაჯამების, არეკვლის ინდექსაციის, მესრის კონსტრუქტების განსაზღვრის, არეკვლის ინტენსივობის ინტეგრირების, შთანთქმის მასშტაბირებისა და კორექციისათვის [14]. პროგრამა SHEXTL კი სივრცით ჯგუფებისა და სტრუქტურის განსაზღვრის, დაზუსტების, გრაფიკული გამოსახულების და სტრუქტურის აღწერისათვის [15].

კლასტერების ციკლური ვოლფაბერმეტრული გაზომვები ტარდებოდა პოტენციოსტატზე IPC-P<sub>20</sub>M გულდასმით გასუფთავებულ  $\text{CH}_2\text{Cl}_2$ -ის  $10^{-3} \text{ M}$  ხსნარში, სტანდარტულ სამელექტროდიან უჯრედში, რომელიც აღჭურვილია მბრუნვავი მინა-ნახშირადის სამუშაო ელექტროდით ( $S=2 \text{ m}^2$ ), პლატინის ფირფიტით, როგორც საწინააღმდეგო ელექტროდი და ნაჯვრი კალიმელის ელექტროდით, როგორც სტანდარტული ელექტროდი. სკანირების სიჩქარე შეადგენდა  $200 \text{ mVs}^{-1}$ , ხსნარში შეიცავდა  $0,1 \text{ M}$   $\text{Bu}_4\text{NPF}_6$ , როგორც შიდა ელექტროლიტს. ახლო უბანში იწ სპექტრი რეგისტრირდებოდა სპექტრომეტრ JSD-205 ფურიეს გარდაქნით. შიდა სტანდარტის სახით გამოიყენებოდა ფეროცენ-ფერიცინიუმის წყვილი ( $E^\circ=0,47 \text{ V}$ ).

#### ლიტერატურა - REFERENCES -ЛИТЕРАТУРА

1. D.J. Low, M.I. Bruce, Adv. Organomet. Chem. 2001, 48 , 71.
2. A.A. Koridze, Russ. Chem. Bull., Int. Ed. 2000, 49, 1135.
3. A.A. Koridze, Russ. Chem. Bull., Int. Ed. 2000, 49, 1.
4. A.A. Koridze, V.I. Zdanovich, A.M. Sheloumov, F.M. Dolgushin, M.G. Ezernitskaya, P.V. Petrovskii, Russ. Chem. Bull., Int. Ed. 2001, 50, 2441.
5. A.A. Koridze, A.M. Sheloumov, F.M. Dolgushin, M.G. Ezernitskaya, E. Rosenberg, A. Sharmin, M. Ravera, Organometallics 2008, 27, 6163.
6. P.J. Low, N.J. Brown, J. Cluster Sci. 2010, 21, 235.
7. S.C. Jones, S. Barlow, D. O'Hare, Chem.-Eur. J. 2005, 11, 4473.
8. G.L. Xu, R.T. Crutchley, M.C. De Rosa, Q.J. Pan, H.X. Zhang, X. Wang, T. Ren, J. Am. Chem. Soc. 2005, 127, 13354.
9. A. Albinati, F. Fabrizi de Biani, P. Leoni, L. Marchetti, M. Pascuali, S. Rizatto, P. Zanello, Angew. Chem., Int. Ed. 2005, 44, 5701.
10. რომ ჭედია, ოლიკო ლეკაშვილი, ციალა კაკულია, ლილი ჯანიაშვილი, მარინე ბეროშვილი, თამარ ქორქა, ქეთუვან სარაჯიშვილი, ალექსეი შელოუმოვი, ფიოდორ დოლგუშინი, მარიამ ეზერნიცკაია. საქ. მეცნ. ეროვნ. აკად. მაცნე, ქმიის სერია, 2011, 1, 12-17.
11. R.V. Chedia, F.M. Dolgushin, A.F. Smolyakov, O I. Lekashvili, T.V. Kakulia, L.K. Janiashvili, A. M. Sheloumov, M. G. Ezernitskaya, S. M. Peregudova, P. V. Petrovskii, A. A. Koridze. Inorganica Chimica Acta, 2011, 378, 264-268.
12. N.S.Hush. Progr. Inorg. Chem. 1967, 8, 391.
13. M.B.Robin, P. Day. Advan. Inorg. Chem. Radiochem. 1967, 10, 247.
14. APEX II Software Package, Bruker AXS Inc., 5465, East Cheryl Parkway, Madison, WI 5317, 2005.
15. G.M. Sheldrick, Acta Cryst. 2008, A64, 112.

## ELECTRONIC COMMUNICATION BETWEEN FERROCENYL GROUPS IN GOLD-RHENIUM CLUSTERS

Roin V. Chedia, Oliko I. Lekashvili, Tsiala V. Kakulia, Lili K. Janiashvili, Marine G. Beroshvili,  
Tamar V. Korkia, Fedor M. Dolgushin\*, Alexander F. Smolyakov\*,  
Mariam G. Ezernitskaya\*, Avthandil A. Koridze

*Institute of Organometallic Chemistry, I. Javakhishvili Tbilisi State University,  
\*A.N. Nesmeyanov Institute of Organoelement Compounds, Russian Academy of Sciences, Moscow*

### SUMMARY

Electronic communication between ferrocenyl groups in gold-rhenium clusters  $\text{Re}_2(\text{AuPPh}_3)(\mu\text{-C}_2\text{Fc})(\text{CO})_8$  (1),  $\text{Re}_4(\text{AuPPh}_3)_2(\mu_3\text{-C}_2\text{Fc})_2(\text{CO})_{12}$  (2),  $\text{Re}_2(\text{AuPPh}_3)(\mu\text{-C}_4\text{Fc})(\text{CO})_8$  (3) and  $\text{Re}_4(\text{AuPPh}_3)(\mu_4\text{-C}_2)(\mu_3\text{-C}_2\text{Fc})(\text{NCMe})(\text{CO})_{13}$  (4) was studied. Clusters were synthesized by the reaction of  $\text{Re}_2(\text{CO})_8(\text{NCMe})_2$  with  $\text{Au}(\text{PPh}_3)(\text{C}_n\text{Fc})$  ( $n=2,4$ ) in medium of aromatic hydrocarbons at  $75\text{--}90^\circ\text{C}$ . By means of cyclic voltamperometric and NIR spectrometric investigations it is established that upon lengthening of carbon bridge from  $\text{C}_2$  to  $\text{C}_4$  that is when  $\text{Re}_2(\text{AuPPh}_3)(\mu_3\text{-C}_2\text{Fc})(\text{CO})_8$  complex transforms to  $\text{Re}_2(\text{AuPPh}_3)(\mu\text{-C}_4\text{Fc})(\text{CO})_8$  the process of oxidation of ferrocenyl group with  $0,28$  V is simplified (compare  $0,49$ V and  $0,21$ V potentials). (1)-(3) clusters belong to II class molecular conductors and in NIR spectrum of 4 the IVCT bands does not appear, seemingly because of absence of spacer.

### ЭЛЕКТРОННАЯ КОММУНИКАЦИЯ МЕЖДУ ФЕРРОЦЕНИЛЬНЫМИ ГРУППАМИ В КЛАСТЕРАХ ЗОЛОТА-РЕНИЯ

Р.В.Чедия, О.И.Лекашвили, Ц.В.Какулия, Л.К.Джаниашвили, М.Г.Берошвили, Т.В.Коркия,  
Ф.М.Долгушин\*, А.Ф.Смоляков\*, М.Г.Езерницкая\*, А.А.Коридзе

*Институт металлоорганической химии, Тбилисский государственный университет им.  
И.Джавахишвили*

*\*Институт элементоорганических соединений им. А.Несмейанова, Российская Академия Наук,  
Москва*

### РЕЗЮМЕ

Изучена электронная коммуникация между ферроценильными группами в кластерах золота-рения  $\text{Re}_2(\text{AuPPh}_3)(\mu\text{-C}_2\text{Fc})(\text{CO})_8$  (1),  $\text{Re}_4(\text{AuPPh}_3)_2(\mu_3\text{-C}_2\text{Fc})_2(\text{CO})_{12}$  (2),  $\text{Re}_2(\text{AuPPh}_3)(\mu\text{-C}_4\text{Fc})(\text{CO})_8$  (3) и  $\text{Re}_4(\text{AuPPh}_3)(\mu_4\text{-C}_2)(\mu_3\text{-C}_2\text{Fc})(\text{NCMe})(\text{CO})_{13}$  (4). Кластеры синтезированы при взаимодействии  $\text{Re}_2(\text{CO})_8(\text{NCMe})_2$  с  $\text{Au}(\text{PPh}_3)(\text{C}_n\text{Fc})$  ( $n=2,4$ ) в среде ароматических углеводородов при  $75\text{--}90^\circ\text{C}$ . При помощи циклической вольтамперметрии и инфракрасной спектроскопии в ближней области установлено, что (1)-(3) кластеры принадлежат к молекулярным проводникам II класса, а в спектре (4) не наблюдаются полосы IVCT, повидимому, из-за отсутствия спейсера.

სამუშაო შესრულებულია შოთა რუსთაველის ეროვნული სამეცნიერო ფონდის დაფინანსებით (სახელმწიფო სამეცნიერო გრანტი № 407).

**ზოზიპური ძიმია****ანიზოლის აცილირება ძმარმშავას ანალიზიდით მოდიფიცირებულ  
კლინოკტილოლიტზე**

გულნარა ბალარჯიშვილი, ლია სამხარაძე, ნელი ყალაბეგაშვილი, დალი იოსელიანი

ივ. ჯავახიშვილის სახელმისამართის თბილისის სახელმწიფო უნივერსიტეტის  
პეტრე მელიქიშვილის ფიზიკური და ორგანული ქიმიის ინსტიტუტი

ბოლო დროს განსაკუთრებულ მნიშვნელობას იძნეს გამოკლევები, რომლებიც მიმართულია კატალიზის (ჰომოგენური, ჰეტეროგენური და ფერმენტული) უფრო ფართო გამოყენებისაკენ ფაქტოზოგანულ სინთეზში. მამოძრავებელ ფაქტორს აღნიშნულ შემთხვევებში წარმოადგენს ეკოლოგიურად სუფთა ტექნოლოგიების შექმნა, რაც ნიშნავს სამრეწველო ნარჩენების მინიჭებულებების დაყვანას, ან რაც უფრო მნიშვნელოვანია, მათი წარმოქმნის მიზეზების აღმოფხვრას, ასევე ტოქსიკური ნაერთების, საწვავი რეაგებულების და გამხსნელებისაგან თავის არიდებას [1-4]. ამ ტენდენციამ, რომელიც „მწვანე ქიმიის“ სახელითაა ცნობილი [5,6], მიგვიყვნა არსებული ორი კონცეფციის შერწყმამდე. კერძოდ, ტრადიციული კონცეფციის, რომელიც ითვალისწინებს მიზნობრივი ქიმიური პროდუქტების გამოსავლის გაზრდას და ახალი კონცეფციის, რომელიც განსაკუთრებულ მნიშვნელობას ანიჭებს ნარჩენების აღმოფხვრის პრობლემას, ანუ, ეკოლოგიური ფაქტორის შემცირებას. ეკოლოგიური ფაქტორის სიდიდე მცვეთრად იზრდება მრავალტონაჟიანი პროდუქტებიდან ფაქტიზი თრგანული სინთეზის პროდუქტებზე გადასვლისას. ეს ნაწილობრივ ასესწება იმით, რომ მცირებულობა ქიმიის თრგანული პროდუქტების წარმოება მოიცავს მრავალსაფეხურიან სინთეზებს, რომლებსაც სტექიომეტრული და ხშირად ჭარბი რეაგენტების გამოყენებით ატარებენ. ამ დროს გარდაუვალია სხვადასხვა გამხსნელებით და გვერდითი პროცესების დროს წარმოქმნილი ნივთიერებებით გარემოს დაბინძურება.

აღნიშნული პრობლემების გადაწყვეტა შესაძლებელია სტექიომეტრული მეთოდების შეცვლით ალტერნატიული, უფრო სუფთა კატალიზური მეთოდებით.

კატალიზურ პროცესებში ხშირად იყენებენ არაორგანულ ( $H_2SO_4$ ,  $H_3PO_4$  და სხვ.) და ლუისის ( $AlCl_3$ ,  $ZnCl_2$  და სხვ.) მჟავებს, რომლებიც რეაქციაში შედიან სტექიომეტრული რაოდნობით, მაგრამ როგორც წესი, ისინი ძნელად რეგენერირდებიან პროცესში ხელმორედ შევანის მიზნით. აქედან გამომდინარე, არსებობს მათი შეცვლის ტენდენცია ისეთი მყარი მჟავებით, როგორიცაა ცეოლითები, თიხების მჟავური ფორმები და ჰეტეროპოლიმერები, რომლებიც ვარგისა მრავალჯერადი გამოყენებისათვის [7].

ახალ მჟავურ კატალიზატორებზე გადასვლის მაგალითია ფრიდელ-კრაფტსის მიხედვით ალკილირების და აცილირების რეაქციები. მათგან ალკილირების რეაქციებში არაორგანული და ლუისის მჟავების ნაცვლად უკვე ფართოდ გამოიყენება ცეოლითები, რომელიც კატალიზურ აცილირების რეაქციებში უფრო ნაკლებ წარმატებული აღმოჩნდენ. საერთოდ, აცილირების კლასიკური პროცესი მიმდინარეობს ან აცეტილქლორიდის, ან ძმარმჟავანაპილრიდის და ჭარბი ლუისის მჟავას გამოყენებით გამსხნელის არში (აცეტილქლორიდთან რეაქციისათვის ერთ ექვივალენტზე მეტი  $AlCl_3$ -ია საჭირო, ხოლო ანპილრიდის შემთხვევაში – ორ ექვივალენტზე მეტი). ცეოლითურ კატალიზატორზე აცილირებისათვის მაცილირებელ აგენტად ძმარმჟავას ანპილრიდის გამოყენების შემთხვევაში გამხსნელი საჭირო არ არის. ამ დროს გამორიცხულია აგრეთვე  $HCl$ -ის წარმოქმნაც. როგორც გამხსნელი, ასევე გამოყოფილი  $HCl$  მცვეთრად აუარესებს ეკოლოგიური ფაქტორის სიღიდეს.

მიუხედავად კატალიზური აცილირების რეაქციებში ცეოლითების გამოყენების სინელეებისა, ფირმა „Phone Poulence“-მა მაინც შეძლო განეხორციელებინა არომატული ნაერთების, კერძოდ, ანიზოლის აცილირება ცეოლითურ *Beta*-კატალიზატორზე [8].

ანიზოლის აცილირების რეაქციები შესწავლილია ორგანული მჟავებით [9] და ბენზოილქლორიდით [10] ფოფაზიტზე და მორდენიტზე, ხოლო ძმარმჟავა ანპილრიდით ჰიდროქსილაპატიტზე და  $HAP-ZrBr_2$ -ზე [11]. გამოქვეყნებულია აგრეთვე შრომები [12], სადაც ანიზოლის აცილირების რეაქციებში კატალიზატორებად გამოყენებულია მეზოფორმული სილიკატები და მათზე დაფენილი ცეზიუმის მარილის შეცველი ფორმები.

ცნობილია, რომ [13] ანიზოლის აცეტილირების პროცესში  $AlCl_3$ -ის მონაწილეობისას ყოველი 1 კგ პეტოქსიაცეტოფენონის წარმოქმნება 4,5 კგ ჩამდინარე წყალი, რომელიც შეიცავს  $AlCl_3$ ,  $HCl$ , გამხსნელს და ძმარმჟავას ნარჩენ რაოდნობას. ალტერნატიულ კატალიზურ პროცესში კი 1 კგ მიზნობრივ პროდუქტზე წარმოიქმნება 0,035 კგ ჩამდინარე წყალი (ე.ი. 100-ჯერ ნაკლები) რომელიც შეიცავს 99%  $H_2O$ -ს, 0,8%  $CH_3COOH$  და 0,2%-ზე ნაკლებ სხვა ორგანულ ნივთიერებებს. გარდა ამისა, კატალიზატორი შეიძლება გამოყენებული იქნეს ხელმეორულ, ასევე მცირდება ტექნოლოგიური ოპერაციების რიცხვი.

ჩვენს მიზანს წარმოადგენდა ანიზოლის თხევადფაზური აცეტილირება ბუნებრივი ცეოლითის კლX (ხეკორმულას ადგილმდებარეობა) სხვადასხვა ფორმებზე.

### ექსპერიმენტული ნაწილი

კატალიზატორის მოსამზადებლად ბუნებრივ კლინოპტილოლიტს კლX ვაფხვიერებდით სპეციალურ წისქვილში, ვიღებდით 0,1-0,2 მმ ზომის ფრაქციას, ვრეცხავდით გამოხდილი წყლით, ვამუშავდებდით სამჯერადად 1N HCl-ით და ვახურებდით 400°C ტემპერატურაზე 4 სთ განმავლობაში ჰაერის ნაკადში. ნაწილობრივ დეკატიონირებულ და დეალუმინირებულ კლინოპტილოლიტის მიღებულ წყალბადურ ფორმას ვათავსებდით სამყელა უუმაცივრიან კოლბაში ანიზოლის და ძმარმჟავას ანზიდრიდის ნარევთან ერთად. ნარევის თანა-ფარდობა შესაბამისად შეადგენდა 5:1. ცდები ტარდებოდა მუდმივი მორევის პირობებში 70°C ტემპერატურაზე 0,5სთ განმავლობაში. პროცესის დამთავრების შემდეგ კოლბას ვათავსებდით ყინულიან წყალში. წარმოქმნილ პ-მეტოქსიაცეტოფენის გამოვყოფდით ბენზოლის ექსტრაქციით, ვრეცხავდით განზავებული NaOH-ის ხსნარით, წყლით და ვაშრობდით უწყლო ნატრიუმის სულფატზე. შემდეგ ვფილტრავდით და ვხდიდთ. აღნიშნულ პირობებში გამოსავალი შეადგენდა 55%-ს.

მიღებული შედეგი საგულისხმოა და ცდები გაგრძელდება აღნიშნული მიმართულებით.

### **ლიტერატურა - REFERENCES -ЛИТЕРАТУРА**

1. R.A. Sheldon. CHEMTECH, 1994, Ma. ch. p. 38-47.
2. R.A. Sheldon. Chem. and Ind. 1997, p. 12.
3. R.A. Sheldon. Chem. Tech. Biotechnol., 1997, v. 68, p. 381.
4. R.A. Sheldon. Mol. Catal. A: Chem. 1996, v. 107, p. 75.
5. P.T. Anastas, I.C. Wamer, Green chemistry Theory and Practice, Oxford Univ. Press, 1998.
6. Benign by Design Alternative Synthetic Design for Pollution Prevention. Eds. P.T. Anasta. C.A. Farris. Acs Symp Ser. nr. 577. Acs. Washington D.C. 1994.
7. R.S. Downing, van Rekkum H., Cheldon R.A. Cattech, 1997, v. 2, p. 95.
8. S. Ratton. Chem. Today, 1997, March/April, p. 33-37.
9. S.G. Waghlikar, P.S. Niphadkar, S. Mayadevi, S. Sivasanker. Acylation of anisole with long-chain carboxylic acids over wide pore zeolites. Applied Catalysis A: General, v. 317, issue 2, 2007, p. 250-257.
10. F. Guenadil, H. Aichaoui, D.M. Lambert, C.R. Mocurdy, J-H. Poupaert. Highly Selective Catalytic Friedel-Crafts Acylation of activated Aromatic Compounds Using the Ir. DMF Complex as Catalyst. Letters in Organic Chemistry, 2008, 5, 665-668.
11. Friedel-Crafts. Acylation of Anisole catalyzed by Green, reusable hydrofayapatite – ZnC. Bromide Catalyst. Advanced materials Research, 2010, v. 113-114, p. 18-21.
12. K.M. Parida, S. Rana, S. Mallock, D. Rath. Cesium salts of heteropoly acid immobilized mesoporous silica: an efficient catalyst for acylation of anisol. Journal of colloid and inter face science. 2010, v. 350, issue 1, p. 132-139.
13. Р.А. Шелдон. Катализ и тонкий органический синтез: на пути в новое тысячелетие. Российский химический журнал, 2000, 2, т. 44.

### **ANISOLE ACYLATION BY ACETIC ANHYDRIDE ON MODIFIED CLINOPTIOLITE**

G.Balarjishvili, L.Samkharadze, N.Kalabegashvili, D.Ioseliani

Petre Melikishvili Institute of Physical and Organic Chemistry of Ivane Javakhishvili Tbilisi State University

### **SUMMARY**

Anisole acylation by acetic anhydride is carried out under stationary conditions at 70°C temperature and following ratio of anisole:acetic anhydride 5:1 during 0,5 hour. Output of n-methoxyacetophenone comprised of 55%.

### **АЦИЛИРОВАНИЕ АНИЗОЛА УКСУСНЫМ АНГИДРИДОМ НА МОДИФИЦИРОВАННОМ КЛИНОПТИЛОЛИТЕ**

Г.И.Баларджишвили, Л.О.Самхарадзе, Н.Г.Калабегашвили, Д.К.Иоселиани

Институт физической и органической химии им. П.Г.Меликишвили

Тбилисского государственного университета им. Ив.Джавахишвили

### **РЕЗЮМЕ**

Проведено ацилирование анизола уксусным ангидридом в стационарных условиях при температуре 70°C и соотношении анизол:уксусный ангидрид 5:1 в течение 0,5 ч. Выход н-метоксицетофенона составлял 55%.

**ზოზიპური ძიგი****ულტრაიისური ბამოსხივების ბაზლუნის შესრაგლა ზოგიერთი ორგანულ საღებარზე  
მათი ფოტომედებობის გაზრდის მიზნით**

რიმზეტ თუშურაშვილი, ციური ბასილაძე, გივი ზიდეშვილი, მერაბ ფანჩვიძე  
ივანე ჯავახიშვილის სახელობის თბილისის სახელმწიფო უნივერსიტეტის  
რაფიელ ავლაძის არაორგანული ქმითსა და ელექტროქიმიის ინსტიტუტი

უკანასკნელ წლებში საგრძნობლად გაიზარდა ინტერესი ხელოვნების ნიმუშების შენახვა-  
რესტავრაციისადმი. სულ უფრო ცხადი ხდება საბუნებისმეტყველო მეცნიერებების გამოყენების  
აუცილებლობა ამ საკითხის გადასაჭრელად. მსოფლიო პრაქტიკაში ფართოდ გამოიყენება კვლევის  
თანამედროვე ფიზიკური, ქიმიური, ბიოლოგიური და ფიზიკურ-ქიმიური მეთოდები.

კლიმატური პირობები, როგორიცაა ტემპერატურა, ნესტიანობა, ჰაერის ქიმიური შემადგენლობა  
და სხვ., მნიშვნელოვანილად მოქმედებს ხელოვნების ნაწარმოებთა შენახვის ვადაზე. კერძოდ,  
მკვეთრად უარესდება ნახატების და ფრესკების პირვანდელი მდგომარეობა, ძირითადად, გაუფერულების  
გამო.

ერთ-ერთ ძირითად ფაქტორს, რომელიც განაპირობებს საღებავების დაშლას, წარმოადგენს  
სინათლის გამოსხივება, რადგანაც, როგორც ცნობილია, ორგანული და არაორგანული ნივთიერებები  
მეტად მგრძნობიარეა ფოტოქიმიური გარდაქმნების მიმართ. განსაკუთრებით ძლიერ ეფექტს იწვევს  
დღის სინათლე, რადგანაც ღრუბლიანობის დროსაც კი დიფუზიური სინათლე 10-ჯერ უფრო  
დამანგრეველია, ვიდრე ვარგარების ნათურის სინათლე.

სინათლის ზემოქმედება ორგანულ მასალებში იწვევს ფოტოქიმიურ რეაქციებს, რომლებიც  
სინათლის ენერგიის ქიმიურ ენერგიად და სითბოდ გარდაქმნის შედეგია. ნებისმიერი ტალღის სიგრძის  
სინათლე ხასიათდება დესტრუქციული თვისებებით. მაგალითად, ხილული სინათლე,  $\lambda = 400 - 500$  ნმ  
დაიაპაზონში ინიცირებს ქიმიურ და ფოტოქიმიურ გარდაქმნებს.

სამუზეუმო ექსპონატებისათვის განსაკუთრებით საშიშია ულტრაიისური გამოსხივება, რომელიც  
 $\lambda = 200 - 400$  ნმ დიაპაზონში იწვევს ინტენსიურ ფოტოქიმიურ რეაქციებს; შედეგად, ადგილი აქვს  
ქიმიური ბმების გახლებას მთელ რიგ ორგანულ ნაერთებში [1].

ყოველივე ზემოაღნიშნულიდან გამომდინარე, ხელოვნების ნიმუშებში სინათლის ზემოქმედებით  
გამოწვეული ფოტოქიმიური პროცესების შესწავლა მეტად აქტუალური საკითხია.

აღრე გამოქვეყნებულ ნაშრომებში ჩვენს მიერ შესწავლილია ზოგიერთი საღებრის გარდაქმნა  
სხვადასხვა ფაქტორის ზემოქმედებით, როგორიცაა მაღალი ენერგიების გამოსხივება, ფოტოგამოსხივება,  
ოზონი. დაღვენილია, რომ ყველა შემთხვევაში მიმდინარეობს საღებრების ინტენსიური გაუფერულების  
პროცესი [2].

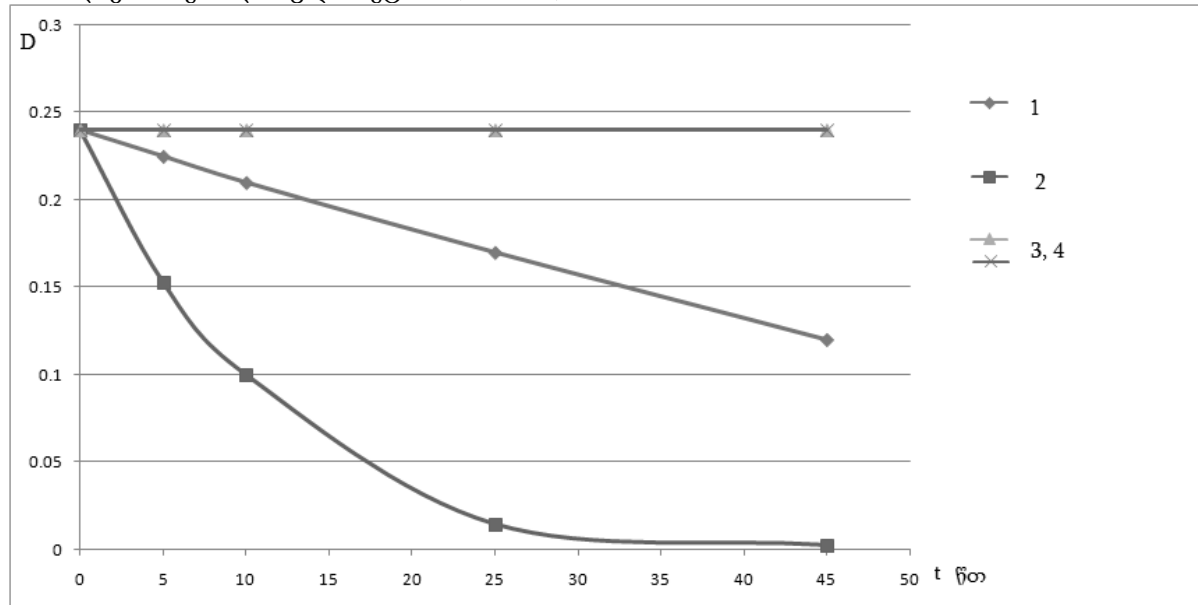
წარმოდგენილი სამუშაოს მიზანია სხვადასხვა ორგანული საღებრის წყალხსნარების  
სტაბილიზაციის შესაძლებლობის დადგენა მათზე ფოტოგამოსხივების ზემოქმედებისას. შესწავლილია  
საღებრების – მეთილნარინჯის და პირდაპირი წითელი – 2C-ს მოდელური წყალხსნარების  
ფოტოლიზი. ულტრაიისური სხივების წყაროდ გამოიყენებოდა ПРК-7 მარკის ვერცხლისწყალ –  
კვარცის ნათურა. დაშუქება ტარდებოდა კვარცის სპეციალურ ჭურჭელში, რომელიც აღჭურვილი იყო  
გამდინარე წყლის გარსაცმით.

ნახ.1-ზე მოტანილია საღებრის – მეთილნარინჯის  $0,00005\% (1,5 * 10^{-5} \text{ მოლი/ლ})$   
წყალხსნარის ფოტოგარდაქმნის შედეგები დანამატის გარეშე და მისი თანაბიძესას. ნახაზიდან ჩანს,  
რომ დანამატის გარეშე გარდაქმნა მიმდინარეობს სწორხაზოვნად 50 წუთი დაშუქების განმავლობაში.  
აღსანიშნავია, რომ 30 წუთით დასხივების შემდეგ გაუფერულების ხარისხი შეადგენს 35% (ნახ.1.1).

დანამატად შერჩეულ იქნა გოგირდორგანული ნაერთები, კერძოდ, მეთიონინი და თიოშარდოვანა,  
რომლებიც, როგორც ცნობილია, ხასიათდებიან მაღალი რადიოპროტექტორული თვისებებით [3].

აღმოჩნდა, რომ ამ სისტემაში მეთიონინი გაუფერულების ინპიბირების ნაცვლად იწვევს  
პროცესის მკვეთრ ინტენსიფიცირებას. ასე მაგალითად, მეთიონინის დამატებისას 0,25 გ/ლ  
რაოდნობით, დასხივების 30 წუთის შემდეგ გარდაიქმნება საღებრის 96% (ნახ. 1.2). ამიტომ ამ  
სისტემაში მეთიონინის ნაცვლად შევიტანეთ სხვა დანამატი – თიოშარდოვანა 0,15 გ/ლ რაოდნობით.  
როგორც ნახ.1.3 – დან ჩანს, ამ შემთხვევაში პრაქტიკულად არ ხდება საღებრის გაუფერულება.

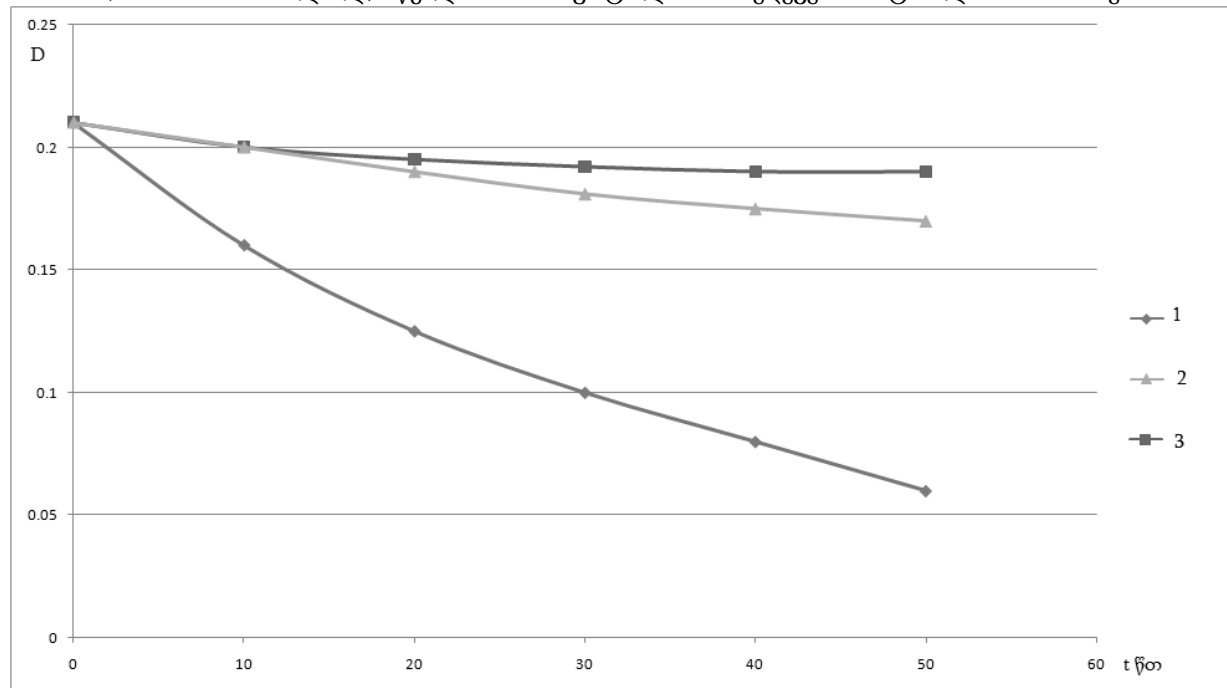
ანალოგიურ შედეგს იძლევა მეთილნარინჯის წყალხსნარში ორივე დანამატის – მეთიონინის და თიოშარდოვანას ერთდროული შეტანა (ნახ. 1.4).



ნახ. 1. მეთილნარინჯის ოპტიკური სიმკვრივის დამოკიდებულება დასხივების დროისაგან  
1 – 0,0005% წყალხსნარი დანამატის გარეშე, 2 – 0,25 გ/ლ მეთიონინის თანაობისას, 3 – 0,15 გ/ლ  
თიოშარდოვანას თანაობისას, 4 - მეთიონინის და თიოშარდოვანას ერთდროული დამატება

ამრიგად, შეიძლება დავასკვნათ, რომ თიოშარდოვანა ხასიათდება იმდენად ძლიერი  
მასტაბილიზებელი ეფექტით, რომ მთლიანად ახშობს მეთიონინით ინიციირებულ მკვეთრ  
გაუფერულებას.

შემდეგი კვლევის ობიექტს წარმოადგენდა საღებარი პირდაპირი წითელი – 2C. ამ საღებრის 0,001% ( $1,66 \times 10^{-5}$  მოლი/ლ) წყალხსნარის ფოტოლიზის შედეგები მოტანილია ნახ. 2-ზე.



ნახ. 2. პირდაპირი წითელი - 2C - ს ოპტიკური სიმკვრივის დამოკიდებულება დასხივების დროისაგან  
1 – 0,001% წყალხსნარი. 2 – 0,075 გ/ლ თიოშარდოვანას თანაობისას, 3 – 0,15 გ/ლ თიოჭარდოვანას  
თანაობისას

ნახ. 2.1-დან ჩანს, რომ დანამატის გარეშე საღებარი ინტენსიურად უფერულდება. უკვე 30 წუთით დაშუქებისას გარდაიქმნება საღებრის 55%.

რადგანაც წინა სისტემის შესწავლისას აღმოჩნდა, რომ მეთიონინი აჩქარებს გაუფერულების პროცესს, ამიტომ დანამატად გამოვიყენეთ თიოშარდოვანა. ნახ.2.2-დან ჩანს, თიოშარდოვანას შეტანა ხსნარში 0,075 გ/ლ რაოდენობით საგრძნობლად ამცირებს გაუფერულების ხარისხს. კერძოდ, 30 წუთით დაშუქებისას გარდაიქმნება საღებრის მხოლოდ 14%. თიოშარდოვანას რაოდენობის გაზრდა 0,15 გ/ლ – დე იწვევს ხსნარის გაუფერულების პროცესის მკვეთრ შენჯლებას. ნახევარი საათით დასხივებისას გაუფერულების ხარისხი მხოლოდ 5% - ა (ნახ.2.3). დასხივების შემდგომი გაგრძელებისას საღებარი პრაქტიკულად აღარ იცვლება.

ამრიგად, მიღებული შედეგების საფუძვლზე შეიძლება დაგასკვნათ, რომ საღებრების – მეთიონარინჯი და პირდაპირი წითელი - 2C-ს წყალხსნარების ფოტოლიზისას თიოშარდოვანას დამატება შესწავლით სისტემებში მკვეთრად ზრდის ამ საღებრების ფოტომედეგობას, რაც წარმოადგენდა ამ სამუშაოს ძირითად მიზანს.

#### ლიტერატურა - REFERENCES-ЛИТЕРАТУРА

1. Бугаенко Л.Т., Кузьмин М.Г., Полак Л.С. Химия высоких энергий. Москва, «Химия», 1986, с.366.
2. რ.თუშურაშვილი, მ.ფასინაძე, ც.ბასილაძე, გ.ხიდეშვილი, მ.პანჭიძე, საქართველოს ეროვნულ მეცნიერებათა აკადემიის მაცნე, ქმითს სერია, 2001, გ.37, №1-2, გვ.31-36.
3. Пикаев А.К. Современная радиационная химия, Радиолиз газов и жидкостей. Москва, «Наука», 1986, с.440.

#### STUDY OF THE EFFECT OF ULTRAVIOLET LIGHT ON SOME ORGANIC DYES TO INCREASE THEIR PHOTORESISTANCE

R.Tushurashvili, Ts.Basiladze, G.Khidesheli, M.Panchvidze  
*Rafiel Agladze Institute of Inorganic Chemistry and Electrochemistry  
of Ivane Javakhishvili Tbilisi State University*

#### SUMMARY

Photochemical transformation of aqueous solutions of various organic dyes in individual state and in the presence of various additives has been studied to increase their resistance against the action of luminous radiation. It was established that an introduction of thiourea in mentioned solutions caused a sharp increase of the photoresistance of the dyes under study.

#### ИЗУЧЕНИЕ ВЛИЯНИЯ УЛЬТРАФИОЛЕТОВОГО ИЗЛУЧЕНИЯ НА НЕКОТОРЫЕ КРАСИТЕЛИ С ЦЕЛЬЮ ПОВЫШЕНИЯ ИХ ФОТОСТОЙКОСТИ

Р.Г.Тушурашвили, Ц.М.Басиладзе, Г.И.Хидешели, М.В.Панчвидзе  
*Институт неорганической химии и электрохимии им. Р.Агладзе  
Тбилисского государственного университета им. Ив.Джавахишвили*

#### РЕЗЮМЕ

Исследовано фотохимическое превращение водных растворов некоторых красителей как в индивидуальном состоянии, так и в присутствии различных добавок с целью повышения их стойкости к действию светового излучения. Установлено, что введение тиомочевины в указанные растворы резко повышает фотостойкость изученных красителей.

ଓଡ଼ିଆ ପ୍ରକାଶନ କେନ୍ଦ୍ର

କୁଣ୍ଡଳେଖାରୀ ମିଶନାଲ୍ ପାର୍ଟିକୁ ଏହାରେ ଉପରେ ଦିଲ୍ଲି ମଧ୍ୟ ଭାରତରେ ଅନ୍ତର୍ମାତ୍ରରେ ପରିଚାରିତ ହେଉଥିଲା ।

კლადიმერ ციციშვილი, ნანული დოლაბერიძე, ნატო მირძველი, მანანა ნიჟარაძე, ვახტანგ გაბუნია  
ივანე ჯავახიშვილის სახელობის თბილისის სახელმწიფო უნივერსიტეტის  
რაფიელ აღლაძის არაორგანული ქმითსა და ელექტროქიმიის ინსტიტუტი

შესწავლითა წვრილდისპერსული ცეოლითური მასალის, ჰიდროთერმალური კრისტალიზაციის გზით მიღების პროცესი. დაღენილია, ამ მიზნით, ალუმინისილიკატურ რეაგენტად, წინასწარ მარილმჟავის 20%-იანი სნარით დამუშავებული ბუნებრივი ანალციმშეცველი ქანის გამოყენების შესაძლებლობა. რეტრიკენულ-დიფრაქტომეტრული მეთოდთ გამოკვლევის შედეგად, მასალა იღებული და როგორც ფოსფატის ( $\text{NaX}$ ) ტიპის წვრილდისპერსული ცეოლითი, მისი სორბციული ტევადობა შეადგენს 11,5 მმოლ/გ, რაც უახლოვდება სინთეზური ეტალონური ნიმუშის სორბციულ ტევადობას (12,2 მმოლ/გ).

ბოლო წლებში ინტენსურად მიმდინარეობს წერილდისპერსული ცეოლითების მიღების მეთოდების შემუშავება, რადგან ამ გზით მიღებული მასალები, სამკურნალო პრეპარატების სახით ფართოდ გამოიყენება მედიცინის თითქმის ყველა დარგში და კერძოდ ონკოლოგიაში ავთვისებიანი სიმსივნეების წინააღმდეგ სამკურნალოდ.

რადგან ცეოლითების ბიოლოგიური მოქმედება უშუალოდაა დაკაგშირებული მის სპეციფიკურ გარე ზედაპირთან, ამიტომ მიზანშეწონილია ცეოლითების წვრილდისპერსული ფორმების მიღება. მექანიკური გზით ბუნებრივი ცეოლითების მიკრონიზირება სხვა რიგ ნაკლოვანებებთან ერთად აძნელებს მინარევების გარეშე, მიზნობრივი პროდუქტის მიღებას. ამ სახით მედიცინაში მათი გამოყენება კი საფრთხილოა. ამიტომ სასურველია სამკურნალო პრეპარატების დანიშნულების წვრილდისპერსული ცეოლითები წარმოადგინდნენ ეტალონი ბუნებრივი ნიმუშების ანალოგ მაღალი ფაზური სისუთავის სახით. მასალებს, რის მიღწევაც ქმიდება მეთოვეგითავათ შესაძლებელი. [1]

სამუშაოს მიზანს შეადგინდა წვრილდისპერსული ცეოლითური მასალის მიღების მეთოდის შემუშავება, საქართველოს ბუნებრივი მინერალის, ანალიზიშემკველი ქანის გადაკრისტალიზაციის გზით.

კვლევაში აღმოჩნდა რეაგენტად გამოყენებული იყო ქუთაისის რეგიონის, გელათის უბნის ანალციმშეტცველი ქანი – AG. იგი წარმოადგენს მონაცისფრო კრისტალურ ნივთიერებას შემდეგი ქიმიური შედეგნილობით:



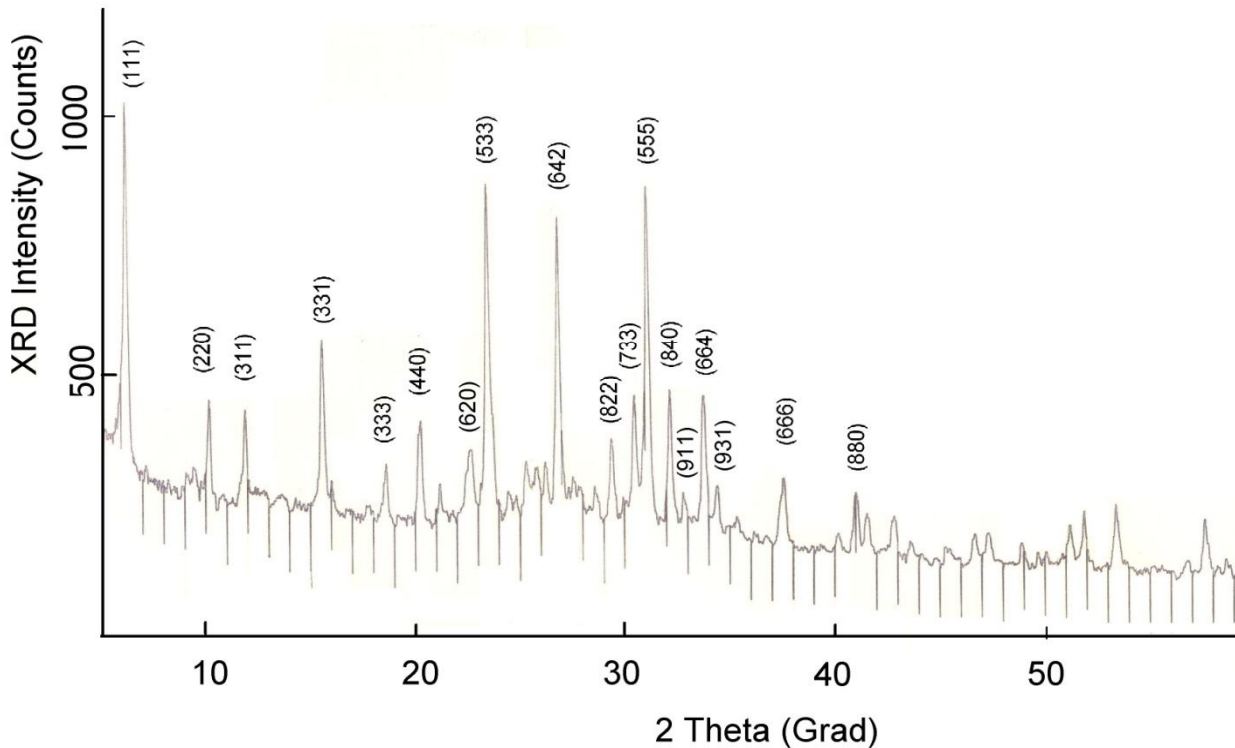
დაწვრილმანებული ალუმინისილიკატური ქანი, შემადგენელი კომპონენტების რეაქციისუნარიანობის გაზრდის, სილიკატური მოდულისა და კატიონური შედეგნილობის ცვლილების მიზნით, მუშავდებოდა 20%-იანი მარილმჟავას ხსნარით; ჩვენს მიერ წინასწარ ჩატარებული კვლევის საფუძველზე დადგენილია, რომ ამ კონცენტრაციის მქავით დამუშავებისას ალუმინისილიკატურ ნარევში მიიღწევა  $\text{SiO}_2$ -ის შემცველობის მაქსიმუმი [2].

წინასწარ მარილებულებას სინარით დამუშავებულ ანალიტიკური 14%-იანი ნატრიუმის ჰიდროქსიდის დამატების შედეგად მიღებულ გელში, ქიმიური ანალიზის კლასიკური მეთოდით განსაზღვრული, ოქსიდების თანაფარდობა შემდგრა:

$$\begin{array}{ll} \text{SiO}_2/\text{Al}_2\text{O}_3 = 4 & \text{Na}_2\text{O}/\text{SiO}_2 = 3 \\ \text{Na}_2\text{O}/\text{Al}_2\text{O}_3 = 12 & \text{H}_2\text{O}/\text{Na}_2\text{O} = 43 \end{array}$$

ცეოლითის წვრილდისპერსული კრისტალების მიღების მიზნით ტუტეალუმინისლიკატური გელი დაბერებული იქნა 7 დღე-ლამის განმავლობაში, ოთახის ტემპერატურაზე. წინასწარმა გამოკვლევებმა გვაჩვენა რომ დაბერების ხანგრძლივობის ზრდა ამცირებს კრისტალიზაციის პროცესს და იწვევს სისტემაში წვრილი ნაწილაკების ინტენსიურ ზრდას [2]. დაბერებული გელის კრისტალიზაცია ხორციელდებოდა ტეფლონის კოლბებში და გრძელდებოდა 40 საათის განმავლობაში, თერმოსტატში 95-100°C-ის პირობებში, მორცეის გარეშე.

გარეცხილი და  $105^{\circ}\text{C}$ -ზე გამოშრალი ნიმუშის ფაზური სისუფთავე და ფაზათა ცვლა ჰიდროტერმალური კრისტალიზაციის დროს შემოწმებული იქნა დიფრაქტომეტრზე „Дрон”-2, Cu-K გამოსხივებით, ღეტექტორის მოძრაობის სიჩქარე  $1^{\circ}/\text{წთ}$ . რენტგენულ-დიფრაქტომეტრული მეთოდით კვლევის შედეგად მასალა იდენტიფიცირებულია, როგორც ფოზაზიტის ( $\text{NaX}$ ) ტიპის წვრილდისპერსული ცეოლითი [3].



**ნახ. 1.** ახალი წვრილდისპერსული ცეოლითური მასალის დიფრაქტოგრამა

მიღებული წვრილდისპერსული ცეოლითური პროდუქტის ქიმიური შედეგნილობა დადგენილი იქნა ქიმიური ანალიზის კლასიკური და ატომურ-აბსორბციული სპექტროფოტომეტრიის მეთოდებით. იგი შეესაბამება შემადგენელი კომპონენტების ოქსიდურ ფორმაში გამოხატულ ფორმულას:  $0,94\text{Na}_2\text{O} \cdot \text{Al}_2\text{O}_3 \cdot 2,58\text{SiO}_2 \cdot 4,4\text{H}_2\text{O}$ .

გამოვლენილია, რომ ცეოლითის ალუმინილიკატური მესრის მაკომპენსირებელი კატიონი ნატრიუმია.

ფორმული კრისტალური ნივთიერების წარმოქმნის კრიტერიუმად რენტგენულ-დიფრაქტომეტრულ ანალიზთან ერთად აუცილებელია მიღებული პროდუქტის ადსორბციული თვისებების დახასიათება.

შესწავლილია წინასწარ  $350^{\circ}\text{C}$ -ზე 2სთ-ის განმავლობაში გამომწვარი ნიმუშის სორბციული ტევადობა წყლის ორთქლის მიმართ, ექსიკატორული მეთოდის გამოყენებით,  $p/p_s=0,40$  წყლის ორთქლის ფარდობით წნევასა და  $20^{\circ}\text{C}$  ტემპერატურის პირობებში.

ცხრილში 1 წარმოდგენილია ბუნებრივი გამოსავალი მინერალის, ტუტეალუმინილიკატური გელის, საბოლოო პროდუქტის და ეტალონური ნიმუშის ადსობციის მონაცემები წყლის ორთქლის მიმართ. საიდანაც ჩანს, რომ სისტემაში წვრილი კრისტალების რიცხვის ზრდასთან და მისი სტრუქტურის განვითარებასთან ერთად სორბციული ტევადობა იზრდება და 40 საათის შემდეგ აღწევს მაქსიმუმს  $a=11,5$  მმოლ/გ, ეტალონური ნიმუშისათვის  $a=12,2$  მმოლ/გ; ერთდროულად დიფრაქტოგრამაზე იზრდება სტრუქტურული ხაზების რიცხვი და მათი ინტენსივობა.

**ცხრილი 1.** წყლის ორთქლის ადსორბცია ბუნებრივ ანალციმსა და მის ნაწარმებზე  
 $p/p_s = 0,40$  და  $20^\circ\text{C}$ -ზე

ნიმუში	ადსორბცია		
	$a, \text{მმლ/გ}$	$V, \text{ლ}^3/\text{გ}$	$V, \text{ლ}^3/\text{სგ}^3$
1. ბუნებრივი მინერალი AG	2,28	0,041	0,078
2. ტუტეალუმინისილიკატური გელი (7დღე-დამის დაბერებით)	2,12	0,038	0,872
3. საბოლოო პროდუქტი NaX	11,5	0,210	0,401
4. სინთეზური NaX (ეტალონი) [4]	12,2	0,220	0,421

#### ლიტერატურა - REFERENCES -ЛИТЕРАТУРА

1. М.Абришамкар. Оптимизация параметров, влияющих на эффективность синтеза наноцеолита ZSM-5. Zeitschrift fur Anorganische und Allgemeine Chemie, 2010, вып. 636, с. 134-139.
2. V.Tsitsishvili, N.Dolaberidze, N.Mirdzveli, M.Alelishvili, M.Nijaradze, M.Suladze. Chemical Preparation of Nano-Sized Zeolite Materials. Study of Pre-Crystallization Processes. Proc. Georg. Nat. Acad. Sci., Chem. Ser., 2009. v. 35, p.197-200.
3. В.Н. Семушин. Рентгенографический определитель цеолитов. Изд-во «Наука», Сибирское отделение, 1986, 125 с.
4. И.Е. Неймарк. Синтетические минеральные адсорбенты и носители катализаторов. Киев, Изд-во «Наукова Думка», 1982, 216 с.

#### PREPARATION OF NEW ZEOLITE MATERIALS WITH HIGH DISPERSITY FROM NATURAL MINERAL RAW MATERIALS

V.Tsitsishvili, N.Dolaberidze, N.Mirdzveli, M.Nijaradze, V.Gabunia

Petre Melikishvili Institute of Physical and Organic Chemistry

of Ivane Javakhishvili Tbilisi State University

#### SUMMARY

Process of preparation of new zeolite material with high dispersity by hydrothermal crystallization has been studied. Possibility of application of analcime-containing rock pre-treated by 20% HCl solution as a aluminosilicate reagent is shown. Prepared material was characterized by X-ray diffraction method as a faujasite type zeolite (NaX) with high dispersity and water sorption capacity (11.5 mmol/g) as compared with capacity of the reference synthetic sample (12.2 mmol/g).

#### ПОЛУЧЕНИЕ НОВЫХ ВЫСОКОДИСПЕРСНЫХ ЦЕОЛИТНЫХ МАТЕРИАЛОВ ИЗ ПРИРОДНОГО МИНЕРАЛЬНОГО СЫРЬЯ

В.Цицишвили, Н.Долаберидзе, Н.Мирдзвели, М.Нижарадзе, В.Габуния

Институт физической и органической химии им. П.Г.Меликисхвилли

Тбилисского государственного университета им. Ив.Джавахишвили

#### РЕЗЮМЕ

Изучен процесс получения высокодисперсного цеолитного материала путем гидротермальной кристаллизации. Установлена возможность применения для этой цели в качестве алюмосиликатного реагента анальцимсодержащей породы, предварительно обработанной 20%-ным раствором соляной кислоты. Полученный материал методом рентгеновской дифрактометрии идентифицирован как высокодисперсный цеолит типа фожазита (NaX), его сорбционная ёмкость по воде (11,5 ммоль/г) близка к ёмкости эталонного синтетического образца (12,2 ммоль/г).

## PHYSICAL CHEMISTRY

**LiCr<sub>x</sub>Ni<sub>0.5-x</sub>Mn<sub>1.5</sub>O<sub>4</sub>-SPINEL SYNTHESIZED THROUGH SOL-GEL METHOD AS CATHODE MATERIAL FOR Li-ION ACCUMULATORS**

Eteri Kachibaia, Ruth Imnadze, Tamar Paikidze, Dali Dzanashvili  
*Rafiel Agladze Institute of Inorganic Chemistry and Electrochemistry  
of Ivane Javakhishvili Tbilisi State University*

Synthesis and investigation of lithium-manganese spinel is the subject of extensive research, due to the potential opportunity for using this compound as a cathode material of new generation rechargeable batteries [1 – 5]. In this paper phase composition, structure and other physico-chemical properties of LiNi<sub>0.5</sub>Mn<sub>1.5</sub>O<sub>4</sub> and LiCr<sub>x</sub>Ni<sub>0.5-x</sub>Mn<sub>1.5</sub>O<sub>4</sub> type compounds were studied with the purpose of development for power consuming Li-ion accumulators of promising cathode materials based on modified lithium-manganese spinels. Sol-gel method was used to obtain nanosized homogenous phase-pure samples. Mn(CH<sub>3</sub>COO)<sub>2</sub>·4H<sub>2</sub>O, Cr(CH<sub>3</sub>COO)<sub>2</sub>·4H<sub>2</sub>O, Ni(CH<sub>3</sub>COO)<sub>2</sub>·4H<sub>2</sub>O and LiCH<sub>3</sub>COO·2H<sub>2</sub>O acetates were selected as initial reagents. Fumaric acid – C<sub>4</sub>H<sub>4</sub>O<sub>4</sub> was used as a chelating agent, and polyethylene glycol, added to Li, Cr, Ni and Mn acetates on the stage of mixing of the initial reagent (~ 10% of total weight), was used as surface – active substance. Double-doped samples - LiCr<sub>x</sub>Ni<sub>0.5-x</sub>Mn<sub>1.5</sub>O<sub>4</sub> were synthesized in the 0 < x ≤ 0.5 range to determine limits of chromium insertion by substitution of nickel atoms in Li-Ni-Mn spinel structure without cubic syngony distortion. Doping of LiNi<sub>0.5</sub>Mn<sub>1.5</sub>O<sub>4</sub> (x = 0) spinel with chromium was carried out to achieve stabilization of the structure of the desired product during cycling and to improve its properties as a cathode material. Tables 1-4 show diffraction characteristics of LiCr<sub>x</sub>Ni<sub>0.5-x</sub>Mn<sub>1.5</sub>O<sub>4</sub> samples in 0 < x ≤ 0.5 range.

**Table 1.** Diffraction characteristics of LiNi<sub>0.5</sub>Mn<sub>1.5</sub>O<sub>4</sub> (samp.1) and LiCr<sub>0.05</sub>Ni<sub>0.45</sub>Mn<sub>1.5</sub>O<sub>4</sub> (samp.3) samples, obtained through sol-gel method, in comparison with similar samples (samp.2 and 4), obtained in presence of surface active substance - polyethylene glycol (PEG)

samp.Nº1 LiNi <sub>0.5</sub> Mn <sub>1.5</sub> O <sub>4</sub>			samp.Nº2 LiNi <sub>0.5</sub> Mn <sub>1.5</sub> O <sub>4</sub> (PEG)		samp.Nº3 LiCr <sub>0.05</sub> Ni <sub>0.45</sub> Mn <sub>1.5</sub> O <sub>4</sub>		samp.Nº4 LiCr <sub>0.05</sub> Ni <sub>0.45</sub> Mn <sub>1.5</sub> O <sub>4</sub> (PEG)	
hkl	I/I <sub>0</sub>	d <sub>a/n</sub>	I/I <sub>0</sub>	d <sub>a/n</sub>	I/I <sub>0</sub>	d <sub>a/n</sub>	I/I <sub>0</sub>	d <sub>a/n</sub>
111	65	4.730	70	4.730	50	4.720	12	4.740
311	100	2.474	100	2.473	100	2.467	100	2.484
222	20	2.368	20	2.367	20	2.363	12	2.370
400	100	2.046	85	2.049	75	2.044	100	2.057
331	10	1.877	10	1.877	10	1.877	10	1.814
333,511	25	1.574	25	1.578	20	1.574	25	1.578
440	40	1.448	40	1.448	30	1.445	-	-
	a <sub>0</sub> =0.8185± ±0.0008 nm Phase-pure spinel		a <sub>0</sub> =0.8198± ±0.0002 nm Phase-pure spinel		a <sub>0</sub> =0.8180± ±0.0005 nm Phase-pure spinel		a <sub>0</sub> =0.8220± ±0.0018 nm Phase-pure spinel	

**Table 2.** Diffraction characteristics of LiCr<sub>0.1</sub>Ni<sub>0.4</sub>Mn<sub>1.5</sub>O<sub>4</sub> and LiCr<sub>0.2</sub>Ni<sub>0.3</sub>Mn<sub>1.5</sub>O<sub>4</sub> samples

samp.Nº7 LiCr <sub>0.1</sub> Ni <sub>0.4</sub> Mn <sub>1.5</sub> O <sub>4</sub>			samp.Nº5 LiCr <sub>0.1</sub> Ni <sub>0.4</sub> Mn <sub>1.5</sub> O <sub>4</sub> (PEG)		samp.Nº8 LiCr <sub>0.2</sub> Ni <sub>0.3</sub> Mn <sub>1.5</sub> O <sub>4</sub>		samp.Nº6 LiCr <sub>0.2</sub> Ni <sub>0.3</sub> Mn <sub>1.5</sub> O <sub>4</sub> (PEG)	
hkl	I/I <sub>0</sub>	d <sub>a/n</sub>	I/I <sub>0</sub>	d <sub>a/n</sub>	I/I <sub>0</sub>	d <sub>a/n</sub>	I/I <sub>0</sub>	d <sub>a/n</sub>
111	50	4.720	60	4.740	40	4.730	65	4.720
311	100	2.468	60	2.477	100	2.470	100	2.466
222	20	2.362	12	2.372	20	2.368	20	2.361
400	90	2.045	100	2.054	70	2.045	100	2.045
331	12	1.877	12	1.877	10	1.877	15	1.871
333,511	20	1.574	25	1.585	20	1.576	30	1.575
440	30	1.446	40	1.448	30	1.448	45	1.445
	a <sub>0</sub> =0.8181± ±0.0003 nm Phase-pure spinel		a <sub>0</sub> =0.8209± ±0.0007 nm Phase-pure spinel		a <sub>0</sub> =0.8188± ±0.0006 nm Phase-pure spinel		a <sub>0</sub> =0.8179± ±0.0002 nm Phase-pure spinel	

**Table 3.** Diffraction characteristics of  $\text{LiCr}_{0.25}\text{Ni}_{0.25}\text{Mn}_{1.5}\text{O}_4$  and  $\text{LiCr}_{0.3}\text{Ni}_{0.2}\text{Mn}_{1.5}\text{O}_4$  samples

samp.Nº11 $\text{LiCr}_{0.25}\text{Ni}_{0.25}\text{Mn}_{1.5}\text{O}_4$		samp.Nº9 $\text{LiCr}_{0.25}\text{Ni}_{0.25}\text{Mn}_{1.5}\text{O}_4$ (PEG)		samp.Nº12 $\text{LiCr}_{0.3}\text{Ni}_{0.2}\text{Mn}_{1.5}\text{O}_4$		samp.Nº10 $\text{LiCr}_{0.3}\text{Ni}_{0.2}\text{Mn}_{1.5}\text{O}_4$ (PEG)	
I/I <sub>0</sub>	d <sub>a/n</sub>	I/I <sub>0</sub>	d <sub>a/n</sub>	I/I <sub>0</sub>	d <sub>a/n</sub>	I/I <sub>0</sub>	d <sub>a/n</sub>
70	4.720	60	4.720	70	4.720	80	4.720
100	2.466	100	2.467	100	2.470	100	2.467
30	2.362	22	2.362	30	2.367	25	2.363
100	2.045	90	2.046	100	2.048	15	2.080
20	1.877	20	1.877	22	1.877	90	2.044
30	1.576	30	1.575	30	1.575	15	1.876
50	1.447	45	1.446	50	1.446	25	1.575
-	-	-	-	-	-	40	1.446
$a_0=0.8183\pm$ $\pm 0.0005 \text{ nm}$ Phase-pure spinel		$a_0=0.8182\pm$ $\pm 0.0002 \text{ nm}$ Phase-pure spinel		$a_0=0.8184\pm$ $\pm 0.0006 \text{ nm}$ Phase-pure spinel		$a_0=0.8182\pm$ $\pm 0.0003 \text{ nm}$ Phase-pure spinel	

**Table 4.** Diffraction characteristics of  $\text{LiCr}_{0.4}\text{Ni}_{0.1}\text{Mn}_{1.5}\text{O}_4$  and  $\text{LiCr}_{0.5}\text{Mn}_{1.5}\text{O}_4$  sample

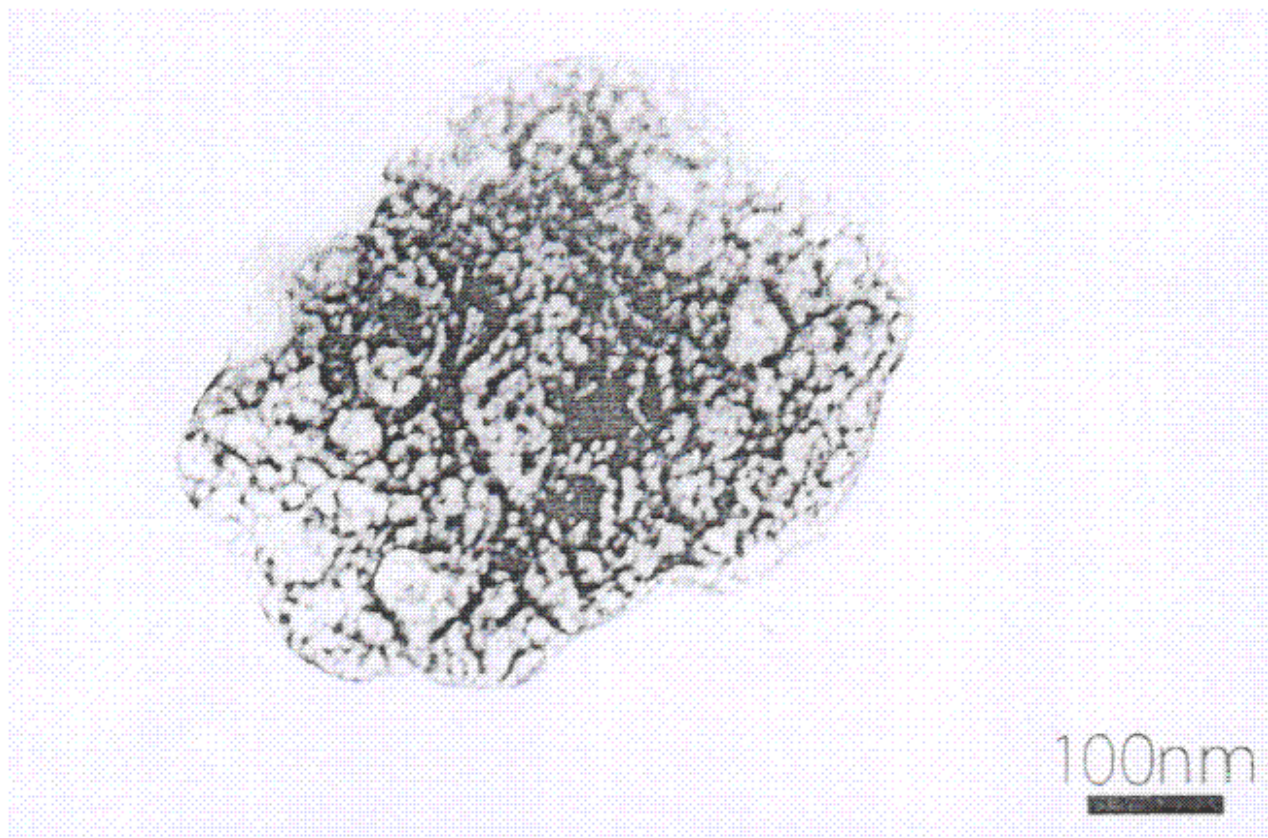
samp.Nº13 $\text{LiCr}_{0.4}\text{Ni}_{0.1}\text{Mn}_{1.5}\text{O}_4$		samp.Nº14 $\text{LiCr}_{0.4}\text{Ni}_{0.1}\text{Mn}_{1.5}\text{O}_4$ (PEG)		samp.Nº15 $\text{LiCr}_{0.5}\text{Mn}_{1.5}\text{O}_4$	
I/I <sub>0</sub>	d <sub>a/n</sub>	I/I <sub>0</sub>	d <sub>a/n</sub>	I/I <sub>0</sub>	d <sub>a/n</sub>
80	4.720	80	4.720	90	4.720
100	2.467	100	2.466	90	2.467
25	2.362	20	2.360	30	2.363
90	2.045	20	2.080	-	-
15	1.877	90	2.046	100	2.046
25	1.576	20	1.877	20	1.876
40	1.446	30	1.575	32	1.575
-	-	45	1.445	50	1.447
$a_0=0.8181\pm$ $\pm 0.0001 \text{ nm}$ Phase-pure spinel		$a_0=0.8181\pm$ $\pm 0.0004 \text{ nm}$ Phase-pure spinel		$a_0=0.8183\pm$ $\pm 0.0003 \text{ nm}$ Phase-pure spinel	

Table 5 summarizes results of the chemical analysis of the synthesized samples. Figure 1 shows a TEM image of the sample with  $\text{LiCr}_{0.1}\text{Ni}_{0.4}\text{Mn}_{1.5}\text{O}_4$  composition. Studies of the synthesized compounds were performed by X-ray diffraction method (X-ray phase and X-ray structure analysis), the classical methods of chemical analyses and atomic-absorption method, as well as by transmission electron microscopy (TEM). Research results confirm the formation of phase-pure cubic spinel with a nanoscale crystal lattice  $a = 0.8179 \pm 0.0002 \div 0.8220 \pm 0.0018 \text{ nm}$  in the whole range of  $0 < x \leq 0.5$  formula units values. This may serve as evidence of isomorphous substitution of nickel atoms with chromium atoms at  $0 < x \leq 0.5$ . In this case, X-ray patterns indicate that the synthesis in the presence of surfactant increases the crystallization of the spinel structure. TEM images of samples obtained by sol-gel method in the presence of surfactant indicate the formation of samples with a particle size of  $\sim 20\text{-}25 \text{ nm}$  incorporated in agglomerates. The results of preliminary electrochemical testing of the synthesized materials suggest increasing of their operational performances both due to the redox (oxidation-reduction) transition of  $\text{Ni}^{2+} / \text{Ni}^{3+}$ ,  $\text{Ni}^{3+} / \text{Ni}^{4+}$ ,  $\text{Cr}^{3+} / \text{Cr}^{4+}$ , and due to a combination of nano-sized particles and the degree of the samples crystallization. Testing of the double-doped spinels, in particular,  $\text{LiCr}_{0.2}\text{Ni}_{0.3}\text{Mn}_{1.5}\text{O}_4$  and  $\text{LiCr}_{0.3}\text{Ni}_{0.2}\text{Mn}_{1.5}\text{O}_4$  samples, in the range of 3.5-5.2 V revealed the principal possibility of their utilization within the 5-volt potential range.

Developed cathode materials could be of interest for electric motors and energy storage systems due to their high operating voltage ( $\sim 4.7 \text{ V}$ ), high energy density, acceptable stability and cycleability.

**Table 5.** Chemical composition of  $\text{LiCr}_x\text{Ni}_{0.5-x}\text{Mn}_{1.5}\text{O}_4$  ( $0 \leq x \leq 0.5$ ) samples

№	Samples' composition	content, %			
		Li	Cr	Ni	Mn
1	$\text{LiNi}_{0.5}\text{Mn}_{1.5}\text{O}_4$	3.81	-	15.93	45.71
2	$\text{LiCr}_{0.2}\text{Ni}_{0.3}\text{Mn}_{1.5}\text{O}_4$	3.88	5.65	9.71	45.09
3	$\text{LiCr}_{0.1}\text{Ni}_{0.43.81}\text{Mn}_{1.5}\text{O}_4$	3.81	2.81	12.36	44.95
4	$\text{LiCr}_{0.3}\text{Ni}_{0.2}\text{Mn}_{1.5}\text{O}_4$	3.85	8.45	6.42	45.47
5	$\text{LiCr}_{0.4}\text{Ni}_{0.1}\text{Mn}_{1.5}\text{O}_4$	3.86	11.52	3.40	45.99

**Fig. 1.** TEM image of  $\text{LiCr}_{0.1}\text{Ni}_{0.4}\text{Mn}_{1.5}\text{O}_4$  X 12000**ლიტერატურა - REFERENCES -ЛИТЕРАТУРА**

1. Kim J.-H., et al. *Electrochim. Acta*, 2004, v. 49, p. 219.
2. Zhao Z., et al. *J. Am. Ceram. Soc.*, 2005, v. 82, p. 3549.
3. A.S.Arico, et al. *Nat. Mater.*, 2005, v. 4, p. 366.
4. Amarilla J.M., et al. *Solid State Ionics*, 2000, v.12, p. 73.
5. Hwang B.J., et al. *J. Power Sources*, 2001, v. 97-98, p. 443.

**ზოდ-გელ მეთოდით სინთეზირებული  $\text{LiCr}_x\text{Ni}_{0.5-x}\text{Mn}_{1.5}\text{O}_4$ -შპინელი რობორც  $\text{Li}$ -იონური  
აკუმულატორების საგათოდე მასალა**

ეთერ ქაჩიბაია, რუფ იმნაძე, თამარ პაიკიძე, დალი ძანაშვილი  
ივანე ჯავახიშვილის სახელობის თბილისის სახელმწიფო უნივერსიტეტის  
რაფიკლ ავლაძის არაორგანული ქმიისა და კლუბროგების ინსტიტუტი

**რეზიუმე**

ენერგოტევადი  $\text{Li}$ -იონური აკუმულატორებისათვის მოდიფიცირებული ლითიუმ-მანგანუმიანი შპინელების საფუძველზე საკათოდე მასალების შემუშავების მიზნით შესწავლილია  $\text{LiCr}_x\text{Ni}_{0.5-x}\text{Mn}_{1.5}\text{O}_4$  ( $0 \leq x \leq 0.5$ )-ტიპის ნაერთების ფაზური შედგენილობა, სტრუქტურა, მორფოლოგია და სხვა ფიზიკურ-ქიმიური თვისებები. საკათოდე მასალები მიღებული იყო ზოლ-გელ მეთოდით. კვლევების შედეგები ამტკიცებს  $a = 0.8179 \pm 0.0002 \div 0.8220 \pm 0.0018$  ნმ კრისტალური მესრის პარამეტრის მქონე ფაზურად-სუფთა კუბური შპინელის წარმოქმნას. ამასთან, საკათოდე მასალების ნიმუშები ხასიათდებან 20–25 ნმ ზომის ნაწილაკებითა და ზედაპირის ერთგვაროვანი მორფოლოგიით. 3.5 – 5.2 V დიაპაზონში ნიმუშების ელექტროქიმიურმა ტესტირებამ აჩვენა პოტენციალების 5 V უბანში მათი გამოყენების პოტენციური შესაძლებლობა. შემუშავებული ნიმუშები შეიძლება საინტერესოს წარმოადგენდნენ როგორც მაღალი სიმძლავრის ლითიუმ-იონური მატარებების საკათოდე მასალები.

**СИНТЕЗИРОВАННАЯ ЗОЛЬ-ГЕЛЬ МЕТОДОМ  $\text{LiCr}_x\text{Ni}_{0.5-x}\text{Mn}_{1.5}\text{O}_4$ -ШПИНЕЛЬ  
КАК КАТОДНЫЙ МАТЕРИАЛ  $\text{Li}$ -ИОННЫХ АККУМУЛЯТОРОВ**

Э.И.Качибая, Р.А.Имнадзе, Т.В.Паикидзе, Д.И.Дзанашивили

Институт неорганической химии и электрохимии им.Р.Агладзе  
Тбилисского Государственного Университета им.И.Джавахишвили

**РЕЗЮМЕ**

С целью разработки перспективных катодных материалов для энергоемких  $\text{Li}$ -ионных аккумуляторов на основе модифицированных литий-марганцевых шпинелей, изучены фазовый состав, структура, морфология и др. физико-химические свойства соединений типа  $\text{LiCr}_x\text{Ni}_{0.5-x}\text{Mn}_{1.5}\text{O}_4$ ,  $0 \leq x \leq 0.5$ . Катодные материалы были получены золь-гель методом. Результаты исследований подтверждают образование фазово-чистых кубических шпинелей с параметром кристаллической решетки  $a = 0.8179 \pm 0.0002 \div 0.8220 \pm 0.0018$  нм. При этом, образцы катодных материалов характеризуются размером частиц порядка 20–25 нм и однородной морфологией поверхности. Электрохимическое тестирование образцов в диапазоне 3.5 – 5.2 В показало принципиальную возможность их использования в 5 – вольтовой области потенциалов. Разработанные соединения могут представить интерес в качестве катодного материала литий-ионных батарей большой мощности.

## OPTICAL SPECTRA AND ELECTRICAL CONDUCTIVITY OF BOROSILICATE GLASSES DOPED WITH CdTe And AgBr SEMICONDUCTOR COMPOUNDS

Rusiko Janelidze, Yujin Blagidze, Genrikh Mshvelidze, Maia Katsiashvili, Oleg Gogolin, Elene Tsitsishvili

*Georgian Technical University, V.V.Chavchanidze Institute for Cybernetics,  
S.Euli 5, 0186 Tbilisi, Georgia, e-mail: helen.oleg@gmail.com*

We report measurements of optical spectra and dynamic (AC) electrical conductivity in borosilicate glasses doped with CdTe and AgBr semiconductors components. The measurements of conductivity have been made in a range of frequencies from 10 to  $10^5$  Hz. The semiconductor components are added in a glass batch and homogenously dissolved during the melting process in the melt. The concentration of dissolved dopants in obtained glass samples is governed by the heat treatment conditions leading to their incorporation in a created CdTe and AgBr nanocrystals – the glasses become nanostructured. The AC conductivity in obtained samples rises with increasing average size of the CdTe nanocrystals in CdTe-doped glasses, in contrast to the case of the AgBr-doped glasses. The absorption and luminescence spectra show the pronounce quantum confined features and serve, as also TEM investigations, for the nanocrystals average sizes control.

### **Introduction**

In our previous paper [1] we reported the electrical conductivity, optical spectra and TEM investigation of AgI- and CdSSe-doped borosilicate glasses. This report presents the similar investigation on glasses doped with AgBr and CdTe semiconductor components. It is generally accepted that in many glasses alkali ions move under the influence of an electric field. Therefore, glasses such as alkali borosilicate show ionic conductivity. Ion transport in glass remains an active field of research because of practical implication [2]. On the other hand the doped borosilicate glasses have been used for many years to prepare commercially available colored glass edge filters [3]. The borosilicate glasses serve also as a host network structure for embedding of ensembles of semiconductor nanocrystals (NCs) - quantum dots and rods [4]. Solid phase precipitation of semiconductor components in borosilicate glass is –besides precipitation from solutions- one of the best known and widely used preparation routes of such objects [1 - 5]. The push to study such systems has been the understanding of fundamental physics of systems of reduced dimensionality and low-dimensional confinement but also the development of an understanding of the basic questions of potential applications in communication or computing systems [6]. For both the fundamental study and application it is necessary to gain understanding and control over the growth process and the properties of large ensembles of NCs. The growth process of NCs in turn is determined by the duration and temperature of the heat treatment and depends also on a composition and properties of a host network structure [4,5, 7-9].

Usually the glass constituents consist of two main components, the network former and the network modifier ions [7]. In the case of borosilicate glass,  $B_2O_3$  and  $SiO_2$  are strong glass formers, whereas the metal oxides serve usually as modifiers. The latter are added to achieve the appropriate conditions for a successful formation of the semiconductor NCs, since they cause a reduction of the glass melting point and viscosity and enhance the diffusion velocity of dopants. Besides, modifiers lead to a drastic enhancement of the ionic conductivity associated with a high mobility of the metallic  $M^+$  ions even at small concentrations [7].

In this paper we study the absorption of CdTe-doped and luminescence of AgBr-doped borosilicate glasses and electrical properties of them prepared under different conditions from the case of a full solution of dopants in the glass matrix to the case of their significant incorporation into NCs. These studies are complemented by the TEM investigations.

### **Experimental procedures, results and discussion**

The CdTe-doped borosilicate glass samples examined in the present studies were prepared by a technique similar to the ones described in Refs. [4, 5, 8]. The batches ( $SiO_2$ - $B_2O_3$ - $ZnO$ - $K_2O$ - $Na_2O$  (23,5%) + extra CdO (2,5%) and metallic Te (3%)) and ( $SiO_2$ - $B_2O_3$ - $Al_2O_3$ - $SnO_2$ - $Sb_2O_3$ - $Na_2O$  (13,6%) + extra KBr (1,8%) and AgBr (3%)) were molten at 1300°C for 2 hours in a furnace and were then rapidly quenched to room temperature resulting in clear colorless glass sheets. Also undoped glass of the same composition was prepared. To produce the NCs, the obtained glass ingots with homogenously dissolved dopants were cut into several parts which were annealed in a furnace at temperatures ranging from 500C° to 700C° for several hours. The samples (0.05 cm thick and 2 cm<sup>2</sup> square) were cut from the ingots for the various measurements. Below we focus on 9 specific samples labeled A<sub>i</sub> (i = 1 - 5) and B<sub>i</sub> (i = 1 - 4). Sample A<sub>1</sub> and B<sub>1</sub> are a virgin host network structure, i.e., it does not contain any dopants. In samples A<sub>2</sub> and B<sub>2</sub> the dopants are homogenously dissolved in a glass matrix. In the last

samples A<sub>3</sub>, A<sub>4</sub>, A<sub>5</sub>, B<sub>3</sub> and B<sub>4</sub> dopants are partially incorporated to NC's. The TEM examinations of these samples show a nearly spherical shape of NCs with various average radii R (except sample A<sub>5</sub>). Sample A<sub>5</sub> reveals a very large spherical NC with radius about 35 nm. Typical TEM images are shown in Ref [1].

The optical-absorption and luminescence measurements were carried out at room temperature on an AvaSpec-2048 and MDR-2 spectrometers in the photon energy range from 1.5 eV to 3 eV. The obtained absorption spectra for CdTe – doped and virgin glasses are shown in Fig.1, where the numbering of curves refers to the ones for the samples.

For samples A<sub>1</sub> and A<sub>2</sub> absorption is very weak in the studied energy range and rises slowly and monotonically with increasing photon energy. The absorption spectra for the annealed samples A<sub>3</sub> and A<sub>4</sub> exhibit the characteristic blue shifts (with respect to the bulk band gap E<sub>g</sub>) and show the pronounced peaks specific for the excitonic quantum confined states [4,5]. The absorption spectrum for sample A<sub>5</sub>, which contains the very large NCs, displays a very weak confinement only and is practically bulk absorption. The average sizes of NC's in samples A<sub>3</sub>, and A<sub>4</sub> are 2 nm and 3.5 nm respectively.

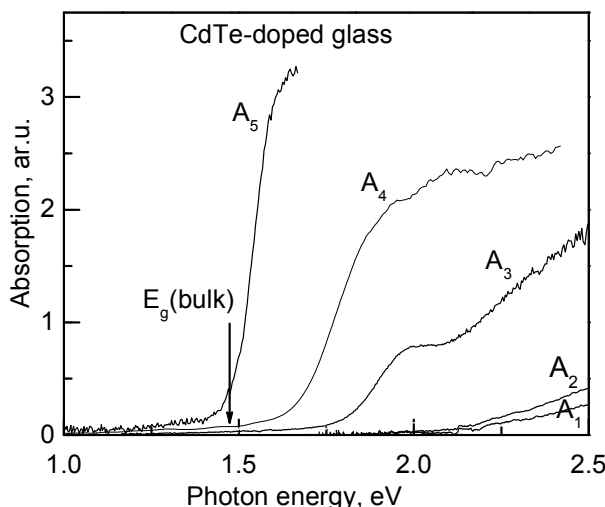


Fig.1. Absorption spectra for glass samples A<sub>1</sub> to A<sub>5</sub> (see text)

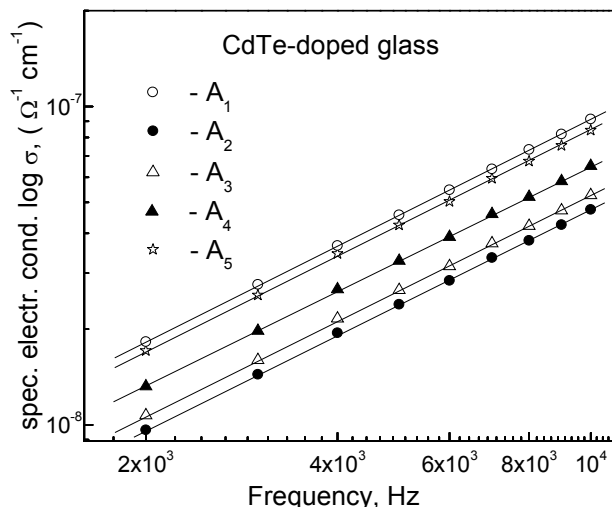


Fig.2. Frequency dependence of AC conductivity for sample A<sub>1</sub> – A<sub>5</sub> (see text)

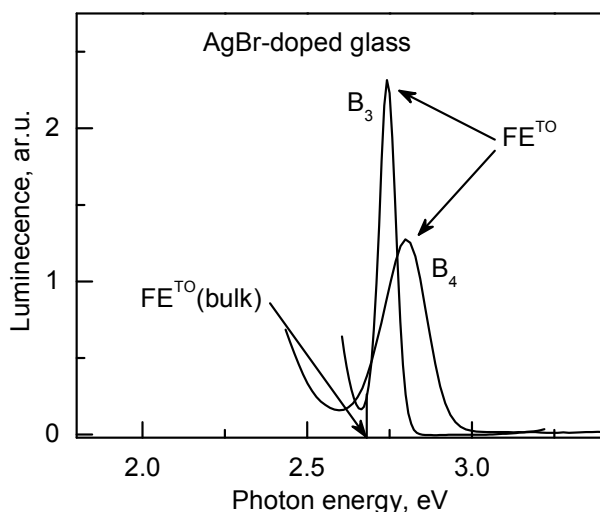


Fig.3. Luminescence spectra for glass samples B<sub>3</sub> and B<sub>4</sub>

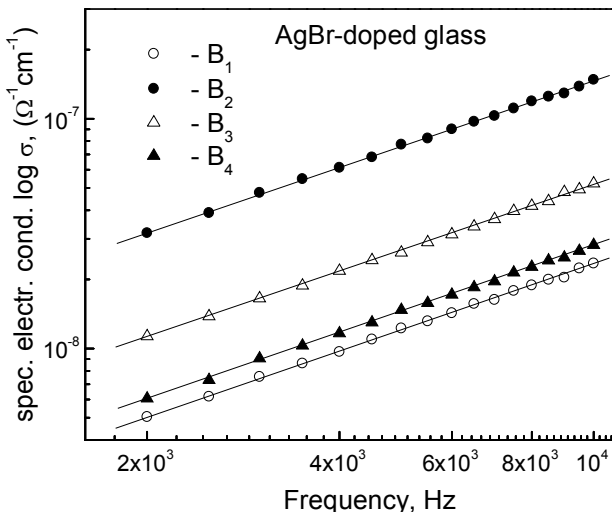


Fig.4. Frequency dependence of AC conductivity for samples B<sub>1</sub> – B<sub>4</sub>

For all nine samples, the electrical conductivity was measured in a frequency range from 10Hz to 10<sup>4</sup> Hz. The silver electrodes were deposited on both surfaces of samples and electrical measurements were performed using the selective nanovoltmeter UNIPAN 237. For the considered frequency range, the conductivity follows the empirical relation  $\sigma(\omega) = A \omega^s$  ( $s < 1$ ) [10], where the frequency exponent  $s = 0.95$  were almost the same for all studied samples. For the sake of clearness, in Fig.2 and Fig.4 the obtained dependencies are shown in more narrow range for frequencies in between 2000 Hz and 10000 Hz at room temperature.

Fig.2 shows the conductivity changes from sample to sample in the considered frequency interval for CdTe case. The largest values of the conductivity are observed in undoped sample A<sub>1</sub> and also in A<sub>5</sub> which contains the largest CdTe NC's. For these two samples the magnitudes of the conductivity are very close. When an average size of the NC's decreases, the conductivity is reduced, too, and reaches the smallest values in sample A<sub>2</sub>, which, as we recall, has undergone no heat treatment, so that it contains no NCs, but only the homogenously dissolved dopants. The obtained results indicate that the electrical conductivity of CdTe-doped borosilicate glasses decreases remarkably with an increase of a concentration of dopants which are homogenously dissolved in a glass. Consequently, one can conclude that the conductivity is sensitive to a creation and growth stage of the NC's in a glass matrix. Such findings can be explained in terms of a doping effect on the ionic conductivity realized in the borosilicate glasses. Indeed, the observed dependence of the conductivity on the NC (average) size can be viewed as a dependence on a concentration of dopants still dissolved in a glass matrix. (Recall that the samples were prepared from the one glass ingot, so that the initial dopant concentration is the same for all samples.) The larger are NCs the less concentration of such dopants remains. The ionic conductivity of glasses has common structural characteristic that includes a highly ordered framework complemented by a disordered interstitial “sublattice” with a number of equivalent sites greater than the number of available (randomly distributed) ions to fill them [11]. The electrical conductivity of the borosilicate glasses is determined mainly by the concentration and mobility of the metallic Na<sup>+</sup> ions serving as the network modifiers [10]. The Cd and Te dopants, homogeneously dissolved in a glass as less mobile ions and atoms during the melting process, fill partially the available sites of the interstitial sublattice reducing effectively the mobility of the Na<sup>+</sup> ions. Consequently, the conductivity of CdTe- doped glass (sample A<sub>2</sub>) becomes suppressed as compared to a virgin glass (sample A<sub>1</sub>). Such a change of the conductivity is, evidently, the stronger the higher a concentration of dopants is. Since in the annealed samples some amount of dopants is incorporated into NCs, the actual concentration of still dissolved dopants is now lower than the initial one in a homogenous sample A<sub>2</sub> (no heat treatment). As a result, the conductivity in samples A<sub>3</sub> - A<sub>5</sub> is larger than in A<sub>2</sub>. This tendency is amplified with an increase of the NCs sizes and an almost total restoration of the conductivity is achieved for sample A<sub>5</sub> containing the very large particles, the sizes of which remain unchanged under further heat treatment.

To support the above explanation, we studied additionally the optical spectra and AC conductivity in AgBr - doped borosilicate glasses. The AgBr compounds belong to the semiconductors with indirect bandgap and therefore we have measured instead of absorption their luminescence (Fig.3). The spectra also reveal a pronounce confinement features and correspond to the TO-replica of free exciton luminescence from NC's with average radii 2nm (sample B<sub>4</sub>) and 5 nm (sample B<sub>3</sub>).

As is well known, the compound AgBr dissolves in a glass as Br<sup>-</sup> and Ag<sup>+</sup> ions and the Ag<sup>+</sup> ions contribute essentially to the electrical conductivity [12]. Consequently, for the conductivity now one can expect the opposite trend as compared to the chalcogenide-doped glasses.. The corresponding AC conductivities at room temperature for samples B<sub>1</sub> – B<sub>4</sub> are shown in Fig.4. In this figure one can see that now the conductivity is maximal for the homogenous sample and reduces for the annealed samples in which the Ag<sup>+</sup> and Br<sup>-</sup> ions are partially incorporated to the NCs. The larger are NCs, the lower is now the conductivity. Similar results were previously reported for the CuBr- and CuCl- doped borosilicate glasses [13,14]. Hence, the electrical conductivity of glass network contains information on the creation and growth of the semiconductor NCs.

### Conclusions

We have presented measurements of the optical spectra and dynamic electrical conductivity in (i) CdTe- and AgBr-doped borosilicate glasses and (ii) in the nanostructured glasses containing CdTe and AgBr nanocrystals of different average radii. In both cases, the frequency dependence of the conductivity was examined. Our measurements show that magnitude of the electrical conductivity exhibits a systematic dependence on a (average) size of NCs in a glass matrix, i.e. on the remaining concentration of dopants still dissolved in the glass matrix. For CdTe- doped glasses, the conductivity decreases with a decrease of the NC size due to a suppression of the metallic ion (Na<sup>+</sup>) mobility by the dopants. It contrasts thus the results for the AgBr - doped glasses, where the conductivity decreases with a rise of the NC's size due to a high mobility of the Ag<sup>+</sup> ions. We conclude that the electrical conductivity of glass network contains information on the nucleation and growth of the semiconductor NCs and the conductivity measurements may serve as a method for a preliminary characterization of the nanostructured glass samples.

### ლიტერატურა - REFERENCES -ЛИТЕРАТУРА

1. R.Janelidze, O.Bakradze, O.Gogolin, E.Tsitsishvili, C.Klingshirn. Chalcogenide Letters, 7, 559, (2010).
2. M.D.Ingram. Phys. Chem. Glasses, **28**, 215, (1987) and Current Opinion Solid State Mater. Sci. **2**, 399, (1997); S.S.Das, B.P.Baranwal, C.P.Gupta, P.Singh. J. Power Sources, **114**, 346, (2003).
3. W.A. Weyl. Colored Glasses, Dawson of Pall Mall, London (1959).

4. N.F. Borelli, D.V. Hall, H.J. Holland, D.W. Smith. J.Appl.Phys. **61**, 5399, (1987); B. Champagnon, B. Andrianasolo, A. Ramos, M. Gandais, M. Allias, J.-P. Benoit. J.Appl.Phys. **73**, 2775, (1993) and B.G. Potter, J.H. Simmons. Phys.Rev. B, **37**, 10838, (1988); U.Woggon. Optical Properties of Semiconductor Quantum Dots, Springer, Berlin, (1996).
5. H. Yukselici, P.D. Persans, T.M. Hayes, Phys.Rev.B, **52**, 11763, (1995).
6. D. Awschalom, D. Loss, and N. Samarth, Semiconductor Spintronics and Quantum Computation, Springer Verlag Berlin -Heidelberg, (2002).
7. H. Scholze, Glas – Natur, Structur und Eigenschaften, Springer, Berlin, (1977).
8. O. Gogolin, Yu. Berashvili, G. Mshvelidze, E. Tsitsishvili, S. Oktjabrski, H.Giessen, A. Uhlig and C.Klingshirn, Semicond.Sci. Technol. **6**, 401 (1991).
9. G. Mshvelidze, O. Gogolin, E. Tsitsishvili, Ch. Maerkle, A. Hepting, F. Gindele, W. Send, U. Woggon and C. Klingshirn, Phys. Stat. Sol. (b), **207**, 369 (1998).
10. A.E. Owen. Electric conduction and dielectric relaxation in glass, Progress in Ceramic Science, **3**, 77, Pergamon Press, (1963).
11. D.P.Button, L.S.Mason, H.L.Tuller, and D.R.Uhimann, Sol. State Ionics **9/10**, 585, (1983).
12. J. Swensson, L. Boerjsson, R.L. McGreevy, W.S. Howells, Phys.Rew.B, **55**, 11236, (1997).
13. R. Janelidze, G. Mshvelidze, O. Bakradze, V. Edilashvili, T. Shengelia and O. Gogolin, Proc. Georgian Academy of Sci., Chem. Series, **32**, 316, (2006).
14. R.Janelidze, M.Kaziashvili, O.Bakradze, V.Edilashvili, Proc. Georgian Academy of Sci., Chem. Series, **34**, 91, (2008).

**CdTe და AgBr ნახევარგამტარული ნაერთებით ლებირებული ბოროსილიკატური მინების რატიოზე სპექტრები და ელექტრული გამტარებული გამტარებული**

რუსიკო ჯანელიძე, იუჯინ ბლაგიძე, გენრი მშველიძე, მარა კაციაშვილი, ოლეგ გოგოლინი,  
ელენე ციცელიშვილი

საქართველოს ტექნიკური უნივერსიტეტი, ვ. ჭავჭავაძის სახელობის კიბერნეტიკის ინსტიტუტი,  
ს. ეულის 5, 0160 თბილისი, საქართველო

### რეზიუმე

მოცემულია CdTe და AgBr ნახევარგამტარული ნაერთების კომპონენტებით ლეგირებული ბოროსილიკატური მინების ოპტიკური სპექტრების და ელექტრული გამტარებულობის გაზომვის შედეგები. მინების შთანთქმის და ლუმინესცენციის ოპტიკური სპექტრები მიგვითოთებენ ნანოკრისტალებში (კვანტურ წერტილებში), რომლებიც წარმოიქმნებიან მინებში მათი თერმოდამტავების დროს, კვანტურგანზომილებიან ეფექტის არსებობაზე. მინების ელექტროგამტარებულობის სიდიდე დამოკიდებულია კვანტური წერტილების საშუალო რადიუსის სიდიდეზე. Cd და Te-ით ლეგირებულ მინებში გამტარებულობა მცირდება კვანტური წერტილების საშუალო რადიუსის შემცირებასთან ერთად. ეს გამოწვეულია ლიგანდების ატომებით გამტარებულობის ჩახშობით,  $\text{Na}^+$  ტუტე იონების ძვრადობის შემცირების ხარჯზე. Ag და Br ლეგირების შემთხვევაში კი გამტარებულობა მცირდება კვანტური წერტილების რადიუსის გაზრდასთან ერთად. ეს კი გამოწვეულია Ag-ის ძვრადი იონების ინკორპორირებით კანტურ წერტილებში, ე.ი. მათი გასვლით გამტარებულობის პროცესიდან.

## ОПТИЧЕСКИЕ СПЕКТРЫ И ЭЛЕКТРИЧЕСКАЯ ПРОВОДИМОСТЬ БОРОСИЛИКАТНЫХ СТЕКОЛ ЛЕГИРОВАННЫХ ПОЛУПРОВОДНИКОВЫМИ СОЕДИНЕНИЯМИ CdTe И AgBr

Р.Б.Джанелиძე, Ю.М.Благидзе, Г.Г.Мшвелиძე, М.Р.Кациашвили, О.В.Гоголин, Е.Г.Цицишиვили

Грузинский технический университет, Институт кибернетики им. В.В. Чавчанидзе,

С.Эули 5, 0186 Тбилиси, Грузия

### РЕЗЮМЕ

Представлены результаты измерений оптических спектров и электрической проводимости в боросиликатных стеклах легированных компонентами полупроводниковых соединений CdTe и AgBr. Оптические спектры поглощения и люминесценции стекол указывают на квантово-размерный эффект в нанокристаллах (квантовых точках), образующихся в стеклах в процессе их термообработки. Величина электропроводности стекол зависит от величины среднего радиуса квантовых точек. В стеклах легированных Cd и Te, проводимость уменьшается с уменьшением среднего радиуса квантовых точек. Это определяется подавлением проводимости атомами растворенного лиганта за счет уменьшения подвижности проводящих щелочных ионов  $\text{Na}^+$ . В случае же легирования Ag и Br, проводимость уменьшается, наоборот, с ростом радиуса квантовых точек. Это обусловлено инкорпорированием подвижных ионов серебра в квантовые точки, т.е. их устранением из процесса проводимости.

**ФИЗИЧЕСКАЯ ХИМИЯ****ПРИМЕНЕНИЕ ТЕРМОДИНАМИЧЕСКОГО ПОДХОДА К АНАЛИЗУ МЕТАБОЛИЗМА ГЛЮКОЗЫ**

И.Г.Бердзенишвили, М.Г.Сирадзе

*Грузинский технический университет*

Дана термодинамическая оценка метаболизма глюкозы при 25<sup>0</sup>С и pH=7. Для реакций метаболического расщепления глюкозы до пирувата рассчитывалось изменение свободной энергии Гиббса и констант равновесия. Установлена последовательность и преимущественность синтеза аденоинтрифосфата (АТФ) при расщеплении углеводов. Молекулы АТФ используются как источник энергии. Все рассмотренные процессы катализируются ферментами.

Метаболизм (греч. Μεταβολή) в переводе с греческого означает «превращение, изменение». Метаболизм или обмен веществ — химические превращения, которые возникают в живом организме для поддержания жизни. К метаболизму относятся все реакции, при которых клетки получают энергию от окружающей среды для синтеза строительных блоков их макромолекул. Серии химических реакций обмена веществ называют метаболическими путями, в них при участии ферментов одни биологически значимые молекулы последовательно превращаются в другие [1-4]. Если ранее термин «метаболизм», означал просто использование углеводов и жиров в организме, теперь этот термин применяется для обозначения тысяч ферментативных реакций, вся совокупность которых может быть представлена как огромная сеть метаболических путей, многократно пересекающихся (из-за наличия общих промежуточных продуктов) и управляемых очень тонкими регуляторными механизмами [2].

Глюкоза наряду с жирами и белками является важнейшим источником энергии в организме. Уровень глюкозы в крови поддерживается постоянным и равным 0,8-1,0 г/л, благодаря тонкой регуляции процессов ее поступления и потребления. Главная роль углеводов в клеточном метаболизме состоит в том, что их расщепление на более простые соединения обеспечивает синтез АТФ [2, 4-6].

Данная работа направлена на исследование возможности применения термодинамического подхода для анализа протекания метаболизма глюкозы. Одним из преимуществ термодинамического анализа является то, что мы можем зафиксировать начало и конец любого процесса и не беспокоиться о его промежуточных ступенях.

При изучении метаболизма глюкозы прослеживались все ее превращения от той формы, в какой она поступает в организм, до конечных продуктов, выводимых из организма. Стандартное изменение свободной энергии Гиббса рассчитывали по уравнению [2,4-6]:

$$\Delta G^0 = \Delta H^0 - 298\Delta S^0,$$

где  $\Delta G^0$  – изменение свободной энергии Гиббса в стандартных условиях,  $\Delta H^0$  и  $\Delta S^0$  – стандартное изменение энталпии и энтропии реакции.

Рис. 1 представляет схему гликолиза, являющегося метаболическим процессом, в котором глюкоза переходит в пируват и образуется аденоинтрифосфат – АТФ. В аэробных организмах пируват затем входит в митохондрии, где он полностью окисляется до CO<sub>2</sub> и H<sub>2</sub>O в цикле лимонной кислоты. Эти реакции производят дополнительный АТФ – его чистый выход составляет 38 молекул АТФ на каждую окисленную молекулу глюкозы. В менее аэробных условиях – в мышцах в процессе активного движения – пируват переходит в лактат. Однако в атмосфере, лишенной кислорода, т.е. в анаэробных условиях – в дрожжах пируват переходит в этианол [4-6].

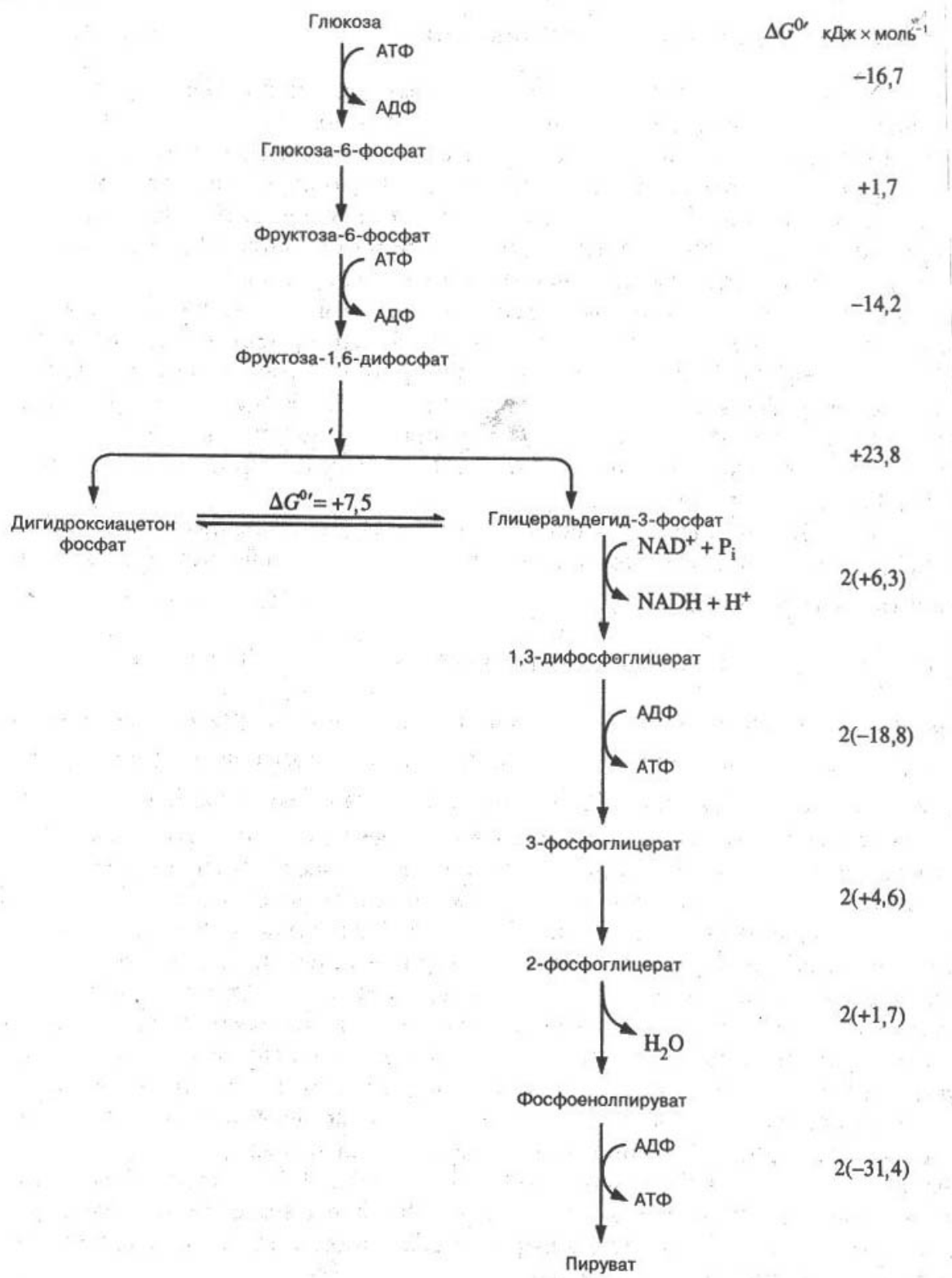
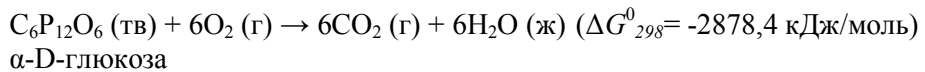


Рис. 1. Гликолитический путь превращения глюкозы в пируват\*

\*  $\Delta G^0$  для реакций от глицеральдегид-3-фосфата к пирувату умножается на 2, т.к. из моль глюкозы получается по 2 моля этих веществ.

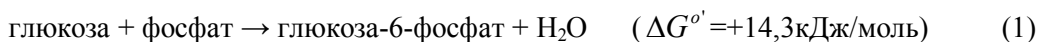
Реакция полного окисления глюкозы до углекислого газа и воды связана с большим отрицательным изменением свободной энергии Гиббса ( $\Delta G_f^0$ ):



Большую часть данного изменения свободной энергии Гиббса обеспечивает энталпийный фактор ( $\Delta H_{298}^0 = -2801,6 \text{ кДж/моль}$ ), вклад же энтропийного фактора невелик ( $-T\Delta S_{298}^0 = -77,2 \text{ кДж/моль}$ ). Таким образом, когда глюкоза горит прямо в кислороде, почти весь химический потенциал ( $\Delta G$ ) переходит в теплоту. В живых же клетках наоборот, значительная часть химического потенциала остается в виде химической энергии связи в форме АТФ и других синтезируемых молекул. В табл. 1 даны рассчитанные величины свободной энергии Гиббса при 25°C и pH=7 для ступеней метаболического разложения (кatabолизма) глюкозы, представленных на рис. 1.

При расчетах свободной энергии Гиббса использованы термодинамические базы констант веществ и биохимические стандартные состояния [7-10]. Последнее означает, что при pH=7 активность воды равна 1, метаболиты находятся в водных растворах и активности растворенных веществ заменены на их общие концентрации в моль·л<sup>-1</sup>. Стандартные состояния всех растворенных веществ подразумевают концентрацию 1 М.

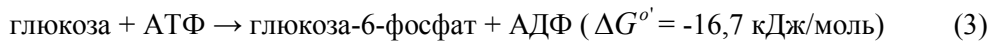
Как видно из табл. 1, первой ступенью в метаболизме глюкозы является образование глюкоза-6-фосфата. Прямая реакция глюкозы с фосфатом имеет относительно высокое положительное изменение стандартной свободной энергии и не играет важной роли в физиологических условиях:



Однако, на первой ступени гликолиза эта реакция связана с гидролизом АТФ и образованием аденоzinдинифосфата АДФ [11], который термодинамически более стабилен



Сумма этих двух реакций имеет отрицательную стандартную свободную энергию, так что этот процесс идет самопроизвольно. Суммируя обе реакции, получаем (табл.1):



В этом цикле самопроизвольная реакция гидролиза АТФ связана с несамопроизвольным фосфорилированием глюкозы. Эта реакция типична для всех процессов метаболизма, в которых участвует АТФ.

Все реакции в гликолитическом пути распада глюкозы катализируются ферментами. Первая ступень катализируется ферментом гексокиназой. Этот фермент ускоряет реакцию и служит для контроля гликолитического пути, но фермент не влияет на термодинамические свойства. Изменения свободной энергии Гиббса связаны с разностью химических потенциалов реагентов и продуктов реакции, но они не показывают, насколько быстро идет процесс.

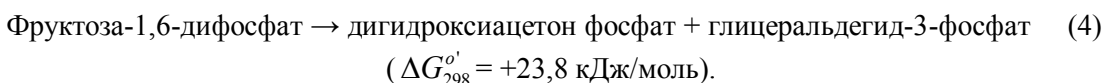
Все реакции в гликолитическом пути распада глюкозы катализируются ферментами. Первая ступень катализируется ферментом гексокиназой. Этот фермент ускоряет реакцию и служит для контроля гликолитического пути, но фермент не влияет на термодинамические свойства. Изменения свободной энергии Гиббса связаны с разностью химических потенциалов реагентов и продуктов реакции, но они не показывают, насколько быстро идет процесс.

**Таблица 1.** Величины стандартной свободной энергии Гиббса для ступенчатых реакций процесса метаболизма глюкозы при 25°C и pH = 7

Реакции	$\Delta G^o'$ (кДж/моль)
D-глюкоза + АТФ → D-глюкоза-6-фосфат + АДФ	-16,7
D-глюкоза-6-фосфат → D-фруктоза-6-фосфат	+1,7
D-фруктоза-6-фосфат + АДФ → D-фруктоза-1,6-дифосфат + АДФ	-14,2
Фруктоза-1,6-дифосфат → дигидроксиацетон фосфат + глицеральдегид-3-фосфат	+23,8
Дигидроксиацетон фосфат → глицеральдегид-3-фосфат	+7,5
Глицеральдегид-3-фосфат + фосфат + NAD <sup>+</sup> → 1,3-дифосфоглицерат + NADH + H <sup>+</sup>	+6,3
1,3-дифосфоглицерат + АДФ → 3-фосфоглицерат + АТФ	-18,8
3-фосфоглицерат → 2-фосфоглицерат	+4,6
2-фосфоглицерат → фосфоенолпируват + H <sub>2</sub> O	+1,7
2-фосфоенолпируват + АДФ → пируват + АТФ	-31,4
Пируват + NADH + H <sup>+</sup> → лактат + NAD <sup>+</sup>	-25,1
Пируват → ацетальдегид + CO <sub>2</sub>	-19,8
Ацетальдегид + NADH + H <sup>+</sup> → этанол + NAD <sup>+</sup>	-23,7

Вторая ступень метаболизма глюкозы это изомеризация глюкоза-6-фосфата в фруктоза-6-фосфат, катализируемая ферментом фосфоглюкоза изомераза. Эта реакция также несамопроизвольная в стандартном состоянии, но положительное изменение свободной энергии относительно мало,  $\Delta G^o' = +1,7$  кДж/моль. Константа равновесия, связанная с этим изменением свободной энергии, при 25°C равна 0,50, что означает образование значительных количеств продукта в условиях гликолиза. Далее, гликолитический процесс затягивается на третьей ступени, когда к фруктоза-6-фосфату привязывается вторая фосфатная группа, образуя фруктоза-1,6-дифосфат. Эта ступень, подобно первой, управляема переносом фосфата от АТФ и имеет отчетливо отрицательную величину  $\Delta G^o' = -14,2$  кДж/моль.

На четвертой ступени гликолитического пути шестиуглеродный сахар фруктоза-1,6-дифосфат распадается на два триуглеродных соединения: дигидроксиацетон фосфат и глицеральдегид-3-фосфат; этот процесс катализируется ферментом альдолазой. Эта реакция дает большую положительную величину изменения свободной энергии Гиббса, которая делает ее очень несамопроизвольной в стандартных условиях:



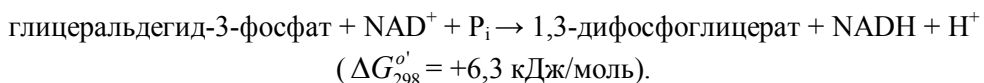
Но концентрации этих метаболитов в клетке в действительности намного меньше 1М, что обуславливает для этой реакции малую величину  $Q \approx 10^4$  и гораздо менее положительное значение  $\Delta G^o'$ . При 37°C каждый фактор 0,1 в величине  $Q$  снижает свободную энергию примерно на 6 кДж/моль ( $RTln0,1 = -5,9$  кДж/моль), так что эффективная величина изменения свободной энергии Гиббса в реальных метаболических условиях  $\Delta G \approx 0$ . Это прямое следствие того, что в реакции (4) число продуктов реакции больше числа реагирующих веществ – все при низких концентрациях. Принцип Ле Шателье говорит о том, что снижение общей концентрации в такой реакции будет благоприятным для образования продуктов реакции [2,4]. Даже если система в физиологических условиях отчетливо неравновесна, это дает направление, в котором идет самопроизвольный процесс в условиях низких концентраций.

Дигидроксиацетон фосфат находится в равновесии с глицеральдегид-3-фосфатом. Изменение свободной энергии реакции дает константу равновесия  $K = 0,05$ .

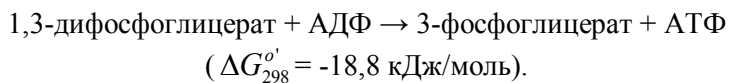
Дигидроксиацетон фосфат ⇌ глицеральдегид-3-фосфат  
 $(\Delta G_{298}^o = +7,5 \text{ кДж/моль})$ .

Тем не менее следующие реакции гликолитического пути настолько истощают запас глицеральдегид-3-фосфата, что в процессе гликолиза по существу весь дигидроксиацетон фосфат переходит в глицеральдегид-3-фосфат.

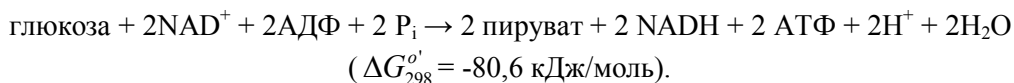
Следующая ступень обусловливает переход в самопроизвольное окисление и фосфорилирование глицеральдегид-3-фосфата в 1,3-дифосфоглицерат. Окисление протекает под действием биологического окислителя никотинамидаденин динуклеотида (NAD), и фосфат берется прямо из запаса «неорганического» фосфата  $P_i$ :



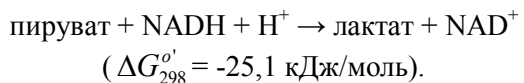
Хотя эта реакция имеет положительное стандартное изменение свободной энергии, процесс продолжается, т.к. следующая ступень гликолиза состоит в переносе одного из фосфатов 1,3-дифосфоглицерата на АДФ для производства АТФ и 3-фосфоглицерата. Эта реакция имеет существенно отрицательное изменение стандартной свободной энергии:



Оставшиеся три ступени на пути к пирувату включают две реакции изомеризации и конечную ступень, состоящую в переносе оставшегося фосфата на АДФ для образования АТФ; никаких новых процессов в этих стадиях не происходит. Полный процесс, при котором одна молекула глюкозы метаболизируется в пируват, можно суммировать реакцией:



В полном гликолитическом процессе образуется 2 моль АТФ и 2 моль физиологического восстановителя NADH. При этом значительная часть имеющихся химических потенциалов сохраняется как химическая энергия для использования в других биосинтетических реакциях и процессах, требующих энергетических затрат. Так при силовых упражнениях NADH служит для восстановления в мышечных клетках пирувата до лактата в соответствии с реакцией:



Таким образом, представленный термодинамический анализ метаболизма глюкозы показал, что в процессе окисления глюкозы выделяется огромное количество свободной энергии, которая расходуется на осуществление реакций, требующих ее затрат. Молекулы АТФ используются как источник энергии для преобразования простых молекул в более сложные составные части живой клетки. Молекула АТФ, выделяя свободную энергию, превращается в молекулу АДФ. Такие взаимные преобразования АТФ ⇌ АДФ в организме являются способом накопления энергии и ее высвобождения для осуществления необходимых реакций.

В заключение следует отметить, что энергетический подход может быть использован как самостоятельно, так и дополнять другие способы обоснования химизма метаболических процессов.

### ლიტერატურა - REFERENCES – ЛИТЕРАТУРА

1. *P. Марри, Д. Греннер. П. Мейсс. В. Родуэлл.* Биохимия человека. Пер. с англ. – М. : Мир, 1993, т.1– 384с., т.2– 415с.
2. *Калибабчук В.А., Грищенко Л.И., Галинская В.И., Гождзинский С.М. и др.* Медицинская химия. – К.: Медицина, 2008, – 399 с.
3. *Мушкамбаров Н.Н., Кузнецов С.Л.* Молекулярная биология. М. : МИА, 2007, – 536 с.
4. Уильямс В., Уильямс Х. Физическая химия для биологов. – М.: Мир, 1976, – 600 с.
5. Джоунс М. Термодинамика в биохимии. В кн.: Биохимическая термодинамика. – М.: Мир, 1982, с. 9–24.
6. Калоус В., Павличек З. Биофизическая химия. – М.: Мир, 1985, – 446 с.
7. <http://www.chemport.ru/data/data10.shtml>. Электронный справочник: Термодинамические свойства некоторых органических веществ.
8. Термодинамические константы веществ. – М. : АН СССР. Вып. I-X, 1965-1981.
9. *Карапетьянц М.Х., Карапетьянц М.Л.* Основные термодинамические константы неорганических и органических веществ. – М.: Химия, 1968, – 470 с.
10. *Сталл Д., Вестрам Э., Зинке Г.* Химическая термодинамика органических соединений. – М.: Мир, 1971, – 944 с.
11. *C.K. Mathews and K.E. Van Holde.* Biochemistry (Redwood City, Calif: Benjamin/Cummings) 1990, – 1129 p.

**თერმოდინამიკური მიზანის გამოყენება გლუკოზის გეტაპოლიზმის ანალიზისთვის  
ირინე ბერძენიშვილი, მანანა სირაძე**

#### საქართველოს ტექნიკური უნივერსიტეტი

#### რეზიუმე

მოცემულია  $25^{\circ}\text{C}$ -სა  $\text{pH}=7$ -ის პირობებში გლუკოზის მეტაბოლიზმის თერმოდინამიკური შეფასება. პირუვატამდე გლუკოზის მეტაბოლური დაშლის რეაქციებისთვის გამოანგარიშებულია ჯიბსის თავისუფალი ენერგიის ცვლილებისა და წონასწორობის კონსტანტის მნიშვნელობები. გლუკოზის მეტაბოლიზმის დროს დადგნილია ადგნოზინ ტრიფოსფატის (ატფ) წარმოქმნის უპირატესობა და თანმიმდევრობა. ატფ-ის მოლეკულები ენერგიის წყაროდ გამოიყენება. ყველა პროცესი კატალიზდება ფერმენტებით.

#### APPLICATION OF THE THERMODYNAMIC APPROACH TO THE ANALYSIS OF GLUCOSE METABOLISM

Irine Berdzenishvili, Manana Siradze  
*Georgian Technical University*

#### SUMMARY

Thermodynamic evaluation of glucose metabolism at  $25^{\circ}\text{C}$  and  $\text{pH} = 7$  is given. For the reactions of metabolic breakdown of glucose to pyruvate Gibbs free energy changes and equilibrium constant were calculated. The sequence and the preference of adenosine triphosphate (ATP) synthesis during the breakdown of carbohydrates were estimated. ATP molecules store the released energy. All the processes are catalyzed by enzymes.

## ФИЗИЧЕСКАЯ ХИМИЯ

### АНАЛИЗ НЕКОТОРЫХ НЕФТЕПРОДУКТОВ МЕТОДОМ ГАЗО-ЖИДКОСТНОЙ ХРОМАТОГРАФИИ

Т.Н.Кордзахия, Л.Г.Эприкашвили, М.Г.Зауташвили, Н.В.Пирцхалава, М.А.Дзагания

*Тбилисский государственный университет им. Ив. Джавахишвили; Институт физической и органической химии им. П.Г.Меликишивили*

Исследовано влияние полярности неподвижной жидкой фазы, температуры нагрева хроматографической колонки на её разрешающую способность на примере анализа смесей некоторых веществ, входящих в состав бензинов.

Развитие промышленности нефтехимического синтеза связано с поисками новых источников сырья, в качестве которого могут служить продукты вторичной переработки нефти, содержащие большое количество реакционноспособных ненасыщенных углеводородов. За последние годы возраст интерес к изучению состава индивидуальных углеводородов бензина. Однако, большинство публикаций, в основном, посвящены изучению состава прямогонных бензинов или бензинов вторичной переработки, не содержащих олефиновых углеводородов [1,2]. Вероятно, это объясняется не столько сложностью состава бензинов каталитического и термического крекингов, характеризующихся наличием большего числа различных изомерных структур, сколько серьёзными затруднениями, возникающими при идентификации многокомпонентных хроматограмм. Использование в нефтехимии газовых хроматографов, имеющих набор селективных детекторов, капиллярных и насадочных колонок различных типов, сделало возможным разделение любых, даже самых сложных по составу смесей. Тем не менее, прямое разделение таких сложных смесей, как бензины термического и каталитического крекинга, содержащие углеводороды почти всех известных классов, в том числе парафиновые, наftenовые, олефиновые и ароматические различной химической структуры, практически невозможно [3].

Основной аналитической задачей в газовой хроматографии является разделение многокомпонентных смесей, причём возникающие при этом трудности возрастают с увеличением числа компонентов. Сложность хроматографической задачи определяется не только числом определяемых компонентов, но и числом «критических», трудноразделяемых пар соединений, характеризующихся близкими свойствами. Разделение каждой новой «критической» пары обычно представляет большую и самостоятельную задачу [5].

Разделение двух соединений в газовой хроматографии определяется селективностью сорбента, мерой которого можно считать относительное удерживание анализируемых соединений, и эффективностью колонки, мерой которой является число теоретических тарелок. Разделение соединений улучшается при использовании колонок большей эффективности, т.е. при увеличении числа теоретических тарелок и при увеличении селективности используемого сорбента. Использование обоих методов для решения проблемы разделения является оправданным и необходимым. Более простым и изящным методом является подбор селективного сорбента для разделения, поскольку даже небольшое улучшение селективности сорбента позволяет в случае трудноразделяемой пары соединений резко уменьшить необходимое для разделения число теоретических тарелок и перейти, таким образом, от применения капиллярных колонок к использованию более простых и надёжных насадочных колонок. Использование селективных сорбентов позволяет улучшить разделение и уменьшить продолжительность анализа. Эффективность хроматографической колонки обычно определяется её типом. На практике наибольшее распространение получили насадочные колонки. Более широкое их применение объясняется лучшей воспроизводимостью свойств насадочных колонок (особенно при использовании неподвижных жидких фаз), большей стабильностью в эксплуатации и возможностью использования более дешёвого детектора [6,7].

Цель настоящего исследования, заключалась в выявлении влияния полярности неподвижной жидкой фазы, температуры нагрева хроматографической колонки на её разрешающую способность на примере анализа градуировочных смесей веществ, входящих в состав бензинов.

### **Экспериментальная часть**

Объектом исследования служили две неподвижные жидкие фазы (НЖФ) различной полярности: полярная фаза 1,2,3 трис(цианэтокси)пропан (полярность по Роршнейдеру – Р=99-100) и неполярная фаза SE-30 (полярность по Роршнейдеру – Р=5-6). С учётом требований к неподвижным фазам, связанным с возможностью достаточно высокой эффективности хроматографического разделения в данной работе была выбрана НЖФ 1,2,3трис(цианэтокси)пропан, которая в количестве 15% вес. наносилась на твёрдый носитель целик-545, зернением 50-60меш. Максимальная рабочая температура этой фазы – 180<sup>0</sup>С. Неподвижная жидкость хорошо растворима в хлороформе или ацетоне.

Разделительная способность колонки исследовалась на примере анализа градуировочной смеси состава: н-нонан, н-декан, бензол, толуол, этилбензол, м-ксилол, кумол, о-ксилол, мезитилен, псевдокумол, тетраметилбензол, т.е. веществ, входящих в состав бензинов. Анализ проводился в изотермическом режиме.

Исследования проводились на хроматографе «Хром-4» (Чехия), с пламенно-ионизационным детектором, газом-носителем служил гелий. Эксперимент проводился при различных скоростях газоносителя и температуры хроматографической колонки, использовались насадочные колонки различной длины. В итоге были подобраны оптимальные условия разделения.

Исследование эффективности приготовленных насадочных колонок показали, что наилучшее разделение веществ, входящих в состав бензинов было получено на колонках длиной 3,5м и 4,7м, заполненных сорбентом 15% вес. НЖФ 1,2,3трис(цианэтокси)пропан на твёрдом носителе целик-545. Нагрев хроматографической колонки - 100<sup>0</sup>С, нагрев испарителя - 230<sup>0</sup>С, расход газа-носителя составлял 30мл/мин в обоих случаях.

Эффективность колонки тем выше, чем острее зоны хроматографируемых соединений (чем уже пики на хроматограмме). Количественной характеристикой этого параметра служит число теоретических тарелок, которое определяется по формуле [8]:

$$N = 5.54 \left( \frac{l_R}{a_{0.5}} \right)^2$$

где N-число теоретических тарелок; l<sub>R</sub>- исправленное расстояние удерживания; a<sub>0.5</sub>-ширина пика на половине его высоты.

### **Результаты и их обсуждение**

Полученные результаты сведены в таблицу 1. В таблице 1 приведено число теоретических тарелок, рассчитанное для используемых хроматографических колонок, а также величины высот эквивалентных теоретической тарелки (H).

$$H = \frac{L}{N}$$

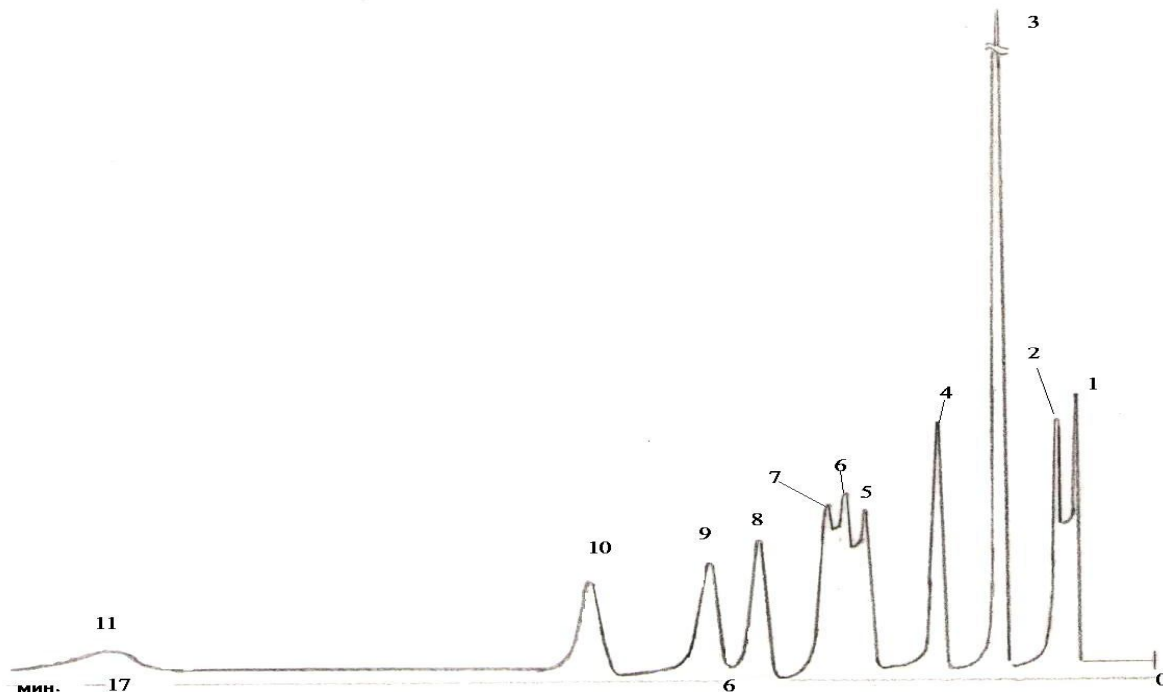
где L-длина хроматографической колонки.

**Таблица 1.** Зависимость числа теоретических тарелок (N) и высоты, эквивалентной теоретической тарелке (H, мм) для отдельных соединений от длины хроматографической колонки.

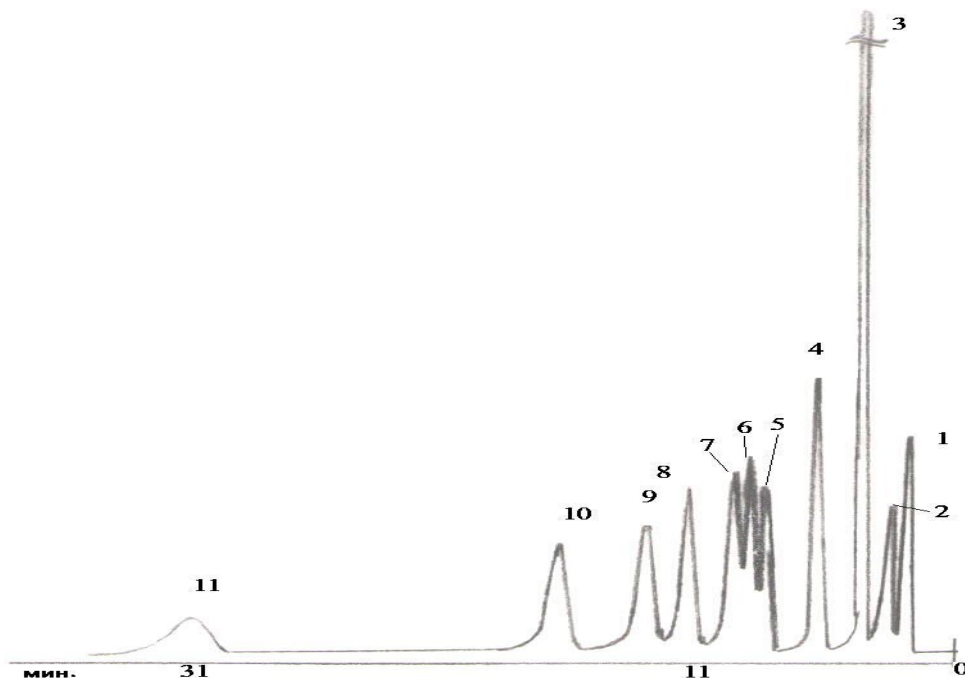
Сорбат	Длина хроматографической колонки, м			
	3,5м		4,7м	
	N	H	N	H
н-нонан	1086	3.23	2186	2.15
н-декан	1138	3.07	2246	2.09
бензол	1165	3.01	2539	1.85
толуол	1199	2.92	2601	1.80
этилбензол	1214	2.88	2697	1.74
м-ксилол	1664	2.10	3600	1.31
кумол	1675	2.09	3931	1.19
о-ксилол	1795	1.95	4059	1.16
мезитилен	2216	1.58	4281	1.09
псевдокумол	2223	1.54	4602	1.02
тетраметилбензол	936	3.73	1891	2.48

Из данных, приведённых в таблице 1, видно, что увеличение длины хроматографической колонки приводит к увеличению числа теоретических тарелок по каждому компоненту, в среднем в 2.22 раза, что способствует более полному разделению многокомпонентной смеси.

На колонке длиной 4.7м получены наиболее симметричные, узкие пики на хроматограмме и более полное разделение, особенно пиков № 5,6,7 (рис.1 и рис.2), хотя надо отметить, что продолжительность анализа увеличилась в 1.82 раза.



**Рис.1.** Хроматограмма разделения градуировочной смеси на хроматографической колонки длиной 3.5м.  
1-н-нонан; 2-н-декан; 3-бензол; 4-толуол; 5-этилбензол; 6-м-ксилол; 7-кумол; 8-օ-ксилол; 9-мезитилен;  
10-псевдокумол; 11-тетраметилбензол.



**Рис.2.** Хроматограмма разделения градуировочной смеси на хроматографической колонки длиной 4.7м.  
1-н-нонан; 2-н-декан; 3-бензол; 4-толуол; 5-этилбензол; 6-м-ксилол; 7-кумол; 8-օ-ксилол; 9-мезитилен;  
10-псевдокумол; 11-тетраметилбензол.

Таким образом, на исследованной колонке можно с успехом анализировать смеси некоторых веществ, входящих в состав бензинов.

### ლიტერატურა - REFERENCES – ЛИТЕРАТУРА

1. *A.A. Гуреев, Ю.М. Жаров, Е.В. Смидович*, Производство высокооктановых бензинов. Москва, Химия, 1981, 211с.
2. *С.Н. Онощенко, В.Е. Емельянов, И.В. Крылов*, Современные и перспективные автомобильные бензины// Химия и технология топлив и масел, 2003, №6, с.3-6.
3. *Ф.А. Чмilenko, Л.П. Сидорова, Н.П. Минаева, А.Н. Сандомирский*, Хроматографический контроль состава синтетического жидкого топлива// Екологія та ноосферологія, 2009, т.20, №1-2, с.59-61.
4. *К.И. Сакодынский, В.В. Бражников, С.А. Волков и др.*, Аналитическая хроматография. Москва, 1993.
5. *С.В. Егазарьянц*, Хроматографические методы анализа нефтепродуктов// Вестник Моск. Ун-та., сер.хим., 2009, т.50, №2, с.75-99.
6. *P. Блундел, С. Гриффитс, Р. Вилсон* // Газовая хроматография. Труды III Международного симпозиума по газовой хроматографии в Эдинбурге. Москва, 1964, с.461.
7. *M.C. Вигдергауз*, Расчёты в газовой хроматографии. Москва, Химия, 1978, 248с.

ზოგიერთი ნავთობაროდულის ანალიზი აიღ-თხვევადი ძრომატობრაფიის მეთოდით

თეიმურაზ კორძახია, ლუბა ეპრიკაშვილი, მარინე ზაუტაშვილი, ნინო ფირცხალავა, მაია ძაგანია

ივანე ჯავახიშვილის თბილისის სახელმწიფო უნივერსიტეტის  
პეტრე მელიქიშვილის ფიზიკური და მრგანული ქმის ინსტიტუტი

### რეზიუმე

ჩატარებულია ბენზინების შემადგენლობაში შემავალი ზოგიერთი ნივთიერების ნარევის ანალიზი. შესწავლილია უძრავი თხევადი ფაზის პოლარობისა და ტემპერატურის გავლენა ქრომატოგრაფიული სვეტის დაყოფის უნარზე.

### ANALYSIS OF SOME OIL PRODUCTS BY GAS-LIQUID CHROMATOGRAPHIC METHOD

Teimuraz Kordzakhia, Luba Eprikashvili, Marine Zautashvili, Nino Pirtskhalava, Maia Dzagania

*Petre Melikishvili Institute of Physical and Organic Chemistry  
of Ivane Javakhishvili Tbilisi State University*

### SUMMARY

Analysis of some compounds contained in the composition of oil has been carried out. Influence of the polarity and temperature of the stationary liquid phase on the resolution of the chromatographic column has been studied.

## ФИЗИЧЕСКАЯ ХИМИЯ

## ПОСЛЕДОВАТЕЛЬНЫЕ ПРИБЛИЖЕНИЯ ПРИ АНАЛИЗЕ СПЕКТРОВ ОПТИЧЕСКОГО ПРОПУСКАНИЯ НАНОСЛОЕВ СЕЛЕНИДА СВИНЦА

А.М.Пашаев, О.И.Даварашвили<sup>\*</sup>, М.И.Енукашвили<sup>\*</sup>, З.Г.Ахвledиани<sup>\*\*</sup>, Л.П.Бычкова<sup>\*</sup>,  
М.А.Дзагания

*Национальная Академия Авиации Азербайджана, Баку, Азербайджан*

*\*Тбилисский Государственный Университет им. Ив. Джавахишвили, Тбилиси, Грузия*

*\*\*Институт физики им. Э. Андроникашвили, Тбилиси, Грузия*

В настоящей работе изучаются спектры оптического пропускания нанослоев селенида свинца с целью исследования влияния толщины слоев на поглощение свободными носителями, напряжения на показатель преломления, непарараболичности зон при высокой концентрации носителей заряда на край поглощения. Впервые проведен анализ спектров оптического пропускания нанослоев селенида свинца при последовательном приближении.

В последнее время большой интерес вызывают изменения физических свойств нанослоев селенида свинца, вызванные несоответствием параметров решетки слоя и подложки  $KCl$ . Этот интерес связан с возможностью создания диэлектрического состояния и повышения удельного сопротивления в этих эпитаксиальных нанослоях, что позволяет эффективно использовать их для создания ИК фотоприемников. Исследование спектров пропускания этих слоев позволяет определять ширину запрещенной зоны в напряженных нанослоях  $PbSe$ . В этой работе путем последовательных приближений анализируется влияние деформации на показатель преломления, толщины слоев на поглощение свободными носителями, а также непарараболичности зон, связанной с высокой концентрацией носителей, на край поглощения. Методом последовательных приближений с использованием расчетных и экспериментальных данных получены значения ширины запрещенной зоны.

Эпитаксиальные слои  $PbSe$  на подложке  $KCl$  получались методом молекулярной эпитаксии с «горячей стенкой». Температура источника  $PbSe$  составляла  $450\text{--}510^0\text{C}$ , подложки  $KCl$  -  $240\text{--}300^0\text{C}$ , скорость роста была в пределах 1-5 нм/с.

Инфракрасные спектры пропускания регистрировались на двухлучевом призменно-дифракционном спектрофотометре «Specord - 75IR» (Цейсс, Йена) в диапазоне волновых чисел  $4000\text{--}2000\text{ cm}^{-1}$  (соответственно интервале длин волн  $2,5\text{--}5\text{ мкм}$ ). Разрешающая сила прибора при  $4000\text{ cm}^{-1}$  равна  $5\text{ см}^{-1}$ , при  $3200\text{ cm}^{-1}$  –  $2\text{ см}^{-1}$ , при  $2500\text{ cm}^{-1}$  –  $1\text{ см}^{-1}$  и меньше. Погрешность в определении волновых чисел для диапазона  $4000\text{--}2000\text{ cm}^{-1}$  составляет  $\pm 2\text{ см}^{-1}$ , для диапазона  $2000\text{--}400\text{ cm}^{-1}$  –  $\pm 1\text{ см}^{-1}$ . Пробные образцы твердых веществ должны иметь постоянные толщины и достаточно большие поперечные размеры, чтобы полностью перекрывать сечение пучка в кюветном отсеке. При малых размерах исследуемого образца в оба конца кристаллодержателя устанавливались маски из черной бумаги, размер которых соответствовал размеру окна, позволяющего проводить измерения небольших образцов.

В работе анализируется спектр пропускания селенида свинца на примере слоя СЛ-374 с толщиной 70 нм. Гетероструктура  $PbSe/KCl$  рассматривается как резонатор Фабри-Перо и можно выразить коэффициент пропускания по мощности  $T$  через коэффициенты отражения  $r_{1,2}$  по формуле:

$$T = \frac{(1-r_1^2)(1-r_2^2)\exp(2\beta_i d)}{[(1-R)^2 + 4R\sin^2\beta d]} \quad (1)$$

Здесь  $r_1$ ,  $r_2$  - коэффициенты отражения по амплитуде: на границе слоя  $PbSe$  с воздухом ( $r_1$ ) и подложкой  $KCl$  ( $r_2$ ); а  $N_{PbSe}$  - показатель преломления слоя  $PbSe$ ,  $N_e=1$  – показатель преломления воздуха,  $N_{KCl}$  - показатель преломления подложки  $KCl$ , и  $r_1$ ,  $r_2$  и  $R$  вычисляются по формулам :

$$r_1 = \frac{N_{PbSe} - N_e}{N_{PbSe} + N_e} \quad r_2 = \frac{N_{PbSe} - N_{KCl}}{N_{PbSe} + N_{KCl}} \quad R = r_1, r_2 \exp(\beta_i d) \quad \beta_i = -\alpha/2 \quad (2)$$

Затем на основе равенства (1) было составлено уравнение, позволяющее выразить коэффициент поглощения  $\alpha$  через  $T$  [1]. Обозначив  $y=\exp(2\beta_i d)=\exp(-ad)$ , решаем квадратное уравнение относительно переменной  $y$ :

$$T(r_1 r_2)^2 y^2 - \left( (1-r_1^2)(1-r_2^2) + 2Tr_1 r_2 - 4Tr_1 r_2 \sin^2 \frac{2\pi n d}{\lambda} \right) y + T = 0 \quad (3)$$

В результате по точкам экспериментально измеренного спектра пропускания (в диапазоне от 248 мэВ до 496 мэВ), получаем зависимость коэффициента поглощения  $\alpha$  от энергии квантов излучения  $h\nu$ . Поскольку  $\alpha^2 \sim (h\nu - E_g)$ , то экстраполяция зависимости  $\alpha^2 = f(h\nu)$  к нулю (спрямление) в принципе позволяет определить значение ширины запрещенной зоны эпитаксиального слоя.

Однако, в связи с высокими концентрациями носителей заряда выращенных слоев ( $\approx 10^{19} \text{ см}^{-3}$ ) велико поглощение на свободных носителях, и край собственного поглощения изменяется, а также проявляется непараболичность зон в зависимости эффективной массы от энергии кванта падающего излучения  $h\nu$  [2]. Для оценки края собственного поглощения в чистых – невырожденных полупроводниках с низкой концентрацией носителей заряда во-первых, определялось поглощение на свободных носителях  $\alpha_{\text{св.н.}}$  [3]:

$$\alpha_{\text{св.н.}} = \frac{e}{\pi c^3 N \mu m^2} n \lambda^2 \quad (4)$$

и разность  $\alpha^* = \alpha - \alpha_{\text{св.н.}}$ , а точнее ее квадрат.  $(7)$

В формуле (4)  $m=0,08m_0$  - эффективная масса носителей заряда, где  $m_0$ -масса электрона;  $\mu$ -подвижность носителей заряда, приблизительно равная  $3,5 \text{ см}^2/\text{В}\cdot\text{с}$  (что также приводит к возрастанию  $\alpha_{\text{св.н.}}$  для слоя толщиной 70 нм);  $n \approx 10^{19} \text{ см}^{-3}$  - концентрация носителей заряда.

Во-вторых, в условиях вырождения электроны заполняют зону проводимости до уровня ниже уровня Ферми, и электронные переходы между краями зон становятся невозможными, что вызывает смещение края собственного поглощения в коротковолновую часть спектра. Поэтому для перехода к определению ширины запрещенной зоны между экстремумами зон  $E_g$  - в чистых образцах - вводится поправочный коэффициент, обратный фактору  $\gamma$ , то есть значение  $\alpha^*$  умножалось на  $1/\gamma$  [4] :

$$\alpha' = \alpha^* \cdot \left( \frac{1}{\gamma} \right) \quad (8)$$

Здесь

$$\gamma = \left\{ 1 + \exp \frac{\left( 1 + m_n/m_p \right) E_F - (h\nu - E_g)}{\left( 1 + m_n/m_p \right) kT} \right\}^{-1}, \quad (9)$$

где  $m_n/m_p = 1,5$  (при высоких концентрациях электронов их эффективная масса возрастает, а эффективная масса дырок принимается равной ее значению у края (экстремума) зоны). Причем, с учетом непараболичности зон  $(\alpha - \alpha_{\text{св.н.}})^2 \sim \left( \frac{2h\nu}{E_g} - 1 \right)$  и для определения края поглощения  $E'_g$  спрямлению

подлежит зависимость  $\frac{(\alpha - \alpha_{\text{св.н.}})^2}{\varphi} = \frac{(\alpha^*)^2}{\varphi} = f(h\nu)$ , где  $\varphi = \frac{2h\nu}{E_g} - 1$ . Ширина запрещенной зоны,

предварительно рассчитанная по деформации, равна  $E_g = 366 \text{ мэВ}$  [5]; положение уровня Ферми при  $T = 300K$ ,  $E_F = 5 \text{ мэВ}$ , экстраполировалось по работе [6]. По спрямлению графической зависимости  $(\alpha')^2 = f(h\nu)$  определялось значение  $E_g$  в первом приближении. Если не принимать во внимание зависимость показателя преломления от ширины запрещенной зоны, изменяющейся в связи с наличием упругих напряжений в эпитаксиальных слоях, то, как следует из рис. 1(а), ширина запрещенной зоны, полученная по этому алгоритму, составляет  $E_g = 443 \text{ мэВ}$ , а край поглощения -  $E'_g = 446 \text{ мэВ}$ .

На следующем этапе учитывалось изменение показателя преломления  $N$  при увеличении ширины запрещенной зоны. По оценкам, в широком диапазоне энергий  $\frac{dN}{dE}$  определяется из соотношения: на 100

мэВ ширины запрещенной зоны приходится  $\Delta N = -0,7$ . Так как в расчет первого приближения было заложено значение  $E_g = 366 \text{ мэВ}$ , то получается, что с учетом упругих напряжений,  $N = N(PbSe) - 0,007(366 - 286) = N(PbSe) - 0,56$ . Зависимость  $(\alpha')^2 = f(h\nu)$ , построенная аналогичным вышеупомянутому образом, для такого изменения показателя преломления представлена на рис. 1(б) и

приводит к значению ширины запрещенной зоны  $E_g = 360$  мэВ - меньшему, чем предварительно рассчитанное - 366 мэВ и значению края поглощения  $E'_g$ , равному 398 мэВ.

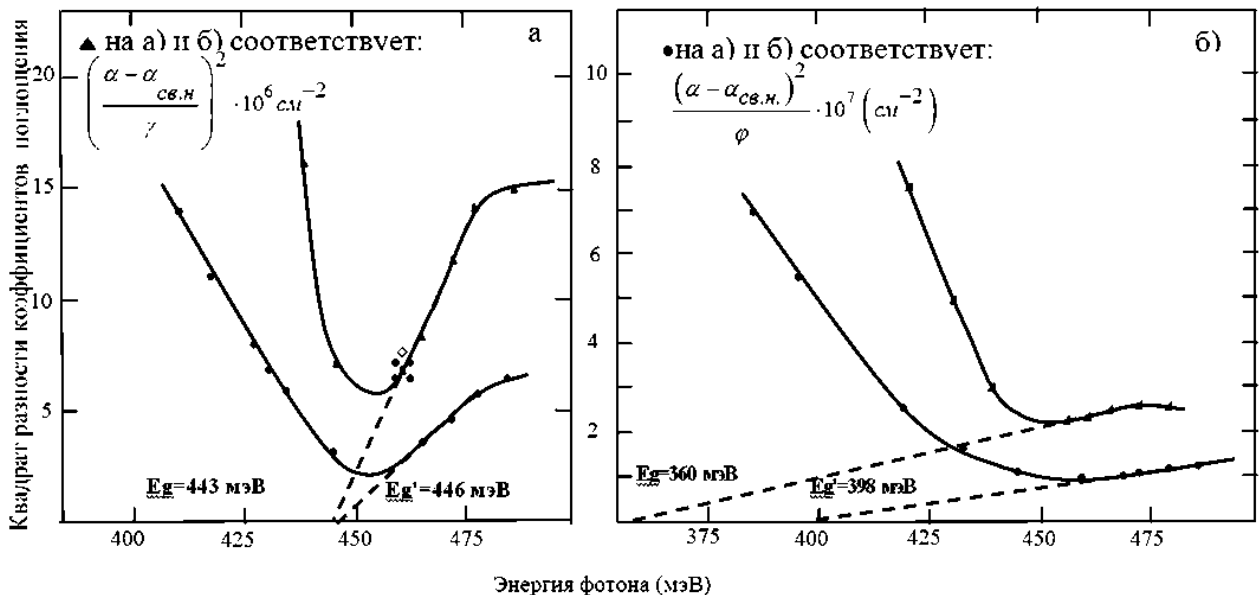


Рис. 1. Зависимость квадратов коэффициентов поглощения от энергии фотонов для определения ширины запрещенной зоны  $E_g$  и края поглощения  $E'_g$  при предварительном значении  $E_g = 366$  мэВ;  $\alpha \sim \lambda^2$ ; а)  $N = N(PbSe)$ ; б)  $N = N(PbSe) - 0,56$ .

Чтобы объяснить это несоответствие, нами было принято во внимание, что при комнатной температуре даже при высоких концентрациях носителей велико рассеяние на акустических фонах, поэтому в дальнейших расчетах в формуле (4) с учетом разных механизмов рассеяния был изменен показатель степени  $p$  в зависимости от длины волны  $\lambda^p$ , а именно,  $p=1,7$ :

$$\alpha_{\text{св.н.}} \sim \lambda^{1,7} / N \quad (4.1)$$

В таблице 1 представлены типичные данные, используемые при обработке спектров пропускания для случая  $N = N(PbSe)$ .

Результаты проделанных расчетов с учетом того, что  $\alpha_{\text{св.н.}} \sim \lambda^{1,7}$ , при остальных неизменных параметрах для обоих случаев: а)  $N = N(PbSe)$  и б)  $N = N(PbSe) - 0,56$  отображены на рис. 2(а, б).

Полученные значения ширины запрещенной зоны  $E_g$  и краев поглощения  $E'_g$  составляют в случае а)  $E_g = 455$  мэВ,  $E'_g = 459$  мэВ; в случае б)  $E_g = 381$  мэВ,  $E'_g = 408$  мэВ.

В связи с тем, что полученное при анализе спектров пропускания значение  $E_g = 381$  мэВ оказалось отличающимся от расчетного  $E_g = 366$  мэВ, то в последующем приближении при расчете  $\gamma$  и  $\Delta N$  подставлялось значение ширины запрещенной зоны, равное 381 мэВ; при этом

$$N = N(PbSe) - 0,007(381 - 286) \approx N(PbSe) - 0,67.$$

Результаты расчетов по новому приближению для обоих вышеуказанных случаев: а)  $N = N(PbSe)$  и б)  $N = N(PbSe) - 0,67$  представлены на рис. 3(а, б). Как следует из этих рисунков, для случая а) получаем  $E_g = 455$  мэВ,  $E'_g = 460$  мэВ; для случая б) -  $E_g = 387$  мэВ,  $E'_g = 409$  мэВ, что вполне согласуется с заложенным в расчет значением ширины запрещенной зоны.

Все исходные данные по показателям преломления и коэффициентам отражения, используемые на различных этапах анализа, собраны в таблице 2.

Таблица 1. Типичные данные по обработке спектров пропускания при  $N = N(PbSe)$ ;  $E_g = 366$  мэВ;  
 $\alpha_{\text{св.н.}} \sim \lambda^{1,7}$ .

№	$\lambda$ , мкм	$N(\text{PbSe})$	ТЭКС	$\alpha$ , $\text{см}^{-1}$	$\alpha_{\text{св. нос.}},$ $\text{см}^{-1}$	$(\alpha^*)^2/\varphi$	$1/\gamma$	$(\dot{\alpha})^2 =$ $= (\alpha^*(1/\gamma))^2$	$h\nu$ , мэВ
1	5,000	4,150	0,267	109295	109294	3,81E+00	8,504	9,80E+01	248
2	4,762	4,225	0,264	107465	98809	1,77E+08	7,196	3,88E+09	260
3	4,545	4,415	0,262	101463	87367	4,05E+08	6,116	7,43E+09	273
4	4,348	4,600	0,260	94980	77750	5,32E+08	5,225	8,10E+09	285
5	4,167	4,720	0,257	90526	70485	6,41E+08	4,488	8,09E+09	298
6	4,000	4,800	0,253	87578	64663	7,57E+08	3,880	7,91E+09	310
7	3,700	4,950	0,246	80570	54920	7,91E+08	2,954	5,74E+09	335
8	3,571	5,020	0,241	77708	50994	7,95E+08	2,622	4,90E+09	347
9	3,397	5,100	0,239	71024	46105	6,24E+08	2,232	3,09E+09	365
10	3,226	5,200	0,237	61987	41407	3,85E+08	1,913	1,55E+09	384
11	3,125	5,250	0,234	57538	38858	2,99E+08	1,754	1,07E+09	397
12	2,941	5,300	0,239	43263	34722	5,60E+07	1,514	1,67E+08	422
13	2,857	5,320	0,238	38351	32928	2,14E+07	1,424	5,97E+07	434
14	2,778	5,320	0,240	32512	31388	8,77E+05	1,350	2,30E+06	446
15	2,703	5,360	0,232	31013	29736	1,08E+06	1,289	2,71E+06	459
16	2,667	5,368	0,228	31401	29022	3,67E+06	1,263	9,02E+06	465
17	2,632	5,376	0,224	31895	28334	8,05E+06	1,239	1,95E+07	471
18	2,597	5,384	0,220	32505	27670	1,45E+07	1,217	3,46E+07	477
19	2,564	5,392	0,217	32317	27029	1,70E+07	1,197	4,01E+07	484
20	2,500	5,400	0,212	31927	25852	2,16E+07	1,163	4,99E+07	496

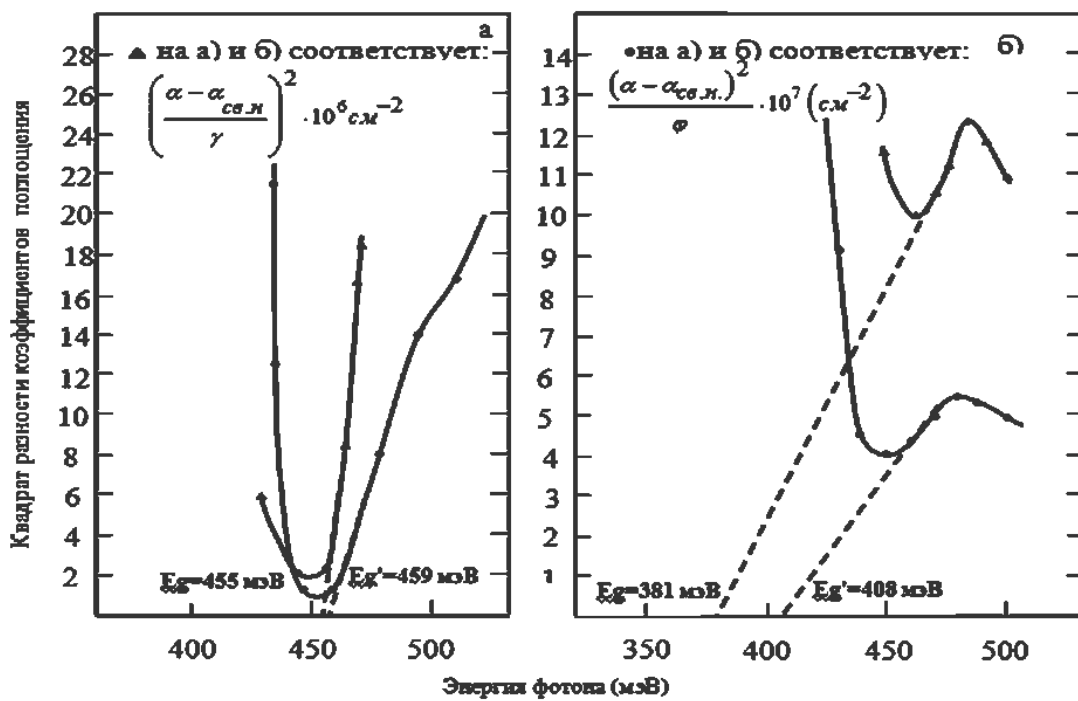


Рис. 2. Зависимость квадратов коэффициентов поглощения от энергии фотонов для определения ширины запрещенной зоны  $E_g$  и края поглощения  $E'_g$  при предварительном значении  $E_g = 366$  мэВ;  $\alpha \sim \lambda^{1,7}$ ; а)  $N = N(\text{PbSe})$ ; б)  $N = N(\text{PbSe}) - 0,56$ .

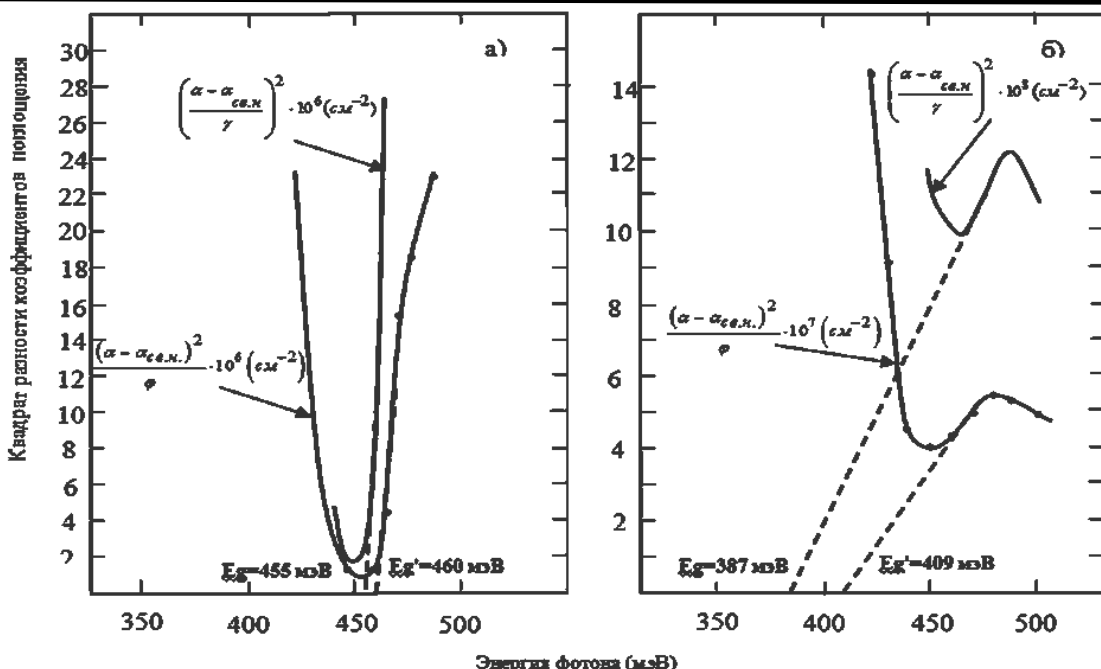


Рис. 3. Зависимость квадратов коэффициентов поглощения от энергии фотонов для определения ширины запрещенной зоны  $E_g$  и края поглощения  $E'_g$  при предварительном значении  $E_g = 381$  мэВ;  
 $\alpha \sim \lambda^{1,7}$ ; а)  $N = N(PbSe)$ ; б)  $N = N(PbSe)-0,67$ .

Таблица 2. Спектральные зависимости данных по показателям преломления  $N$  и коэффициентам отражения по амплитуде  $r_1$  и  $r_2$ , используемых в расчетах.

$h\nu$	N			$r_1$			$r_2$		
	$N(PbSe)$	$N(PbSe)-0,56$	$N(PbSe)-0,67$	$N(PbSe)$	$N(PbSe)-0,56$	$N(PbSe)-0,67$	$N(PbSe)$	$N(PbSe)-0,56$	$N(PbSe)-0,67$
248	4,150	3,590	3,480	0,612	0,564	0,554	0,477	0,419	0,406
260	4,225	3,665	3,555	0,617	0,571	0,561	0,484	0,427	0,415
273	4,415	3,855	3,745	0,631	0,588	0,579	0,500	0,448	0,436
285	4,600	4,040	3,930	0,643	0,603	0,594	0,515	0,466	0,455
298	4,720	4,160	4,050	0,650	0,612	0,604	0,525	0,477	0,467
310	4,800	4,240	4,130	0,655	0,618	0,610	0,531	0,485	0,475
335	4,950	4,390	4,280	0,664	0,629	0,621	0,541	0,498	0,488
347	5,020	4,460	4,350	0,668	0,634	0,626	0,546	0,504	0,494
365	5,100	4,540	4,430	0,672	0,639	0,632	0,552	0,510	0,501
384	5,200	4,640	4,530	0,677	0,645	0,638	0,558	0,518	0,509
397	5,250	4,690	4,580	0,680	0,649	0,642	0,562	0,522	0,513
422	5,300	4,740	4,630	0,683	0,652	0,645	0,565	0,526	0,517
434	5,320	4,760	4,650	0,684	0,653	0,646	0,566	0,527	0,519
446	5,320	4,760	4,650	0,684	0,653	0,646	0,566	0,527	0,518
459	5,360	4,800	4,690	0,686	0,655	0,649	0,568	0,530	0,522
465	5,368	4,808	4,698	0,686	0,656	0,649	0,569	0,531	0,522
471	5,376	4,816	4,706	0,686	0,656	0,649	0,569	0,531	0,523
477	5,384	4,824	4,714	0,687	0,657	0,650	0,570	0,532	0,523
484	5,392	4,832	4,722	0,687	0,657	0,650	0,570	0,532	0,524
496	5,400	4,840	4,730	0,688	0,658	0,651	0,571	0,533	0,525

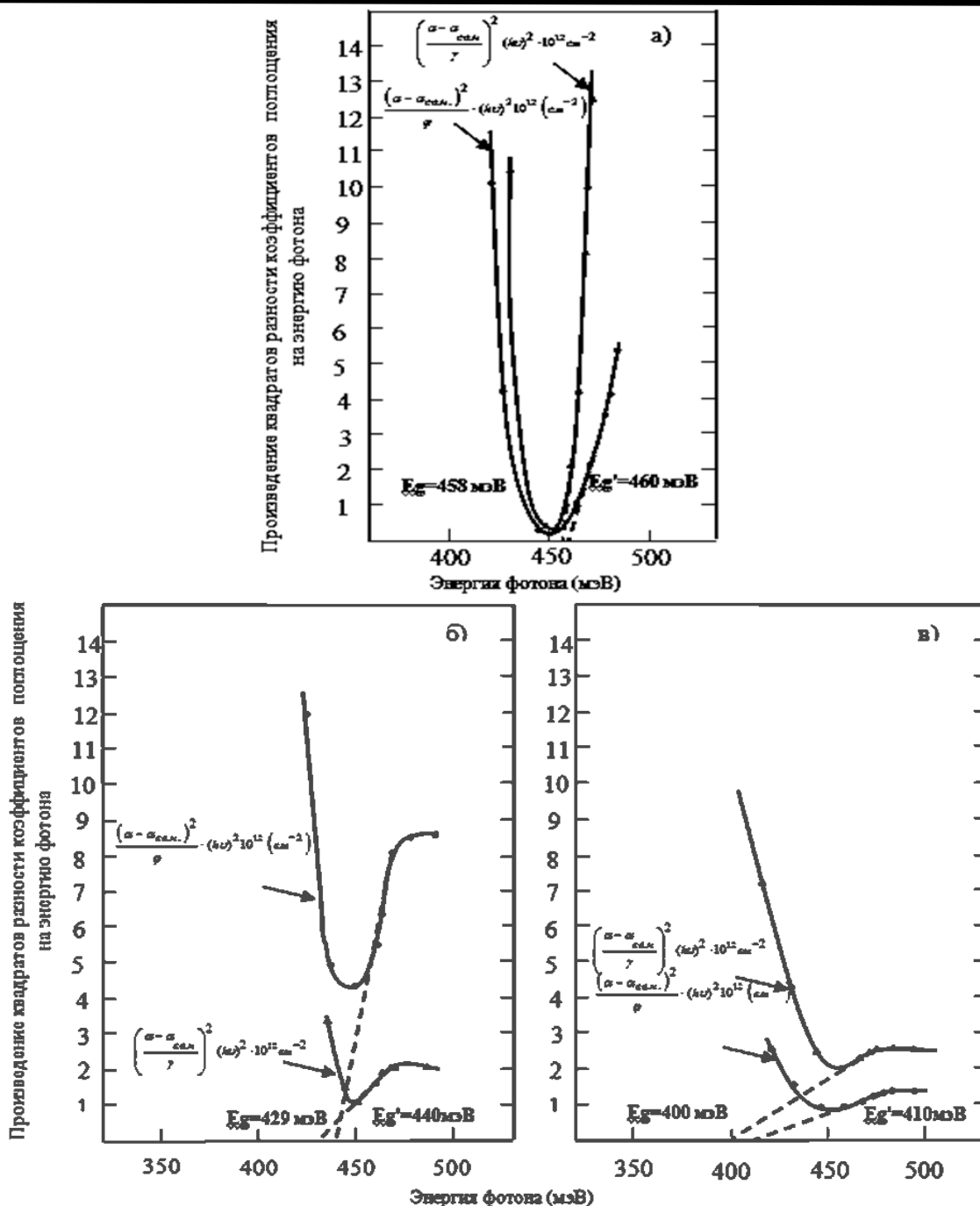


Рис. 4. Зависимость произведения квадратов разности коэффициентов поглощения на энергию фотонов для определения ширины запрещенной зоны  $E_g$  и края поглощения  $E_g'$  при спрямлении вида

$$(\alpha h\nu)^2 = f(h\nu), \text{ предварительное значение } E_g = 366 \text{ мэВ; } \alpha \sim \lambda^{1,7};$$

а)  $N = N(PbSe)$ ; б)  $N = N(PbSe) - 0,4$ ; в)  $N = N(PbSe) - 0,56$ .

Предпринята также попытка анализа спектров пропускания путем спрямления  $(ahv)^2 = f(hv)$ . Результаты такого спрямления при показателе преломления  $N = N(PbSe)$  (рис.4а) достаточно близки к данным, полученным по спрямлению  $(\alpha)^2 = f(hv)$  (рис.2а). По мере возрастания деформации, когда  $\Delta N$  меняется, например, от 0,4 до 0,56, наблюдается изменение в ширине запрещенной зоны по сравнению со спрямлением  $(\alpha)^2 = f(hv)$ . В частности, в первом приближении для  $\Delta N = 0,56$  ширина запрещенной зоны увеличивается на 20 мэВ (рис.4б,в).

Таким образом, изучение ширины запрещенной зоны селенида свинца  $E_g$  проведено по спектрам оптического пропускания путем последовательного приближения с использованием расчетных данных по деформациям и экспериментальных результатов по  $E_g$  при учете вырождения. При этом в случае

классического выражения Друде для затухания электронов – поглощение на свободных носителях (показатель  $p$  в степени  $\lambda^p$  равен 2) часто приводит к отрицательным значениям  $\alpha - \alpha_{\text{св.н.}}$ . Поэтому пришлось перейти на значение  $p=1,7$ , так как, в целом, изменение  $p$  может являться наложением нескольких механизмов рассеяния. Первое приближение, когда подставляется расчетное значение  $E_g$ , дает путем спрямления его значение – 381 мэВ. При втором приближении в  $\gamma$  подставляется именно это значение  $E_g$  и в результате получается значение ширины запрещенной зоны, равное 387 мэВ. Наряду с изменением  $E_g$  в анализе учитывается, что с утоньшением слоев возрастает вклад деформации и в изменение показателя преломления – он заметно понижается и зависимость  $(\alpha)^2 = f(hv)$  становится все более пологой при возрастании  $hv$ . Соответственно, рост  $E_g$  с утоньшением слоев происходит не очень быстро.

Возможно, в тонких слоях из-за возникновения неоднородных деформаций показатель преломления изменяется с деформацией слабее и, если вместо 0,56 (первое приближение) и 0,67 (второе приближение) показатель преломления уменьшается лишь на 0,4 (при соответствующих деформациях выявляется их анизотропия) то  $E_g$  может достигать 430 мэВ. Но это требует подтверждения дальнейшими экспериментами.

#### ლიტერატურა - REFERENCES – ЛИТЕРАТУРА

1. А.М.Пашаев, О.И.Даварашвили, М.И.Енукашвили, Л.П.Бычкова, В.П.Зломанов. «Анализ спектров оптического пропускания эпитаксиальных слоев селенида свинца.» Ученые записки НАА Азербайджана , 2011, 13, 3, 3-12.
2. Ю.И.Ревич, Б.А.Ефимова, И.А.Смирнов. «Методы исследования полупроводников в применении к халькогенидам свинца PbTe, PbSe, PbS. Изд. «Наука», 1968, 383с.
3. Л.П.Бычкова, О.И.Даварашвили, П.Г.Елисеев, М.И.Сагинури, Р.И.Чиковани, А.П.Шотов. Анализ факторов, влияющих на пороговый генерации в инжекционном гетеролазере на основе  $Pb_{1-x}Sn_xSe$ . Квантовая электроника, 1982, 9, 11, 2140-2150.
4. Ю.В.Мальцев, Е.Д.Ненсберг, А.В.Петров, С.А.Семилетов, Ю.И.Уханов. Электронные и оптические исследования PbS. ФТТ, 1966, 8, 7, 2154-2162.
5. A.M.Pashaev, O.I.Davarashvili, Z.G.Akhvlediani, M.I.Enukashvili, L.P.Bychkova, M.A.Dzagania. Study on the Forbidden Gap Width of Strained Epitaxial Lead Selenide Layers by Optical Transmission. J. of Materials Science and Engineering , 2012, B 2 (2), 142-150.
6. Кучеренко И.В., Шотов А.П. Определение параметров зонной структуры в кристаллах  $Pb_{1-x}Sn_xSe$  из измерений термоэдс в сильных магнитных полях. ФТП, 1978, 12, 9, 1807-1811.

#### შევის საქართველოს ნაცოვენების ოპტიკური ტრანსმისიის სამსტრების თანამდევრული გიანელობებითი ანალიზი

არიფ ფაშაევი, ომარ დავარაშვილი, მეგი ენუქაშვილი, ზაირა აზვლედიანი, ლარისა ბიჩქვა, მაია ძაგანია  
აზერბაიჯანის აკადემიის ნაცოვენალური აკადემია  
ივაჟავახიშვილის სახ. თბილისის სახელმწიფო უნივერსიტეტი  
ე.ანდრონიქაშვილის სახ. ფიზიკის მნიშვნელოვანი  
რეზიუმე

ტყვია სელენიდის ნანოფენების ოპტიკური ტრანსმისიის სპექტრები გამოკვლეულია ფენების სისქის გავლენის დასაფენად დენის მატარებლების შთანთქმაზე, აგრეთვე დაძაბულობის – გარდატების კოეფიციენტზე და ზონების პარაბოლურობასთან გადახრის –შთანთქმის ხასიათზე დენის გამტართა მაღალი კონცენტრაციისას. პირველად არის ჩატარებული ოპტიკური ტრანსმისიის სპექტრების ანალიზი თანმიმდევრული მიახლოებებით.

#### SEQUENTIAL APPROXIMATIONS IN THE ANALYSIS OF THE SPECTRA OF OPTICAL TRANSMISSION OF LEAD SELENIDE NANOLAYERS

A.M.Pashaev, O.I.Davarashvili\*, M.I.Enukashvili\*, Z.G.Akhvlediani\*\*\*, L.P.Bychkova\*, M.A.Dzagania\*

National Aviation Academy of Azerbaijan, Baku, Azerbaijan

\*Iv. Javakhishvili Tbilisi State University Tbilisi, Georgia

\*\*E. Andronikashvili Institute of Physics, Tbilisi, Georgia

#### SUMMARY

In this paper we study the spectra of the optical transmission of lead selenide nanolayers with the aim for their research on the dependence on the absorption on the free carriers from layer thickness, of refractive index - from strain, the absorption edge – from nonparabolicity of bands at high concentration of the current carriers. First analysis of the spectra of optical transmission of lead selenide nanolayers at sequential approach was carried out.

## ФИЗИЧЕСКАЯ ХИМИЯ

### К КВАНТОВОЙ ТЕОРИИ РАБОТЫ НАНОСЕНСОРА

Т.А.Марсагишили, М.Н.Мачавариани, Г.Дж.Татишвили

*Тбилисский государственный университет им. И.Джавахишвили,  
Институт неорганической химии и электрохимии им. Р.Агладзе*

Представлена квантовая теория работы наносенсора, излучающего свет в процессе детектирования искомых частиц. Рабочий электрод представляет собой полупроводниковую подложку с нанесенными на ней слоями Ленгмюра- Блоджета. Молекулы люминофора расположены в каждом слое Ленгмюра-Блоджета и в процессе адсорбции искомых частиц на молекулы слоя Ленгмюра- Блоджета излучают фотоны.

Описание слоев Ленгмюра-Блоджета и электролита проведено с использованием температурных функций Грина операторов поляризации. Это позволяет учитывать эффекты частотной и пространственной дисперсии как слоев Ленгмюра- Блоджета, так и раствора электролита.

Получены аналитические выражения для коэффициента экстинкции излучения света при адсорбции искомых частиц на рабочий электрод сенсора. Выражение для коэффициента экстинкции в общем виде включает ряд макроскопических параметров, характеризующих систему. Детальные расчеты этих параметров может быть проведен для конкретных моделей, в рамках которых можно учесть зависимость от потенциала электрода, характер затухания электронной плотности электрода вблизи границы раздела фаз, реорганизации раствора и колебательной подсистемы.

#### 1. Введение.

В химии, медицине и экологии все большее применение находят наносенсоры. Наносенсоры дают ученым возможность избирательно идентифицировать очень низкие концентрации токсичных соединений в промышленной продукции, химических материалах, воздухе, воде, почве, биологических системах (например, в бактериях, клетках и вирусах) и т. д. Комбинируя специфические биологические маркеры (например красители) с методами оптического детектирования и высокопроизводительными компьютерными системами, можно создавать наносенсоры для поиска и дифференциации сложных соединений.

Большинство наносенсоров работает по принципу измерения взаимодействия изучаемого образца с неким реагентом с образованием нового продукта реакции. Эта реакция улавливается сенсором, который преобразует ее в электрический или оптический сигнал. Данный сигнал отображается или записывается с помощью компьютера.

Характеристики сенсора: малое время отклика; биологическая совместимость; сверхмалые (nano) размеры; сверхвысокая чувствительность; сверхвысокая точность; прочность [1-7]. В результате получаем низкую стоимость для большого количества разных тестов на одном исследуемом образце.

Достаточно привести лишь несколько примеров, насколько интенсивно развивается сегодня эта область.

Исследователи технологического центра Cidetec-IK4 в Испании [1] разработали электрохимические датчики, которые, помимо других функций, способны определять возможные мутации в ДНК с большей скоростью, чем это было возможно до сих пор. Интересно, что исследования ДНК в рамках проекта проводились для установления эффективности и чувствительности новых датчиков. Можно ожидать, что уже в ближайшие несколько лет подобные наносенсоры можно будет применять для определения других типов молекул.

В 2004 г. в лаборатории Либера [2] был создан сенсор на основе нанопроводов, позволяющий детектировать даже единичную вирусную частицу. Связывание вируса со специфическим антителом, нанесенным на поверхность нанопровода, вызывает значимое изменение электрической проводимости. Исследовательская группа под руководством Ч. Либера спроектировала наносенсор, анализирующий способность различных молекул связываться с определенными белками, что является основной задачей скрининга потенциальных лекарств. Ученые исследовали ингибиторы белков, регулирующих клеточный рост, в частности иматиниб (с 2001 г. применяется для терапии хронического миелолейкоза). Исследования, изучающие биохимические процессы такого рода,

довольно трудоёмки, использование в этих целях наносенсоров значительно ускоряет и повышает чувствительность скрининга потенциальных лекарственных препаратов.

Работа наносенсора предполагает в процессе детектирования существенное перераспределение электронной плотности в системе, что и является причиной роста электропроводимости или фотоизлучения. Перераспределение электронной плотности в системе часто бывает связано с процессом адсорбции искомой частицы на поверхность электрода наносенсора. Естественно, что процессы перераспределения электронной плотности и излучения одиночных фотонов в наносенсорах являются квантовыми и требуют соответствующего рассмотрения.

Ниже рассмотрим квантовую теоретическую модель процесса адсорбции частицы на поверхность электрода наносенсора, в результате чего происходит излучение фотона.

## 2. Гамильтониан системы.

Для корректного написания гамильтониана системы необходимо конкретизировать устройство наносенсора. Мы предполагаем, что рабочий электрод наносенсора представляет собой подложку из полупроводника, на который нанесено несколько слоев Ленгмюр-Блоджета с фотолюминисцентными молекулами. Молекулы слоев Ленгмюр-Блоджета расположены перпендикулярно поверхности электрода, они адсорбированы на поверхности полупроводника (или на уже адсорбированном слое Ленгмюр-Блоджета) полярными «ножками», а к верхнему (отдаленному от поверхности полупроводника) концу молекул из исследуемой жидкости могут подходить различные частицы. Молекулы слоев Ленгмюр-Блоджета подбираются таким образом, чтобы на них могли адсорбироваться исследуемые (искомые) частицы. В процессе адсорбции происходит существенное перераспределение электронной плотности системы, в результате чего и проходит излучение фотона.

Для упрощения математических выводов, рассмотрим сначала примесную многоатомную частицу в полярной среде.

Существование электростатического взаимодействия между примесью и средой вызывает поляризацию среды. В свою очередь поляризованный среда воздействует на примесную частицу и поляризует ее. Гамильтониан системы (среда плюс примесная частица) может быть представлен в виде [8, 9]:

$$H = H_m + H_p - \int \langle \vec{P}(\vec{r}) \rangle_0 \vec{E}(\vec{r}, Q_0) d\vec{r} - \int \delta \vec{P}(\vec{r}) \vec{E}(\vec{r}, Q_0) d\vec{r}, \quad (1)$$

где  $H_m^s$  - Гамильтониан среды;  $H_p$  - Гамильтониан частицы;  $\langle P(r) \rangle_0$  - среднее значение поляризации среды, вызванное электрическим полем примесной частицы с напряженностью поля  $E(r, Q_0)$ , ( $Q_0$  – набор внутримолекулярных координат примеси). Переходя от Гамильтониана неполяризованной среды  $H_m^s$  к Гамильтониану поляризованной среды  $H_m$ , имеем

$$H = H_m + H_p - \frac{1}{2} \int \left\langle \vec{P}(\vec{r}) \right\rangle_0 \vec{E}(\vec{r}, Q_0) d\vec{r} - \int \delta \vec{P}(\vec{r}) \vec{E}(\vec{r}, Q_0) d\vec{r}, \quad (2)$$

Где  $\delta\vec{P}(\vec{r})$ - оператор флуктуации поляризации среды (отклонение поляризации от среднего значения поляризации).

Согласно флукутационно-диссипационной теореме:

$$\langle P_i(\vec{r}, t) \rangle_0 = - \int d\vec{r}' \int dt' g_{P_i P_k}^R(\vec{r}, \vec{r}'; t - t') E_k(\vec{r}', t'), \quad (3)$$

где  $g_{pp}^R$  это запаздывающая функция Грина операторов поляризации среды.

В общем виде частица может быть заряженной. Для напряженности электрического поля примесных частиц в дипольном приближении можно использовать выражение:

$$E_\alpha(\vec{r}) = -\int d\vec{r}' g_{E_\alpha E_\beta}(\vec{r}, \vec{r}') \sum_{i=1}^N \mu_\beta^i(\vec{R}_i) \delta(\vec{r}' - \vec{R}_i) + g_{E_\alpha \varphi}(\vec{r}', \vec{R}) \rho(\vec{R}). \quad (4)$$

Здесь  $g_{E_\alpha E_\beta}$  and  $g_{E_\varphi}$ ; это функции Грина операторов напряженности электрического поля и скалярного потенциала среды, они могут быть выражены через функцию Грина  $g_{\varphi\varphi}$ , которая может

быть легко определена из решения соответствующей электростатической задачи.  $\mu^i$  - дипольный момент  $i$ -той связи частицы,  $R_i$  - радиус-вектор  $i$ -того диполя частицы,  $\rho$ ,  $R$  – заряд частицы и радиус-вектор точки локализации заряда.

Для поляризуемой частицы значение  $\mu^i$  отличается от соответствующего значения  $\mu_0^i$ , для частицы в вакууме:

$$\mu_\alpha^i = \mu_{0\alpha}^i + \sum_{j=1}^N \alpha_{\alpha\beta}^i \left\{ g_{E_\beta E_\gamma} \mu_\gamma^i + g_{E_\alpha \rho} \rho \right\} \quad (5)$$

где  $\alpha_{\alpha\beta}^i$  - тензор поляризуемости  $i$ -той связи частицы. В качестве функций Грина можно использовать соответствующие решения электростатических задач модельных функций, которые дают возможность принять во внимание эффекты пространственной дисперсии среды. Далее, подставляя найденные значения  $\mu_\alpha^i$  в соотношение (4) мы определяем таким образом напряженность электрического поля системы  $E(r, R_i)$  и из (3) мы находим поляризацию среды  $\langle P(\vec{r}) \rangle_0$ .

Подставляя (3) в (2) мы перепишем Гамильтониан системы следующим образом:

$$H = H_m + H_p + \frac{1}{2} \int \vec{E}(\vec{r}, Q) g_{PP}^R(\vec{r}, \vec{r}') \vec{E}(\vec{r}, Q) d\vec{r} d\vec{r}' - \int \delta P(\vec{r}) \vec{E}(\vec{r}, Q) d\vec{r}.$$

В этой формуле мы разлагаем напряженность электрического поля в ряд по  $Q^0$  до линейных членов,

$$H = \delta F_0 + H_p + H_m - \int d\vec{r} \delta \vec{P}(\vec{r}) \vec{E}(\vec{r}, Q). \quad (6)$$

Здесь  $H_p$  – Гамильтониан поляризованной сольватированной частицы,

$$H^p = H^{p0} + \sum_n d_n Q_n^0 + \sum_{nn'} h_{nn'} Q_n^0 Q_{n'}^0 \quad (7)$$

где

$$h_{nn'} = \frac{1}{2} \frac{\partial E^0}{\partial Q_n^0} g_{PP}^R \frac{\partial E^0}{\partial Q_{n'}^0} \Big|_{Q_n^0 = Q_{n'}^0},$$

$$d_n = \frac{1}{2} \left( E^0 g_{PP}^R \frac{\partial E^0}{\partial Q_n^0} + \frac{\partial E^0}{\partial Q_n^0} g_{PP}^R E^0 \right) \Big|_{Q_n^0 = Q_{n'}^0}$$

В (6)  $\delta F_0$  - свободная энергия сольватированной частицы, имеющая следующий вид:

$$\delta F_0 = \frac{1}{2} \int dt dt' \int d\vec{r} d\vec{r}' E_\alpha(\vec{r}, Q_0^0) g_{P_\alpha P_\beta}^R(\vec{r}, \vec{r}', t - t') E_\beta(\vec{r}', Q_0^0). \quad (8)$$

С помощью некоторого преобразования координат (сдвига и поворота) гамильтониан  $H_p$  может быть приведен к квадратичной форме с частотами  $\omega_s$  и координатами  $Q_s$ .

$$H_p = \frac{1}{2} \sum_s \omega_s \left[ (Q_s - Q_{so})^2 - \frac{\partial^2}{\partial Q_s^2} \right] + J, \quad (9)$$

где  $Q_{so}$  – равновесное значение координаты  $Q_s$ ,  $J$  – минимальная энергия частицы.

Очевидно, что воздействие со стороны сольватированной поляризованной частицы на среду приводит к дополнительной поляризации среды. Поэтому необходимо использовать электростатические характеристики поляризованной частицы (7) и для напряженности поля ввести  $E(Q)$  вместо  $E(Q_0)$ .

В формуле (6) мы разлагаем напряженность электрического поля  $E$  в ряд по  $Q - Q_0$  до линейного члена. В результате получим:

$$H = \delta F_0 + H_m + H_p + H_{\text{int}}^{(1)} + H_{\text{int}}^{(2)}, \quad (10)$$

где

$$H_{\text{int}}^{(1)} = - \int \delta \vec{P} \vec{E}(\vec{r}, Q_0) d\vec{r} \quad (11)$$

взаимодействие флюктуаций поляризации среды со статическим полем примеси, а

$$H_{\text{int}}^{(2)} = - \sum_s \int d\vec{r} \delta \vec{P}(\vec{r}) \delta Q_s \vec{V}_s(\vec{r}); \quad \vec{V}_s(\vec{r}) = \frac{\partial \vec{E}(\vec{r}, Q)}{\partial Q_s} \Big|_{Q_s = Q_{s0}}, \quad (12)$$

взаимодействие флюктуаций поляризации среды с внутримолекулярными колебаниями примеси.

$$\delta F_0 = \frac{1}{2} \int d\vec{r} d\vec{r}' E_\alpha^0(\vec{r}) g_{P_\alpha P_\beta}^R(\vec{r}, \vec{r}'; \omega = 0) E_\beta^0(\vec{r}'). \quad (13)$$

Для оценок величины этой энергии иногда достаточно применение упрощенной модели. Для модели гомогенной локальной изотропной среды, для которой

$$g_{P_\alpha P_\beta}(\vec{r}, \vec{r}'; \omega = 0) = -\frac{1}{4\pi} \left(1 - \frac{1}{\epsilon}\right) \delta_{\alpha\beta} \delta(\vec{r} - \vec{r}'). \quad (14)$$

свободная энергия  $\delta F_0$  принимает форму:

$$\delta F_0 = -\frac{C}{8\pi} \left(1 - \frac{1}{\epsilon}\right) \int d\vec{r} (\vec{E}^0(\vec{r}))^2 \quad (15)$$

Здесь  $\epsilon$  – статическое значение диэлектрической проницаемости. Для сферически симметричных частиц с зарядом  $z$ , формула (15) приводит к энергии сольватации Борна.

Если частица не заряжена, но имеет равновесный дипольный момент, то для модели сферически симметричных частиц получим:

$$\delta F_0 = -\left(1 - \frac{1}{\epsilon}\right) \frac{\mu^2}{3r_0^3} \quad (16)$$

где  $r_0$  – радиус частицы.

При адсорбции частицы на слое Л-Б происходит изменение колебательной подсистемы, меняется как число степеней свободы, так и частоты внутримолекулярных колебаний частицы.

ФГ операторов нормальных координат внутримолекулярных колебаний примесной частицы может быть определена из системы уравнений

$$G_{Q_s Q_{s'}}(\omega_n) = G_{Q_s Q_{s'}}^0(\omega_n) + G_{Q_s Q_s}^0(\omega_n) U_{ss''}(\omega_n) G_{Q_{s'} Q_{s'}}^0(\omega_n) \quad (17)$$

где  $G_{Q_s Q_{s'}}^0(\omega_n)$  – ФГ сольватированной примесной частицы при отсутствии взаимодействия со средой,  $U_{ss''}(\omega_n)$  – перенормированное взаимодействие внутримолекулярных колебаний частицы через среду:

$$U_{ss'}(\omega_n) = \int d\vec{r} d\vec{r}' V_{is}(\vec{r}) g_{pp}^R(\vec{r}, \vec{r}'; \omega_n) V_{ks}(\vec{r}'), \quad (18)$$

Очевидно, что частотный спектр примеси во многом будет определяться частотным спектром перенормированного взаимодействия, а значит – частотным спектром ФГ операторов флюктуаций поляризации среды  $g_{pp}^R$ .

Для конденсированной среды будем применять приближение факторизации, при котором  $\Phi G g_{pp}^{R0}(\vec{r}, \vec{r}'; \omega)$  можно представить в виде

$$g_{pp}^R(\vec{r}, \vec{r}'; \omega) = f(\omega) g_{ik}^R(\vec{r}, \vec{r}') \quad (19)$$

В этом случае перенормированное взаимодействие примет вид:

$$U_{ss'}(\omega_n) = f(\omega_n) A_{ss'} \quad (20)$$

Здесь параметр  $A_{ss'}$  равен:

$$A_{ss'} = \int d\vec{r} d\vec{r}' V_{is}(\vec{r}) g_{ik}(\vec{r}, \vec{r}') V_{ks'}(\vec{r}')$$

и, таким образом, зависит от формы частицы, от производных дипольного момента частицы по нормальным координатам внутримолекулярных колебаний примеси, от эффектов пространственной дисперсии конденсированной среды через зависимость функции Грина операторов флуктуации поляризации среды от пространственных координат. Эти зависимости могут быть представлены через различные модельные функции (« затухающие», « затухающие с осцилляцией» и т.д.).

Для расчетов частотного спектра частицы в среде можно использовать полюсную аппроксимацию [10] (которая содержит Дебаевскую и резонансную функции) для функции Грина операторов флуктуаций поляризации среды. В этом случае,

$$U(\omega_n) = \sum_{i=1}^m \frac{u_i}{|\omega_i - \omega_n|}, \quad \omega_n = 2\pi n k T, n = 0, \pm 1, \pm 2, \pm 3, \dots \quad (21)$$

где  $u_i$  – экспериментальные константы, а  $m$  – количество полюсов функции Грина.

Уравнение для определения частотного спектра частицы будет иметь вид

$$1 - \sum_{i=1}^m \frac{u_i \omega_s}{(\omega_n^2 + \omega_s^2)(\omega_i - \omega_n)} = \frac{\left[ \left( \frac{\omega_s}{2\pi k T} \right)^2 + n^2 \right] \prod_{i=1}^m \left( \frac{\omega_i}{2\pi k T} - n \right) - \sum_{i=1}^m \frac{u_i \omega_s}{(2\pi k T)^2} \prod_{i=1}^m \left( \frac{\omega_i}{2\pi k T} - n \right)}{\left[ \left( \frac{\omega_s}{2\pi k T} \right)^2 + n^2 \right] \prod_{i=1}^m \left( \frac{u_i}{2\pi k T} - n \right)}. \quad (22)$$

Предлагаемая модель позволяет описывать большинство спектров поглощения среды. Следует также учесть, что при выборе параметров полюсов следует оставлять из полного спектра поглощения в основном те из них, чья частота достаточно близка к какой-либо частоте внутримолекулярного колебания.

Система уравнений (17) позволяет находить решение для функций Грина операторов нормальных координат внутримолекулярных колебаний многоатомных частиц, находящихся в среде, и, соответственно, рассчитывать все необходимые параметры для корректного квантового описания системы.

### 3. Расчет кинетических параметров

Гамильтониан начального состояния для системы (электрод наносенсора, электролит с искомыми частицами и электростатическое поле между электродами) запишем в виде:

$$H^i = H_{sc}^i + H_m^i + H_p^i + H_{p,m}^{\text{int}} + H_{sc,m}^{\text{int}} + H_{sc,p}^{\text{int}} \quad (23)$$

где  $H_{sc}^i$  – гамильтониан полупроводниковой части электрода в начальном состоянии;  $H_p^i$  – гамильтониан адсорбирующейся частицы в начальном состоянии в растворе электролита;  $H_m^i$  – гамильтониан пленки Л-Б (включая молекулы люминофора) и электролита;  $H_{sc,m}^{\text{int}}$ ,  $H_{sc,p}^{\text{int}}$  – взаимодействие полупроводниковой части электрода с пленкой Л-Б;  $H_{p,m}^{\text{int}}$  – взаимодействие частицы с пленкой Л-Б;  $H_{sc,p}^{\text{int}}$  – гамильтониан взаимодействия частицы с полупроводниковой частью электрода. Частица предполагается поляризованный и «сольватированная».

Аналогично, гамильтониан в конечном состоянии имеет вид (частица находится в адсорбированном, электронно-возбужденном состоянии):

$$H^f = H_{sc}^f + H_m^f + H_p^{f*} + H_{p,m}^{\text{int}} + H_{sc,m}^{\text{int}} + H_{sc,p}^{\text{int}} + e\eta, \quad (24)$$

где  $\eta$  – перенапряжение в точке нахождения частицы.

Вероятность процесса перераспределения плотности электрона с излучением фотона имеет вид

$$dW_a = \sum_{n(\bar{k}\sigma)} \sum_{n'(\bar{k}'\sigma')} e^{\beta(F_i - F_m)} \phi_i(N_{\bar{k}\sigma}) 2\pi \left| \left\langle (N_{\bar{k}'\sigma}) n' | V_{fi} | (N_{\bar{k}\sigma}), n \right\rangle \right|^2 \delta(E_{in} - E_{fn'} + \sum_{\bar{k}\sigma} \omega_k(N_{\bar{k}\sigma} - N_{\bar{k}'\sigma})) \quad (25)$$

$(N_{\vec{k}\sigma})$  - число заполнения фотонов;  $\phi_i(N_{\vec{k}\sigma})$  - функция распределения фотонов в начальном состоянии;  $F_i$  - свободная энергия системы в начальном состоянии;  $E_{in}, E_{fin}$  - энергетические спектры системы в начальном и конечном состояниях (собственные значения гамильтонианов  $H^i$  и  $H^f$ );  $V_{fi}$  - матричный элемент от гамильтониана взаимодействия, в результате чего происходит излучение фотона.

$\vec{E}$  - оператор напряженности поля фотонов, представим в виде:

$$\vec{E}(\vec{r}) = i \sum_{\vec{k}\sigma} \left( \frac{2\pi\omega_k}{V} \right)^{1/2} \vec{e}_{\vec{k}\sigma} (a_{\vec{k}\sigma} e^{i\vec{k}\vec{r}} - a_{\vec{k}\sigma}^+ e^{-i\vec{k}\vec{r}})$$

где  $a_{\vec{k}\sigma}^+$ ,  $a$  - операторы рождения и уничтожения фотонов,  $\vec{e}_{\vec{k}\sigma}$  - вектор поляризации фотонов,  $V$  – объем системы.

После несложных преобразований получим

$$dW_a = \frac{\beta}{i} \int_{C_a} d\theta \int d\vec{r} d\vec{r}' \left\langle E_\beta(\vec{r}', \theta) E_\alpha(\vec{r}, 0) \right\rangle_i \left\langle e^{\beta \theta \vec{H}_i} P_\beta^*(\vec{r}')_{fi} e^{-\beta \theta \vec{H}_f} P_\alpha(\vec{r})_{fi} \right\rangle_i \quad (26)$$

где  $H_i$  – гамильтониан системы в начальном состоянии,  $H_f$  - гамильтониан системы в конечном состоянии. Предполагается, что фотонов в системе достаточно много и с фотонами могут осуществляться как процессы с поглощением, так и процессы с испусканием фотона.

$$E_{\beta}(\vec{r}'; \theta) = e^{\beta \theta H_f} E(\vec{r}; \theta = 0) e^{-\beta \theta H} \quad (27)$$

$$\left\langle E_{\beta}(\vec{r}';\theta)E_{\alpha}(\vec{r},0)\right\rangle = \sum_{\sigma=1}^2 \sum_k \frac{2\pi\omega_k}{V} e_{\bar{k}\sigma}^{\alpha} e_{\bar{k}\sigma}^{\beta} \left\{ \left( 1 + \left\langle N_{\bar{k}\sigma} \right\rangle_i \right) e^{-\beta\theta\omega_k} e^{ik(\vec{r}'-\vec{r})} + \left\langle N_{\bar{k}\sigma} \right\rangle e^{\beta\theta\omega_k} e^{-ik(\vec{r}'-\vec{r})} \right\} \quad (28)$$

процессы с излучением      процессы с поглощением

Расчет вероятности процесса переноса заряда с излучением и поглощением фотонов может быть проведен в общем виде, в тех же модельных приближениях, что и для термических процессов переноса электрона.

В результате, для константы скорости процесса перераспределения электронной плотности системы с излучением фотона получаем следующее выражение:

$$K = \sum_{\sigma=1}^1 \frac{\left| L_{fi}^{\sigma} \right|^2}{\sqrt{\psi''}} \phi^{\nu} A^{\nu} \exp \left\{ -\beta \theta^* \Delta F - \beta \theta^* \hbar \omega_k - \psi^m(\theta^*) - \psi^V(\theta^*) - \psi^{mV}(\theta^*) \right\} \quad (29)$$

Величина  $L_{fi}^\sigma$  - представляет собой дипольный момент перехода при адсорбции частицы на поверхности электрода с излучением фотона (матричный элемент от взаимодействия примесных молекул и молекул среды с полем фотонов, вычисленный с помощью волновых функций конечного и начального состояний системы);  $\phi^\nu$  и  $A^\nu$  - функция распределения и предэкспоненциальный множитель, аналитические выражения этих функций получаются при расчетах для конкретных моделей.  $\Delta F$  - свободная энергия процесса; выражение под знаком квадратного корня – вторая производная от показателя экспоненты по  $\theta$  в точке  $\theta^*$ ;  $\theta^*$  - фактор, аналогичный фактору симметрии Бренстеда;  $\psi''(\theta^*)$  - функция реорганизации электролита и пленки Л.-Б., которая зависит от взаимной ориентации адсорбирующейся частицы и пленки Л.-Б. (координаты  $R$  и  $\Psi$ ):

$$\Psi^m(\vec{R}^*, \psi^*, \theta) = \frac{1}{\pi} \int d\vec{r} d\vec{r}' \Delta E_i(\vec{r}, \vec{R}^*, \psi^*) \Delta E_k(\vec{r}', \vec{R}^*, \psi^*) \int_{-\infty}^{\infty} d\omega \text{Im} g_{ik}^R(\vec{r}, \vec{r}'; \omega) \frac{sh \frac{\beta \omega (1-\theta)}{2} sh \frac{\beta \omega \theta}{2}}{\omega^2 sh \frac{\beta \omega}{2}} \quad (30)$$

Эта функция реорганизации для простых моделей может быть выражены через энергию реорганизации и в основном будет состоять из следующих компонент: реорганизация за счет электронной поляризации молекул в слое Л.-Б., электронной и ориентационной поляризации в растворе электролита.

В формуле (30) функция  $\psi^V(\theta^*)$  представляет собой функция реорганизации колебательной подсистемы, ее виз зависит от структуры молекул пленки Л.-Б. и адсорбирующейся частицы, расчеты можно проводить в гармоническом приближении.

Наконец,

$$\begin{aligned} \psi^{mV}(\theta) = & \theta \sum_{k=1}^N \ln(\omega_n^f / \omega_n^i) - \theta^* \ln \left[ 1 + \beta \sum_{k=1}^N (G_k(\vec{R}^*, \psi^*) + \right. \\ & \left. + \frac{\omega_k^f}{\omega_k^i} \bar{G}_k(\vec{R}^*, \psi^*) \frac{\sqrt{2E_{rk}\omega_k^i}}{\omega_k^f}) \right] (2\pi)^{1/2} \left[ \prod_{s=1}^N \frac{\omega_s^i}{\sqrt{(1-\theta^*)(\omega_s^i)^2 + \theta^*(\omega_s^f)^2}} \right] \{1 + \right. \\ & \left. \sum_{k=1}^N \left[ G_k(\vec{R}^*, \psi^*) + \frac{\omega_k^f}{\omega_k^i} \bar{G}_k(\vec{R}^*, \psi^*) \right] (\beta\theta^* - F_\omega(\theta^*)) \sqrt{2E_{rk}\omega_k^i} \theta^* (\omega_k^f)^2 [(1-\theta^*)(\omega_k^i)^2 + \right. \\ & \left. \left. \theta^*(\omega_k^f)^2 \right]^{1/2} \}; \end{aligned} \quad (31)$$

представляет собой смешанную функцию реорганизации, которая связана с взаимодействием внутримолекулярных колебаний реагирующей подсистемы (адсорбирующаяся молекула и молекула слоя Л.Б., на которую происходит адсорбция) и флюктуаций поляризации среды (раствора электролита и пленки Л.-Б.). Вклад этой функции в константу скорости процесса сравним с вкладом остальных двух компонент для процессов с характерными размерами наноизмерений.

В этой формуле

$$G(\vec{R}, \psi) = -\frac{1}{2} \int d\vec{r} d\vec{r}' \frac{\partial E_i}{\partial Q}(\vec{r}; \vec{R}, \psi) g^R_{ik}(\vec{r}, \vec{r}'; \omega = 0) \Delta E_k(\vec{r}'; \vec{R}, \psi) \quad (32)$$

$$\bar{G}(\vec{R}, \psi) = -\frac{1}{2} \int d\vec{r} d\vec{r}' \Delta E_i(\vec{r}; \vec{R}, \psi) g^R_{ik}(\vec{r}, \vec{r}'; \omega = 0) \frac{\partial E_k}{\partial Q}(\vec{r}'; \vec{R}, \psi)$$

Обширная информация может получена из формы кривой поглощения или испускания фотонов системой как функции от частоты фотона. Если ввести понятие коэффициента экстинкции для процессов поглощения или испускания фотонов в ходе процесса переноса электрона между частицами или на частице. Для процесса испускания фотона при перераспределении электронной плотности при адсорбции примесной частицы на пленке из раствора электролита получается следующее выражение

$$\varepsilon_k = \frac{2\pi\omega_k}{3} \frac{|L_f^\sigma|^2}{\sqrt{|\psi''|}} \phi^\nu A^\nu \exp\{-\beta\theta^* \Delta F - \beta\theta^* \hbar\omega_k - \psi^m(\theta^*) - \psi^V(\theta^*) - \psi^{mV}(\theta^*)\} \quad (33)$$

Использование этого соотношения позволяет проводить анализ для широкого спектра процессов. Для этого необходимо выбрать конкретную модель, в рамках этой модели упростить аналитически общие выражения и из сопоставления с экспериментальными данными получить численные значения энергий реорганизаций, дипольного момента перехода, реорганизации квантовой подсистемы и т.д.

#### 4. Заключение.

Как показывают квантовые расчеты, работу наносенсора с излучением фотонов при детектировании искомых частиц, можно описать вполне корректно в довольно общем виде. При

изготовлении рабочих электродов сенсора на полупроводниковую подложку необходимо нанести определенное количество нанослоев Ленгмюра-Блоджета с люминофорами и подобрать эти слои таким образом, чтобы на поверхность электрода искомые частицы могли адсорбироваться. В проведенных расчетах предполагалось, что при адсорбции происходит излучение фотона, который можно регистрировать. Если при детектировании той или иной частицы зарегистрировать интенсивность излучения, то в с определенной точностью можно судить о концентрации этих частиц. Если нас интересует более дальняя информация относительно искомой частицы, раствора, в котором находится частица, кинетики процесса взаимодействия частицы с сенсором, вышеприведенная схема расчетов позволяет извлекать необходимую информацию из кривой излучения фотонов в широкой области частот. В этом случае в определенных модельных приближениях по учету эффектов частотной и пространственной дисперсии как слоев Ленгмюра-Блоджета, так и раствора электролита, можно оценить и рассчитать характерные параметры процесса. Более детальный расчет этих параметров может быть проведен для конкретных моделей, в рамках которых можно учесть зависимость параметров от потенциала электрода, характера затухания электронной плотности электрода вблизи границы раздела фаз, реорганизации раствора и колебательной подсистемы.

## **ଲୋତ୍ପରାତ୍ମକା - REFERENCES – ЛИТЕРАТУРА**

1. [http://www.kit-e.ru/articles/sensor/2009\\_04\\_21.php](http://www.kit-e.ru/articles/sensor/2009_04_21.php)
  2. Friedrich M.J. Nanoscale biosensors show promise. *JAMA* 2005; 293(16):1965
  3. [http://www.nanoindustry.su/files/article\\_pdf/2/article\\_2129\\_287.pdf](http://www.nanoindustry.su/files/article_pdf/2/article_2129_287.pdf)
  4. <http://science.compulenta.ru/609641/>
  5. <http://www.bessmertie.org/content/view/285/236/>
  6. <http://magazine.iraweb.ru/2011/11/итальянский-наносенсор/>
  7. [http://www.kit-e.ru/articles/sensor/2009\\_04\\_21.php](http://www.kit-e.ru/articles/sensor/2009_04_21.php)
  8. Марсагишили Т.А. Кинетика переноса и фотопереноса заряда в нерегулярных конденсированных средах. В кн.: Химия и химическая технология, ред.: Г.Г. Гвелесиани и Г.В.Цицишвили, "Мецниереба", Тбилиси, 2001, с.191-209.
  9. T.Marsagishvili, M.Machavariani, and S.Kirillov. Some aspects of physical and chemical adsorption on surface of amorphous solid. In: Combined and Hybrid Adsorbents. Fundamentals and Applications. Ed. Jose Miguel Loureiro and Mykola T. Kartel. Springer. NATO Security though Science Series. 2006, p.349 -356.
  10. T. Marsagishvili. Kinetics of an Elementary Charge Transfer Act Involving Polyatomic Dipole Polarizable Species: A Spectroscopic Study. Russ. J. of Electrochemistry, 2003, v. 39, p.21-27.

## ნაცოსენსორის მუშაობის პრანტზრი თეორიისთვის

თ.მარსაგიშვილი, მ.მაჭავარიანი, გ.ტატიშვილი

*ივანე ჯავახიშვილის თბილისის სახელმწიფო უნივერსიტეტის  
რაფიელ აგლაძის არაორგანული ქმითსა და ელექტროფიზიკის ინსტიტუტი*

### რეზიუმე

წარდგნილია ნანოსენსორის მუშაობის კვანტური თეორია. ნანოსენსორი ასხივებს სინათლეს საძებნი ნაწილაკების დეტექტირების პროცესში. მუშა ელექტროდი წარმოადგენს ნახევარ-გამტარულ ფუძე შრეს, რომელზედაც დაფუნქცია ლენგმიურ-ბლოკეტის შრები. ლუმინოფორის მოლეკულები მდებარეობენ ლენგმიურ-ბლოკეტის ყოველ შრეში და გამოასხივებენ ფოტონებს საძებნი ნაწილაკების ადსორბციის პროცესში ლენგმიურ-ბლოკეტის შრის მოლეკულებზე. ლენგმიურ-ბლოკეტის შრებისა და ელექტროლიტის აღწერა ხდება პოლარიზაციის ოპერატორების ტემპერატურული გრინის ფუნქციების გამოყენებით. ეს შესაძლებლობას იძლევა გავალისწინებულ იქნას როგორც ლენგმიურ-ბლოკეტის შრების, ასევე ელექტროლიტის ხსნარის სიხშირული და სივრცითი დისპერსიის ეფექტები. მიღებულია ანალიზური გამოსახულებები სენსორის მუშა ელექტროდზე საძებნი ნაწილაკების ადსორბციის დროს გამოსხივებული სინათლის ექსტინქციის კოეფიციენტისათვის. ექსტინქციის კოეფიციენტის ზოგადი სახის გამოსახულება შეიცავს სისტემის მახასიათებელ მოელ რიგ მაკროსკოპულ პარამეტრებს. ამ პარამეტრების დეტალური გათვლება შეიძლება ჩატარდეს კონკრეტული მოდელებისთვის, რომელთა ფარგლებში შეიძლება გათვალისწინებულ იქნას ელექტროდის პოტენციალზე დამოკიდებულება, ელექტროდის ელექტრონული სიმკვრივის მიღებადობის ხასიათი ფაზათა გამოივ საზღვართან ახლოს, ხსნარისა და რხევითი ქვესისტემის რეორგანიზაცია.

### FOR QUANTUM THEORY OF NANOSENSOR WORK

T.A.Marsagishvili, M.N.Machavariani, G.D.Tatishvili

*Rafiel Agladze Institute of Anorganic Chemistry and Electrochemistry  
of Ivane Javakhishvili Tbilisi State University*

### SUMMARY

Quantum theory of work of nanosensor, radiating light during the process of detection of desired particles is submitted. The main electrode correspond semiconductor substrate material coated by Langmuir-Blodgett layers. Luminophor molecules are disposed in every Langmuir-Blodgett layer and radiate photons during adsorption process of desired particles on the molecules of Langmuir-Blodgett layer. Description of Langmuir-Blodgett layers and electrolyte is realized with use of temperature Green functions of polarization operators. This allows consideration of the effects of frequency and spatial dispersion of Langmuir-Blodgett layers and electrolytic solution. The analytic expressions for extinction coefficient of light radiation, during adsorption of desired particles on the main electrode of the sensor are obtained. Expression for extinction coefficient in general form includes a number of macroscopic parameters, characterizing the system. Detailed calculations of these parameters may be realized for concrete models, within the frames of which may be considered dependence on the electrode potential, attenuation character of electron density of the electrode near the interface, reorganization of the solution and oscillating subsystem.

**ФИЗИЧЕСКАЯ ХИМИЯ****НОВЫЕ ДАННЫЕ ТАУТОМЕРНЫХ ПРЕВРАЩЕНИЙ НЕКОТОРЫХ АЗОТСОДЕРЖАЩИХ ГЕТЕРОЦИКЛОВ**

Дж.А.Кереселидзе

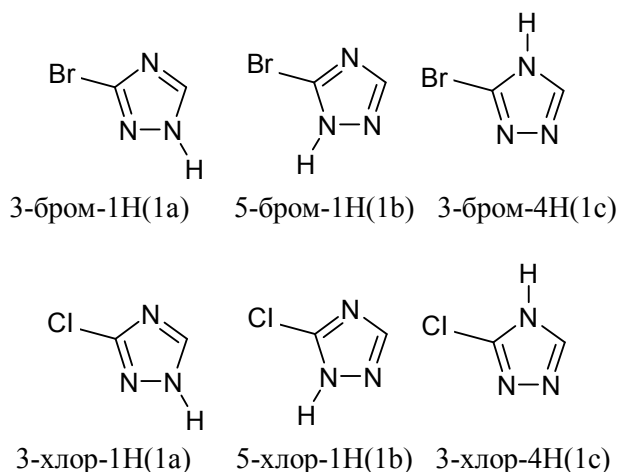
*Тбилисский государственный университет им. И.Джавахишвили*

Проанализированы литературные и собственные данные последних лет таутомерных превращений в азолах, пиридинах, 7-азаиндолах и нуклеотидных основаниях. Обсуждены возможности выявления отдельных таутомерных форм, имеющих важное значение для количественного описания некоторых химических и биохимических процессов.

Таутомерное превращение, которому посвящены ранние обзоры [1-5], является одной из причин поразительного разнообразия химических и биохимических процессов. Циклически-димерный механизм таутомерного прототропного превращения в азотсодержащих гетероциклах, который стал общепринятым за последние годы [6-9], вновь остаётся предметом исследования чисто химическими, спектрометрическими, квантово-химическими и другими современными физико-химическими методами. Достижения в области квантово-химических (Дж.Попл, А.Кон, Нобелевская премия 1998 г.) и фемтоспектрометрических методов (А.Зевайл, Нобелевская премия 1999 г.) на пороге столетия качественно повысили уровень исследований тонких химических процессов, в том числе и таутомерных превращений. Примечательно, что нобелевские работы А.Зевайла [7-9] были посвящены переносу протона в 7-азаиндоле по циклически-димерному механизму с помощью фемтосекундных лазерных импульсов. Объектами исследования переноса протонов в основном явились такие популярные гетероциклы, как азолы [10-14], пиридины [15-23], пиримидины [24-35], пурины [36-43], нуклеотидные основания [44-49] и 7-азаиндолы [50-54].

**1. Производные азолов**

Еще в 1961 году Цимерман [55], изучая таутомерные превращения в пиразолах, на основании электрохимических измерений предложил димерный и тримерный механизмы переноса протона в этих процессах. Уже в начале настоящего столетия испанские учёные из научной школы Дж.Элгуэро и И. Алкорта методами ЯМР спектрометрии и квантовой химии подтвердили существование циклически-тримерной формы пиразолов в твёрдом состоянии [56]. Развивая исследования в этом направлении методом  $^{13}\text{C}$  и  $^{15}\text{N}$  ЯМР спектрометрии, они установили строение таутомерных форм галогенпроизводных триазола [57]. В частности, было показано, что хлор- и бром-производные триазолов могут существовать в метаноле в трёх таутомерных формах:



Квантово-химическим неэмпирическим методом B3LYP/6-31G\* были рассчитаны свободные энергии таутомеров, которые отличаются лишь на 28.8 кДж·моль<sup>-1</sup>. Показано также, что при низкой температуре (178 K) таутомерные превращения блокируются.

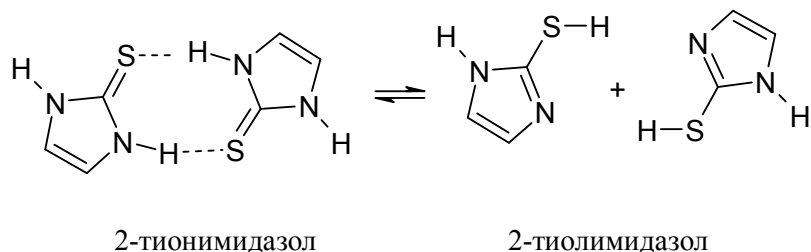
Немного позже квантово-химическим полуэмпирическим методом AM1 нами была описана амино-иминное таутомерное превращение 5-F-пиразола [58] по циклически-димерному механизму. Энタルпия активации двойного переноса протонов  $\Delta H^\# = 168.0 \text{ кДж}\cdot\text{моль}^{-1}$ , а теплота реакции  $\Delta H = 1.6 \text{ кДж}\cdot\text{моль}^{-1}$ . Низкое значение  $\Delta H$  указывает на возможность туннельного переноса протонов в этом таутомерном превращении, что было отмечено и для пиразолов в работе [55]. В пользу туннельного переноса протона в  $1\text{H} \rightarrow 3\text{H}$  таутомерном превращении через тримерной системы также был сделан вывод в другой нашей работе на основании энергетических данных, вычисленных квантово-химическим полуэмпирическим методом AM1 [59].

В работе [60] приведены результаты изучения ИК спектров пиразола и 3,5-диметилпиразола в растворе, в газе и твёрдом состоянии в широком диапазоне концентрации и температуры. Было показано, что в газовой фазе наблюдается тautомерное равновесие между мономеров, димеров и тримеров. В растворах преобладает равновесие между мономеров и тримеров. 3,5-диметилпиразол сохраняет тримерную структуру в твёрдом состоянии, тогда как в случае пиразола наблюдается иной вид ассоциации. Геометрические и спектральные характеристики димеров и тримеров, полученные ab initio расчёты, сравнимы с экспериментальными данными.

Продолжая исследование таутомерных превращений производных пиразола, испанские ученые изучали строение 1-бензил-4-нитрозо-5-аминопиразола [61], было показано, что свободное основание в растворе существует как смесь амино-нитрозо таутомеров, что не наблюдалось для имино-оксимных таутомеров.

Польскими учеными была изучена стабильность двух таутомеров 5-замещенного пиразола квантово-химическим неэмпирическим методом MP2/6-311++G\* [62]. Были рассчитаны разности энергий  $\Delta E$  между двумя таутомерами для каждого заместителя. Показано, что сильные электронодонорные заместители стабилизируют  $N_2\text{-H}$ , а сильные электроноакцепторные –  $N_1\text{H}$  таутомер.

Китайские учёные квантово-химическим неэмпирическим методом функционала плотности исследовали перенос протона в тautомерном превращении 2-меркаптоимидазоле [63].

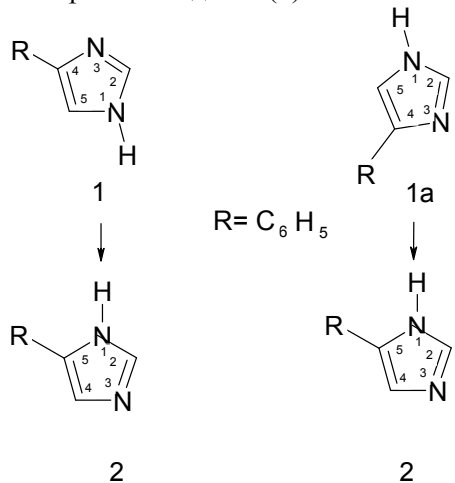


Расчёты выполнены для комплексов с одной и двумя молекулами воды. Показано, что внутримолекулярный перенос протона без участия молекул воды характеризуется довольно высоким значением энергетического барьера – 175.8 кДж·моль<sup>-1</sup>, тогда как при участии двух молекул воды эта величина уменьшается до 72 кДж·моль<sup>-1</sup>. Следовательно, вода выполняет роль медиатора переноса протона в тautомерном превращении.

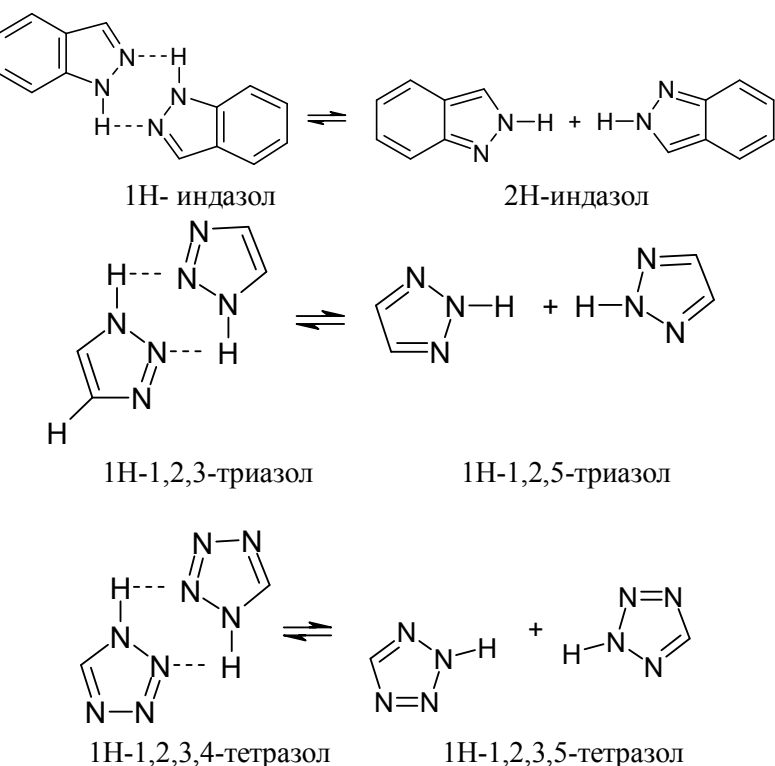
Аналогичный подход был обобщен для 5-замещенных тетразола в работе Р.Е. Трифонова с сотр. [64]. Методом DFT/B3LYP для газовой фазы рассчитаны энергетические и электронные характеристики 5 более устойчивых таутомерных форм (анион, 1Н- и 2Н-, 1,3-Н,Н<sup>+</sup>- катионы) 5-замещенных тетразолов. Показано, что расчётные значения дипольного момента 2Н- 1Н-форм нейтрального тетразола хорошо коррелируют с  $\sigma_p$ (пара) константами Гамметта. Относительная термодинамическая устойчивость 2Н-формы по сравнению с 1Н-формой фактически не зависит от природы заместителя. Напротив, в случае катиона наиболее устойчива форма 1,4-Н,Н<sup>+</sup> - для электронодонорных заместителей ( $\text{CH}_3$ ,  $\text{C}(\text{CH}_3)_3$ ) и 1,3-Н,Н<sup>+</sup> - для электроноакцепторных заместителей ( $\text{Ph}$ ,  $\text{Cl}$ ,  $\text{CF}_3$ ,  $\text{NO}_2$ ). Удовлетворительная корреляция наблюдается между энергиями протонирования анионов и нейтральных тетразолов с экспериментальными значениями  $pK_a$  и  $pK_b$ .

И.Алкорта и Д.Елгуero [65] квантово-химическим полуэмпирическим AM1 и неэмпирическим DFT B3LYP/6-31G\* методами исследовали таутомерные состояния многих NH-индазолов. В большинстве случаев 1Н-таутомер более устойчив, однако авторы нашли несколько индазолов, для которых 2Н-таутомер более устойчив, чем 1Н-таутомер. Различия в энергии между этими таутомерами объяснилось эффектом заместителей.

R.Кларамунт с сотр. [66] кристаллографическим методом нашли новую полиморфную структуру 4-фенилимидаола (1), однако в твёрдом состоянии в  $^{13}\text{C}$  и  $^{15}\text{N}$  ЯМР спектрах наблюдается только один таутомер (1). Авторы, на основании теоретических расчётов, считают, что должен существовать и второй таутомер 5-фенилимидаол (2). В этом случае мы полагаем, что таутомер (2) может образоваться в результате поворота таутомера (1) на  $180^\circ$  вокруг оси, проходящей через позиции 2 и серединой точки связи 4-5, с последующим параллельным накладыванием (1) и (1a) структур друг на друга. В таком состоянии аминный и иминный атомы азота могут обменяться протонами, в результате чего может образоваться 5-фенилимидаол (2).

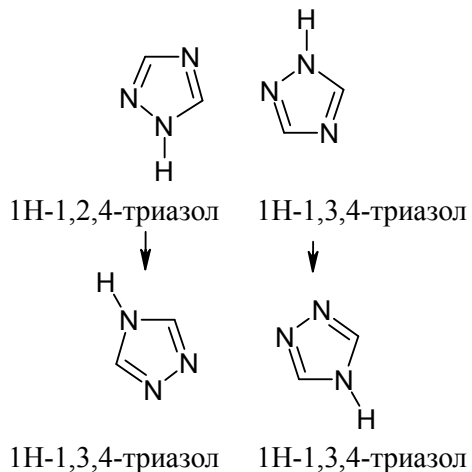


В обширной работе И. Алкорта и Дж. Элгуero [67] приведены значения полных энергий ( $E_T$ ) и дипольных моментов ( $\mu$ ) 106 таутомеров и конформеров NH-азола, относительно окси- и метоксикарбонила (производные пиррола, индола, имидазола, бензимидазола, пиразола, индазола, триазола и тетразола), вычисленных квантово-химическим методом функционала плотности (DFT). Кроме статистических данных, приведены четыре димера 3,5-диметоксикарбонилпразола и таутомерные формы 1Н-индазола, 1Н-1,2,3-, 1,2,4-триазола и 1Н-1,2,3,4-тетразола.



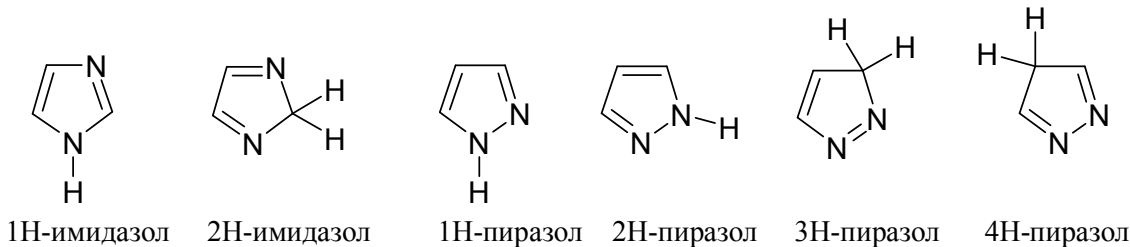
Аналогичный подход, приведенный в анализе предыдущей работы, можно обобщить и для 1Н-1,2,4-триазола. Для этого случая 1Н-1,3,4 – таутомерная форма может образоваться в результате поворота 1Н-1,2,4-триазола на  $180^\circ$  вокруг оси 2-5 позиций с последующим параллельным

накладыванием друг на друга и обмена протонами, в результате которого образуется 1Н-1,3,4-таутомерная форма.

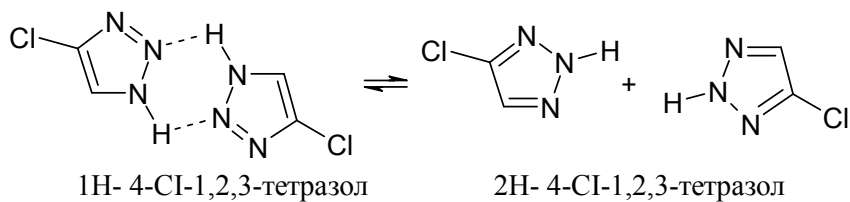


В работе [68] относительно таутомерного превращения индазола на основании квантово-химических полуэмпирических расчетов отмечено, что для индазола 1Н- более устойчива, чем 2Н-таутомерная форма.

В следующей работе И.Алкорта с сотр. [69] рассмотрена возможность наличия неароматичности в анулярных таутомерных форм имидазола и пиразола. На основании квантово-химических расчётов методом функционала плотности (DFT) показано, что ароматический 1Н- имидазол 1Н- и 2Н-пиразол более стабильны, чем неароматические формы (2Н-имидазол, 3Н-пиразол и 4Н-пиразол). Однако, эта стабильность полностью изменяется, когда водород на атоме азота или метиленовом углероде заменен кислородом или фтором. В этом случае стабильность 1F-1Н-имидазола меньше, чем 2F-2Н-имидазола или 2F-1Н-имидазола.

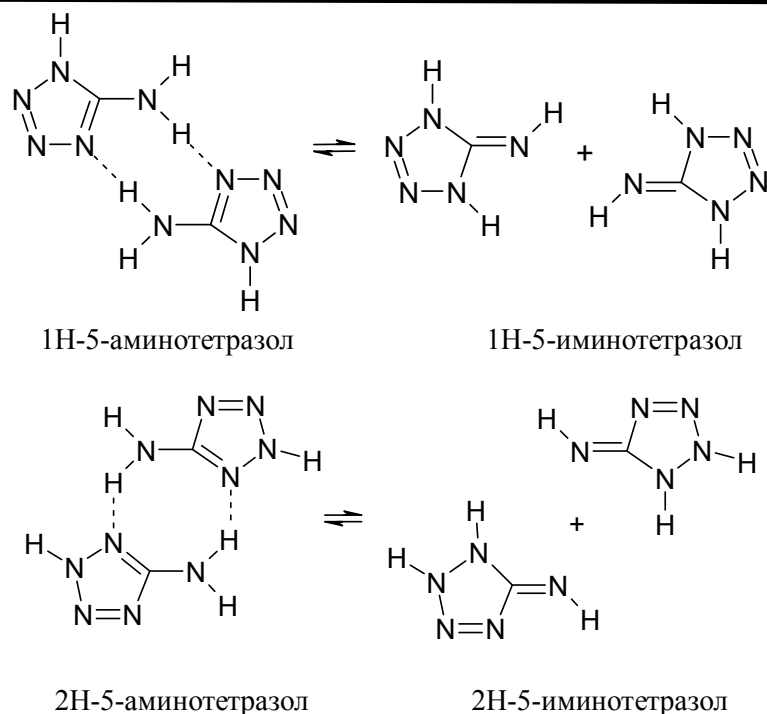


Изучая механизм переноса протона, нами предложен циклически-димерный механизм  $1\text{H} \rightarrow 2\text{H}$  таутомерного превращения в 1Н- 4-Cl-1,2,3-тетразоле [70]:

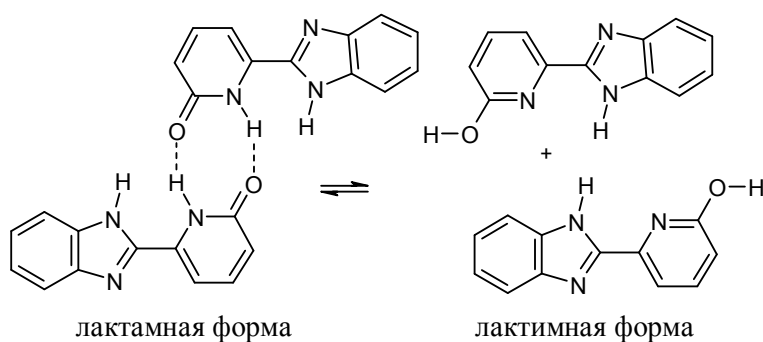


К.В.Паул с сотр. [71] исследовал свойства 1Н-5-аминотетразола и его таутомера – 1Н-5-иминотетразола. Упоминается также и 2Н-5-аминотетразол, однако о возможности существования его таутомерной формы – 2Н-5-иминотетразола не обращено внимание.

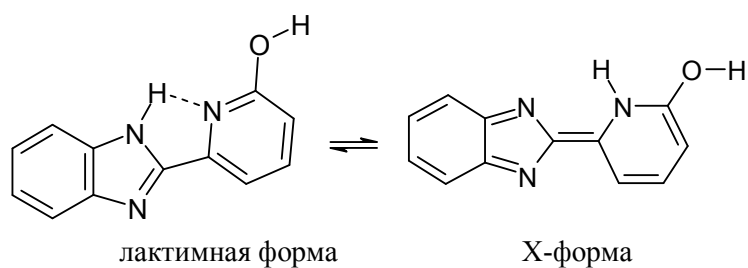
В этой связи нам кажется интересным построение механизмов образования этих таутомеров. В частности 5-иминотетразолы могут образоваться через циклические димерные механизмы:



Интересные таутомерные превращения в 2-(6'-гидрокси-2'-пиридинил) бензимидазоле предложены в работе испанских учёных в разных растворителях, ультрафиолетовыми и люминисцентными спектрометрическими и квантово-химическими *ab initio* методами [72].



Мы предлагаем, что лактам-лактимное таутомерное превращение может реализоваться по циклически-димерному механизму, а образование X-формы по внутримолекулярному переносу протона через пятичлененный цикл лактимной формы:

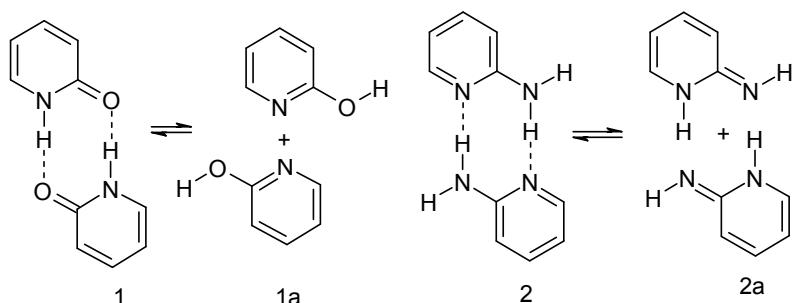


## 2. Производные пиридина

Пиридин, благодаря протонакцепторного свойства гетероциклического азота, обусловленного свободной от сопряжения неподелённой парой электронов ( $2s^2$ ), способен находиться в разных таутомерных формах. Можно считать, что именно это свойство определяет его реакционную способность, чем и обусловлен повышенный интерес исследователей таутомерных превращений производных пиридина.

Исследование таутомерных превращений производных пиридина начался в 70-ых годах прошлого столетия работами А.Р. Катрицкого [1, 2] и Ю.Н.Шейнкера [4]. Уже в 2000 году [73] квантово-химическим полуэмпирическим методом AM1 мы исследовали таутомерное превращение

2-пиридона (1) и 2-аминопиридина (2). Для переноса протона в этих процессах был предложен циклически-димерный механизм:



Было показано, что энталпия активации  $\Delta\Delta H^\ddagger$ , а также константы равновесия  $K_T$  лактам-лактимного ( $1 \rightarrow 1a$ ) и амин-иминного ( $2 \rightarrow 2a$ ) тautомерных превращений равняются 109.5 и 148.8 кДж·моль $^{-1}$  и 0.11 и 0.07 соответственно. Относительное низкое значение константы амин-иминного равновесия должно быть обусловлено его высоким значением энталпии активации.

Спустя два года И.Алкорт и Дж.Элгуер опубликовали аналогичные данные для производных 2-аминопиридина, используя квантово-химический неэмпирический метод *ab initio* [74].

Г.И.Абдула и М.Ф.Ел-Берманн ИК-спектрометрическим методом изучали таутомерные превращения 2-гидрокси-, 2-тио- и 2-аминопиридинов в твёрдом, жидкок и газовом состояний [75]. Результаты показывают наличие равновесной смеси каждого соединения как в мономерной, так и циклически-димерной форме. При этом мономеры преобладают в газовой фазе. Для каждой фазы определена разность энталпий между мономерными таутомерами и энергия активации их превращения. Существование таутомерного равновесного состояния в циклически-димерной форме методом ИК спектрометрии ранее было показано и нами на примере ацетофенона [6].

ИК и УФ спектрометрические методы для изучения таутомерного превращения 2-пиридона в 2-гидроксикиридин также применили Д.Р.Борст с сотр. [76] и сделан вывод, что перенос протона в этом процессе реализуется туннельным механизмом.

Динамику переноса двух протонов в тautомерном превращении 2-аминопиридина в комплексе с уксусной кислотой методом пикосекундной флуоресцентной спектроскопии изучали японские авторы [77]. Допускается, что в тautомерном процессе переноса протонов участвует один протон от уксусной кислоты. Сделан вывод, что двойная водородная связь комплекса 2-аминопиридин с уксусной кислотой подвергается пошаговой двойной реакции с переносом протона в пределах 5 пикосекунд в возбужденном состоянии.

Таутомерное равновесие подобных производных, в которых экзоциклический атом азота заменен NH имино-группой или атомом серы, был изучен А.Ладжарафи с сотр. [78]. Показано, что аминопиридин доминирует как в газовой фазе, так и в присутствии полярного растворителя. С другой стороны, в газовой фазе или в растворе пиридиниол более благосклонен к таутомерному превращению, чем пиридинол.

Таутомерные формы 2-гидроксиридина и 2-пиридона и их деитерированные производные были изучены также методом микроволновой спектрометрии с фурье преобразованием [79]. Сообщается, что получены новые, улучшенные экспериментальные вращательные константы для изотопных таутомеров. Проведенный анализ указывает, что „таутомерный“ водородный атом в 2-гидроксиридине находится на расстоянии 2.653 Å, а в 2-пиридоне на 2.124 Å от центров массы соответствующих таутомеров. DFT расчёты находятся в хорошем согласии с экспериментальными данными.

Механизм переноса протона в изолированном, моно, дегидрированной и димерной форме 2-пиридона и влияние гидратации или самоассоциации в переходном состоянии был исследован китайскими авторами методом функционала плотности[80]. Высота энергетического барьера для ассоциации с водой и самоассоциации значительно ниже, чем тautомеризации без учёта влияния гидратации. Влияние дальнего действия растворителя также был принят во внимание, используя

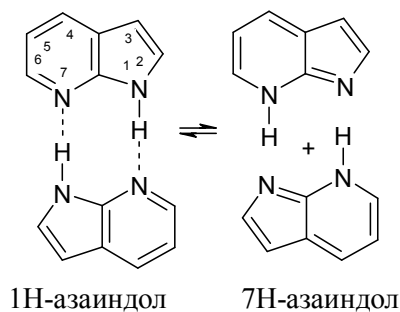
поляризационную модель Онзагера воды. Энергия таутомеризации и барьер потенциальной энергии повышается с учётом влияния воды и самоассоциации, так как таутомеризация протекает менее благоприятно в полярном растворителе.

Немного позже японские ученые Н.Цучида и Ш.Иамабе [81] опубликовали данные об исследовании таутомерных превращений производных гидроксиридина (ГП) и пиридона (ПИ) в присутствии молекул воды. Также методом функционала плотности были рассчитаны потенциальные энергии многих атомов молекул воды. Авторы полагают, что две молекулы воды 2-гидроксиридина могут находиться в изомерной форме по отношению 2-пиридона посредством обмена протонами с молекулами воды. Такая модель инвариантна относительно присоединения внешних молекул воды.

В обзорной статье аргентинских ученых [82] рассмотрены литературные данные, в основном прошлого столетия, таутомерных равновесий азотсодержащих гетероциклических соединений методом масс спектрометрии, основанных на замене энольного водородного атома азота на дейтерий. Сделаны выводы, которые согласуются с спектрометрическими и квантово-химическими данными других авторов.

### **3. 7-Азаиндолы**

Изучение переноса протона в димере 7-азаиндола является весьма актуальным как с химической так и биохимической точки зрения. Д.Е. Фолмер с сотр. [83] исследовали возбужденное состояние двойного переноса протона в димере 7-азаиндола:



В результате всестороннего обсуждения процесса таутомерных превращений авторы предлагают пошаговый механизм этого процесса и отмечают, что сделанные им выводы находятся в хорошем согласии с работами А.Зевайла [7-9]. Нам кажется, что этот пошаговый механизм требует дополнительного исследования, в том числе и для других азотсодержащих гетероциклов.

В другой работе [84] эти же авторы изучали перенос протона в газовой фазе и водном растворе и сделали заключение, что в водной среде полная таутомерия не наблюдается из-за возможности передачи протона от 7-азаиндола к молекуле воды.

В работе З.Смедакина с сотр. [85] сообщается об изучении переноса протона посредством мостиков молекул воды в 7-азаиндоле. Эти водные молекулы формируют мостики водородных связей между функциональными группами таутомерных структур и катализируют перенос протона. Константы скорости переноса протона оценивают силы водородных связей, а свободные от напряжения водные мостики могут способствовать протонную проводимость.

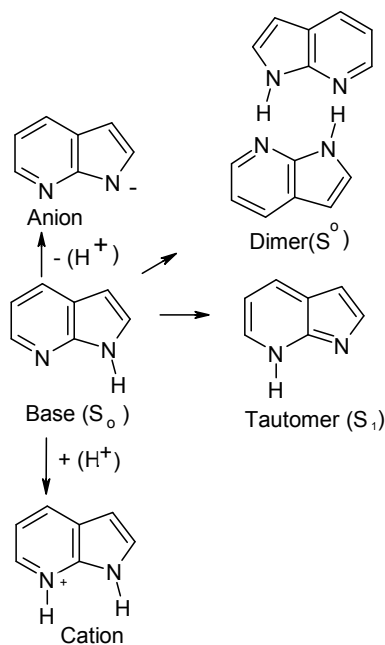
В следующей статье этих авторов [86] приводятся результаты динамики водного катализа фототаутомеризации 7-азаиндола. Было найдено, что в газовой фазе 1:1 и комплексе 1:2 таутомеризация протекает через согласованного двойного и тройного переноса протона, соответственно. Сделан вывод, что высокая скорость наблюдается при комнатной температуре возбужденного 7-азаиндола в воде и спирте.

Эти результаты имеют важное значение для разработки общего подхода влияния среды на перенос протонов в таутомерных превращениях.

В работе [87] приведены данные спектров поглощения и испускания 7-азаиндола с двойной флуоресценцией, которая, по мнению авторов, обусловлена существованием двух таутомерных форм. Это еще раз подтверждает ранее полученные результаты о 1Н- и 7Н- таутомерных формах 7-азаиндола [88].

В работе Дж.Каталан с сотр. [89] представлены экспериментальные и теоретические основы для синхронного и согласованного переноса двух протонов в центросимметрической водородной связи в электроновозбужденном димере 7-азаиндола. На основании фемтосекундного фотоионизационного эксперимента сделан вывод в пользу согласованного механизма переноса двух протонов.

За этим последовала статья А.Доугала с сотр. [90], в которой авторы выступили с критикой согласованного механизма переноса протонов в 7-азаиндоле. Они также отклонили теорему [91], которая, по их мнению, основана на случайное совпадение частот спектра флуоресценции катиона и аниона 7-азаиндола.



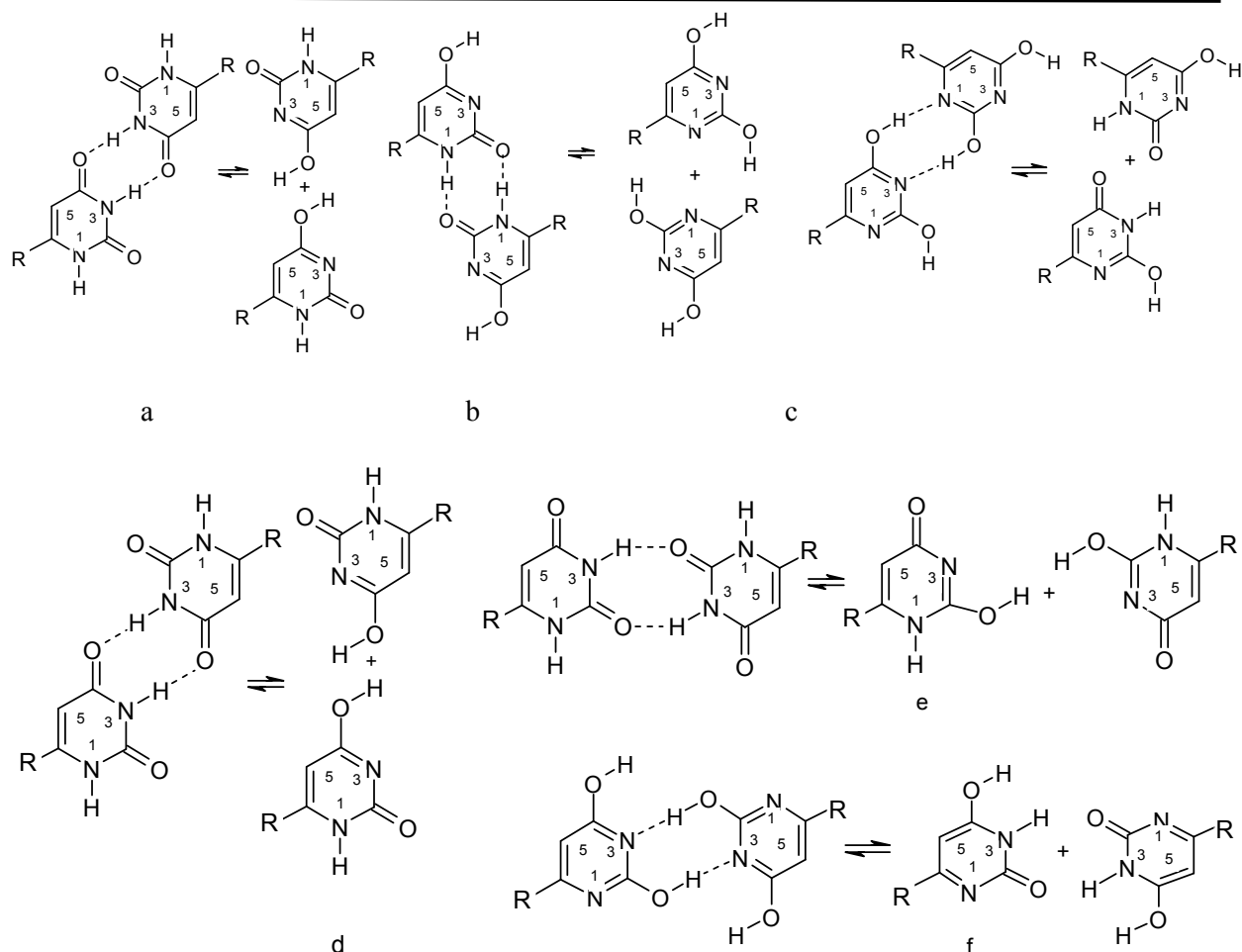
Энергетические характеристики переноса протонов в процессе таутомерного превращения  $1\text{H} \rightarrow 7\text{H}$  в 7-азаиндоле были рассчитаны нами квантово-химическим полуэмпирическим методом AM1 [92]. Было получено, что энタルпия активации  $\Delta H^\#$  и теплота реакции  $\Delta H$  равняются 83.6 и 69.8 кДж·моль<sup>-1</sup> соответственно. Следовательно, перегруппировка  $1\text{H} \rightarrow 7\text{H}$  в 7-азаиндоле является равновесным процессом, сдвинутым в сторону  $1\text{H}$ -формы.

К.Р.Баиз с сотр. [93] изучили влияние сопряжения на термодинамические характеристики основного и возбужденного состояний переноса протонов в 7-азаиндоле квантово-химическим неэмпирическим методом. Данные расчётов указывают, что расширенное сопряжение этой системы оказывает большое влияние на значение относительной энергии, требуемой для переноса протонов. Наблюдаемые различия энергий, главным образом, относятся к стабилизации таутомерных форм, с учётом низкой энергии резонанса и делокализации, а также избытка заряда реакционного центра.

#### 4. Нуклеотидные основания

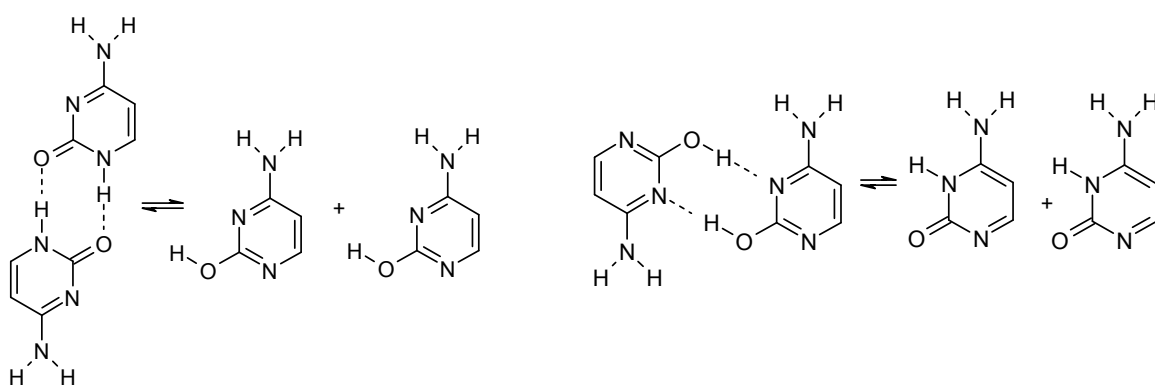
В 2001 году появилась статья узбеских учёных [94], в которой исследовались таутомерные процессы 2-оксипirimидинонов-4 квантово-химическим полуэмпирическим методом (AM1, PM3). Изучено влияние полярного растворителя на таутомерное равновесие форм **a-f** для соединений 1-3 в рамках модели точечных диполей. На основании рассчитанных значений относительной теплоты образования сделан вывод, что в газовой фазе и в растворе самой стабильной является форма **a**, следующей по стабильности во всех случаях является форма **c**. Таутомерная форма **3d** более стабильна, чем **3c**, только в растворе.

Мы считаем, что таутомерные превращения, приведенные в статье не совсем ясны, с точки зрения наглядности механизмов для каждой формы. Учитывая важность исследуемых молекул, которые представляют собой аналогов нуклеотидных оснований (урацил, при R=H и тимин при R=CH<sub>3</sub>) мы построили механизмы отдельных превращений, используя циклически-димерный механизм переноса протонов:



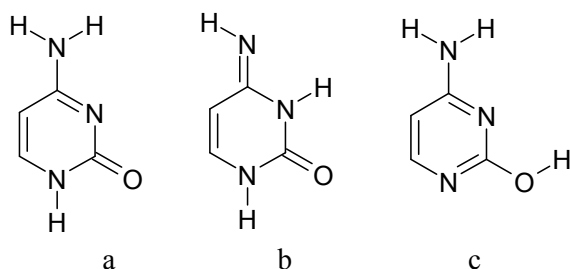
$R = H, CH_3, C_6H_5.$

Спустя несколько лет нами опубликована статья, которая посвящена выше упомянутому димерному механизму переноса протонов в шести таутомерных формах 4-амино-2-оксопиримидина, энергетические, электронные и структурные характеристики которых рассчитаны квантово-химическим полуэмпирическим методом AM1 [95]. Показано, что самым стабильным является 4-амино-2-оксо-1Н-пиримидин, т.е. цитозин (1). Таутомерное превращение может осуществляться по циклически-димерному механизму. Предлагается новая интерпретация превращения цитозина в 4-амино-2-оксо-3Н-пиримидин (2), как результат 1Н-3Н двухстадийного переноса протонов:



Полученные результаты в дальнейшем были обобщены для пиримидиновых нуклеотидных оснований цитозина, тимины и урацила с использованием квантово-химического метода теории функционала плотности (DFT) [96].

В работе Г.Фогарази [97] методом DFT исследовались три таутомерные формы цитозина:

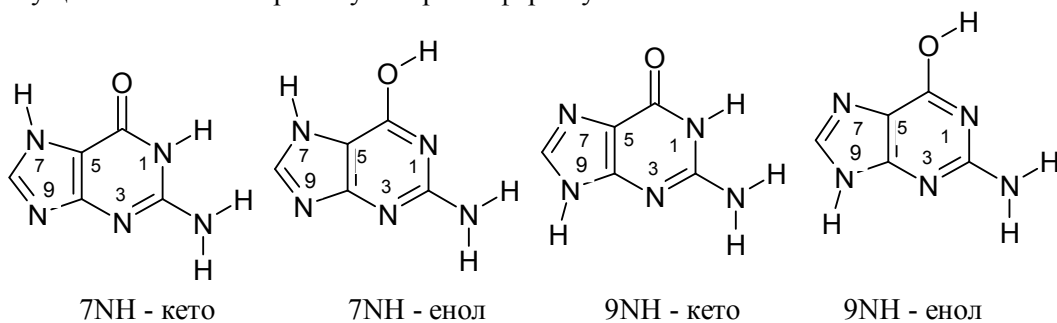


Согласно квантово-химическим расчётом свободной энергии амино-гидрокси таутомер (c) является самым стабильным. Амино-оксо (a) и имино-оксо (b) формы имеют почти одинаковые значения свободной энергии, что на 6.7 кДж·моль<sup>-1</sup> больше, чем энергия таутомера (c). Для сравнительного описания стабильности родственных соединений лучшим критерием может служить теплота образования ( $\Delta H$ ), чем свободная энергия Гиббса ( $\Delta G$ ), что может быть является причиной неожиданных результатов, полученных автором, так как в большинстве случаев енольная форма (c) менее стабильна, чем кетонная (a).

В другой, недавней статье Г.Фогарази [98] квантово-химическим неэмпирическим методом изучал таутомерное превращение цитозина в редкую иминную форму в присутствии молекул воды.

На основании расчётов высокого уровня сделан вывод в пользу синхронного механизма переноса протонов, обусловленного сильным взаимодействием между движениями двух атомов водорода.

М.Монс с сотр. [99] инфракрасным и ультрафиолетовым спектрометрическими методами установили существование четырёх таутомерных форм гуанина:



Каждой форме соответствует отдельная полоса поглощения в разных областях УФ и ИК спектра. В частности 7NH - кетонная форма поглощает в крайней ИК-области ( $405 \text{ см}^{-1}$ ), 7NH - енольная форма – в далёкой УФ-области ( $32864 \text{ см}^{-1}$ ), 9NH - кетонная – в далёкой ИК-области, а 9NH - енольная – в средней ИК-области. Предложенный метод может служить примером для достоверной идентификации отдельных таутомерных форм сложных молекулярных систем.

Изучая фотоионизационный спектр гуанина в области  $210 - 270 \text{ nm}$  А. Мартинез и А. Моусатома [100] обнаружили необычный таутомер, в результате переноса протона из пиримидинового на имидазольное кольцо.

А. Хворостов с сотр. [101] методом ИК матричной изоляции обнаружили УФ- индуцированную, исключительно усиленную оксо-тионную форму 2-тиоурацила.

В работе [102] приводятся результаты квантово-химического исследования методом функционала плотности 12 таутомеров аденина. С помощью вертикальной и адиабатической энергии ионизации всех таутомеров были определены различие в энергии между катион-радикалом и соответствующих нейтральных систем. Обсуждены значения существования таутомерных форм аденина для репликации в ДНК.

Г.Чен и Ш.Ли [103] неэмпирическим методом квантовой химии рассчитали энергии возбуждения для шести таутомеров гуанина. Ближний - УФ резонансный спектр ионизации с двумя фотонами

указывает на существование двух редких 7Н-оксо-имино и 7Н/9Н-оксо-амино таутомеров. Расчётные данные подтверждают результаты эксперимента.

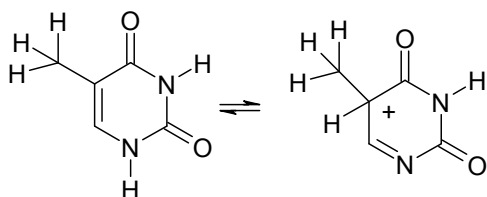
В работе научной группы Дж.Лесцзинского [104] описывается исследование влияния метилирования на таутомерное равновесие нуклеотидных оснований. Отмечается, что в результате внутримолекулярного переноса протона могут образоваться минорные таутомеры, а присоединение метильных групп способствует стабилизации этих редких таутомеров. На основании определения многих метилированных участков предложены возможные механизмы изменения мутационных процессов.

М.Кабела и П.Гобза [105] изучали взаимодействие цитозина, гуанина, тимина и аденина с катионами металлов  $\text{Na}^+$ ,  $\text{Mg}^{2+}$  и  $\text{Zn}^{2+}$ . Были рассмотрены все существующие таутомеры цитозина, тимина и аденина и восемь более стабильных таутомеров гуанина. Для цитозина каноническая кето/амино форма с катионами имеет глобальный минимум. Для гуанина, тимина и аденина канонические структуры в присутствии катионов являются относительно стабильными, чем комплексы редких таутомеров. Сделано заключение, что взаимодействие катионов с цитозином в газовой фазе не способствует смещению изменения канонической формы в сторону редких таутомеров. В случае изолированного гуанина равновесие канонической формы с редкими таутомерами может быть найдено, а для изолированного аденина и тимина присутствие редких таутомеров более вероятно.

В.Феиер с сотр. [106] проводили теоретический анализ результатов измерений спектров фотоэмиссии кислорода, азота и углерода в состоянии пара для выявления таутомеров цитозина и урацила. Вычисления точно предсказывают относительные энергии основного состояния. Единственный таутомер урацила наблюдается при температуре 450 К, вызывая относительно простой спектр. При 450 К наблюдаются три таутомера цитозина, один из которых имеет два ротамера.

В работе [107] приведены результаты изучения переноса протона в присутствии воды в процессе оксо-гидроксо таутомерного превращения 5-фторурацила. Глубокое отличие между изолированным и гидрированным 5-фторурацилом указывает на высокий барьер таутомеризации. При отсутствии воды процесс переноса протона протекает очень медленно. Присоединение молекул воды вызывает уменьшение барьера в 2.3 раза, что делает процесс намного быстрым. Спектр флуоресценции 5-фторурацила в воде подтверждает существование гидрокси-таутомера.

К.Мазуркевич с сотр. [108] с помощью изучения электронной структуры тимина нашли очень редкий таутомер, который представляет собой как необычно стабильный анион. Это есть имино-оксо таутомер, в которой N1H протон перенесён к C5 атому углерода.

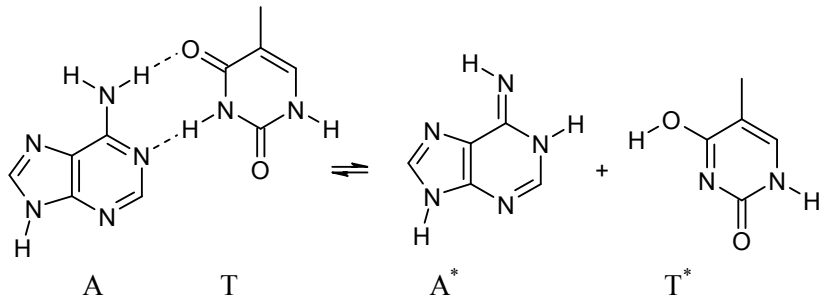


Другой анионный таутомер, по мнению авторов, может образоваться в результате переноса протона N3H к C5 атому. Механизм образования анионных таутомеров рассматривается как безбарьерный перенос протонов. Однако, безбарьерный перенос N3H протона на атом углерода C5 нам кажется маловероятным, так как в этом случае без образования енольной формы в качестве промежуточного продукта не обойтись. Описанные валентно-анионные таутомеры тимина весьма интересны, с точки зрения их мутагенных свойств.

Очень важные, с точки зрения определения количества редких таутомеров нуклеотидных оснований, данные приводятся в статье Г.Зигела [109], в которой суммированы макрокислотные константы отдельных производных аденина, гуанина и гипоксантина. Показано, как позволяет применение соответствующих констант, например для 7,9-диметиладенина, количественно описать кислотные свойства  $(\text{N}1)\text{H}^{0/+}$  и  $(\text{N}7)\text{H}^+$  участков через микрокислотные константы и как использовать эту информацию для вычисления отношения таутомеров относительно монопротонированных участков, таких как N7-N1·H против N1-N7·H. Количественная оценка кислотно-основных свойств

имеет большое значение для нуклеотидных оснований, включающих определённые таутомеры в малых концентрациях, которые вызывают рост мутации.

В 2002 году мы опубликовали статью [110], в которой таутомерные вклады пары аденина-тимина предлагаются оценивать через констант лактам-лактимного  $K_T(\text{лл})$  и амин-иминного  $K_T(\text{ай})$ -таутомерных равновесий:



где А и А\* лактамная и лактимная и Т и Т\* аминная и иминная формы аденина и тимины.

Кроме того, эти константы мы представили в виде функции порядков разрывающегося и образовавшегося связей в процессе переноса протонов:

$$K_T = f(P_{ij}, P_{kl})$$

Далее, используя гипотезу П. Лёвдина [111] и В. Зенгера [112], согласно которой частоту мутации можно оценить произведением концентраций редких таутомерных форм нуклеотидных оснований, мы, взамен этих концентраций, определения которых связана с экспериментальными проблемами, использовали предложенные константы равновесия. Следовательно, частоту мутации можно выразить через произведения констант таутомерного равновесия:

$$\nu = K_T(\text{лл}) \cdot K_T(\text{ай})$$

Дж.Жоу с сотр. [113] разработали методы препаративного получения гуанина путём термического испарения и лазерным облучением в ультрафиолетовой и видимой областях. В результате проведённого эксперимента, а также применения метода масс спектрометрии и расчётов вертикальной и адиабатической энергий были идентифицированы восемь таутомеров гуанина.

Совсем недавно, учёные украинской научной школы В. И. Данилова, совместно с шотландскими и японскими авторами опубликовали очень интересную статью [114], которая посвящена исследованию механизма мутагенного действия 5-бромурицила в кластере, состоящего из 50 молекул воды. Было отмечено, что в газовой фазе и в растворе 5-бромурицил в основном имеет кето форму, однако, в присутствии водного кластера он переходит в редкую енольную таутомерную форму. Этот эффект, по мнению авторов, обусловлен водно-водным взаимодействием в кластере вокруг 5-бромурицила и должен быть учтённым при квантово-химических расчетах таутомерных превращений.

В заключении надо отметить, что многообразие энергетических, электронных и структурных свойств таутомерных процессов, встречавшихся в азотсодержащих гетероциклах, не позволяет сделать общие выводы канонического характера, однако количественное исследование отдельных таутомерных равновесий квантово-химическими, спектрометрическими и другими современными физико-химическими методами может дать надёжные данные для моделирования и планирования тонких и целенаправленных химических и биохимических процессов. Особенный интерес представляет исследование влияния среды на таутомерные процессы путём построения континуума точечных диполей растворителей с разными параметрами полярности.

## ლიტერატურა - REFERENCES – ЛИТЕРАТУРА

1. Advances in Heterocyclic Chemistry. Suppl.1.(Eds. A. R. Katritzky, A. J. Boulton) Academic Press, New York, 1976.
2. Катрицкий А. Р. Успехи химии, 1972, т.41, с.700.
3. Шайнян Б. А., Мирскова А. Н., Успехи химии, 1979, т. 48, с.201.
4. Шейнкер Ю. Н., Изв. СО АН ССР. Сер. хим. наук, 1980, т. 2, с.37.

5. Кереселидзе Дж.А., Заркуа Т.Ш., Кикалишвили Т.Дж., Чургулия Э. Дж, Макаридзе М.С. Успехи химии, 2002, т.71, с.1120.
6. Кереселидзе Дж.А., Ж. физ. химии, 1998, т.72, с.144.
7. Douhal A., Kim S. K., Zewail A., Nature (London) 1995, v.378, p.260.
8. Chachisvilis M., Fiebig T., Douhal A., and Zewail A., J. Phys. Chem., A.,1998,v.102, p.669.
9. Fiebig T., Chachisvilis M., Monger M., and Zewail A., J. Phys. Chem., A, 1999, v.103, p.7419.
10. Nesmeyanov A. N., Zavelovich E. B, Babin V. N., Kochetkova N. S., Fedin E. I. Tetrahedron, 1955, v.31, p.1461.
11. 11.Борисов. Ю. А., Воробьева Н. П., Абронин И. А., . Коломинец А. Ф, Изв. АН СССР. Сер. хим., 1998, с.2779.,
12. Федоров Л. А., Саварино П., Вискарди Г., Ребров А. И., Борни Э., Изв.АН Сер.хим., 1992, с.299.
13. Hiekman B. S., Maskal M., Titman J. J., Wood I. G., J. Am. Chem. Soc., 1999, v.121, p.11486.
14. Foces-Foces C., Llamas-Saiz LKlaramunt., R.M., Lopez C., Elguero J., J. Chem. Soc., Chem. Comunn., 1994, p.1143.
15. Lledos A., Bertran J., Tetrahedron. Leet., 1981, v. 22, p.775.
16. Clavrier. M., Gilleresz J., Dubois J.-E., J. Chem. Soc., Perkin Trans., 1983, v. 2, p.979.
17. Mirek J.. Sugua A., J. Mol. Struct.(THEOCHEM), 1981, v.86, p.85.
18. Schlegel H. B., Gund P., Fluder E. M, J. Am. Chem. Soc., 1982, v.104, p.5347.
19. Field M. J., Hillier I. H., J. Chem. Soc., Perkin Trans., 1987, v. 2, p.617.
20. Fabian W. H.. J. Comput. Chem.,1991, v.12, p.17.
21. Szafran M., Karelson M. M., Katritzky A. R., Zerner M. C., J. Comput. Chem.,1993, v.14, p.371.
22. Кереселидзе Дж. А., Заркуа Т. Ш., Хим. гетероцикл. соед., 2000, с.1342.
23. Smets J., Meas G., Chem. Phys. Lett., 1991, v.187, p.532.
24. Ha. T. K., Keller H.-J., J. Phys. Chem., A, 1999, v.103, p.6612.
25. Civcir P.U., J. Mol. Struct. (THEOCHEM) 2000, v.532, p.157.
26. Cieplak P., Geller M., J. Mol. Struct., 1985, v.122, p.247.
27. Aruna S., Shanmugan G., Indian J. Chem., 1986, A25, p.107.
28. Norinder U., J. Mol. Struct.(THEOCHEM), 1987, v.151, p.259.
29. Katritzky A. R, J. Chem. Soc., Perkin Trans. 1989, v.2, p.10.
30. Destxhe A., Stems J., Adamovicz., L., Meas G., J. Phys. Chem., 1994, v.98, p.1506.
31. Kobaiashi R., J. Phys. Chem., 1998, v.102, p.10813.
32. Morpurgo S., Bossa M., Morpurgo G. O., Adv. Quant. Chem.,1999, p.169.
33. Civcir P. U., J. Mol. Struct. (THEOCHEM), 2000, v. 532, p.157.
34. Aleman C., J. Chem. Phys., 2000, v.253, p.13.
35. Les S., Ortega-Blake I., Int. J. Quant. Chem., 1985, v.27, p.567.
36. Lin J., Peng C., Akiyama I., Li K., Lee L. K., J. Phys. Chem., 1980, v.84, p.1006.
37. Ladajka Z., Person W. B., Morocuma K., J. Mol. Struct.(THEOCHEM), 1986, v.135, p.253.
38. Gould I. R., Hiller I. H.. Chem. Phys. Lett., 1989, v.161, p.185.
39. Sabio. M., Topiol S., J. Phys. Chem., 1990, v.94, p.1366.
40. Pivovarov V. B., Reva I .D., Stepanian S. G., Sheina G. G., Blagoi Yu. P., Biofisika,1995, v.40, p.1178.
41. Stewart M. J., Leszczynski J., J. Phys. Chem., 1997, v.101, p.4753.
42. Gorb L., Leszczynski J., J. Am. Chem. Soc., 1998, v. 120, p.5024.
43. Mishra S. K., Shukla M. K., Mishra P. S, Spectrochim.Acta, Part 2000, 56A, p.1355.
44. Florian J., Leszczynski J., J. Am. Chem. Soc.,1996, v.118, p.3010.
45. Stacey D. W., Russell J., J.Phys. Chem.,1998, v. 102, p.9331.
46. Olira J. B. A., Rodrigues-Santiago L., Sodupe M., J. Am. Chem. Soc., 1998, v.120, p.8159.
47. Zhanpeisov N., Sponer J., Leszczynski J., J. Phys. Chem., 1998, v.102, p.10374.
48. Guerra C. F., Bickelhaupt M., Sijders J. G., and Bearends E .J., J. Am. Chem. Soc., 2000, v.122, p.4117.
49. Famular A., Moroni F., Sironi M., Raimond M., Comput. Chem., 2000, v.24, p.341.
50. Folmer D. E., Wisniewski E. S., and Castleman A. W., Proc. Nat. Acad.Sci., 1999, v.96, p.12980.
51. Chou P.-T., Yu W.-Sh.,Chen Y-Ch., Wei Ch-Y., Martinez Sh.-S., J.Am.Chem.Soc.,1998, v.120, p.12927.
52. Guallar V., Batista V. S., and Miller W. H., J. Chem. Phys., 1999, v.110, p.9922.
53. Suzuki T., Okuiama U., and Ichimura T., J. Phys. Chem., A, 1997, v.101, 7047.
54. Folmer D. F., Wisniewski E .S., and Castleman A. W., J. Phys. Chem., A, 2000, v.104, p.10545.

55. Zimmermann H., Z. Electrochim., 1961, v. 65, p.821.
56. Garsia M. A., Lopez C., Peters O., Claramunt R. M., Klein O., Schagen D., Libach H.-H., C. Foces-Foces, J. Elguero, Magn. Reson.Chem., 2000, v. 38, p.604.
57. Claramunt R.M., Lopez C., . Garsia M. A, Otero M. D., Toress M. R., Pinilla E., Alarcon S. H., Alkorta I., Elguero J., New J. Chem., 2001, v. 25, p.1061.
58. Кикалишвили Т. Дж., Кереселидзе Дж. А., Хим. Ж. Грузии, 2002, т.2, с.135.
59. Кикалишвили Т. Дж., Кереселидзе Дж. А., Хим. гетероцикп. соед. 2002, т.9, с.1225.
60. Castaneda J. P., Denisov G. S, Cucherov S. Yu., Schreiber V. M., and Shurukhina A.V., J. Mol. Struct., 2003, v.660, p.25.
61. Holschbach M. H., Sanz D., Claramunt R. M., Infantes L., Motherwell S., Raithby P. R., Jimenj M. L., Herrero D., Alkorta I., Jagerovic N., Elguero J., J. Org. Chem., 2003, v.68, p.8831.
62. Jaronczyk M., Dobrovolski J. Cz., and Mazurek A. P., J. Mol. Struct.(THEOCHEM), 2004, v.677, p.85.
63. Zhu. H.-J., Ren Y., Chu S.-Y.. J. Mol. Struct. (THEOCHEM), 2005, v.730, p.199.
64. Trifonov R.E., Alkorta I., Ostrovski V.F.and Elguero J., J.Mol.Struct.(THEOCHEM), 2004, v.668, p.123.
65. Alkorta I., Elguero J., J. Phys. Org. Chem., 2005, v.18, p.719.
66. Klaramunt R. M., Santa Maria M. D., Infantes L., Calo F.H., and J. Elguero, J. Chem. Soc., Perkin Trans. 2002, v.2, p.564.
67. Alkorta I., and Elguero J., Structural Chemistry, 2005, v.16, p.507.
68. Og retir C. and Kaypak N. F., J. Mol. Struct.(THEOCHEM), 2002, v.583, p.137.
69. Alkorta I., Elguero J., Liebman J., Structural Chemistry, 2006, v.17, p.439.
70. Кикалишвили Т.Дж., Кереселидзе Дж.А., Пачулия З.В.,Чургулиა Э.Дж, Заркуа Т.Ш., Хим. Ж. Грузии, 2006, v.6, p.676.
71. Paul K.W., Hurley M.M. and Irikura K.K., J. Phys. Chem. A, 2009, v.113, p.2483.
72. Penedo J. C., Lustres J. L. P., Lema I. G., Rodriguez M. C. R., Mosquera M., and Rodgrigues-Prieto F., J. Phys. Chem. A, 2004, v.108, p.6117.
73. Кереселидзе Дж. А., Заркуа Т. Ш., Хим. гетероцикл, соед, 2000, с.1342.
74. Alkorta I., and Elguero J., J. Org. Chem., 2002, v.67, p.1515.
75. Abdula H.I., and El-Bermani M. F., Spectrochim. Acta, A, 2001, v.57, p.2659.
76. Borst D.R., Roscioli J. R., Pratt D.V., Florio G. M., Zwier T. S., Müller A., Leutwyler S., Chemical Physics, 2002, v.283, p.341.
77. Ishikawa H., Iwata K.,and Hamaguchi H., J. Phys. Chem. A, 2002, v.106, p.2305.
78. Ladjarafi A., Meghezzi H., and Boucekine A., J. Mol. Struct.:THEOCHEM, 709, 129 (2004).
79. Tanjaroon Ch., Subramanian R., and Kukolich S. G., J. Phys. Chem.A, 2004, v.108, p.9531.
80. Fu A., Li H., Du D., and Zhou Zh., J. Phys. Chem. A, 2005, v.109, p.1468.
81. Tsuchida N., and Yamabe Sh., J. Phys. Cem. A, 2005, v.109, p.1974.
82. Allegretti P.E., Schiavoni M. M., and Furlong J. J. P., World Journal of Chemistry, 2007, v.2 p.25.
83. Folmer D. E., Wisniewski E. S. and Castleman A. W., Chem. Phys. Lett., 2000, v.318, p.637.
84. Folmer D. E., Stairs J.R., and Castleman A.W., J. Phys. Chem. A, 2000, v.104, p.10545.
85. Smedarchina Z., Fernandes-Ramos A., Gorb L., Leszczynski J., J. Chem. Phys. 2000, v.112, p.566.
86. Fernandez-Ramos A., Siebrand W., and Zgierski M. Z., J.Chem.Phys., 2001, v.114, p.7518.
87. Seranno-Andres L., Merchan M., Borin A. C., J. Stalring, Int. J. Quant. Chem., 2001, v.84, p.181.
88. Catalan J., and Kasha M., J. Phys. Chem.A, 104, 2000, p.10812.
89. Catalan J., Carlos del Valle J., and Kasha M., Proc. Natl. Acad. Sci. USA, 1999, v. 96, p.8338.
90. Douhal A., Moreno M., and Lluch J. M., Chem. Phys. Lett., 2000, v.324, p.81.
91. Carlos del Valle J., Kasha M., Catalan J., Int. J. Quant. Chem, 2000, v.77, p.118.
92. Кереселидзе Дж. А., Пачулия З. В., Заркуа Т. Ш.. Хим. гетероцикл. соед., 2006, с.1062.
93. Baiz C. R., Ledford S. J., Kubarych K. J. and Dunietz B. D., J. Phys. Chem.A, 2009, v.113, p.4862.
94. Мамараҳманов М. Х., Аширматов М. А., Шахидоятов Х. М., Хим. гетероцикл, соед.,2001, с.1082.
95. Чургулиა Э. Дж., Кереселидзе Дж. А., Хим. гетероцикл, соед., 2005, с.564.
96. Кереселидзе Дж. А., Пачулия З. В., Заркуа Т. Ш., Хим. гетероцикл, соед., 2009, 856.
97. Fogarasi G., J. Phys. Chem. A, 2002, v.106, p.381.
98. Fogarasi G., Chemical Physics, 2008, v.349, p.204.
99. Mons M., Dimicoli I., Piuzzi F., Tardivel B., and Elhanine M., J. Phys. Chem. A, 2002, v.106, p.5088.
100. Martinez A. and Moussatova A., J. Phys. Chem. A, 2003, v.107, p.6464.

101. Khvorostov A., Lapinski L., Rostkowska H., Nowak M. J. J. Phys. Chem., A, 2005, v.109, p.7700.
102. Guerra C. F., Bickelhaupt F. M., Saha S., and Wang F., J. Phys. Chem. A, 2006, v.110, p.4012.
103. Chen H., Li Sh., J. Phys. Chem.A, 2006, v.110, p.12360.
104. Forde G. K., Forde A. E., Hill G., Ford A., Leszczynsky J., J. Phys. Chem. B, 2006, v.110, p.15565.
105. Kabela M., and Hobza P., J. Phys. Chem. B, 2006, v.110, p.14515.
106. Feier V., Plecan O., Richter R., Coreno M., Vall-llosera G., Prince K.C., Trofimov A. B., Zaytceva I.L., Moskovskaya T. E., Gromov E.V. and Schirmer J., J. Phys. Chem.A, 2009 v.113, p.5736.
107. Markova N., Enchev V., and Timtcheva I., J. Phys. Chem. A, 2005, v.109, p.1981.
108. Mazurkevich K., Bachorz R. A., Gutowski M., and Rak J., J. Phys. Chem.B, 2006, v.110, 24696.
109. Sigel H., Pure Appl. Chem., 2004, v.76, p.1869.
110. Kereselidze J. and Churgulia E., J.Biol. Phys. Chem. 2002, v.2, p.95.
111. Lövdin P., Adv. Quant.Chem., 1965, v.2, p.213.
112. Зенгер В., Принципы структурной организации нуклейновых кислот. Мир, М.:1987.
113. Zhou J., Kostko O., Nicolas Ch., Tang X., Belau L., de Vries M.S, Ahmed M. J. Phys.Chem. A, 2009, v.113, p.4829.
114. Danilov V. I., van Mourik T., Kurita N., Wakabayashi H., Tsukamoto T., and Hovorun D. N., J. Phys. Chem. A, **113**, 2233 (2009).

**ზოგიერთი აზოფშემცველი ჰეტეროციკლის ფაუტომერული გარდაშვების  
ახალი მონაცემები**

უწმენდ კერძებლიერ  
ივანე ჯავახიშვილის თბილისის სახელმწიფო უნივერსიტეტი

**რეზიუმე**

შესრულებულია აზოლებში, პირიდინებში, 7-აზაინდოლებში და ნუკლეოტიდურ ფუმებში ტაუტომერული გარდაქმნების ბოლო წლების ლიტერატურული და საკუთარი მონაცემების ანალიზი. განხილულია ცალკეული ტაუტომერული ფორმის გამოვლენის შესაძლებლობა, რომელთაც გააჩნია პრაქტიკული მნიშვნელობა ზოგიერთი ქიმიური და ბიოქიმიური პროცესების რაოდენობრივი აღწერისათვის.

**NEW DATA OF THE TAUTOMERIC TRANSFORMATIONS OF SOME NITROGEN  
CONTAINING HETEROCYCLES**

Jumber Kereselidze  
*Ivane Javakhishvili Tbilisi State University*

**SUMMARY**

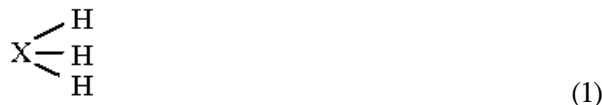
The Literary and own data of last years of the tautomeric transformations of azoles, pyridines, 7-azaindoles and nucleotides bases are analized. The opportunities of revealing separate of the tautomeric forms having practical importance for the quantitative description for some chemical and biochemical processes are discussed.

**დარიშხანის ძველგულის ელემენტების მათემატიკურ-ქიმიური გამოკვლევა**

გიორგი ჩახავა, მაია რუსია, ლევან ლობჟანიძე, მიხეილ გვერდწითელი  
ივანე ჯავახიშვილის სახელობის თბილისის სახელმწიფო უნივერსიტეტი

მოლეკულებისა და მათი ქიმიური გარდაქმნების შესასწავლად მათემატიკურ ქიმიაში წარმატებით გამოიყენება მოლეკულური დესკრიპტორები (ტოპოლოგიური ინდექსები) [1-3]. მოლეკულური დესკრიპტორების დიდი ნაწილი აგებულია მოლეკულური გრაფების თანაზიარობის მატრიცებისა და მათი მოდიფიცირებული სახესხვაობების ბაზაზე [4]. რნბ-მატრიცა მიეკუთვნება ამ კლასს. მისი დიაგონალური ელემენტებია მოლეკულაში შემავალი ქიმიური ელემენტების რიგობრივი ნომრები, არადია-გონალური ელემენტებია ქიმიურ ბმათა ჯერადობები [5].

ჩატარებულია დარიშხანის ქვეჯგუფის ელემენტთა (As, Sb, Bi) პიდრიდების მათემატიკურ-ქიმიური გამოკვლევა რნბ-მატრიცების მეთოდის ფარგლებში. ამ მოლეკულათა ზოგადი ფორმულაა:



სადაც,  $\text{X} = \text{As}, \text{Sb}, \text{Bi}$ . შესაბამის რნბ-მატრიცას გააჩნია სახე:

$$\left| \begin{array}{cccc} Z_{\text{X}} & 1 & 1 & 1 \\ 1 & 1 & 0 & 0 \\ 1 & 0 & 1 & 0 \\ 1 & 0 & 0 & 1 \end{array} \right| \quad (2)$$

ამ მატრიცის დეტერმინანტი ტოლია:

$$\Delta_{\text{რნბ}} = Z_{\text{X}} - 3 \quad (3)$$

ცხრილში მოტანილია  $\lg(\Delta_{\text{რნბ}})$  და  $\Delta H_{f,298}^0$  დარიშხანის ქვეჯგუფის ელემენტთა პიდრიდებისათვის [6].

$\text{H}_3\text{X}$	$\text{H}_3\text{As}$	$\text{H}_3\text{Sb}$	$\text{H}_3\text{Bi}$
$\lg(\Delta_{\text{რნბ}})$	1,48	1,68	1,90
$\Delta H_{f,298}^0, \text{ кДж/მოლი}$	66,4	145	(234)

აგებულია კორელაციური განტოლება:  $\Delta H_{f,298}^0 = 393,0 \lg(\Delta_{\text{რნბ}}) - 515,2$  (4)

$\Delta H_{f,298}^0$   $\text{H}_3\text{Bi}$ -სათვის გამოთვლილია თეორიულად, (4) კორელაციური განტოლების გამოყენებით.

**ლიტერატურა – REFERENCES – ЛИТЕРАТУРА**

1. გ. გამზიანი, ნ. კობახიძე, მ. გვერდწითელი. ზოგი რამ ტოპოლოგიური ინდექსების შესახებ. თბილისი, 1995.
2. გ. ლეკიშვილი, ლ. ასათიანი. მოლეკულური დისკრიპტორები ელემენტორგანულ ნაერთთა ქიმიაში. თბილისი, 1998.
3. P.R. Rurvay. Chemical Applications of Topology and Graph Theory. Amsterdam, 1983.
4. M. Gverdtsiteli, G. Gamziani, I. Gverdtsiteli. The contiguity matrices of molecular graphs and their modifications. Tbilisi, 1996.

5. Сидамонидзе Н.Н., Купатадзе К.Т., Гвердцители М.И. Теоретическое исследование корреляции „структурно-свойства” в рамках методов ПНС-, квази-ПНС и ЭП-матриц. Прикладная физика, 2009, №6, с. 36-39.
6. Akhmetov N. General and Inorganic Chemistry. Moscow, 1983, p. 385.
7. Kupatadze K., Lobzhanidze T., Gverdtsiteli M. Algebraic-chemical investigation of some organic molecules and their transformations. Tbilisi, 2007.

**MATHEMATICAL-CHEMICAL INVESTIGATION OF THE HYDRIDES OF THE ELEMENTS  
OF ARSENIC SUBGROUP**

Giordi Chachava, Maia Rusia, Levan Lobdjanidze, Mikheil Gverdtsiteli  
*Ivane Javakhishvili Tbilisi State University*

**SUMMARY**

Correlation equation of “structure-properties” type is constructed for the hydrides of the elements of arsenic subgroup within the scope of ANB-matrices method. The value of  $\Delta H_{f,298}^0$  for  $H_3Bi$  was calculated theoretically.

**МАТЕМАТИКО-ХИМИЧЕСКОЕ ИССЛЕДОВАНИЕ ГИДРИДОВ ЭЛЕМЕНТОВ  
ПОДГРУППЫ МЫШЬЯКА**

Г.Н.Чачава, М.Ш.Русия, Л.В.Лобжанидзе, М.И.Гвердцители  
*Тбилисский государственный университет им. Ив. Джавахишвили*

**РЕЗЮМЕ**

Построено корреляционное уравнение типа “структурно-свойства” для гидридов элементов подгруппы мышьяка в рамках метода ПНС-матриц. Теоретически вычислены значения  $\Delta H_{\text{обр.},298}^0$  для  $H_3Bi$ .

**ასტატის პილიტის ფარმაცეტის ჯიბსის თავისუფალი მემკვიდრეობის  
მათემატიკურ-შიმიური გამოთვლა**

გიორგი ნ. ჩახავა, მიხეილ გვერდწითელი, გიორგი გ. ჩახავა  
ივანე ჯავახიშვილის სახელობის თბილისის სახელმწიფო უნივერსიტეტი

ასტატი ბუნებაში არ არსებობს, მისი ხელოვნურად მიღებული ყველაზე მდგრადი იზოტოპის  $^{211}\text{As}$  ნახევარდაშლის პერიოდია 8,3 საათი [1]. რადგან ასტატი ვერ მიღება საკმაო რაოდენობით, მისი ქიმიური ნაერთების ექსპერიმენტულად შესწავლა შეუძლებელია. შესაძლებელია მათი ამა თუ იმ მახასიათებლის მხოლოდ თეორიულად შეფასება.

ჩვენ ჩავატარეთ HAt-ის წარმოქმნის ჯიბსის თავისუფალი ენერგიის მათემატიკურ-ქიმიური გამოთვლა რნბ-მატრიცების მეთოდის ფარგლებში [2].

რნბ-მატრიცა მიეკუთვნება მოლეკულური გრაფის თანაზიარობის მატრიცის მოდიფიცირებულ სახესხვაობას. მისი დიაგონალური ელემენტებია მოლეკულაში შემავალი ქიმიური ელემენტების რიგობრივი ნომრები, არადიაგონალური ელემენტებია ქიმიური ბმების ჯერადობები.

ABC მოლეკულისათვის რნბ-მატრიცას გააჩნია სახე:

$$\begin{vmatrix} Z_A & \Delta_{AB} & \Delta_{AC} \\ \Delta_{AB} & Z_B & \Delta_{BC} \\ \Delta_{AC} & \Delta_{BC} & Z_C \end{vmatrix} \quad (1)$$

სადაც,  $Z_A, Z_B, Z_C - A, B, C$  ქიმიური ელემენტების რიგობრივი ნომრებია,  $\Delta_{AB}, \Delta_{AC}, \Delta_{BC} - A \sim B, A \sim C$  და  $B \sim C$  ბმების ჯერადობები.

ჰალოგენულბადების ზოგადი ფორმულაა:

$$H - X \quad (2)$$

სადაც,  $X \equiv F, Cl, Br, I, At$ . შესაბამის რნბ-მატრიცას გააჩნია სახე:

$$\begin{vmatrix} Z_X & 1 \\ 1 & 1 \end{vmatrix} \quad (3)$$

ცხრილში მოცემულია  $lg(\Delta_{AB})$  და  $\Delta G_{f,298}^0$  ჰალოგენულბადებისათვის [1].

ნაერთი	HF	HCl	HBr	HI	Hat
$lg(\Delta_{AB})$	0,95	1,20	1,53	1,72	1,92
$\Delta G_{f,298}^0$ , კკ/მოლი	-273	-95	-53	1,8	(39)

კომპიუტერზე უმცირესი კვადრატების მეთოდის გამოყენებით აგებულია კორელაციური განტოლება:

$$\Delta G_{f,298}^0 = 186,1 \lg(\Delta_{AB}) - 318,3 \quad (4)$$

გამოთვლებმა აჩვენა, რომ კორელაციის  $r$  კოეფიციენტი ტოლია: 0,989. ამგვარად, ჯაფეს კრიტერიუმით [4], კორელაცია დამაკმაყოფილებელია.

(4) ფორმულის გამოყენებით გამოთვლილია  $\Delta G_{f,298}^0$ -ის სიდიდე ტ-სათვის. შედეგი მოტანილია ცხრილში (ფრჩხილებში).

---

## ლიტერატურა – REFERENCES – ЛИТЕРАТУРА

1. Akhmetov N. General and Inorganic Chemistry. – Moscow, Mir, 1983.
2. Gverdtsiteli M., Gamziani G., Gverdtsiteli I. The Contiguity Matrices of Molecular Graphs and their Modifications. –Tbilisi, Tbilisi University Press. 1996.
3. Сидамонидзе Н.Н., Купатадзе К.Т., Гвердцители М.И. Теоретическое исследование корреляции „структурно-свойства” в рамках методов ПНС-, квази-ПНС и ЭП-матриц. Прикладная физика, 2009, №6, сс. 36-39.
4. გ. გვერდწითელი. ფიზიკური ორგანული ქმითს რჩეული თავები. – თბილისი, თსუ გამომცემლობა, 1982..

### MATHEMATICAL-CHEMICAL CALCULATION OF GIBBS' FREE ENERGY OF FORMATION FOR ASTATINE HYDRIDE

Giordi N. Chachava, Mikheil Gverdtsiteli, Giordi G. Chachava,  
*Ivane Javakhishvili Tbilisi State University*

#### SUMMARY

Gibbs' free energy of formation for astatine hydride was calculated within the scope of ANB-matrices method. Correlation equation was derived and investigated. Correlation is satisfactory.

**Key words:** astatine hydride, Gibbs' free energy of formation, ANB-matrices method.

### МАТЕМАТИКО-ХИМИЧЕСКОЕ ВЫЧИСЛЕНИЕ СВОБОДНОЙ ЭНЕРГИИ ОБРАЗОВАНИЯ ГИББСА ДЛЯ ГИДРИДА АСТАТА

Г.Н.Чачава, М.И.Гвердцители, Г. Г.Чачава  
*Тбилисский государственный университет им. Ив. Джавахишвили*

#### РЕЗЮМЕ

Свободная энергия образования Гиббса для гидрида астата вычислена в рамках метода ПНС-матриц. Построено корреляционное уравнение. Корреляция удовлетворительна.

## მათემატიკური ძიმია

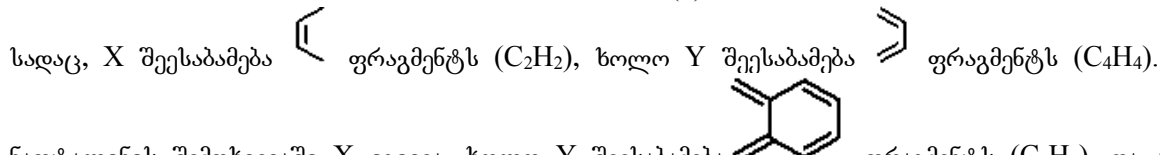
მათემატიკური ძიმია  
მათემატიკური გამოყენების სახელობის თანაზღადების მათემატიკურ-  
სიმიზრი გამოკვლევა

მარინე ქარჩხაძე, ნუნუ ოვსიანიკოვა, მიხეილ გვერდწითელი  
უკანე ჯავახიშვილის სახელობის თანაზღადების სახელმწიფო უნივერსიტეტი

მოლეკულებისა და მათი ქიმიური გარდაქმნების შესასწავლად მათემატიკურ ქიმიაში ფართოდ გამოიყენება ტოპოლოგიური ინდექსები (მოლეკულური დისკრიპტორები) [1-2]. ამ ინდექსთა დიდი ნაწილი აგებულია მოლეკულური გრაფების თანაზღადების მატრიცებისა და მათი მოდიფიცირებული სახესხვაობების გამოყენებით [3].

ჩატარებულია წრფივად კონდენსირებული არომატული ნაერთების მათემატიკურ-ქიმიური გამოკვლევა ეწ. B-მატრიცების (ბლოკ-მატრიცების) გამოყენებით. ბენზოლის მოდელი B-მატრიცების მიღობის ფარგლებში ასეთია:

$$X = Y \quad (1)$$



ნაფტალინის შემთხვევაში X იგივეა, ხოლო Y შეესაბამება ფრაგმენტს ( $C_8H_6$ ), და ა.შ.

B-მატრიცის დიაგონალური ელემენტებია ცალკეულ ფრაგმენტები შემავალი ქიმიური ელემენტების ატომური ნომრების ჯამი, არადიაგონალური – ბმების რიგი (მოდელში). ამგვარად, ბენზოლის შესაბამის B-მატრიცას გააჩნია სახე:

$$\begin{vmatrix} Z_X & 2 \\ 2 & Z_Y \end{vmatrix} \quad (2)$$

ცხრილში მოტანილია IgB, IgK და A (ლოკალიზაციის ენერგია) ზოგიერთი წრფივად კონდენსირებული არომატული ნახშირწყალბადისათვის.

IgB, IgK და A წრფივად კონდენსირებული არომატული ნახშირწყალბადისათვის

ნაერთი	IgB	IgK [4]	A (კვ) [4]
ბენზოლი	2,59	-5,6	25,715
ნაფტალინი	2,88	0	24,643
ანტრაცენი	3,06	8,1	23,502
ტეტრაცენი	3,17	9,8	23,076
პენტრაცენი*	3,22	(11,4)	(22,806)

უმცირესი კვადრატების მეთოდის გამოყენებით კომპიუტერზე აგებულია ორი კორელაციური განტოლება:

$$\text{lgK} = 33,8 \text{ lgB} - 97,3 \quad (3)$$

$$A = -5,403 \text{ lgB} + 40,204 \quad (4)$$

კორელაციის  $r$  კოეფიციენტები, შესაბამისად ტოლია: 0,987; 0,988. ამგვარად, ჯაფეს კრიტერიუმის მიხედვით [5], კორელაციები დამატებულებელია.

\* ფრჩხილებში მოცემული IgK-ს და A-ს მნიშვნელობები პენტრაცენისათვის გამოთვლილია (3) და (4) ფორმულების საფუძველზე

**ლიტერატურა – REFERENCES – ЛИТЕРАТУРА**

1. ლეკიშვილი გ., ასათიანი ლ. მოლეკულური დისკრიპტორები ელემენტორგანულ ნაერთთა ქიმიაში. თბილისი, 1998.
2. გ. გამზიანი, ბ. კობახიძე, მ. გვერდწითელი. ზოგი რამ ტოპოლოგიური ინდექსების შესახებ. თბილისი, 1995.
3. Сидамонидзе Н.Н., Купатадзе К.Т., Гвердцители М.И. Теоретическое исследование корреляции „структура-свойства” в рамках методов ПНС-, квази-ПНС и ЭП-матриц. Прикладная физика, 2009, №6, с. 36-39.
4. Р. Заградник, Р. Полак. Основы квантовой химии. Москва, 1979, с. 464.
5. Rurvay P.R. Chemical Application of Topology and Graph Theory. Amsterdam, 1983.
6. მ. გვერდწითელი. ფიზიკური ორგანული ქმნის რჩეული თავები. თბილისი, 1982. გვ. 19.

**MATHEMATIC-CHEMICAL INVESTIGATION OF LINEAR-FUSED AROMATIC HYDROCARBONS**

Marina Karchkhadze, Nunu Ovsyanikova, Mikheil Gverdtsiteli  
*Ivane Javakhishvili Tbilisi State University*

**SUMMARY**

Within the scope of B-matrices method two correlation equations of “structure-properties” type are constructed for linear-fused aromatic hydrocarbons. Calculations show that correlations are satisfactory.

**МАТЕМАТИКО-ХИМИЧЕСКОЕ ИССЛЕДОВАНИЕ ЛИНЕЙНО КОНДЕНСИРОВАННЫХ АРОМАТИЧЕСКИХ УГЛЕВОДОРОДОВ**

М.Г.Карчхадзе, Н.Н.Овсяникова, М.И.Гвердцители  
*Тбилисский государственный университет им. Ив. Джавахишвили*

**РЕЗЮМЕ**

В рамках метода В-матриц построены и исследованы два корреляционных уравнения типа “структурно-свойства” для линейно конденсированных ароматических углеводородов. Вычисления показали, что корреляции удовлетворительны.

## მათემატიკური ძიგია

## ედვარდის კორელაციური განტოლების მათემატიკურ-ქიმიური გამოკვლევა

მარინე ქარჩხაძე, მაგული კვერნაძე, მიხეილ გვერდწითელი  
ივანე ჯავახიშვილის სახელობის თბილისის სახელმწიფო უნივერსიტეტი

კორელაციური ანალიზი თანამედროვე თეორიული ორგანული ქიმიის მნიშვნელოვან და საინტერესო განხრას წარმოადგენს. იგი ოპერირებს ე.წ. კორელაციური განტოლებებით, რომელთა საშუალებითაც ხდება რაოდენობრივი კვაშირების გამოვლენა-შესწავლა მოლექულის სტრუქტურებსა და მის რეაქციისუნარიანობას შორის. პირველი კორელაციური განტოლება შემუშავებული იყო 1924 წელს ბრენსტედისა და ჰედერსენის მიერ. ამჟამად ცნობილია ხუთ ათეულზე მეტი კორელაციური განტოლება [1,2].

თეორიულ ორგანულ ქიმიაში ერთ-ერთ ყველაზე ღრმად შესწავლილია ნუკლეოფილური ჩანაცვლება ნაჯერ ნახშირადატომთან. ამიტომ ბუნებრივია, ამ ტიპის რეაქციების მექანიზმთან დაკავშირებული ყველი სიახლე მნიშვნელოვანია. სწორედ ასეთ პროცესებს შეისწავლის ედვარდის კორელაციური განტოლება:

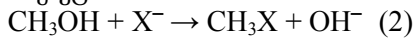
$$\lg k = \lg k_0 + \alpha E_n + \beta H \quad (1)$$

სადაც,  $\lg k$  და  $\lg k_0$  რეაქციის სიჩქარის მუდმივებია სერიაში შემავალი და სტანდარტული რეაქტანტისათვის,  $E_n$  და  $H$  ახასიათებენ ნუკლეოფილს,  $\alpha$  და  $\beta$  – ელექტროფილს.

ცხრილში მოცემულია  $E_n$ -ის და  $H$ -ის მნიშვნელობები ჰალოგენ-ანიონებისათვის [2].

$X^-$	$\lg(\Delta_{\text{რნ}})$	$E_n$	$H$
$F^-$	1,90	-0,27	4,9
$Cl^-$	2,18	1,24	-3,0
$Br^-$	2,50	1,51	-6,0
$I^-$	2,68	2,06	-0,0

განვიხილოთ მოლექულური რეაქცია:



სადაც,  $X \equiv F, Cl, Br, I$ ; და ამ რეაქციისათვის ავაგოთ კორელაციური განტოლებები  $CH_3X$ -ის ბაზაზე. გამოვიყნოთ ფსევდო რნბ-მატრიცების (რნბ) მეთოდი [4]. რნბ-მატრიცის დიაგონალური ელემენტებია მოლექულის ცალკეულ სტრუქტურულ ფრაგმენტში შემავალი ქიმიური ელემენტების ატომური ნომრების ჯამი და ცალკეული ქიმიური ელემენტის ატომური ნომერი; არადიაგონალური ელემენტებია ქიმიურ ბმათა ჯერადობები. ამგვარად,  $CH_3X$ -სათვის რნბ-მატრიცას ექნება სახე:

$$\begin{vmatrix} Z_R & 1 \\ 1 & Z_X \end{vmatrix} \quad (3)$$

სადაც,  $Z_R$  შეესაბამება  $CH_3$  ფრაგმენტში შემავალ ქიმიური ელემენტების ატომური ნომრების ჯამს (9),  $Z_X$  – ჰალოგენის რიგობრივი ნომერია.  $\lg(\Delta_{\text{რნ}})$  მნიშვნელობები ზემოთ ცხრილშია მოცემული.

უმცირესი კვადრატების მეთოდის გამოყენებით კომპიუტერზე აგებულია ორი კორელაციური განტოლება:

$$E_n = 1,64 \lg(\Delta_{\text{რნ}}) - 2,34 \quad (4)$$

$$H = -12,00 \lg(\Delta_{\text{რნ}}) + 23,16 \quad (5)$$

კორელაციის  $r$  კოეფიციენტები, შესაბამისად, ტოლია 0,989 და 0,988. ამგვარად, ჯაფეს კრიტერიუმის მიხედვით [5], კორელაციები დამაკმაყოფილებელია.

### ლიტერატურა – REFERENCES – ЛИТЕРАТУРА

1. Ю.В. Жданов, В.Н. Минкин. Корреляционный анализ в органической химии. Москва, 1966;
2. К. Джонсон. Уравнение Гаммета. Москва, 1977;
3. В.А. Пальм. Основы количественной теории органических реакций. Ленинград, 1967, с. 272;
4. Сидамонидзе Н.Н., Купатадзе К.Т., Гвердцители М.И. Теоретическое исследование корреляции „структурно-свойства” в рамках методов ПНС-, квази-ПНС и ЭП-матриц. Прикладная физика, 2009, №6, 36-39;
5. გ. გვერდიშვილი. ფიზიკური ორგანული ქიმის რჩეული თავები. თბილისი, 1982. გვ. 19.

### MATHEMATIC-CHEMICAL INVESTIGATION OF EDWARDS' CORRELATION EQUATION

Marina Karchkhadze, Maguli Kvernadze, Mikheil Gverdtsiteli  
*Ivane Javakhishvili Tbilisi State University*

#### SUMMARY

Within the scope of  $\bar{A}\bar{N}B$ -matrices method Edwards' correlation equation was investigated. Two correlation equations of “structure-properties” type were constructed. Correlations are satisfactory.

### МАТЕМАТИКО-ХИМИЧЕСКОЕ ИССЛЕДОВАНИЕ КОРРЕЛЯЦИОННОГО УРАВНЕНИЯ ЭДВАРДСА

М.Г.Карчхадзе, М.С.Квернадзе, М.И.Гвердцители  
*Тбилисский государственный университет им. Ив. Джавахишвили*

#### РЕЗЮМЕ

В рамках метода ПНС-матриц было исследовано корреляционное уравнение Эдвардса. Построены два корреляционных уравнения типа “структурно-свойства”. Корреляции удовлетворительные.

**მაღალმოლექულურ ნამრთთა შიმია**

**პიპრიდული ფორმგანი სორბენტების მიღება ორგანული ფარმოების ნარჩენების  
გაზახვა**

ეთერ გავაშელიძე, გივი პაპავა, ნუნუ მაისურაძე, ნანული ხოტენაშვილი, რუსუდან ცისკარიშვილი

**ივანე ჯავახიშვილის სახ. თბილისის სახელმწიფო უნივერსიტეტის  
პეტრე მელიქიშვილის ფიზიკური და ორგანული ქიმიის ინსტიტუტი  
შოთა რუსთაველის ეროვნული სამუნიცილო ფონდი**

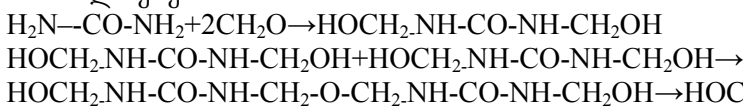
ახალი სახის მაღალეფექტური ფორმგანი პოლიმერული მასალების შექმნა განპირობებულია მათი მრავალმხრივი გამოყენებით. ისინი ხასიათდებიან მაღალი ბერა- და თბო-საიზოლაციო თვისებებით, აგრეთვე სორბციის და წყლის ზედაპირზე ტივტივის უნარით. გარდა აღნიშნულისა, ჩვენს მიერ მიღებული ფორმგანი მასალები პათოგენური ბაქტერიების მიმართ გამოიჩინა, მაღალი ანტისეპტიკური თვისებებით. ასეთი მასალები მდგრადია აგრეთვე რადიაციის მიმართ.

ჩვენს მიერ შემუშავებულია ტექნოლოგია, რომელიც საშუალებას იძლევა მიღებულ იქნას ფორმგანი პოლიმერები, როგორც ფხვნილის, ასევე გრანულების სახით, სხვადასხვა გეომეტრიული კონფიგურაციით, რომელთა სახესხვაობა დამოკიდებულია კომპოზიტების შედგენილობაზე და მასში შემავალი კომპონენტების თანაფარდობაზე.

ინტერესს იწვევს ჰიბრიდული ფორმგანი მასალები, რომელთა მიღება შესაძლებელია სინთეზური პოლიმერისა და წარმოების ორგანული ნარჩენების, კერძოდ კი ლვინის წარმოების ნარჩენის – ჭაჭის საფუძველზე.

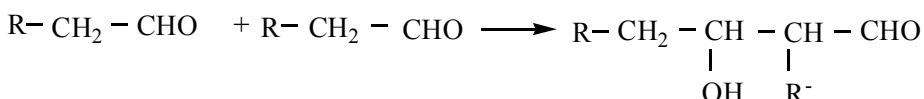
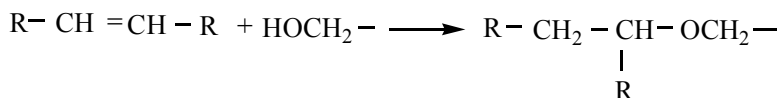
ჭაჭი შეიცავს ორგანულ მჟავებს, მთრიმლავ ნივთიერებებს, ცელულოზას და სხვ. ამიტომ, მასში არის სხვადასხვა სახის აქტიური ფუნქციური ჯგუფები: ჰიდროქსილის, კარბოქსილის, კარბონილის, უჯერი ქიმიური ბმები და სხვ.

კარბამიდ-ფორმალდეჰიდური ოლიგომერების სინთეზის დროს, კარბამიდისა და ფორმალდეჰიდის ურთიერთქმედებისას წარმოიქნება მეთილოლის ჯგუფები, რომლებიც მაღალი რეაქციისუნარიანობით გამოირჩევიან. ფორმგანი პოლიმერის წარმოქმნის პროცესში ისინი ურთიერთქმედებენ ზემოთ ნახსენებ ფუნქციურ ჯგუფებთან და წარმოქმნიან ქიმიურ ბმებს. ამ ურთიერთქმედების შედეგად მიღება თანაპოლიმერები.



ცელულოზის ჰიდროქსილის ჯგუფებთან მეთილოლის ჯგუფების ურთიერთქმედებისას წარმოიქმნება მარტივი ეთერული ბმები:

-  $\text{CH}_2\text{OH} + \text{HO-R-} \dots \rightarrow -\text{CH}_2-\text{O}-\text{R-}$  ადგილი აქვს აგრეთვე ოლიგომერის მეთილოლის ჯგუფების ურთიერთმოქმედებას უჯერ ბმებთან, კარბონილის და კარბოქსილის ჯგუფებთან, ალდეჰიდის ჯგუფების კონდენსაციას და ა.შ.:



ჭაჭა არ არის ინერტული მასალა, იგი ერთერთი ძირითადი კომპონენტია პოლიმერულ კომპოზიციაში.

ჭაჭის საფუძველზე მიღებული ფოროვანი საიზოლაციო მასალა შესაძლებელია გამოყენებული იქნას როგორც მაღალეფექტური სორბენტი ნავთობით დაბინძურებული წყლებისა და გრუნტის გასაწმენდად.

პიბრიდულ ფოროვან მასალაში ჭაჭის შემცველობის ვარირება შესაძლებელია 10 – 50 მასური პროცენტის ფარგლებში. ერთი და იგივე ოლიგომერის გამოყენებისას, პოლიმერში ჭაჭის შემცველობის ვარირებით, შესაძლებელია ფართო ინტერვალში ვცვალოთ ფოროვანი საიზოლაციო მასალის თვისებები.

სორბციული თვისებების გაუმჯობესების მიზნით, ნავთობით დაბინძურებული წყლებისა და გრუნტის გასუფთავებისათვის, სორბენტად ჩვენს მიერ გამოყენებული იყო პიდროვობიზირებული ჭაჭა.

ჭაჭის პიდროვობიზირებისათვის გამოიყენეთ სილიკონი და ნავთობის მაღალმდუდარე ფრაქციები, რომლებიც იხსნება ქლორიფორმში და მიღებული ხსნარით გახდებით ჭაჭის დამუშავებას. შემდეგ ვახურებდით  $100\text{--}120^{\circ}\text{C}$ -მდე 6 სთ-ის განმავლობაში. ასეთი მეთოდით დამუშავებული ჭაჭა წყალში არ იძირება და ტივტივებს მის ზედაპირზე.

შესწავლილია პიდროვობიზირებული ჭაჭის სორბციული თვისებები, კერძოდ, წყლის ზედაპირიდან ნავთობის მოცილების ეფექტურობა. ჭაჭის სორბციული თვისებების შესწავლის მიზნით წყალს ხელოვნურად ვაბინძურებდით ნავთობის მსუბუქი ფრაქციებით (ბენზოლი, ტოლუოლი, მეტა-ქსილოლი, ან დეკანი).

ნავთობით დაბინძურებულ წყალში ჭაჭა შეგვაქვს პროპორციით 1 : 5 (80%წყალი, 20% სორბენტი) და ვაყოვნებთ 1, 3, 5, 7, 10 დღე. შემდეგ ჭაჭას ვაცილებთ წყალს, და დარჩენილი დაბინძურებული წყლის ექსტრაქციას ვახდეთ ჰექსანით. მიღებულ ექსტრაქტში ვსაზღწვრავთ დარჩენილი ნავთობის ფრაქციების რაოდენობას VERTREL MC-752 ხელსაწყოზე.

ჩატარებულმა კვლევებმა გვიჩვენა, რომ პიდროვობიზირებული ჭაჭა სორბციებს 92%-მდე ნავთობს.

ამიდო-ალდეპიდური ოლიგომერისა და ჭაჭის საფუძველზე მიღებული პიბრიდული ფოროვანი მასალები ეფექტურობით უტოლდებიან პოლიურეთანის ბაზაზე დამზადებულ ქვირადლირებულ მასალებს.

ჭაჭის საფუძველზე ფოროვანი პოლიმერული საიზოლაციო მასალების მისაღებად რეაქტორში ვათავსებთ გარკვეული რაოდენობის ამქაფებელს – სულფონოლს, რეზორცინს, ფოსფორმეტავას და გამოხდილ წყალს. ნარევს ინტენსიურად უზრუნველყოფილი ერთგვაროვანი მასის მიღებამდე. ამ ნარევიდან ვიღებთ გარკვეული რაოდენობის ხსნარს და ვაქაფებთ ჰაერის ინტენსიური ნაკადით. შემდეგ ვუმატებთ კარბამიდ – ფორმალდეპიდურ ოლიგომერისა და ჭაჭის ნარევს. ინტენსიურ მორევა გრძელდება 2 – 3 წუთის განმავლობაში. შესქელებული მასა გადმოგვაქვს ფორმებში. გამყარების პროცესი მიმდინარეობს 24 საათის განმავლობაში.

პროცესის ძირითადი ტექნოლოგიური პარამეტრების დასადგენად შესწავლილია ჭაჭის საფუძველზე მიღებული ქაფოლიმერის სარეაქციო არის pH-ის გავლენა უელატინიზაციის სიჩქარეზე. pH-ის სიდიდეზე დამოკიდებულია მასალის სწრაფი გამყარება და საექსპლოტაციო თვისებების საბოლოოდ ჩამოყალიბება.

უელატინიზაციის პროცესზე დიდ გავლენას ახდენს აგრეთვე ჭაჭის პროცენტული შემცველობა. როდესაც თანაპოლიმერი შეიცავს 30 მოც. % ჭაჭას, ხოლო სარეაქციო არის pH=3,5-ს, უელატინიზაციის პროცესი იწყება 4 წუთში. 24 საათში სტრუქტურირების პროცესი მთავრდება. როდესაც ჭაჭის შემცველობა 50 მოც. %-ია, ხოლო pH=4,5-ს, უელატინიზაცია იწყება 10 წუთში, გამყარების პროცესი მთავრდება 24 საათის განმავლობაში.

ოლიგომერისა და ჭაჭის საფუძველზე ფოროვანი საიზოლაციო მასალების თერმომედეგობისა და თბომედეგობის ამაღლება შესაძლებელია ოლიგომერის ქიმიური სტრუქტურის ცვლილებით, აგრეთვე კომპოზიციაში ჭაჭასთან ერთად ბუნებრივი მინერალური სორბენტების – პერლიტისა და დიატომიტის გამოყენებათ.

პიბრიდული ფოროვანი პოლიმერული მასალების მისაღებად მეორე ძირითად კომპონენტს წარმოადგენს ამიდური ტიპის ოლიგომერი, კერძოდ, კარბამიდ-ფორმალდეპიდური ოლიგომერი, რომლის სინთეზი ხორციელდება წყალხსნარში. დადგენილია ოლიგომერის მიღების ოპტიმალური პირობები. რეაქცია ტარდება საწყისი კომპონენტების (კარბამიდისა და ფორმალდეპიდის) მოლური თანაფარდობისას 1:1,5, რეაქციის ტემპერატურაა  $97\text{--}98^{\circ}\text{C}$ .

**ლიტერატურა – REFERENCES – ЛИТЕРАТУРА**

1. კ. მოდებაძე. მეღვინეობა. თბილისი, 1948. გვ. 124 - 136
2. ხილკენი დვინის ტექნოლოგია, “განათლება”, თბილისი, 1969, გვ. 76-97
3. შ. ავალიანი. დვინის ტექნოლოგია. “განათლება”, თბილისი, 1969, გვ. 45-76.
4. ი.ჩიტრებაშვილი, გ.პაპავა, შ.პაპავა, ნ.დოხტერიშვილი, მ.გურგენიშვილი, ნ.ხოტენაშვილი. საქართველოს ქიმიური ჟურნალი ტ. 5, №2, 2005, გვ. 129-131.
5. ბერიძე გ.ი., სიხარულიძე თ.გ. ფизико-химический состав и качество коллекционных вин. 1972, с. 27-37.
6. გელაშვილი ნ., მეღვინეობა, თბ. 1961, გვ 54-60

**OBTAINING OF HYBRID POROUS SORBENTS ON THE BASE OF PRODUCTION REMAINS**

Eter Gavashelidze, Givi Papava, Nunu Maisuradze, Nanuli Khotenashvili, Russudan Tsiskarishvili  
*Petre Melikishvili Institute of Physical and Organic Chemistry*

*of Ivane Javakhishvili Tbilisi State University  
 Shota Rustaveli National Science Foundation*

**SUMMARY**

Work for obtaining of porous insulating materials on the base of remains from amide oligomers and grapes processing – the “chacha” – was carriedout. The process of polymeric composition structuring and influence of “chacha” content change on it was studied. The dynamical, isothermal, termogravimetical and infrared spectroscopy methods of investigation were used.

**ПОЛУЧЕНИЕ ГИБРИДНЫХ ПОРИСТЫХ СОРБЕНТОВ НА ОСНОВЕ ОРГАНИЧЕСКИХ ПРОИЗВОДСТВЕННЫХ ОТХОДОВ**

Э.Ш.Гавашелидзе, Г.Ш.Папава, Н.А.Маисурадзе, Н.З.Хотенашвили, Р.П.Цискаришвили

*Институт физической и органической химии им. П.Меликишвили  
 Тбилисского Государственного университета им. Иванэ Джавахишвили  
 Национальный научный фонд им. Шота Руставели*

**РЕЗЮМЕ**

Проведены работы для получения пористых гибридных изоляционных материалов на основе амидных олигомеров и виноградной выжимки. Изучен процесс структурирования полимерной композиции и влияние изменения содержания виноградной выжимки на протекание этого процесса. При исследовании использованы динамический, изотермический, термогравиметрический и ИК-спектроскопический методы анализа.

## CHEMISTRY OF COORDINATION COMPOUNDS

INFLUENCE OF Cr(III) AND Au(III) IONS ON *Arthrobacter oxidans* 61B AND *Arthrobacter globiformis* 151B

Eteri Gelagutashvili, Eteri Ginturi, Aleksandre Rcheulishvili, Nanuli Bagdavadze, Nana Kuchava

Elefter Andronikashvili Institute of Physics  
of Ivane Javakhishvili Tbilisi State University

Microorganisms often play a major role in the degradation of organic contaminants and in the oxidation and reduction of heavy metals. Gram-positive *Arthrobacter* species bacteria can reduce Cr(VI) to Cr(III) under aerobic growth.

The interest in Cr is governed by the fact that its toxicity depends critically on its oxidation state. While Cr(III) is considered essential lipid and protein metabolism, Cr(VI) is known to be toxic to humans[1]. Chromium(III) is an essential trace element for humans, required for the maintenance of normal glucose, cholesterol, and fatty acid metabolism [2].

Gold nanoparticles have significant role in nanotechnology due to their potential utilization in nanoelectronics, DNA labeling and development of biosensors [3]. In [4] biosorption of gold were investigated using various microorganisms.

The form, when metal partition from aqueous solution onto the mineral surface, a process generally referred to as sorption when the details of the adsorption mechanism are not fully known.

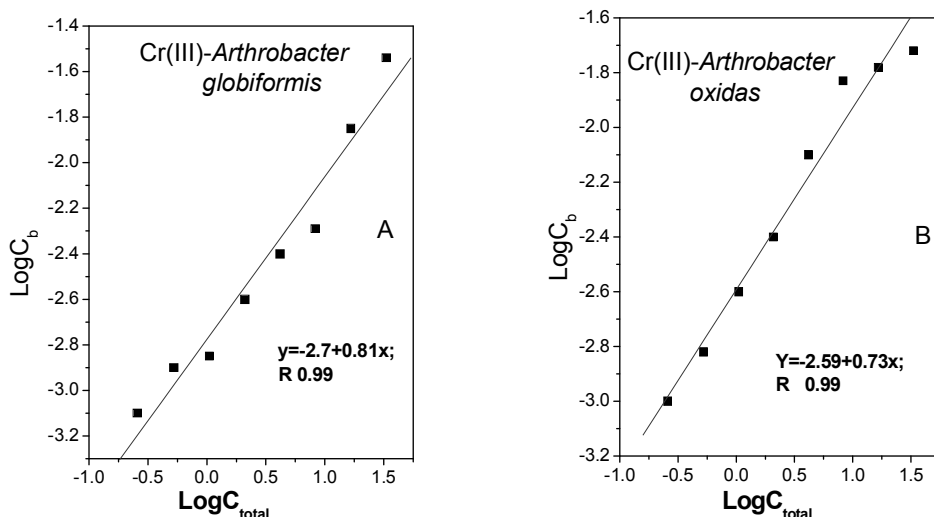
In this paper sorption of Cr(III) and Au(III) ions by *Arthrobacter oxidans* 61B and *Arthrobacter globiformis* 151B were determined simultaneous application dialysis and atomic absorption analysis.

**Materials and Methods**

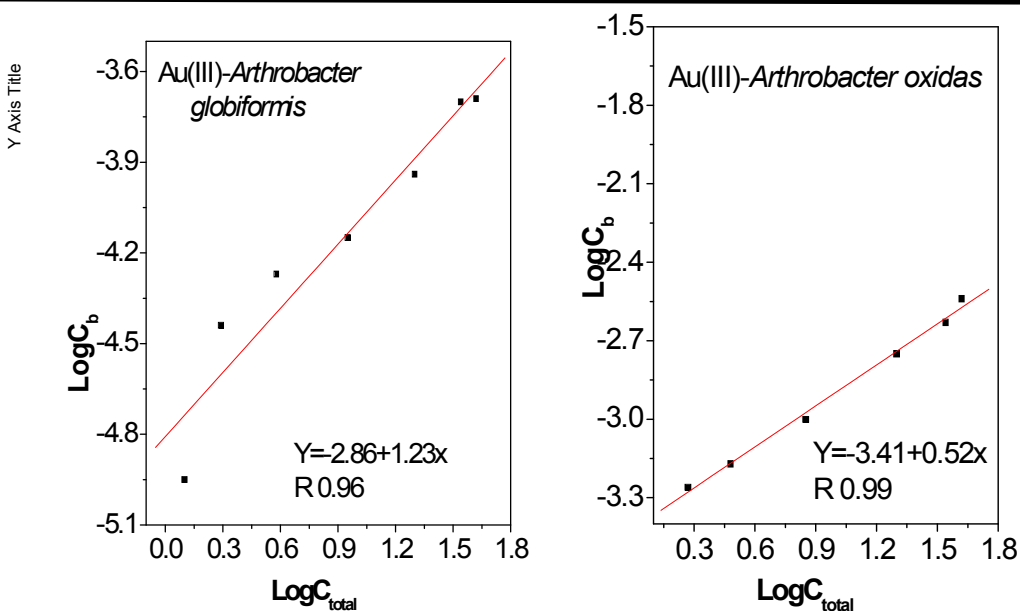
The other reagents were used: CrCl<sub>3</sub> and HAuCl<sub>4</sub> (Analytical grade). *Arthrobacter* bacterium were cultivated in the nutrient medium [5]. Cells were centrifuged at 12000 rpm for 10 min and washed three times with phosphate buffer (pH 7.1). The centrifuged cells were dried without the supernatant solution until constant weight. After solidification (dehydrated) of cells (dry weight) solutions for dialysis were prepared by dissolving in phosphate buffer. This buffer was used in all experiments.

**Results and Discussions**

In fig. 1 and in fig.2 are presented biosorption isotherms for Cr(III)-*Arthrobacter globiformis* (A) and Cr(III)-*Arthrobacter oxidans* (B) (fig.1) and for Au(III)-*Arthrobacter globiformis* (A) and Au(III)-*Arthrobacter oxidans* (B) (fig.2). The sorption data were fitted to the Freundlich model [6]. Dependence  $C_b$  vs  $C_{total}$ , where  $C_b$  is the binding metal concentration (mg/g) and  $C_{total}$  is initial Cr concentration(mg/l). From a plot of  $\log C_b$  vs  $\log C_{total}$  were determined biosorption constants (K) and biosorption capacity (n).



**Fig. 1.** Binding isotherms of Cr (III) -*Arthrobacter globiformis* 151B (A) and -*Arthrobacter oxidans* 61B (B) in the Freundlich coordinates



**Fig. 2.** Binding isotherms of *Au(III)* -*Arthrobacter globiformis* 151B (A) and *Arthrobacter oxidas* 61B (B) in the Freundlich coordinates

The results are presented in table 1. Biosorption parameters for chromium are:  $K=26 \times 10^{-4}$ ,  $n=1.37$  for *Arthrobacter oxidas* 61B , and  $K=20,2 \times 10^{-4}$ ,  $n=1.23$  for *Arthrobacter globiformis* 151B respectively.

**Table 1.** Biosorption of gold and chromium by *Arthrobacter* species

		Biosorption constant	Biosorption capacity	Standard deviation	Correlation coefficient
		$K$	$n$	$SD$	$R$
Cr	<i>Arthrobacter oxidas</i> 61B	$26,0 \times 10^{-4}$	1.37	0.12	0.98
	<i>Arthrobacter globiformis</i> 151 B	$20,2 \times 10^{-4}$	1.23	0.14	0.95
Au	<i>Arthrobacter globiformis</i> 151 B	$14,2 \times 10^{-4}$	0.81	0.09	0.96
	<i>Arthrobacter oxidas</i> 61B	$3,9 \times 10^{-4}$	1.92	0.22	0.98

The same for gold are:  $K=3.9 \times 10^{-4}$ ,  $n=1.92$  for *Arthrobacter oxidas* 61B and  $K=14.2 \times 10^{-4}$ ,  $n=0.81$  for *Arthrobacter globiformis* 151 B respectively. The data show a significant difference between the biosorption constants in both cases for Cr(III) –*Arthrobacter* species and for Au(III) –*Arthrobacter* species.

Comparative Freundlich biosorption characteristics Au *Arthrobacter* species shown, that *Arthrobacter globiformis* has larger biosorption constant , then *Arthrobacter oxidas*. On the contrary capacity ( $n$ ) for *Arthrobacter oxidas* is more, then for *Arthrobacter globiformis*. Correlation coefficient in all discussed cases is more, then 0.95.

The binding data are in good agreement with literature data [7]. It should be noted that biological ligands are generally polyfunctional and polyelectrolytic, with an average pK value between 4.0 and 6.0 [8].

Biosorption involves a combination of active and passive transport mechanisms starting with the diffusion of the metal ion to the surface of the microbial cell. Once the metal ion has diffused to the cell surface, it will bind to sites on the cell surface which exhibit some chemical affinity for the metal. It is known, that plasma membrane is the primary site of interaction of trace metal with living organisms. All biological surfaces contain multiple sites including biotic ligands, transport sites, or specific sites and non-specific active sites that are unlikely to participate in the internalization process, including cell wall polysaccharides, also proteins, and lipids, which act as a basic binding site of heavy metals.

Different species of bacterium displayed a different sorptive relationship. Biosorption is often followed by a slower metal binding process in which additional metal ion is bound, often irreversibly. This slow phase of metal uptake can be due to a number of mechanisms, including covalent bonding, crystallization on the cell surface or, most often, diffusion into the cell interior and binding to proteins and other intercellular sites [9]. Biosorption may be associated not only to physico-chemical interactions between the metal and the cell

wall, but also with other mechanisms, such as the microprecipitation of the metal [10] or the metal penetration through the cell wall [11].

Comparative analysis for Cr and Au shown, that in both bacterium (*Arthrobacter oxidans* and *Arthrobacter globiformis*) biosorption of Cr is more, than Au. Chromium(III) is not actively transported across the cell membrane to lack of transport mechanisms for these octahedral complexes. The distorted octahedral coordination sphere proposed for *Cr(III)* and strong tendency to coordinate donor atoms equatorially may be responsible for the specific interaction with *Arthrobacter* species.

This work was supported by grant STCU #4744

#### ლიტერატურა – REFERENCES – ЛИТЕРАТУРА

1. Mehrorang Ghaedi, Enayat Asadpour, Azam Vafaie. Spectrochimica Acta, Part A, 2006, 63, 182-188.
2. Kota J., Stasicka Z., Environ.Pollut. 2000,107(3), 263.
3. McConnell W.P., Novak J.P., Brousseau L.C. J.Phys.Chem., 2000, 104, 8925-8930.
4. Takehiko Tsuruta, J. Gen.Appl.Microbiol.2004, 50, 221-228.
5. Tsibakhshvili N.Ya, Mosulishvili L.M., Kalabegishvili T.L., Pataraya D.T., Gurieldze M.A., Nadareishvili G. S., Holman H.-Y. Fresenius Environmental Bulletin (FEB), 2002, 11(7), 352-361.
6. Freundlich H., Adsorption in solutions. Phys.Chem. 1906, 57, 384-410.
7. Youxian Wu and Baolin Deng, Huifang Xu, Hiromi Kornishi. Geomicrobiology J. 2005, 22, 161-170.
8. Metzler D.E. Biochemistry, M, Mir, 1980, p. 402.
9. Xue H. B. and Sigg L. Water Res. 1990, 22, 917-926.
10. Scott J., and Palmer S.J. Applied Microbiology and Biotechnology, 1990,33, 221-225.
11. Peng T.Y.,and Koon T.W. Microbial Utilisation Renewable Resources,1993, 8, 494-504.

#### **Cr(III) და Au(III) იონების გავლენა Arthrobacter oxidans 61B და Arthrobacter globiformis 151B გაძლიერება**

ეთერ ღელაღუტაშვილი, ეთერ გინტური, ალექსანდრე რჩეულიშვილი, ნანული ბალდავაძე, ნანა კუჭავა ივანე ჯავახიშვილის სახელობის თბილისის სახელმწიფო უნივერსიტეტის  
ელექტრონული ანდონინიშვილის ფიზიკის ინსტიტუტი  
რეზიუმე

განსაზღვრულია ბიოსორბციის კონსტანტები *Cr(III)* და *Au(III)* იონების *Arthrobacter oxidans 61B* და *Arthrobacter globiformis 151B*-სათვის დაალიზისა და ატომურ-აბსორბციული ანალიზის მეთოდების გამოყენებით (pH7). ნაჩვენებია, რომ *Cr(III)* და *Au(III)* იონების ბიოსორბციის ტევადობა ბაქტერიების სხვადასხვა სახელისათვის ერთმანეთისაგან განსხვავდებულია. ბიოსორბციის კონსტანტები აღნიშნული კომპლექსებისათვის შეაღენს:

1.  $K=26 \times 10^{-4}$  (ქომ-*Arthrobacter oxidans 61B*)
2.  $K=20,2 \times 10^{-4}$  (ქომ-*Arthrobacter globiformis 151B*)
3.  $K=3.9 \times 10^{-4}$  (ოქონ-*Arthrobacter oxidans 61B*)
4.  $K=14.2 \times 10^{-4}$  (ოქონ-*Arthrobacter globiformis 151B*).

#### **ВЛИЯНИЕ ИОНОВ Cr(III) И Au(III) НА Arthrobacter oxidans 61B И НА Arthrobacter globiformis 151B**

Э.С.Гелагуташвили, Э.Н.Гинтури, АН.Рчеулишвили, Н.В.Вагдавадзе, Н.Е.Кучава

Институт физики им. Э.Л.Андроникашвили

Тбилисского государственного Университета им. И. Джавахишвили

#### **РЕЗЮМЕ**

Методом диализа и атомно-абсорбционного анализа определены константы биосорбции ионов *Cr(III)* и *Au(III)* с *Arthrobacter oxidans 61B* и с *Arthrobacter globiformis 151B* при pH 7. Показано, что емкость взаимодействия ионов *Cr(III)* и *Au(III)* с *Arthrobacter oxidans 61B* и *Arthrobacter globiformis 151B* при pH 7.0 различны. Константы биосорбции для этих комплексов составляют:

1.  $K=26 \times 10^{-4}$  (*Cr-Arthrobacter oxidans 61B*).
2.  $K=20,2 \times 10^{-4}$  (*Cr-Arthrobacter globiformis 151B*).
3.  $K=3.9 \times 10^{-4}$  (*Au-Arthrobacter oxidans 61B*)
4.  $K=14.2 \times 10^{-4}$  (*Au-Arthrobacter globiformis 151B*).

**CHEMISTRY OF COORDINATION COMPOUNDS****BIOAVAILABILITY OF GOLD AND SILVER IONS WITH *Spirulina platensis***

Eteri Gelagutashvili, Eteri Ginturi, Nana Kuchava, Nanuli Bagdavadze, Aleksandre Rcheulishvili

*Elefter Andronikashvili Institute of Physics  
of Ivane Javakhishvili Tbilisi State University*

*Spirulina* (cyanobacteria) or its extracts can prevent or inhibit cancer in humans and animals and has other medical effects [1]. Recently, more attention has been made to study its therapeutic use and investigated its effect in acute allergic rhinitis, anticardiotoxic, anti-nephrotoxic [2].

Algae have a tremendous role in bioremediation of heavy metals[3]. Nanotechnology is one of the most exciting areas of recent years that involves the interaction between inorganic quantum dots and biological structures[4]. However, there is little information on which kind of microorganisms has a high gold and silver adsorbing ability.

In this paper Bioavailability of Gold and silver ions with *Spirulina platensis* were studied.

**Materials and Methods**

Analytical grade reagents were used in all experiments: AgNO<sub>3</sub> and HAuCl<sub>4</sub> hydrogen tetrachliroaurate (III). The study of biosorption of Ag(I)- and Au(III)- *S. platensis* was carried out by the methods of dialysis and atomic absorption analysis. *S. platensis* was dissolved in suspension, when it is dissolved in medium and its pH=8.6. .

The experiments of dialysis were carried out in 5ml cylindrical vessels made of organic glass. A cellophane membrane of 30µm width (type - “Visking” manufacturer - “serva”) was used as a partition. The duration of dialysis was 72 hours. The experiments were carried out at 20-230C temperature.

In all mentioned cases, the concentration of *Spirulina platensis* was 400mg/100ml. The metal concentration ranged from 10-3 to 10-5. The metal concentration after the dialysis was measured by atom-absorption analysis at the wavelength of  $\lambda=328.1$  nm. Each value was determined as an average of three independent estimated values  $\pm$  the standard deviation. Several models for the apparent Ag and Au dissociation constant were fit to the observed binding isotherm.

Data Analysis. The isotherm data were characterized by the Freundlich [5] equation

$$C_b = K C_t^{1/n}$$

where  $C_b$  is metal concentration adsorbed on either live or dried cells of Arthrobacter species in mgg<sup>-1</sup> dry weight.  $C_t$  is the equilibrium concentration of metal (mg l<sup>-1</sup>) in the solution. K is an empirical constant that provides an indication  $\log C_b$  as a function of  $\log C_t$  of the adsorption capacity of dry cells,  $1/n$  is an empirical constant that provides an indication of the intensity of adsorption. The adsorption isotherms were obtained by plotting  $\log C_b$  as a function of  $\log C_t$ .

**Results and Discussions**

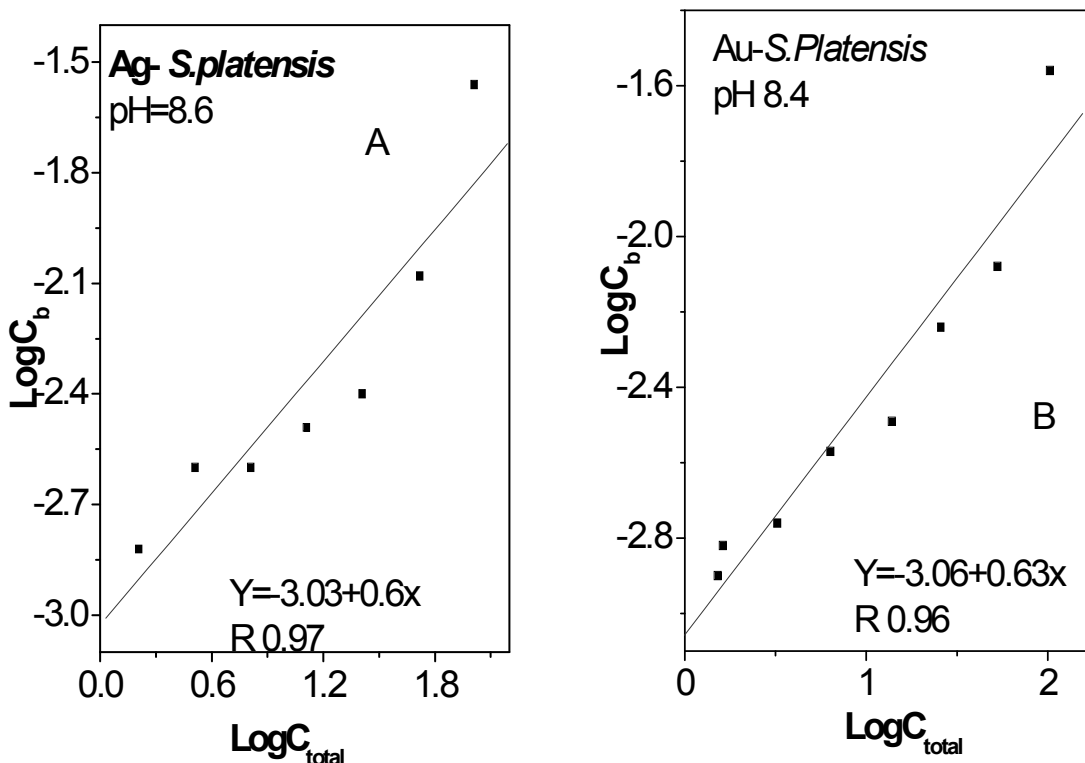
Fig. 1 shows the biosorption isotherms by using the fitted Freundlich model ( $\log C_b$  vs  $\log C_{total}$ , where  $C_b$  is the ion concentration connected with cyanobacteria for all cases, and  $C_{total}$  is the initial concentration of metal ions. Each dot is the average of three independent values, and the standard deviation < 10% of average value. The coefficient of determination ( $R^2$ ) in both cases were mostly greater than 0.9.

By means of Freundlich isotherms the biosorption constants (K) and the capacity (n) were determined for Au-*Spirulina platensis* and Ag- *Spirulina platensis*. The results are presented in table 1.

From experimental results and from table 1 it is clear, that significant difference between the biosorption constants for Au -*Spirulina platensis* and Ag-*Spirulina platensis* are not observed. At higher pH values, metals may accumulate inside the cells or cell walls by a mechanism known as combined sorption-micro precipitation [6].

Thus, it is clear from our experiment that cyanobacteria *Spirulina platensis* are potential enough to remove high amount gold and silver from the solution.

This work was supported by grant STCU #4744..



**Fig. 1** The linearized Freundlich adsorption isotherms for gold- and silver-*Spirulina platensis* ( $C_b$  is the binding metal concentration (mg/g) and  $C_{total}$  is initial metal concentration (mg/l). (A)- Ag, and B (Au).

**Table 1.** Biosorption characteristics for gold- and silver- *Spirulina platensis* at 23° C

		Biosorption constant	Biosorption capacity	Standard deviation	Correlation coefficient
Biosorption characteristics		$K$	$n$	$SD$	$R^2$
<i>S. platensis</i> dissolved in medium pH=8.43	gold	$8.7 \times 10^{-4}$	1.58	0.13	0.96
<i>S. platensis</i> dissolved in medium pH=8.6	silver	$9.4 \times 10^{-4}$	1.67	1.18	0.92

#### ლიტერატურა – REFERENCES – ЛИТЕРАТУРА

1. Wang Y. Chang C.F., Chou J., Deng X., Harvey B.K., Cadet J.L., Bickford P.C. Exp.Neur. 2005, 193 (I), 75-84.
2. Kumar N., Kumar P. and Singh S. RJPBCS, 2010, 1(4), 877-885.
3. Mehta S.K., Gaur J.P. Crit. Rev. Biotechnol. 2005, 25, 113-152.
4. Southam and Beveridge. Geochim.Cosmochim.Acta, 1994, 58, 4527-4530.
5. Freundlich H., Adsorption in solutions. Phys.Chem. 1906, 57, 384-410.
6. Beveridge T.J. Biotechnol. Bioeng. Symposium 16, Wiley Interscience, 1986.

**Ag და Au იონების ბიომონათმსაობა *Spirulina platensis*-თან**

ეთერ ღელალუტაშვილი, ეთერ გინტური, ნანა კუჭავა, ნანული ბალდავაძე, ალექსანდრე რჩეულიშვილი  
ივანე ჯავახიშვილის სახელობის თბილისის სახელმწიფო უნივერსიტეტის  
ქლევთურ ანდრონიკაშვილის ფიზიკის ინსტიტუტი

**რეზიუმე**

განსაზღვრულია ვერცხლის და ოქროს იონების ბიოსორბციის კონსტანტები *Spirulina platensis* უჯრედებთან დიალიზისა და ატომურ-აბსორბციული ანალიზის მეთოდების გამოყენებით. ნაჩვენებია, რომ ოქროს და ვერცხლის იონების ბიოსორბციის ტევადობა და ბიოსორბციის კონსტანტები სტატისტიკური ცდომილების ფარგლებში ერთმანეთისაგან არ განსხვავდება. განსაზღვრული ბიოსორბციის კონსტანტები *Ag-Spirulina platensis* და *Au-Spirulina platensis*-კომპლექსებისათვის შესაბამისად ტოლია:  $K_{Ag}=9.4 \times 10^{-4}$  და  $K_{Au}=8.7 \times 10^{-4}$ .

**БИОСРОДСТВО ИОНОВ Ag И Au С *Spirulina platensis***

Э.С.Гелагуташили, Э.Н.Гинтури, Н.Е.Кучава, Н.В.Вагдavadze, АН.Рчеулишили  
*Институт физики им. Э.Л.Андроникашили  
Тбилисского государственного Университета им. И. Джавахишвили*

**РЕЗЮМЕ**

Методом диализа и атомно-абсорбционного анализа определены константы биосорбции ионов *Ag* и *Au* с *Spirulina platensis* при pH 8. Показано, что емкость взаимодействия и константы биосорбции ионов *Ag* и *Au* с *Spirulina platensis* при pH 8 не отличаются в рамках статистической погрешности. Определены константы биосорбции для комплексов *Ag-Spirulina platensis* и *Au-Spirulina platensis*, которые соответственно равны:  $K_{Ag}=9.4 \times 10^{-4}$  и  $K_{Au}=8.7 \times 10^{-4}$ .

## გილობრივად აპტიური ნამრთები

## ზიფოპორმონები

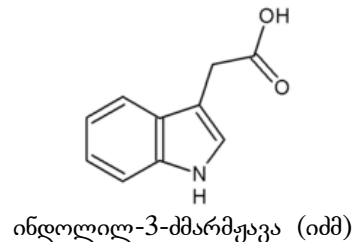
რუსულან მდივანი, ნიკოლოზ ზარნაძე, ვენედიქტე წერეთელი

ახალგაზრდა მუციურთა ცენტრი (კავშირი) იზოტოპები

მცენარეებში გვხვდება ენდოგენური წარმოშობის, ერთმანეთისაგან განსხვავებული ბუნების მქონე, ქიმიური ნაერთების რამოდენიმე კლასი, რომლებიც ასრულებენ ჰორმონების ფუნქციას და აკონტროლებენ მათ ზრდას, დიფერენცირებას, ფიზიოლოგიური და ბიოქიმიური პროცესების ფართო სპექტრს [1-4]. მცენარის მოთხოვნილება ჰორმონის მიმართ ძალიან მცირეა და უმეტეს შემთხვევაში ისინი, საჭირო რაოდენობით, სინთეზირდებიან თვითონ მცენარის მიერ. მათი უკმარისობა ხშირად მედავნდება თესლის ზრდის, ყვავილობის, ნაყოფის წირმოქმნის, ან მცენარის ორგანიზმის ერთიანობის დარღვევის დროს, მაგალითად, კალმებში და იზოლირებულ ქსოვილებში. აღნიშნულ შემთხვევაში საჭიროა შესაბამისი ჰორმონის ეგზოგენური შეტანა. ჰორმონების მოქმედება დამოკიდებულია კონცენტრაციაზე. სიჭარბე იწვევს არა სტიმულაციას არამედ ზრდის დამუხრუჭებას, ან მცენარის დაღუპვას [5].

ნებისმიერი ჰორმონი წარმოიქმნება მცირე რაოდენობით ორგანიზმის გარკვეულ მონაკვეთში და შემდგომ ტრანსპორტირდება მცენარის სხვა ნაწილში, სადაც ის იწვევს სპეციფიკურ ეფექტს. მნიშვნელოვანი რომელზედაც ტრანსპორტირდება ჰორმონი, შეიძლება იყოს შედარებით დიდი, მაგალითად ფოთლიდან კვირტამდე, ან უმნიშვნელო, ერთ უჯრედში - ერთი ორგანელიდან მეორეში. გადამწყვეტ კრიტერიუმს წარმოადგენს ჰორმონის მიგრაცია სინთეზის ზონიდან მოქმედების აღილამდე. დაფგენილია, რომ უმაღლეს მცენარეები შეიცავენ ზრდის მარეგულირებელ ჰორმონების რამდენიმე მნიშვნელოვან კლასს, ესენია: აუქსინები, გიბერილინები, ციტოკინინები, ბრასინოსტერონიდები, აბციზის მჟავა და ეთილენი. ნებისმიერ მოცემულ მომენტში უჯრედში ან ქსოვილში იმყოფება რამდენიმე, ან ყველა აღნიშნული ნაერთი. შესაბამისად, ამა თუ იმ ქსოვილის ზრდა ან განვითარება განპირობებულია ყველა ამ ნაერთის არსებობით და ურთიერთქმედებით [6-11].

**აუქსინები.** მცენარეში არსებულმა ზრდის ჰორმონმა - ინდოლ-3-მმარმჟავამ (იმმ) და მისმა წარმოებულებმა მიიღეს საერთო სახელწოდება აუქსინები (ბერძნული სიტყვიდან auxo - ზრდა). მას ჰეტეროაუქსინსაც უწოდებენ, იგი ინდოლშემცველი ჰორმონების სტრუქტურული ერთეულია, ახორციელებს მცენარის ზრდა-განვითარებას, ხოლო უჯრედის დონეზე აკონტროლებს უჯრედების მოძრაობას, მათ ზომას და ფორმას [12, 13]. აუქსინის უნიკალურობა იმაში მდგომარეობს, რომ მას შეუძლია გადაინაცვლოს მცენარის სხვადასხვა ქსოვილში განახორციელოს მათი შეთანხმებული პასუხი გარეგან ზემოქმედებზე [14, 15].



აუქსინი გამომუშავდება მცენარის ღეროს მზარდ აპიკალურ ზონებში, მათ შორის ახალგაზრდა ფოთლებში. იმმ-ს გარდა მცენარის ქსოვილში აღმოჩენილია ინდოლის ბუნების სხვა ნაერთებიც: ინდოლილ-3-აცეტალდეპიდი, ინდოლილ-3-აცეტონიტრილი, ინდოლილ-3-პიროფურმინის, ინდოლილ-3-რძის, ინდოლილ-3-გლიკოლის მჟავები, იმმ-ის მეთოლის და ეთილის ეთერები, 5-ჰიდროქსი იმმ, ტრიფეტოფანი, ტრიპტამინი, ტრიფტოფოლი, სეროტონინი. ზოგიერთი ეს ნაერთი ამჟავებს მაღალ აუქსინურ აქტივობას მხოლოდ იმ ქსოვილებში, რომლებიც შეიცავენ ფერმენტ - ნიტროლაზას, რაც მათ გარდაქმნის იმმ-დ [16]. ამგვარად აუქსინის აქტიურ ფორმას წარმოადგენს მხოლოდ იმმ.

მცენარეზე იმმ-ს მსავსი მოქმედება აქვთ ზოგიერთ სინთეზურ ნივთიერებასაც, რომლებიც მიეკუთვნებიან იმმ-ს სინთეზურ ანალოგებს [17,18]. გამოყოფენ სინთეზური ანალოგების სამ ჯგუფს:

➤ ინდოლის წარმოებულები - ინდოლილ-3-პროპიონის და ინდოლილ-3-ერბოს მჟავები. მცენარეებში ისინი გვხვდების იშვიათად, მაგრამ ამჟავნებებ აუქსინურ აქტივობას და იყენებენ ფესვწარმოქმნის დასახქარებლად. მათი უპირატესობაა მცენარეთა ქსოვილებში შედარებით მაღალი მდგრადობა.

➤ ძლიერი აუქსინური აქტივობა გააჩნიათ ზოგიერთ ქლორჩანაცვლებულ ფენოქსიტარმოებულებს: 2,4-დიქლორფენოქსიმარმჟავას(2,4-დ), 2,4,5-ტრიქლორფენოქსიმარმჟავა(2,4,5-ტ) და სხვა.

➤ ნაფტინალკოლკარბონმჟავების წარმოებულები: 1-ნაფტილმარმჟავა, მისი კალიუმის მარილი, ნაფტოქსიმარმჟავა. ამ ნაერთებს იმმ-სთან შედარებით ახასიათებთ დაშლის მიმართ გაცილებით მაღალი მდგრადობა.

მცენარეულ ქსოვილში იმყოფება არა მხოლოდ თავისუფალი იმმ, არამედ პეპტიდებთან და გლიკოზიდებთან შეავშირებული. თავისთავად ეს შენაერთები არ არიან აქტიურნი და ემსახურებიან როგორც მის სათადარივოდ შენახვას, ისე ჭარბი იმმ-ს დეტოქსიკაციას.

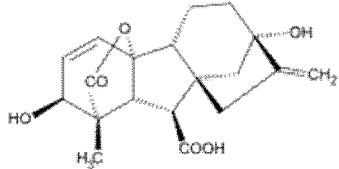
აუქსინის შეუძლია მცენარეზე განახორციელოს მრავალი სხვადასხვა სახის ზემოქმედება, მოახდინოს ისეთი პროცესების რეგულირება, როგორებიცაა: უჯრედის დაყოფა, გაჭიმვა და მისი განვითარების მიმართულება დიფერენცირების დროს. იგი იწვევს უჯრედში მთელ რიგ ფიზიკურ, ქიმიურ და ფიზიოლოგიურ ცვლილებებს [19-21].

ცნობილია, რომ მჟავა არე ხელს უწყობს უჯრედის გაჭიმვას, რომელიც წარმოადგენს კედლის კომპონენტებზე  $H^+$  ონების მოქმედების პირდაპირ შედეგს [13, 22]. აუქსინის მოქმედებით ხორციელდება უჯრედის კედლის შემჟავება (საწყის სტიმულაცია), აგრეთვე მოქმედები, რომლიც განაპირობებს ახალი კედლის მშენებლობას. ცნობილია, რომ უჯრედის მემბრანებში არსებობენ მეტაბოლური ტუმბოები სხვადასხვა ნივთიერებებისათვის (მინერალური იონები, სახაროზა, ჰორმონები, წყალბადის იონები). აუქსინი ასტიმულირებს იმ ტუმბოების მოქმედებას, რომლებსაც  $H^+$  იონებს გადაქაჩავენ ციტოპლაზმიდან უჯრედის კედლამდე. ასეთ ტუმბოებს წარმოადგენენ ცილები, რომლებიც ენერგიას იღებენ ატფ-ის ან ადფ-ის დაშლის შედეგად. წყალბად იონის გადამტანი ტუმბოები ფუნქციონირებენ მხოლოდ მაშინ, თუ მათთან დაკავშირებულია იმმ. ასეთი კავშირი შექცევადა, იგი წარმოქმნება და იშლება იმმ-ს კონცენტრაციის შესაბამისად.

უჯრედის კედელი, რომელიც აგებულია გრძელი ცელულოზის მოლეკულებისაგან და ერთმანეთთან დაკავშირებულია პოლისაქირიდული ხიდებით, განიცდის ცვლილებებს. კერძოდ, მისი შეუქცევადი გაჭიმვის დროს ეს ხიდები წყდება და ხელახლა, ახალ ადგილზე, წარმოიქმნება გაჭიმვის დასრულების შემდეგ. შედეგად უჯრედი ზომით იზრდება [23, 24]. უჯრედში არსებობს pH-ზე დამოკიდებული ფერმენტი, რომელიც წყვეტს ასეთ კავშირებს, იგი არ მოქმედებს pH 6,0 - 7,0-ის პირობებში, მაგრამ მაღალაქტიურია pH 5,0-ის ახლოს. უჯრედში არსებული აუქსინის მოქმედებით pH გადადის კედელზე, ფერმენტი აქტიურდება და განივი კავშირები წყდება. ახალი განივი ბმების წარმოქმნის, კედლის სისქის და სიმტკიცის შესანარჩუნებლად საჭიროა მეტი პოლისაქირიდების სინთეზი. დადგენილია, რომ აუქსინი ააქტიურებს ცელულოზის მასინთეზირებელ ფერმენტებს. უჯრედის უწყვეტი დაყოფის, გაჭიმვის და დიფერენცირების დროს აუცილებელია ახალი ცილების მუდმივი სინთეზი უჯრედის ციტოპლაზმის კომპონენტების აგებისათვის, ხოლო დიფერენცირებული მდგომარეობისათვის საჭიროა ახალი ფერმენტები, რომლებიც დამახასიათებელია მხოლოდ დიფერენცირებული მდგომარეობისათვის. აუქსინი სხვა ჰორმონებთან და რეგულიატორებთან ერთად ასინთეზებს უჯრედის ზრდის და დიფერენცირების სპეციფიკურ ფერმენტებს. ამის გარდა, სინთეზირდება მეტი რიბოსომული რნმ, რათა დაკმაყოფილდეს ცილის სინთეზის დროს მასზე წარმოქმნილი მოთხოვნა.

აუქსინები არგულირებენ, აგრეთვე, სხვა ფიტოჰორმონების სინთეზს, მაგალითად, ციტოკინინების სინთეზს [25-28].

**გიბერელინები.** გიბერილინები მცენარეული ჰორმონების ყველაზე ფართო კლასია, დღეისათვის ცნობილია მათი 80-ზე მეტი ნაერთი. გიბერილინების უმრავლესობა მჟავებია, ერთმანეთისგან ძირითადად განსხვავდებიან გვერდითი ჯაჭვების სტრუქტურით. მიღებულია მათი აღნიშვნა გმ(გიბერელინის მჟავა) შესაბამისი ინდექსით[1]. მაგალითად: გმ30, გმ52 და ა.შ. ექსპერიმენტებში უფრო ხშირად გამოიყენება გმ3:



გიბერელინის მჟავა (გმ3)

გიბერელინების აღმოჩენა დაკავშირებულია ბრინჯის დაავადების შესწავლასთან, რომელსაც იწვევდა სოკო - *Gibberella fujikurio*. ამ სოკოდან მიღებული იქნა კრისტალური ნივთიერება - გიბერელინი. შემდგომში გაირკვა, რომ გიბერელინები ფართოდ არიან გავრცელებული მცენარეებში, აქვთ მაღალი ფიზიოლოგიური აქტივობა და აუქსინების მსგავსად წარმოადგენენ ფიტოჰორმონებს. ქიმიური სტრუქტურით ისინი წარმოადგენენ დიტერპენებს. ონტოგენეზის სხვადასხვა ეტაპზე მცენარეები განსხვავდებიან გიბერელინების ნაკრებით, რომელთა აქტივობა ერთმანეთისგან განსხვავებულია [29,30]. მცენარეში გიბერელინების სინთეზის ძირითადი ადგილი არის ფოთოლები (შესაძლებელია მათი სინთეზი განსხორციელდეს, აგრეთვე, ფესვებში) [30,31]. გიბერელინები იმყოფებიან როგორც თავისუფალ, ისე შეკავშირებული ფორმით. ისინი შეიძლება შეკავშირებული იყნენ შაქრებთან. გიბერელინგლიკოზიდები კონცენტრირებული არიან ძირითადად თესლში. აუქსინებისაგან განსხვავებით გიბერელინები გადაადგილდებიან ფოთოლებიდან როგორც ზევით, ისე ქვევით. ეს გადაადგილება არის პასური პროცესი და არის დაკავშირებული მეტაბოლიზმთან. გარეგანი ფაქტორები დიდ გავლენას ახდენს მცენარეში გიბერილინის წარმოქმნასა და შემცველობაზე. ბევრ შემთხვევაში, ერთი და იგივე გარეგანი ფაქტორების მოქმედებით, აუქსინების და გიბერილინების შემცველობა სხვადასხვაგარად იცვლება [32]. მაგალითად, განათება ზრდის გიბერელინების და ამცირებს აუქსინის შემცველობას. ამავე დროს დიდ გავლენას ახდენს განათების ხარისხი - წითელი შუქით განათების პირობებში გამოზრდილ მცენარეში გებერელინების რაოდენობა გაცილებით მეტია, ლურჯთან შედარბით.

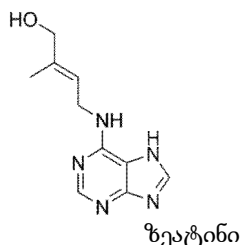
გიბერელინები მცენარის ზრდა-განვითარების ყველა ძირითად პროცესზე, მათ შორის თესლის გაღვივებაზე, ლეროს ზრდაზე, ნაყოფის განვითარებაზე და სინათლის მიმართ მგრძნობიერებაზე [33-35]. აქვე უნდა ავლინიშნოთ, რომ ზოგიერთ მცენარეში გიბერელინები ან არ არის, ან მათ ცხოველმოქმედებაში არ ასრულებენ არსებით როლს.

ისე, როგორც აუქსინების შემთხვევაში, გიბერელინების განხილვის დროსაც ისმის კითხვა, თუ როგორ შეუძლიათ ძალიან მცირე რაიდენობის ნივთიერებებს გააკონტროლონ მრავალი სხვადასხვაგვარი რეაქციები. მათ შორის თესლის გაღვივება, უჯრედის გაყოფა და გაჭიმვა, სინათლის მიმართ მგრძნობიარობა, აყვავების პროცესი. ამის პასუხად შეიძლება მაგალისთვის მოვიყვანოთ დეტალურად განსხილული ლიტერატურული მასალა, კერძოდ ქერის თესლის სახამებლის ჰიდროლიზის იდუქცია. გიბერილინის დამატება ქერის მარცვალზე იწვევს ამილაზის და სხვა ფერმენტების, განსაკუთრებით პროტეაზების და რიბონუკლიზების გამოყოფას. ამილაზა იწვევს ქერი მარცვლის ენდოსპერაში არსებული სახამებლის ჰიდროლიზს. ფერმენტების წარმოქმნა ხდება ალეინორულ შრეში. შესაბამისად, სწორედ ეს ქსოვილი გამოყოფს ჰიდროლიზურ ფერმენტებს, რომლებიც აჰიდროლიზებენ სათადარიგო საკვებ ნივთიერებებს ენდოსპერაში, რომლებიც შემდგომ ტრანსპორტირდებიან მცენარის მზარდ აპექსებში, გამოიყენებიან ენერგიის წყაროდ და ახალი უჯრედების წარმოქმნისათვის აუცილებელ საშენ მასალებად. მოცემული სისტემა წარმოადგენს ორგანოსპეციფიკურ ზრდის რეგულაციის მაგალითს [36].

ამგვარად, გიბერელინი იწვევს ა-ამილაზურ აქტივობას. ეს ფერმენტი არ წარმოადგენს შხოლოდ სისტემაში არსებულ არააქტიური სათადარიგო ცილის აქტიურ ფორმას, არამედ წარმოიქმნება ახალი, არსებული ამინომჟავებიდან. ეს დამტკიცებულია გიბერელინებით ინკუბირებულ ქერის მარცვლებზე ნიშანდებული ამინომჟავების დამატებით, შედეგად ხდებოდა ცილაზი რადიოაქტიურობის ჩართვა. ასეთი ჩართვა არ მიღინარეობს ცილების სინთეზის ინპიბიტორების (ციკლოპესიმიდი) დამატების შემდეგ. ცილის სინთეზის პროცესში გიბერელინის მონაწილეობაზე მიუთითებს ის ფაქტი, რომ რნმ-ს სინთეზის ინპიბიტორები (აქტიონმიცინ D) ეწინააღმდეგებიან, აგრეთვე, ამილაზას სინთეზს. აქედან კეთდება დასკვნა, რომ გიბერელინი უნდა მონაწილეობდეს ინფორმაციული რნმ-ს მოლეკულების წარმოქმნაში დნმ-მატრიცაზე, როგორც გენების დერეპრესორი, რომელიც ახდენს ჰიდროლიზური ფერმენტების კოდირებას [37].

გიბერელინებს შეუძლიათ ალეირონული შრის გარკვეული გენების დერეპრესირება, აგრეთვე შესაძლებელია სხვა გენების ჩართვით მოახდინოს გავლენა მცენარის სხვა ადგილებში უჯრედების დაყოფასა და დიფერენცირებაზე. უჯრედის ბუნებაზეა დამოკიდებული თუ რომელი გენები მიიღებნ ამ პროცესებში მონაწილეობას. გიბერელინი ჰასუსისმგებელია მცენარის ლეროს კვანძებს შორის მანძილის სიგრძეზე. დადგრილია, რომ აუქსინის გარეშე კვანძებს შორის მანძილის გაგრძელება მთლიანად გასაზღვრულია უჯრედების გაჭიმვით, თუმცა ბუნებრივ პირობებში, განსაზღვრული რაოდენობის აუქსინის თანაობისას კვანძებში მიმდინარეობს, აგრეთვე, უჯრედის დაყოფა. გიბერელინები უჯრედის დაყოფის ინდუცირებას ახდენენ უჯრედის კედლის შემსავების გზით, ისე როგორც აუქსინზე. მაგრამ, გიბერელინის მიმართ მგრძნობიარე უჯრედები არ რეაგირებენ აუქსინზე. ამ ორი ტიპის უჯრედებს შორის განსხვავება არის სხვადასხვა ჰორმონული რეცეფტორების არსებობა. ერთი და იგივე ჰორმონის შეუძლია დაუკავშირდეს სხვადასხვა რეცეპტორს, რაც იწვევს სხვადასხვარ შემსვედრ რეაქციებს [38,39]. სახელმიწოდებელ ეს არის ფიტოჰორმონების მრავალფუნქციური მოქმედების მიზეზი [40].

**ციტოკაინები.** ციკოკინინები, მცენარეთა ზრდის ბუნებრივი რეგულატორები, მცირე რაოდენობით ( $10^{-5}$  -  $10^{-9}$ M) ასტიმულირებენ უჯრედის დაყოფას, ზრდას და დიფერენცირებას, აგრეთვე ააქტივებენ რნმ-ს და ცილების სინთეზს. ციტოკაინინები წარმოადგენენ პურინული აზოტოვანი ნაერთების, სახელმიწოდებრ ადენინის ნაწარმებს, რომელშიდაც მეჰქსე მდგომარეობაში ჩანაცვლებულია სხვადასხვა რადიკალები. აქტიური საწყისი, რომელიც იწვევს უჯრედის დაყოფას, არის - 6-ფურფურილამინოპურინი, ანუ კინეტინი. იგი მცენარეებში არ არის აღმოჩენილი, მაგრამ აღმოჩენილია მასთან ქიმიური აღნაგობით ახლოს მდგომი, უჯრედის დაყოფის პროცესის მარეგულირებელი ნაერთები, - ციტოკაინინები. ბუნებაში ყველაზე მეტად გავრცელებულია ზეატინი[6-(4-ოქსი-3-მეთილ-2-ბურენილ)ამინოპურინი], განსაკუთრებით მისი ტრანს-ფორმა; აგრეთვე გვხვდება დიპიდროზეატინი და ამინოჯგუფთან სხვა რადიკალებით ჩანაცვლებული ნაერთები [41-43].



ციტოკაინინების სინთეზი ხორციელდება ფესვთა სისტემაში. საიდანაც ქსილემით ტრანსპორტირდება მცენარის მიწისაზე და ნაწილში. უჯრედში ეს ნაერთები იმყოფებიან აქტიური და არააქტიური ფორმების სახით. არააქტიურ ფორმებს წარმოადგენენ N<sub>7</sub>- და N<sub>9</sub>-გლიკოზიდები, აგრეთვე გლიკოზიდები წარმოქმნილი იზოპენტილური ფრაგმენტის ჰიდროჯენიზაციით. შაქრის მიერთებით ან დაკარგვით უჯრედი არეგულირებს აქტიური ციტოკაინინების კონცენტრაციას [44]. შესაძლებელია ციტოკაინინების შეუქცევადი დაშლაც, ამიტომ ფესვის აპექსიდან მანძილის შესაბამისად მათი კონცენტრაცია კლებულობს [45-47].

როგორთი მცენარის გენს, რომელის ცილოვანი ფრაგმენტი უკავშირდება ციტოკაინინებს აქვს რეცეპტორებისათვის დამასასიათუბელი სტრუქტურა. მაგალითად, ცილას CRE 1 (citokinine receptor) აქვს ფრაგმენტი, რომელიც გამოდის პლაზმალემის ზედაპირზე და უკავშირდება ციტოკაინინის მოლეკულას. ციტოკაინინები ხელს უწყობენ უჯრედში ასალი დნმ-ის სინთეზს და აკონტროლებენ უჯრედული ფაზის S-ციკლს. საინტერესოა, რომ ადნინი, ციტოკაინინების რადიკალების მსგავსი ჩამანაცვლებლებით, შედის ზოგიერთი რნმ-ის შემადგენლობაში. ნიშანდებული ატომებით ჩატარებულმა ექსპერიმენტებმა აჩვენა, რომ ციტოკაინინი სრულად არ ჯდება რნმ-ის მოლეკულაში, არამედ, ამ პროცესში მხოლოდ მისი მოლეკულის გარკვეული ფრაგმენტები მონაწილეობენ [48,49].

ციტოკაინინების და აუქსინების მოქმედება მცენარეზე, გარკვეულად, ერთმანეთის მსგავსია. მაგრამ მათ შორის განსხვავებაც დიდია, კერძოდ, აუქსინი სინთეზირდება ნაზარდის აპექსში, ხოლო ციტოკაინინი ფესვის წვეროში; აუქსინი მცენარეში ტრანსპორტირდება ზემოდან ქვევით -აქტიურად, ციტოკაინინი კი, ქვემოდან ზემოთ - პასიურად. რადგანაც ციტოკაინინები ტრანსპორტირდებიან ქსილემით, რომელიც არის ეწ. მკვდარი ქსოვილი, ამდენად ასეთი ტრასპორტი არის პასიური.

ფესვის წვერი ზრდისათვის საჭიროებს საკვებ ნაკვერებებს. მინერალური მარილები და წყლი ფესვთან უხვად არის, საჭიროა მიეწოდოს ფოტოსინთეზის პროდუქტები: შაქრები, ამინომჟავები და

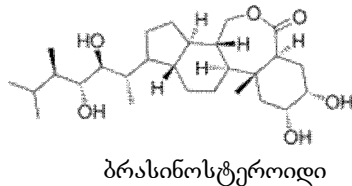
სხვა. ამ პროცესს ასრულებს ციტოკინინგბი ფესვის დაყოფის ზონაში, ანუ აპიკალურ მერისტემაში. იგივე ეფექტს ამჟღავნებენ ციტოკინინგბი ფოთოლში, ამიტომ მას უწოდებენ მცენარეული ქსოვილის გამახალგაზრდავებელ პროცესში. ფოთოლცვენს პროცესში ციტოკინინგბით დამუშავებული ფოთლები კიდევ დიდხნის ინარჩუნებენ მწვანე ფერს. ციტოკინინგბი კი არ აახალგაზრდავებენ ფოთოლს, არამედ არ აძლევენ მას გამოყიტვის შედეგად დაღუპვის საშუალებას, ქსოვილებში საკებები ნივთიერებების მიზიდვის და შეკავების გზით. მაგალითად, ციტოკინინის არსებობისას ცილების შემცველობა ფოთლებში უფრო მაღალია, ვიდრე მის გარეშე. ამ შემთხვევაში პროცესი არ აჩქარებს ცილის სინთეზს, არამედ ანაპიბირბს მის დაშლას.

მცენარეებში უჯრედების აქტიური დაყოფა მიმდინარეობს ფესვის და ნაზარდის ბოლოებში. მცენარის ორგანო რაც უჯრო დაცილებულია ფესვის ბოლოდან, მით ნაკლებია მასში ციტოკინინი. ნაზარდის აპექსით მთავრდება ტრანსპორტი და ხდება ციტოკინინის დაგროვება. აუქსინი თვითონ სინთეზირდება ნაზარდის აპექსში. ამგვარად ნაზარდის მერისტემაში ციტოკინინის და აუქსინის კონცენტრაციები საკმარისია უჯრედის დაყოფის განსახორციელებლად [26].

უკუპროცესი შემჩნევა ფესვის აპექსში: აუქსინი გროვდება, რადგანაც ფესვის აპექსი წარმოადგენს ტრანსპორტის საბოლოო პუნქტს. ფესვის წვეროში სინთეზირებულ ციტოკინინთან ერთად აუქსინი იწვევს უჯრედის დაყოფას ფესვის მერისტემაში [26].

ე. რაც მეტ მანძილს გადიან პრომონები ფესვის ბოლოდან ნაზარდის წვერომდე, მით ნაკლებია მათი შემცველობა მერისტემაში. და ბოლოს, დგება მომენტი, როდესაც აპექსი აღარ მიეწოდება იმ რაოდენობით ციტოკინინები რაც საჭიროა უჯრედის დაყოფისათვის. შედეგად ღეროს ზრდა სიმაღლეში ჩერდება. ანალოგიურად რეგულირდება ფესვის ზრდა სიღრმეში. ამგვარად, მცენარის პოლარული ზრდა შეიძლება დარეგულირდეს აუქსინების და ციტოკინინების ბალანსის საფუძველზე [50,26].

**ბრასინოსტერონიდები.** სტეროიდული ბუნების ფიტოკორმონი, პირველად, აღმოჩენილი იქნა რაფსის (*Brassica napus*) ყვავილის მტვერში და ამ ლათინური სახელწოდებიდან ეწოდა ბრასინოლიდი, ხოლო ფიზიოლოგიური აქტივობით მის მსგავს ნაერთებს ბრასინოსტერონიდები (კასტასტერონი, ტაფასტეროლი, ტეასტერონი, კატასტერონი და სხვა). დღეისათვის ცნობილია 60-ზე მეტი ბრასინოსტერონიდული აქტივობის მქონე ნაერთი. 10 კგ რაფსის ყვავილის მტვრიანიდან მიღებული იქნა 4 მგ, ე. ეს ნაერთები ძალიან მცირე რაოდენობით არიან მცენარეებში წარმოდგენილნი[1].



ბრასინოსტერონიდები ჰიდროფიბული მოლეკულებია. მიუხდავად ამისა, მისი ტრანსპორტი მცენარეში ნაზარდის მიმართულებით ხორციელდება. მცენარეში აღმოჩენილია ბრასინოსტერონიდების ჰიდროფიბული გლიკოზიდები, სულფიტები და აცილწარმოებულები. ყველა ამ ნაერთს შეუძლია ტრანსპორტირება. თუმცა ბრასინოსტერონიდების ბიოსინთეზის ფერმენტები იმყოფება მცენარის ყველა უჯრედში, მათი კონცენტრაცია განსაკუთრებით მაღალია ახალ ქსოვილებში. ბრასინოსტერონიდები (როგორც აუქსინები) მოქმედებენ ნაზარდებზე, აძლიერებენ უჯრედის გაჭიმვას. ამასთან, აუქსინისთვის დამახასიათებელია სწრაფი მოქმედება, რომლის დროსაც  $H^+$ -ის ტუმბოს აქტივაცია შეინიშნება 10 და გაჭიმვის მაქსიმუმი 30-45 წთ-ის შემდეგ, ხოლო ბრასინოსტერონიდებისათვის დამახასიათებელია შედარებით შენელებული მოქმედება, რომელიც იწყება 30წთ-ის და გრძელდება 1,5-2 სთ-ის განმავლობაში. თუ სისტემას დაემატება ერთდროულად ორივე სტიმულიატორი, მაშინ ისინი გამოიწვევენ გაცილებით დიდ ეფექტს, ვიდრე ცალ-ცალკე [51].

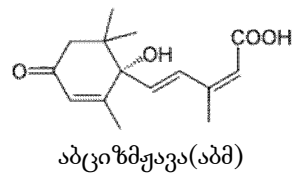
მოლეკულის ღონებზე გაჭიმვის ეფექტი განპიობებულია ქსოვილოგლუკან-ენდოტრანსგლიკოლიკური გენების აქტივაციით. ასეთი გენების აქტივაცია ნაჩვენებია სხვადასხვა მცენარეულ ობიექტებში. ცილები ბიოსინთეზის შემდეგ მიემართებიან უჯრედის კედლისაკენ, და ქსოვილოგლუკანებთან ურთიერთქმედებით უჯრედის კედლელს არბილებენ. ამგვარად, აუქსინი იწყებს გაჭიმვის პროცესს, ხოლო ბრასინოსტერონიდები ხანგრძლივად ინარჩუნებენ მას. ბრასინოსტერონიდები ურთიერთქმედებენ არა მხოლოდ აუქსინებთან, არამედ გიბერელინერთანაც, უჯრედის გაჭიმვის მიმართულებით. ბრასინოსტერონიდების სინთეზის შეფერხების დროს ნაზარდების სიგრძე საგრძნობლად მცირდება. ამის

გარდა, მათ გარეშე მცენარეს არ შეუძლია შეინარჩუნოს აპიკალური კვანძი მოხრილ მდგომარეობაში, ქლოროფილის სინთეზი, კი, მიმდინარეობს სიბრუნვეში. ეს რეაქციები არ არის დამახასიათებელი მცენარის სინათლის გარეშე გამოზრდისას. ამიტომ აკავშირებენ ბრასინოსტეროიდების მონაწილეობას სინათლის სიგნალის გადაცემასთან. უახლესი მონაცემებით, აღმოჩენილია ცილა (ეწ. GATA2), რომელიც შედის ისეთი გენების შემადგენლობაში რომელთა მოქმედების ჩართვა ხდება სინათლით, ხოლო გამორთვა ბრასინოსტეროიდით [52-53]. შემდგომში გაირკვა, რომ ბრასინოსტეროიდი ამ-უხრუჭებს აღნიშნული ცილის წარმოქმნას, ხოლო სინათლე ასტაბილურებს მცენარის უჯრედში მის არსებობას [37,53].

ფესვთა სისტემაზე ბრასინოსტეროიდების და აუქსინის მოქმედება საგრძნობლად განსხვავდება ერთმანეთისაგან: აუქსინი ასტრომულირებს გვერდითი ფესვების წარმოქმნას, ბრასინოსტეროიდები კი აინპიბირებენ ამ პროცესს.

მაღალი დოზებით ბრასინოსტეროიდები აძლიერებენ მცენარის მდგრადობას გარეგანი არასასურველი ფაქტორების მიმართ(გვალვა, ყინვა, ინფექციები) [54,55]. ამ უფასებებით მას გამოყენება აქვს სოფლის მეურნეობაში.

**აბციზმჟავა.** იმისათვის, რომ გადარჩეს გარემო არედან მუდმივი არასასურველი ზემოქმედებისაგან, მცენარეს უნდა შეეძლოს, საჭიროების შემთხვევაში, შეაჩეროს ან დაიწყოს მისთვის დამახასიათებელი ფიზიოლოგიური პროცესები. კვირტები მზათ უნდა იყვნენ არა მხოლოდ ზრდისათვის გაზაფხულზე, არამედ ზამთრის ან ხანგრძლივი გვალვის პერიოდისათვის. ამდენად, მცენარეს უნდა ჰქონდეს სისტემა, მგრძნობიარე შესაბამისი პერიოდისათვის [56].



აბციზმჟავა მიეკუთვნება ზრდის ინპიბიტორებს [57]. ქიმიური აღნაგობის მიხედვით იგი წარმოადგენს სამი იზოპრენული ნაშთისგან შემდგარ ოპტიკურად აქტიურ სესკვიტერპენოიდს. ძირითადად აბდ სინთეზირდება ფოთლებში, გროვდება ქლოროპლასტებში, მცირე რაოდენობით ციტოზოლში და ვაკუოლებში. შესაძლებელია მისი სინთეზი მცენარის სხვა ორანოებშიც, კერძოდ ფესვებში. აბმ-ის ტრანსპორტი ხორციელდება აღმავალი და დაღმავალი მიმართულებით, როგორც ფლოემით, ისე ქსილებით. აბმ-ს შეიცავს მცენარის სხვადასხვა ორგანოები. იგი აღმოჩენილია კვირტებში, შშრალ თესლში, კარტოფილის ბოლქვებში. ხელს უწყობს თესლის, კვირტების, ბოლქვების მოსვენების მდგომარეობაში გადასვლას. ინპიბიტორის არსებობა იწვევს, ზამთრის პერიოდში, მეტაბოლური პროცესების შეწყვეტას [58]. ზრდის პროცესი, რომელიც ინდუცირდება იმმ-ით, გიბერელინით ან ციტოკინინით მუხრუჭდება აბმ-ით. თესლის გაღვივებაზე და ქსოვილის ზრდაზე აბმ-ის მაინპიბერებელი მოქმედება შესაძლებელია მოიხსნას გიბერელინებით ან ციტოკინინებით დამუშავების შედეგად.

აბმ-ს, რომელსაც სტრესის ჰორმონსაც უწყოდებებს, როგორც წესი, წარმოიქმნება სტრესული ან არასასურველი სიტუაციების დროს და ახდენს მცენარის შეგუებას ამ სიტუაციების მიმართ [59]. ამის კლასიკური მიგალითია აბმ-ის სინთეზი წყლის ნაკლებობის შემთხვევაში. წყლი ნაკლებლობის დროს აბმ-ის შემცველობა ფოთლებში სწრაფად იზრდება, იხურება ბაგები და ფოთლებიდან (დახურული ბაგებით) წყლის დანაკარგი მცირდება, ამით მცენარე უკეთ იტანს გვალვას. როდესაც მცენარისათვის წყლის მიწოდება იწყება, ბაგე სწრაფად არ იხსნება, იხსნება გარკვეული დროის, ფოთოლში აბმ-ის რაოდენობის შემცირების შემდეგ. ბაგის დახურვა აბმ-ის ერთ-ერთი ძირითადი როლია. ეს სწრაფი რეაქცია, მაშინ, როდესაც მოსვენების პერიოდის ინდუცია წარმოადგენს საერთო მეტაბოლიზმის ცვლილების შედარებით ნელი პროცესს. აბმ მოქმედებს რიმოდენიმე ძირითადი მექანიზმის მიხედვით. ბაგების დახურვით იგი მოქმედებს ჩამკეტი უჯრედებიდან კალიუმის გადაადგილებაზე. მოსვენების მდგომარეობის ინდუცირებისას იგი ახდენს რნმ-ს და ცილების სინთეზის ბლოკირებას [60].

**ეთილენი.** ეთილენი სტუქტურის მიხედვით ყველაზე მარტივი ფიტოჰორმონია. ხილის ლპობისას გამოიყოფა ეთილენი, რომელიც იწვევს ჯანმრთელი ხილის დაავადებას, რეაქცია მიმდინარეობს ჯაჭვურად [61]. იგი მცირე რაოდენობაც კი ახდენს დიდ უფექტს. ეთილენის მოქმედების დასათრგუნად ხილს ინახავნ CO<sub>2</sub>-ის არეში. აღმოჩნდა, რომ უჯრედზე ეთილენის და მისი საწინააღმდეგო CO<sub>2</sub>-ის

მოქმედება არის მცენარეში მიმდინარე ნორმალური ფიზიოლოგიური რეგულიაცია. ითვლებოდა, რომ ეთილენი წარმოიქმნებოდა მცენარის პათოგენებით დაავადებისას ან, მცენარეული უჯრედის დაშლით, განპირობებული მექანიკური დაზიანებით, შენახვის არასათანადო პირობებით ან სართოდ დაძერებით. შემდეგ დადგინდა, რომ ეთილენი წარმოადგენს მცენარის ჯანმრთელი უჯრედების მიერ გამომუშავებულ ჩვეულებრივ მეტაბოლიტს, რომელიც ახორციელებს ნორმალურ მარეგულირებელ ისეთი პროცესების კონტროლს, როგორებიცაა - ხილის დამწიფება და ფოთლების ცვენა [62].

ეთილენი, ასრულებს მნიშვნელოვან როლს მცენარის დაბერების რეგულიაციის სხვადასხვა ასპექტში, მაგალითად გვითხოვთ კენობაში, ნაყოფის დამწიფებაში და ფოთლების ცვენაში [57]. მცენარის უვავილი დამტკრვერვამდე გარკვეული დროით არის ქორფა, დამტკრვების შემდეგ კი, მაღლიან მაღლე ჭენება. ამის მიზეზია დამტკრვების შედეგად ეთილენის წარმოქმნის ინიცირება, რომელიც იწვევს უვავილის უკანასკნელების დაბერებას.

ეთილენი მონაწილეობს ხილის დამწიფების ბუნებრივ პროცესში. ამ პროცესში აუქსინიც მონაწილეობს, მაგრამ აუქსინი და ეთილენი მოქმედებებს ანტიგონისტები. აუქსინი ანელებს დამწიფების პროცესს და ფოთლების ცვენას, ეთილენი კი, აჩქარებს ორივე პროცესს [63-65].

ამდენად, მცენარეში პორმონები ერთობანეთთან მჭიდრო ურთიერთკავშირში იმყოფებიან: აუქსინები აინდუცირებენ ეთილენის და ციტოკინინების წარმოქმნას, გიბერილინები ზრდას იძმ-ს შემცველობას, ციტოკინინები აძლიერებენ იძმ-ს სინთეზს, მაგრამ ამცირებენ თავისუფალი აბმ-ს, ეთილენი ამუსრუჭებს იძმ-ს ტრანსპორტს და ზრდის აბმ-ს შემცველობას [6,9,26,31,50,75]. კულტურის ქსოვილზე ფიტოპორმონების დამატება არეგულირებს მცენარის ენდოგენური პორმონების სინთეზს, რასაც მუღავნება უჯრედების და ქსოვილის მრავალფეროვან მორფოგენეტიკურ რეაქციებში [5,66,67]. განხილული მასალიდან გამომდინარე, შესაძლებელია ფიტოპორმონების ისორ კომპოზიციის შექმნა, რომლის გამოყენებით მიღება აოტიმალური საკვები არე მცენარეების მიკროკლონარული გამრავლებისა და უკირუსო სათესლე მასალის წარმებისათვის.

სამუშაო შესრულებულია საქართველოს  
სამეცნიერო ფონდის ხელშეწყობით (გრანტი № 10/07)

## ლიტერატურა – ЛИТЕРАТУРА – REFERENCES

1. Чуб В.В. Рост и развитие растений. Гормональная система растений. 2003. herba.msu.ru/russian/.../index\_7.html.
2. Якушина Н.И. Физиология растений. молекулярные основы действия фитогормонов. Изд."Владос", 2004, 464с. fizrast.ru/skachat.html .
3. Егоршина А.А.,Хайруллин Р.М.,Сахабутдинова А.Р., Лукьянцев М.А. Участие фитогормонов в формировании взаимоотношений проростков пшеницы с эндофитным штаммом *Bacillus subtilis* 11BM. Физиология растений, 2012, 59, №1, 148-155.
4. Романов Г.А. Гормональная регуляция клубнеобразования у картофеля. Физиология растений, 59, №4, 2012, 491-498.
5. Блюм Я.Б., Красиленко Ю.А., Емец А.И. Влияние фитогормонов на цитоскелет растительной клетки. Физиология растений, 59, №4, 2012, 557-574.
6. Н.В. Обручева. Переход от гормональной к негормональной регуляции на примере выхода семян из покоя и запуска прорастания. Физиология растений, 59, №4, 2012, 591-601.
7. Вэньбин Ляо, Цзюань Чжан, Наньфэй Сюй, Мин Пэн. Роль фитогормонов в росте волокон хлопчатника. Физиология растений, 57, № 4, 2010, 495-503.
8. Третьякова И.Н., Иваницкая А.С., Иванова А.Н., Барсукова А.В. Содержание фитогормонов в микростробилах и андроклином каллусе *In Vitro* у лиственницы. Физиология растений, 56, № 5, 2009, 718-726.
9. Кравец В.С., Колесников Я.С., Кузнецов Вл.В., Романов Г.А. Регуляторы роста растений: внутриклеточная гормональная сигнализация и применение в аграрном производстве. Второй международный симпозиум. Киев, Украина, 12 октября 2007, 629-633.
10. Тараховская Е.Р., Маслов Ю.И., Шишова М.Ф. Фитогормоны водорослей. Физиология растений, 54, № 2, 2007, 186-194.
11. М.А. Гусаковская, А.Н. Блинцов, И.П. Ермаков. О гормональной регуляции мбриогенеза *in vivo* у растений. Доклады РАН, 1998, 363, №2, 260-262.

12. Ауксин. Земная флора. <http://geo-plant.ru/auksin>.
13. Ауксины. Физиология растений. <http://fizrast.ru/razvitie/rost/fitogormony.html>.
14. Teale W. D., Paponov I. A., Palme K. Auxin in action: signaling, transport and the control of plant growth and development. Nat. Rev. Mol. Cell. Biol, 2006, 7, 847—859.
15. Woodward A. W., Bartel B. Auxin: regulation, action, and interaction. Ann. Botany. 2005, 95, 707—735.
16. Ауксин и его синтетические аналоги. <http://eco-siol.ru/htmls/auksin.htm>.
17. Гауптман З., Грефе Ю., Ремане Х. Органическая химия. Пер. с немецкого. Москва, изд. "Химия", 1979, 830с.
18. Смоленская И.Н., Решетняк О.В., Смирнова Ю.Н., Черня Н.Д., Глоба Е.Б., А.В. Носов. Противоположное влияние синтетических ауксинов – 2,4-дихлорфеноксикусной и 1-нафтилкусной кислот на рост культуры клеток женьшена настоящего и синтез гинзенозидов. Физиология растений. 2007, 54, № 2, 243-252.
19. Sh. Zhang, S. Chen, F. Chen, Zh. Liu, W. Fang. The Regulatory Role of the Auxin in the Creeping Chrysanthemum Habit. Физиология растений, 2012, 59, № 3, 402-409.
20. Гуан-У Чжао, Цзянь-Хуа Ван. Влияние ауксина на удлинение мезокотиля у растущих в темноте проростков кукурузы при разной глубине заделки семян. Физиология растений, 2010, 57, № 1, 86-94.
21. Иванов И. И. Эндогенные ауксины и ветвление корней при изолированном питании растений пшеницы. Физиология растений, 2009, 56, № 2, 241-47.
22. Андреев. И.М., Тимофеева Г.В., Минкина Ю.В., Ковалева Л.В. Изменения внутриклеточного pH пыльцевых зерен *Petunia hybrida* под действием экзогенных фитогормонов. Физиология растений, 2007, 54, № 5, 707-714.
23. Бутенко Р.Г. Рост и дифференциация в культуре клеток растений. Рост растений и природные регуляторы. М., изд. Наука, 1977, 280с.
24. Гамвург К.З., Рекославская Н.И., Швецов С.Г. Ауксины и культурах тканей и клеток растений. Новосибирск, изд. Наука, 1990, 190с.
25. Ковалева Л.В., Захарова Е.В., Минкина Ю.В.. Ауксин и флавоноиды в программной фазе оплодотворения у петунии. Физиология растений, 2007, 54, № 3, 449-454.
26. Высоцкая Л.Б., Черкозьянова А.В., Веселов С.Ю., Кудоярова Г.Р. Роль ауксинов и цитокининов в формировании боковых корней у растений пшеницы с частично удаленными первичными корнями. Физиология растений, 2007, 54, № 3, 2007, 455-460.
27. Веселов Д.С., Сабиржанова И.Б., Сабиржанов Б.Е., Чемерис А.В. Изменения экспрессии гена экспансина, содержания ИУК и скорости растяжения клеток листа растений кукурузы. Физиология растений, 2008, 55, № 1, 108-113.
28. Загорская А. А., Сидорчук Ю. В., Шумный В. К., Е. В. Дайнеко Е. В. Динамика ИУК и цитокининов в тканях цветков трансгенных растений табака с мутантным фенотипом. Физиология растений, 2009, 56, № 6, 917-926.
29. Гиббереллиры. Земная флора. <http://geo-plant.ru/gibberelliny>.
30. Гиббереллиры. Физиология растений. <http://fizrast.ru/razvitie/rost/fitogormony/gibberelliny.html>.
31. Головацкая И.Ф. Регуляция гиввериллинами роста, развития и гормонального баланса растений *Arabidopsis*. Физиология растений, 2008, 55, № 3, 348-354.
32. К. Р. Бхат, В. С. Такер Связь между содержанием гибберелловой кислоты и воды в семени хлопчатника. Физиология растений, 2008, 55, № 6, 895-901.
33. R. W. King. Mobile Signals in Day Length Regulated Flowering: Gibberellins, Flowering Locus T, and Sucrose. Физиология растений, 2012, 59, № 4, 521-528.
34. Аксенова Н.П., Константинова Т.Н., Ложникова В.Н., Голяновская С. А.. Влияние длины дня и фитогормонов на клубнеобразование у картофеля в культуре In Vitro. Физиология растений, 2009, 56, № 4, 500-509.
35. Olszevski N., Sun T.P., Gubler F. Gibberellin signaling: biosynthesis, catabolism, end response pathways. Plant Cell. 2002, 14, 61-80.
36. Чуб В.В. «Роль позиционной информации в регуляции развития органов цветка и листовых серий побегов». Монография. - М.: «Издательство Бином. Лаборатория знаний», 2010, 264 С.
37. Шпаков А.О. Хемосигнальные системы растений. Цитология. 2009, 51, № 9, 721-723.

38. Hartweck L. M. 2008. Gibberellin signaling. *Planta*. 2008, 229 ,1—13.
39. Griffiths J.,Murase K.,Rieu I.,Zentella R.,Zhang Z.L.,Powers S.J.,Gong F.,Phillips, A.L., Hedden P.,Sun T.P.,Thomas S.G. Genetic characterization and functional analysis ofthe GID1 gibberellin receptors in *Arabidopsis*. *Plant Cell*. 2006. 18, 3399—3414.
40. Chow B., McCourt P. 2006. Plant hormone receptors: perception is everything. *Genes Develop*. 2006, 20, 1998—2008.
41. Цитокинины. Земная флора. <http://geo-plant.ru/tsitokiniy>.
42. Цитокинины. Физиология растений. <http://fizrast.ru/razvitie/rost/fitogormony/citokininy.html>.
43. Цитокинины.Большая Энциклопедия Нефти и Газа. <http://www.ngpedia.ru/id587704pl.html>.
44. Романов Г.А. Открытие рецепторов и биосинтеза цитокининов. *Физиология растений*, 2011, 58,№4,631-638.
45. Высоцкая Л.Б., Авальбаев., А.М., Юлдашев Р. А.,Шакирова Ф.М.,Веселов С.Ю., Кудоярова Г. Р. Регуляция активности цитокининоксидазы какфактора, определяющего содержание цитокининов. *Физиология растений*. 2010, .57,№ 4, 530-538.
46. Романов Г.А.. Как цитокинины действуют на клетку. *Физиология растений*. 2009, 56,№ 2, 295-305.
47. Inoue T., Higuchi M., Hashimoto Y., Seki M., Kobayashi M.,Kato T., Tabata S., Shinozaki K., Kakimoto T.Identificationof CRE1 as a cytokinin receptor from *Arabidopsis*. *Nature*. 2001, 409 ,1060—1063.
48. Hwang I., Chen H. C., Sheen J. Two-component signal transduction pathways in *Arabidopsis*. *Plant Physiol*. 2002, 129 , 500—515.
49. Гусаковская М.А., Блинцов А.Н., Баринова Ю.В., Ермаков И.П. Об изменении содержания эндогенных цитокининов в завязях *Triticum aestivum* L. до и после оплодотворения. *Физиология растений*. 1998, 45, N6, 865-869
50. Яхин О.И., Лубянов А.А., Яхин И.А..Изменения в содержании цитокининов, ауксина и абсцизовой кислоты в проростках пшеницы при действии регулятора роста стифуна. . *Физиология растений*, 2012, 59,№ 3, 404-412.
51. Попов Ф.А., Драченова О.А., Чащина Н.М., Иванова Г.В.,Завадская М.И. Вуйствие брасиностероидов на рост, развитие и продуктивность овощных культур. Материалы II международной научной конференции: Регуляция роста, развития и продуктивности растений. Минск, 2001, 125-127.
52. Belkhadir Y., Chory J. 2006. Brassinosteroid signaling: a paradigmfor steroid hormone signaling from the cell surface. *Science*. 2006, 314 , 1410—1411.
53. Раскрыты секрет световой чувствительности растений. <http://globalsciense.ru/artikle/read/18984>.
54. Федина Е.О., Каримова Ф.Г., И.А. Тарчевский И.А., И.Ю. Торопыгин И.Ю. Влияние эпибрасинолида на фосфорилирование по тирозину некоторых ферментов цикла Кальвина. *Физиология растений*, 2008, 55,№ 2, 210-218.
55. Прасакова Л.Д., Чижова Л.И., Агеева Л.Ф.,Голанцева Е.Н. Влияние брасиностероидов на морфофизиологические параметры, продуктивность и устойчивость к стрессовым условиям пшеницы и ячменя. Материалы международной научной конференции: Регуляция роста, развития и продуктивности растений. Минск, 1999, 85-90.
56. Абцизовая кислота.Физиология растений. <http://fizrast.ru/razvitie/rost/fitogormony/ abscisovaya-kislota.html>.
57. Шарипова Г.В., Веселов Д.С., Кудоярова Г.Р., Тимергалин М.Д. Влияние ингибитора рецепции этилена на рост, водный обмен и содержаниеабсцизовой кислоты у растений пшеницы при дефиците воды. *Физиология растений*, 2012, 59,№ 4, 619-626.
58. Таланова В.В.,Титов А.Ф.,Топчиева Л.В.,Фролова С.А. Влияние абсцизовой кислоты на экспрессию генов цистеиновой протеиназы ее ингибитора при холодовой адаптации растений пшеницы. *Физиология растений*, 2012, 59,№ 4, 627-634.
59. Новикова Г.В., Степанченко Н.С., Носов А.В., Мошков И.Е. В начале пути: восприятие АБК и передача ее сигнала у растений. *Физиология растений*, 2009, 56,№6, 806-824.
60. Гусаковская М.А., Блинцов А.Н. Пространственное и временное распределение свободной и связанной форм АБК в завязях пшеницы и одуванчика в период активности яйцеклетки. *Физиология растений*, 2006, 53, №3, 397-401.
61. Этилен - гормон старения. Земная флора. <http://geo-plant.ru/etilen--gormon-starenlya>.

62. Ковалев Л.В., Тимофеева Г.В., Захарова Е.В., Воронков Е.В., Ракитин В.Ю. Синтез этилена в тканях рыльца петунии контролирует рост пыльцевых трубок в программной фазе оплодотворения. Физиология растений, 2011, 58, № 2, 338-345.
63. Гутиерrez О.А., Вуббен М.Дж., Хауард М., Робертс Б., Хэнлон Е., Уилкинсон Дж.Р. Роль этилена и ауксина во взаимодействии растений и нематод. Физиология растений. 2009, 56, № 1, 3-8.
64. Ракитин В.Ю., Карягин В.В., Ракитина Т.Я., Прудникова О.Н Особенности образования АБК у мутантов *Arabidopsis thaliana* по этиленовому сигнальному пути при УФ-В стрессе. Физиология растений, 2008, 55, № 6, 942- 245.
65. Буланцева Е.А., Проценко М.А., Торопкина А.С., Кораблёва Н.П. Выделение этилена и активность белкового ингибитора полигалактуроназы в плодах яблони и банана при действии стимуляторов и ингибиторов биосинтеза этилена. Прикладная биохимия и микробиология, 2011, 47, № 2, 201-209.
66. Журавлев Ю.Н., Омелько А.М. Морфогенез у растений *in vitro*. Физиология растений. 2008, 55, № 5, 643-664.
67. Дерябин А.Н., Юрьева Н.О. Синхронизация процесса клубнеобразования у картофеля *in vitro* посредством синхронизации клеточных делений в пазушных меристемах стеблевых эксплантов. Физиология растения, 2008, 55, № 6, 916-221.

### THE PHYTOHORMONS

Rusudan Mdivani, Nikoloz Zarnadze, Venedikte Tsereteli

*The Center of Young Scientists Isotope*

#### SUMMARY

Mechanisms of action of phytohormones in different intracellular processes have been considered. The right direction for the preparation of nutrition media for cultivate the cells and tissues *in vitro* may be considered for using the compositions of several hormones, which will be contribute for achieving their maximum of synergy.

### ФИТОГОРМОНЫ

Р.В.Мдивани, Н.К.Зарнадзе, В.С.Церетели

*Центр (союз) молодых ученных - Изотопы*

### РЕЗЮМЕ

Рассмотрены механизмы действия фитогормонов на разные внутриклеточные процессы. Правильным направлением приготовления питательных сред для культивирования клеток и тканей *in vitro* можно считать применение композиций из нескольких гормонов, что будет способствовать достижению их максимального синергизма.

**ХИМИЯ ОКРУЖАЮЩЕЙ СРЕДЫ****К ВОПРОСУ О ВРЕДЕ И ПОЛЬЗЕ РУСТАВСКОГО  
ЛЕЖАЛОГО МАРТЕНОВСКОГО ШЛАКА**

М.К.Гугешидзе, Д.В.Эристави, А.В.Саруханишвили

*Грузинский технический университет*

Мартеновским шлакам посвящено немало научно-технических исследований. В них рассматриваются как и процесс получения, так и дальнейшая «судьба» этих отходов сталеплавильного производства, не исключая вопросов их воздействия на окружающую среду.

Известно, что мартеновские шлаки, размещенные в отвалах, вредно влияют на атмосферу, гидросферу и почвенный покров окружающей местности, вызывая ухудшение состояния флоры, фауны и здоровья людей [1,2]. Уже это обстоятельство вызывает стремление к поиску рациональных способов их утилизации. К таким способам утилизации относится использование их в качестве вторичного сырья для получения металла и иных материалов, особенно в условиях истощения запасов железосодержащих природных руд. В этом направлении в мире достигнуто почти полное использование мартеновских шлаков для производства чугуна и стали, цемента, оснований для дорог, асфальтобетонных покрытий, заполнителей мелкозернистых бетонов, закладочных смесей, материала для известкования почв и т.д. [3,4]. В результате этих работ мартеновский шлак был причислен к классу техногенного сырья, использующегося в качестве исходного материала во многих отраслях промышленности и сельского хозяйства.

Анализ сведений по использованию мартеновских шлаков в качестве техногенного сырья показывает, что для рационального решения вопроса сфер применения этого сырья необходимо:

- установить химический и минералогический составы, определяющие металлургическую и иную ценности шлака;
- выяснить степень подготовленности шлака для конкретных переделов;
- установить требования, предъявляемые к металлургическому и иному переделам, исходя из основных факторов, характеризующих качественность передела.

При решении этих вопросов необходимо учитывать условия складирования и возможные последствия длительного хранения шлаков.

Вышеизложенное непосредственно касается выплавки стали на территории Руставского металлургического завода (ныне Georgian Steel Ltd), в отвалах которого находится ~24 млн тонн металлургических шлаков. Из них более половины составляют мартеновские шлаки (~13 млн тонн). Они, так же как и доменные шлаки, наряду с находящимся в этих же отвалах ломом, считаются потенциальным техногенным сырьем для возобновления действия металлургического предприятия малотоннажной производительности после прекращения поставок железосодержащих руд Дацкесанского месторождения (Азербайджан).

С этой целью были приобретены линии отделения лома от шлаков и переработки последних. В настоящее время действуют электросталеплавильные камерные печи, в основном использующие лом. Что же касается железа, извлеченного из шлаков, оказалось, что их использование в качестве сырья связано с определенными трудностями.

Даже в случае успешного использования всех ресурсов, находящихся в отвалах, основная масса шлаков вновь продолжает оставаться вредным ингредиентом, представляющим еще большую, чем раньше, опасность для окружающей среды. Вызвано это тем обстоятельством, что эта масса, помимо внутришлакового диспергирования и диспергирования, вызванного взаимодействием с атмосферными явлениями, претерпела и механическое измельчение.

Нам представляется, что подобное состояние дел является следствием пренебрежения накопленным в мире опытом по рациональному использованию техногенного сырья (в том числе и шлаков), особенно на стадии оценки ценности отходов, неучета результатов долговременного воздействия его «среды обитания» на состояние (природу) шлаков. В качестве подтверждения этого мнения ниже приводятся результаты исследования мартеновского шлака.

Целью исследования было сравнение химического состава ныне обрабатываемого мартеновского шлака со «свежим», доставляемым в отвал непосредственно после плавки стали. Не имея данных о составе шлака в течение всей деятельности металлургического предприятия, нами

был смоделирован состав по записям ЦЗЛ, относящимся к 1985г.\* (см. табл. 1). Что же касается нынешних шлаков, нами, совместно с работниками отделения переработки шлаков, были взяты пробы переработанного шлака с разным содержанием  $\text{Fe}_2\text{O}_3+\text{FeO}$ : ~30 мас.% (№1), ~20 мас.% (№2) и ~10 мас.%. Во всех случаях были взяты пробы одинаковой фракции – 0-10 мм. Результаты химического состава приведены в табл. 1.

**Таблица 1.** Оксидный состав «свежего» (моделированного) и трех образцов шлака

№ образца	Содержание оксидов, мас. %														
	$\text{P}_2\text{O}_5$	$\text{TiO}_2$	$\text{SiO}_2$	$\text{MnO}_2$	$\text{Al}_2\text{O}_3$	$\text{Fe}_2\text{O}_3$	$\text{FeO}$	$\text{MnO}$	$\text{CaO}$	$\text{MgO}$	$\text{R}_2\text{O}$	$\text{SO}_3$	$\text{H}_2\text{O}$	$\text{CO}_2$	$\Sigma$
M	1,21	0,4	26,08	-	5,02	4,01	6,02	4,1	41,17	10,03	0,50	CaS 1,55	-	-	100,00
1	0,23	0,40	18,70	0,88	3,30	24,2	6,10	2,64	26,1	5,3	0,30	2,25	8,28	1,32	100,00
2	0,40	0,60	23,30	1,55	4,0	16,7	4,70	4,70	30,0	5,3	0,40	1,0	4,89	2,46	100,00
3	0,40	0,90	24,7	1,65	4,10	7,50	2,70	4,09	38,0	4,7	0,65	1,0	7,47	2,47	100,00

Анализ сведений, представленных в табл. 1, приводит к выводу, что из составляющих пробы оксидов наибольшее удивление вызывает резкое отличие между содержанием оксидов железа в свежем шлаке и в пробах 1 и 2. Помимо этого, нельзя не заметить своеобразное изменение содержания  $\text{CaO}$  и  $\text{MgO}$ : первый из них увеличивается по мере изменения условий магнитной обработки, а второй – уменьшается.

Эти аномалии, по-видимому, могут быть объяснены следующим образом. Различие в содержании оксидов железа может быть связано с попаданием в шлак оксидного железа с поверхностных окалин лома и наличия в шлаках мельчайших зерен (частиц) окисленных корольков и скрата, а уменьшение  $\text{MgO}$  – образованием соединений, обладающих магнитными свойствами.

О причинах иных изменений в содержании отдельных оксидов можно судить по минералогическому составу образцов, полученному петрохимическим перерасчетом оксидного состава (табл. 2).

Данные, представленные в табл. 2, указывают на то, что один конгломерат минералов (шлак) в результате долговременного «лежания» в отвале переходит в иной конгломерат, который вряд ли может именоваться мартеновским шлаком. Причина этого во внутришлаковых превращениях и воздействии ингредиентов окружающей среды на шлак, что подтверждается термодинамическими расчетами [7].

Полученный конгломерат отличается от свежего шлака наличием в нем большого количества соединений, способных проявлять свойства вяжущих и их содержание тем больше, чем полнее степень извлечения металла из шлака. К подобным соединениям относятся тонкодисперсные, чаще всего состоящие из частичек коллоидных размеров минералы, этрингитподобные соединения, тоберморитоподобный, частично закристаллизованный силикат кальция, водные и безводные алюминаты и ферриты кальция.

Второй по значимости группой минералов представляются шпинели, среди которых не так уж мало веществ с магнитными свойствами. Та же часть минералов, которая была доминантной в свежем шлаке, оказалась третьей по значимости. Вполне возможно, что эти минералы могут быть связаны с гелеподобной массой и тогда количество островных индивидуальных минералов станет ничтожным [8].

Необходимо отметить, что все указанные минералы, особенно в случае их механического диспергирования и оставления вторичных отходов в отвалах, станут источником вредного влияния на окружающую среду. Ветер разнесет их по округе, вызывая у местного населения заболевания легких и глаз. Смытая дождями и талыми водами тонкодисперсная часть нового конгломерата будет загрязнять почву и грунтовые воды, попадая затем в родники и колодцы. Следовательно, вместе с использованием конгломератов, получаемых в результате долговременного хранения мартеновского шлака, в целях обеспечения сырьем сталеплавильного производства должны решаться вопросы

\* Выражаем искреннюю признательность инж. Ш. Попиашвили за помощь в поисках.

вторичных отходов на основе выполнения упомянутых выше двух остальных требований, предъявляемых к техногенному сырью.

**Таблица 2.** Расчетный минералогический состав свежего и образцов лежалого шлака [7]

Группы минералов (соединений)	«Цельный шлак», масс.%	Мартеновский шлак после ~60 лет, переработанный, масс.%		
		содерж. ~30масс.% Fe <sub>2</sub> O <sub>3</sub>	содерж. ~20масс.% Fe <sub>2</sub> O <sub>3</sub>	содерж. ~10масс.% Fe <sub>2</sub> O <sub>3</sub>
Соединения, отличающиеся вяжущими свойствами	---	5.9	2.64	2.64
Этрингит 3CaO·Al <sub>2</sub> O <sub>3</sub> ·3CaSO <sub>4</sub> ·32H <sub>2</sub> O				
Ферроэтрингит 3CaO·Fe <sub>2</sub> O <sub>3</sub> ·3CaSO <sub>4</sub> ·32H <sub>2</sub> O	---	6.17	2.76	2.76
Тоберморитоподобный гидросиликат кальция, C-S-(II)	---	26.06	30.02	35.40
Браунмиллерит 4CaO·Al <sub>2</sub> O <sub>3</sub> ·Fe <sub>2</sub> O <sub>3</sub>	----	2.09	3.11	2.43
Четырехкальциевый фосфат 4CaO·P <sub>2</sub> O <sub>5</sub>	3.11	0.58	0.95	1.03
Двухкальциевый феррит 2CaO·Fe <sub>2</sub> O <sub>3</sub>	1.93	---	---	---
Двухкальциевый алюминат 2CaO·Al <sub>2</sub> O <sub>3</sub>	6.42	---	---	---
Ларнит B-2CaO·SiO <sub>2</sub>	13.40	---	---	---
Натрий (калий)-кальций-алюминат R <sub>2</sub> O·8CaO·3Al <sub>2</sub> O <sub>3</sub>	5.33	3.16	4.25	6.91
Воластонит α-CaO·SiO <sub>2</sub>	9.04	---	---	---
Известь CaO	1.35	---	---	---
	40.58	43.96	43.73	51.17
Оксиды (сульфиды)	---	0.32	---	---
Маггемит Fe <sub>2</sub> O <sub>3</sub>				
Периклаз MgO	4.34	1.62	1.47	0.96
Вьюстит Fe <sub>0.95</sub> O	1.01	---	0.58	0.69
Кварц SiO <sub>2</sub>	---	7.59	8.03	7.00
CaS	1.55	---	---	---
	5.32	9.53	10.08	8.65
Шпинели	---	1.71	2.19	1.17
Шпинель, MgO·Al <sub>2</sub> O <sub>3</sub>				
Титанат магния 2MgO·TiO <sub>2</sub>	0.82	0.80	1.20	1.81
Гаусманит 2MnO·MnO <sub>2</sub>	---	2.31	4.07	4.32
Магнезиоферрит MgO·Fe <sub>2</sub> O <sub>3</sub>	1.20	9.88	5.34	2.40
Магнетит FeO·Fe <sub>2</sub> O <sub>3</sub>	2.78	18.50	10.95	4.63
Феррит марганца MnO·Fe <sub>2</sub> O <sub>3</sub>	---	2.58	5.10	1.82
	4.80	35.78	28.85	16.15
Островные силикаты	12.79	4.93	9.20	13.15
Мервинит 3CaO·MgO·2SiO <sub>2</sub>				
Монтичеллит CaO·MgO·SiO <sub>2</sub>	13.51	0.78	1.56	1.56
Ферримонтичеллит CaO·FeO·SiO <sub>2</sub>	10.87	0.94	1.88	1.50
Глаукохроит CaO·MnO·SiO <sub>2</sub>	10.57	1.09	1.50	2.25
Карбонат кальция CaCO <sub>3</sub>	---	3.00	3.20	5.61
	47.74	10.74	16.34	24.04

Вернемся к вопросу извлечения железа. Как уже отмечалось, наибольшей аномалией было различие в содержании оксидов железа. Действительно, в свежем шлаке их количество составляет 10,03 мас. %, тогда как в результате предпринятых мер по доведению материала до содержания ~10 мас.% потребовалось «изъятие» 10,2 мас.  $\text{Fe}_2\text{O}_3 + \text{FeO}$ . Получается, что в исходных лежальных шлаках оксидов железа было как минимум в 3 раза больше, чем в свежих. Это является подтверждением высказанного предположения о наличии в лежальных шлаках корольков и скрата, а

также мельчайших зерен оксидного железа окалины, которые, наряду с рядом шпинелей, могут быть дополнительно изъяты из шлака, тем самым увеличивая долю минералов с вяжущими свойствами.

Несомненно то, что представленные в настоящей работе сведения не могут быть восприняты как полная характеристика руставских металлургических шлаков. Они лишь подтверждают целесообразность проведения предварительных работ, включающих установление ценности, подготовленности к переделам и их сути, до принятия практических мер по его использованию. Мировая практика показывает, что затраты на предварительные работы полностью окупаются с большей прибылью для производства, содействуя улучшению состояния окружающей среды, чем без проведения этих работ..

## ლიტერატურა – ЛИТЕРАТУРА – REFERENCES

1. Баталин Б.С. Вред и польза шлаковых отвалов. Журнал «Природа», 2003, №10. с. 27-32.
  2. Горшков В.С. и др. Комплексная переработка и использование металлургических шлаков в строительстве. Москва, 1985.
  3. Остров Е.И. и др. <http://www.masters.edu.ua/2005/fizmet/koncenko/library/article6.htm>.
  4. Анашкин Н.С., Павленко С.И.. Мартеновские шлаки. Новосибирск, СО РАН, 2006, 136с.
  5. Каталог промышленных отходов народного хозяйства ГССР. Минстроймат. ГССР, Госком. по снабж. ГССР, Тб., 1985, 30 с.
  6. Саруханишвили А.В., Гугешидзе М.К., Эристави Д.В. Техногенные ресурсы минерального сырья Грузии. Химическая промышленность Грузии, Прошлое, настоящее, будущее. Книга, посвященная 100-летию Р.И. Агладзе. Тбилиси, 2011, с. 233-251.
  7. Гугешидзе М.К. Физико-химические принципы отнесения твердых отходов к технологическому сырью на примере шлаков шлакохранилища Руставского металлургического предприятия. Диссертация на соискание академической степени доктора. Тбилиси, 2011, 150с.
  8. Саруханишвили А.В., Гогишвили А.П., Эристави Д.В., Гугешидзе М.К. К вопросу термодинамики взаимодействия ряда минералов в реагентами окружающей среды. Известия АН Грузии, серия химическая, т. 33, №4, 2007, с. 419-423.

რუსთავის მოძღვალებული მარტენის ზოდის ზიანება და სარგებლის საკითხისათვის

მაია გუგეშიძე, დიმიტრი ერისთავი, არჩილ სარუხანიშვილი

საქართველოს ტექნიკური უნივერსიტეტი

ରେଖାଶାସ

საშორმში მოტანილია არსებული მონაცემები მარტენის წილებისადმი როგორც ტექნოლოგური ნედლეულისადმი მიღების შესახებ. შემოთავაზებულია რუსთავის მარტენის წილების ქიმიური და მინერალოგიური შედეგნილობის საკუთარი გამოკვლევების შედეგები. ნაჩვენებია, რომ ნაყარებში ამ წილების ხანგრძლივი შენახვის შედეგად ისინი მინერალთა ხარისხობრივად ახალ კონგლომერატად იქცევა. გამოთქმულია მოსაზრება, რომ ამ პროცესტის ტექნოლოგური ნედლეულის სახით გამოყენების შესახებ პრაქტიკული გადაწყვეტილებების მიღებამდე აუცილებელია მისი ღირებულების, გვიდებულებისთვის მზაობის ხარისხისა და ამ გადამუშავების არსის დადგენა.

## **ON THE QUESTION OF DANGERS AND BENEFITS OF RUSTAVI STEEL OPEN-HEARTH SLAG**

Maja Gugeshidze, Dmitri Eristavi, Archil Sarukhanishvili

*Georgian Technical University*

## SUMMARY

Current information on the approaches to open-hearth slags as technogenic raw materials are given in the work. Results of in-house researches of chemical and mineralogical composition of Rustavi open-hearth slags are offered. It is shown that as a result of long-term storage of these slags in the dumps they transform into brand new conglomerate of minerals. There is an opinion that before taking a practical decision on the use of this product as technogenic raw material is necessary to establish its value, degree of readiness to the processing and the essence of this processing.

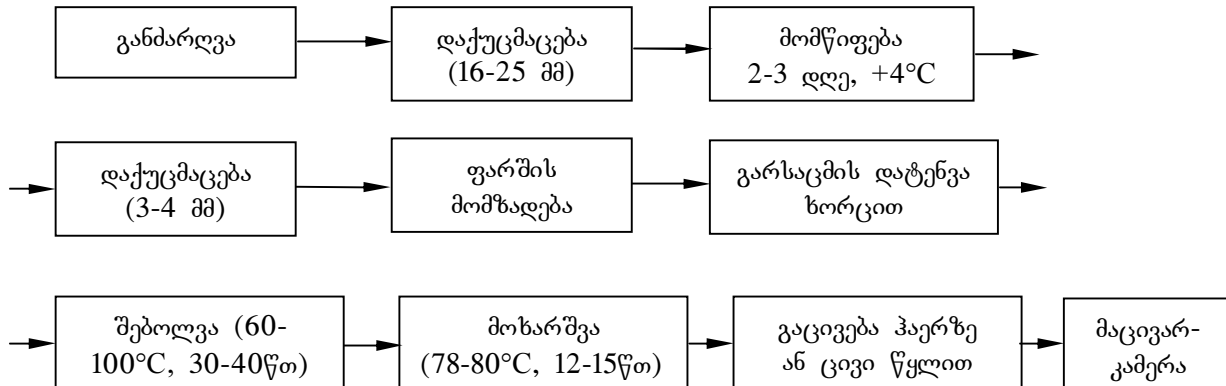
**ძიმიში ეპოლობის****ხორციელების ფარმოების ჩამდინარე ფყლის გაფანდის  
ტექნოლოგიური პროცესის სქემის დამუშავება**

ლეილა გვერდწითელი, ჯულიეტა გუგეშიძე, იზოლდა ბაზლაძე  
საქართველოს ტექნიკური უნივერსიტეტი

მრეწველობის სწრაფმა განვითარებამ, სასოფლო-სამეურნეო წარმოების ინტენსიფიკაციამ, ტერიტორიების ურბანიზაციამ, რომელიც კონტროლს არ ექვემდებარება, გამოიწვია გარემოს დაბინძურების სწრაფი ზრდა, რაც ეკოლოგიურად სახიფათო ხდება ადამიანისათვის, ფლორისა და ფაუნისათვის. სუფთა ატმოსფერული ჰაერის და წყლის შენარჩუნებისათვის აუცილებელია ბუნებრივი რესურსების რაციონალური გამოყენება. წყალსაცავების სანიტარულ-ჰიგიენური მდგომარეობა წარმოადგენს საქართველოს რეგიონალური რაიონების სოციალურ-ეკონომიკური განვითარების ერთ-ერთ ძირითად ასპექტს. წყალსაცავებზე სხვადასხვა საწარმოთა ჩამდინარე წყლების უარყოფითი ზემოქმედების აღმოსაფხვრელად მიზანშეწონილია ჩამდინარე წყლების შედგენილობისა და ფიზიკურ-ქიმიური თვისებების გათვალისწინებით, უახლესი გამწმენდი მეთოდების, მოწყობილობებისა და ნაგებობების გამოყენებით შეექმნას და დაინტერგოს ჩამდინარე წყლების გაწმენდის მცირეწყლიანი ან უწყლო ტექნოლოგიური პროცესები. ასევე ჩამდინარე წყალი თავისი შედგენილობით უნდა აკმაყოფილებდეს საკანალიზაციო ქსელში ჩაშვების პირობებს.

ამიტომ მნიშვნელოვანია ძებვისა და სოსისის წარმოების ჩამდინარე წყლის გაწმენდის ტექნოლოგიური პროცესის სქემის დამტუშავება.

ძებვისა და სოსისის წარმოების ტექნოლოგიური პროცესის სტადიები განხილულია ნახაზ 1-ზე.



**ნახ. 1.** ძებვისა და სოსისის წარმოების ტექნოლოგიური სქემა

პრაქტიკული მონაცემების საფუძველზე საწარმოო დანაკარგი შეადგენს 32%-ს, რომლის მიხედვით ხორცის 30% დანაკარგს შეადგენს ძვალი. ამის გათვალისწინებით 250000 კგ/წ მწარმოებლობისას წარმოების ფაქტიური წარმადობა შეადგენს 330000 კგ/წ.

**ცხრილი 1.** ძებვისა და სოსისის საწარმოს მატერიალური ბალანსი

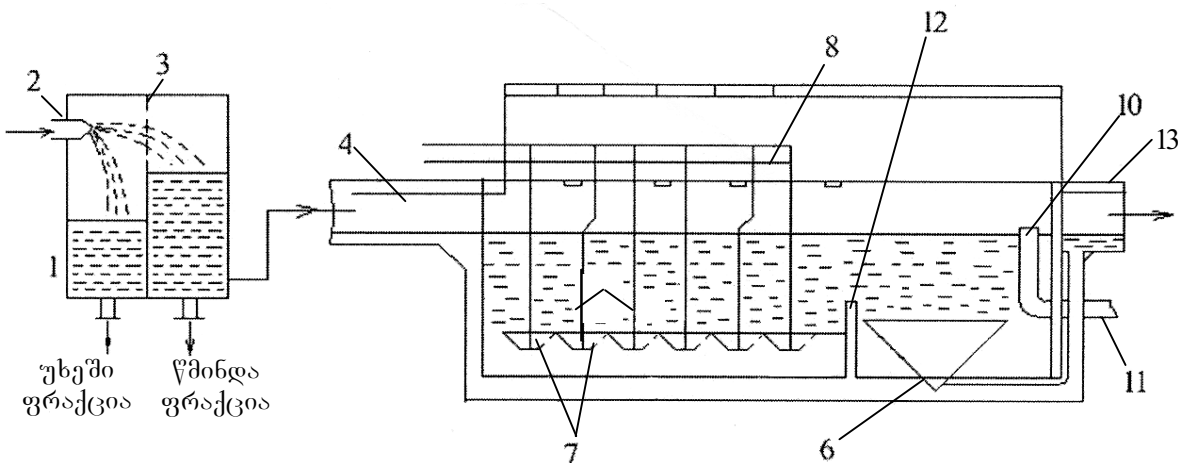
№	ნედლეული	1 კგ პროდუქტზე ნედლეულის ხარჯი, გ/კგ	ფაქტიური წარმადობის მიხედვთ ნედლეულის ხარჯი, კგ/წ
1.	ძროხის ხორცი	0,540	178200
2.	ღორის ხორცი	0,325	107250
3.	რძის ფენილი	0,01	3300
4.	შაქარი	0,0013	429
5.	მარილი	0,019	6270
6.	NaNO <sub>2</sub>	0,00007	23,1
7.	კვერცხი	0,0432	14256
8.	შავი წიწაკა	0,0006	198
9.	წითელი წიწაკა	0,00045	148,5
10.	ნიორი	0,0261	8613
11.	საწებლები	0,0265	8745
12.	ხმელი სუნელი	0,000074	24,42
13.	მუსგალის კაჭალი	0,00025	82,5
14.	რეპანი	0,0074	2442

საწარმოში წყალი გამოიყენება ტექნოლოგიური, სასმელ-სამურნეო და დამხმარე დანიშნულების მიხედვით. ძეგვისა და სოსისის საწარმოს ტექნოლოგიური პროცესის შედეგად მიღება 1713 მ<sup>3</sup>/წ ჩამდინარე წყალი.

ცხრილი 2. ჩამდინარე წყლის დახსიათება

ჩამდინარე წყლის წარმოქმნის წყარო	ჩამდინარე წყლის შედეგნილობის მაჩვენებლები	დამაბინძურებელ ნივთიერებათა რაოდენობა		დამაბინძურებელ ნივთიერებათა კონცენტრაცია, მგ/ლ	ზღვრულად დასაშვები კონცენტრაცია (ზღვ), მგ/ლ
		გ/სთ	ტ/წ		
ძეგვისა და სოსისის საწარმო	ცხიმი	81,8	0,479	280	0,1
	შეწონილი ნაწილაკები უანგბადის ბიოქიმიური მოხმარება (ჟბმ) pH=6,8-8,5	58,4	0,342	200 150	(ან არ უნდა შეიცავდეს ცხიმს აფსკის სახით) 0,75 6

დამუშავებულია საწარმოს ჩამდინარე წყლის გაწმენდის ტექნოლოგიური პროცესის შემდეგი სქემა (ნახ. 2): წარმოებიდან გამოსული ჩამდინარე წყალი შეწონილი ნაწილაკების მოსაცილებლად გაივლის ფრაქციონატორის (1), რომელიც გაყოფილია ორ ნაწილად ვერტიკალური ბადის (3) საშუალებით, ბადის ფორმების დიამეტრია 60-100 მმ. ჩამდინარე წყალი საქმენით (2) შედის ფრაქციონატორში, სადაც იყოფა უხეშ და წმინდა ფრაქციებად. შეწონილი ნაწილაკების 50-80% რჩება უხეშ ფრაქციაში. შეწონილი ნაწილაკებისაგან გაწმენდილი წყალი შედის ჰორიზონტალური ცხიმსაჭერის შესასვლელი არხით (4) დასალექ ნაწილში (5), რომლის ფსკერი საგარცხლისებურია. საგარცხლებშორისო ღრმულებში განლაგებულია ფილტროსები (ფორმვანი ფირფიტები) (7), რომელთა ქვეშ უბერავენ ჰაერს მთავარი ჰაერსადენიდან (8) განშტოებული საპარო დგარების (9) საშუალებით. ამოტივტივებული ცხიმი შედის ჩასასხმელ ძაბრში (10) და მილით (11) გადადის ცხიმის შემკრებში. განივი კედელი (12) ხელს უწყობს ცხიმის ნაწილაკების ამოტივტივებას ჩასასხმელი ძაბრისაკენ (10). ცხიმმოცილებული ჩამდინარე წყალი გამოსასვლელი კამერის (6) გავლით და მილით (13) გამოდის ცხიმსაჭერიდან. გაწმენდილ წყალს აბრუნებენ საწარმოში ან უშვებენ საკანალიზაციო ქსელში.



ნახ. 2. ჩამდინარე წყლის გაწმენდის ტექნოლოგიური პროცესის სქემა:

1 – ფრაქციონატორის კორპუსი; 2 – საქმენი; 3 – ბადე; 4 – არხი;

5 – დასალექი ნაწილი; 6 – გამოსასვლელი კმერა; 7 – ფილტროსები;

8 – ჰაერსადენი; 9 – საპარო დგარები; 10 – ძაბრი;

11 – ცხიმის გამოსაყვანი მილი; 12 – განივი კედელი; 13 – გამოსასვლელი მილი.

ტექნიკური მონაცემების მიხედვით ცხიმსაჭერში ჩამდინარე წყლის დაყოვნების ხანგრძლივობა არის 5-7 წელი წყლის ხარჯის მაქსიმალური მოდინების დროს. ჰაერის ხარჯი 1 მ<sup>3</sup> გასაწმენდ ჩამდინარე წყლის ხარჯზე 0,3 მ<sup>3</sup> აიღება. ჩამდინარე წყლის მოძრაობის სიჩქარეა 4÷6 მმ/წმ, ცხიმის ამოტივტივების სიჩქარე – 0,4÷0,6 მმ/წმ.

გამოყოფილი ცხიმის გამოყენება შეიძლება ტექნიკური მიზნებისათვის, მაგალითად, საპნისა და სანთლის დამზადებისათვის.

#### **ლიტერატურა – REFERENCES**

1. 6. ჩხუბიანიშვილი, ლ. გვერდწითელი. გარემოს დაცვა სამრეწველო გაჭუჭყიანებისაგან. მეთოდური მითითება. თბილისი, სტუ, 2006, 56 გვ.
2. წყლის ტექნიკური რეგლამენტი. საქართველოს შრომის, ჯანმრთელობისა და სოციალური დაცვის მინისტრის 17.12.2007 წლის № 349/6 ბრძანება, 124 გვ.
3. А.И. Родионов, В.Н. Клужин, Н.С. Торочешников. Техника защиты окружающей среды. Москва, «Химия», 1989, 509 с.
4. ი. გეგელაშვილი, ე. ნიჟარაძე. სამრეწველო საწარმოთა კანალიზაცია. თბილისი, „განათლება“, 1987, 33-39 გვ.

#### **DEVELOPMENT OF TECHNOLOGICAL PROCESS SCHEME FOR CLEANING OF MEAT PRODUCTS PRODUCTION WASTEWATER**

Leila Gverdtsiteli, Julieta Gugeshidze, Izolda Bazgadze  
*Georgian Technical University*

#### **SUMMARY**

The composition is studied and the technological process scheme is worked out for purification of wastewater in meat products production.

#### **РАЗРАБОТКА СХЕМЫ ТЕХНОЛОГИЧЕСКОГО ПРОЦЕССА ОЧИСТКИ СТОЧНЫХ ВОД ПРОИЗВОДСТВА МЯСОПРОДУКТОВ**

Л.В.Гвердцители, Дж.Э.Гугешидзе, И.Б.Базгадзе  
*Грузинский технический университет*

#### **РЕЗЮМЕ**

Изучен состав и разработана схема технологического процесса очистки сточных вод производства мясопродуктов.

## პიმიური ეპოლობია

## მდინარე არაგვის ჰიდროლოგიური რეზიმის შესფავლის შედეგები

თამარ შარაშიძე, გიორგი მეტრეველი, ლეილა გვერდწითელი  
საქართველოს ტექნიკური უნივერსიტეტი

კლიმატის მიმდინარე ფლუქტუაციები ხელს უწყობს სხვადასხვა პროცესების განვითარებას, კერძოდ, კლიმატის კონტრასტულობის გაძლიერებას, ხმელეთზე ტენიანობის განაწილების არსებული მდგომარეობის დარღვევას და სხვ. საქართველოში ეს პროცესები მულავნდება სხვადასხვა ინტენსივობითა და უჯერტურობით. კავკასიონზე ტენიანობის მერიდიანული გადატანის პროცესზე კლიმატის მიმდინარე ფლუქტუაციის გავლენის გლობალური დაკვირვების სქემის ერთ-ერთ შემადგენლად შეიძლება განვითილოთ მდინარე არაგვის ჰიდროლოგიური მახასიათებლების მონიტორინგი, რაც საქართვის სიზუსტით არის განხორციელებული ათეული წლების მანძილზე – 1928-2000 წწ., როცა მის აუზში სხვადასხვა დროს ექვსი ჰიდროლოგიური სადგური მოქმედებდა. სამწუხაროდ, 2000-2009 წწ.-ში არაგვის აუზში ჰიდროლოგიური ხასიათის სამუშაოები არ ჩატარებულა. კლიმატის ცვლილებების და მდინარის აუზის ინტენსიური ათვისების, ინფრასტრუქტურის სწრაფი განვითარების პირობებში მდინარის ჰიდროლოგიური და ეკოლოგიური მდგომარეობის საკითხი წარმოადგენს მთელი რიგი როგორ პრობლემების ერთობლიობას. უკანასკნელ წლებში ანთროპოგენული ფაქტორების ზემოქმედების გააქტიურების გამო, მათი შესწავლა და შეფასება მნიშვნელოვნად გააძლიდრებს საინფორმაციო ბაზას, რომელიც საჭიროა მდინარე არაგვის აუზში მიმდინარე ეკოლოგიური პროცესების კონტროლისა და მართვისათვის. ამიტომ საჭირო გახდა ახალი ოპერატორი დაკვირვების განხორციელება, რაც ნაწილობრივ მაინც შეავსებდა მონიტორინგის ათწლიან დანაკლისს.

ამიტომ 2010 წლის გაზაფხულსა და ზაფხულში შესრულდა საკონტროლო გაზომვები მდინარე არაგვის ჩამონადებზე.

პირველი გასვლა შედგა 30.05.2010 წელს ორ წერტილში მდ. ფშავის არაგვზე – თვალივის ხიდთან პ/ს (X-488636, -4682817) და მდ. არაგვზე სოფ. ციხისძირთან (ანანურთან) პ/ს (X-476443, -4670033). დაკვირვება წარმოებდა ტივტივას მეთოდით.

თვალივის ხიდთან მუშაობის დრო 13.10 – 15.20 სთ; ამინდი: მზანი, ქარი 5-10 მ/წმ.

გაზომვის პირობები: ხიდზე ყოველ 2 მეტრში შეირჩა სიჩქარის საზომი 16 ვერტიკალი. ხიდიდან ქვემოთ მდინარის მიმართულებით 40 მ-ზე გატარდა ჩამკეტი პ/ზ კვეთი, რომლის სიგანე იყო 34 მ. ხიდიდან ყოველ კვეთში თანმიმდევრობით და გარკვეული პერიოდულობით იყრებოდა ტივტივები და მათი გავლის დრო ჩამკეტი კვეთის გადაკვეთამდე წამმზომით ფიქსირდებოდა ორი დამკვირვებლის მიერ (ცხ. 1).

**ცხრილი 1.** მდ. ფშავის არაგვის წყლის ხარჯი - პ/ს თვალივის ხიდი

№	დრო, წმ	სიჩქარე, მ/წმ		სიღრმე, მ		სიგანე, მ <sup>2</sup>	ფართობი, მ	ხარჯი, მ <sup>3</sup> /წმ
		ზედაპი- რული	საშუალო	ვერტი- კალზე	საშუალო			
1	27,2	1,47	0,88	1,0	0,70	2,0	1,4	1,23
2	13,0	3,07	1,84	1,2	1,10	2,0	2,2	4,05
3	12,4	3,22	1,93	1,5	1,35	2,0	2,7	4,86
4	13,3	3,00	1,80	1,8	1,65	2,0	3,3	5,96
5	11,4	3,51	2,11	1,6	1,70	2,0	3,4	7,17
6	11,2	3,57	2,14	1,5	1,55	2,0	3,1	6,63
7	12,9	3,10	1,86	1,5	1,50	2,0	3,2	5,58
8	14,7	2,72	1,63	1,4	1,45	2,0	2,9	4,73
9	15,3	2,61	1,57	1,2	1,30	2,0	2,6	4,08
10	34,1	1,17	0,70	1,0	1,10	2,0	2,2	1,54
11	60,1	0,66	0,40	0,25	0,60	2,0	0,6	0,24
<b>თავთხელი</b>								
16	168	0,23	0,14	0,2	0,14	2,0	0,22	0,03
<b>შულ</b>								46,1

სოფ. ციხისძირის ხიდთან მუშაობის დრო 16.40-17.30 სთ, ამინდი – მზიანი, სუსტი ქარი 5-10 მ/წმ; გაზომვის პირობები: ხიდზე მოინიშნა კვეთის 12 წერტილი, კვეთებს შორის მანძილი 2 მეტრს შეადგენდა. კვეთებზე, წერტილების შესაბამის ვერტიკალებზე იზომებოდა მდინარის სიღრმე. მდინარის აღმა 40 მ-ის მანძილზე გატარდა საწყისი (სასტარტო) კვეთი, სიგანით 328. საწყისი კვეთში, გარკვეული პერიოდულობით და იმის მცდელობით, რომ ხიდის თითოეულ კვეთში გაევლო საქმარისი რაოდენობის ტივტივებს, ხდებოდა დადებითი ცურვადობის საგნების ჩაშვება, რომელთა ჩამკეტ კვეთამდე (ხიდამდე) გავლის დრო წამმზომით ფიქსირდებოდა ორი დამკვირვებლის მიერ. ტივტივების მეთოდით გაზომილი ხარჯის სიზუსტე: 10%. შედეგები მოცემულია ცხრილში 2.

ცხრილი 2. მდ. არაგვის წყლის ხარჯი - პ/ს ციხისძირი (ანანური)

№	დრო, წმ	სიჩქარე, მ/წმ		სიღრმე, მ		სიგანე, მ <sup>2</sup>	ფართობი, მ	ხარჯი, მ <sup>3</sup> /წმ
		ზედაპი- რული	საშუალო	ვერტი- კალებზე	საშუალო			
1	27,8	1,44	1,01	1,3	0,70	2,0	1,4	1,41
2	19,9	2,01	1,21	1,5	1,40	2,0	2,8	3,39
3	11,5	3,48	2,01	1,6	1,55	2,0	3,1	6,23
4	11,8	3,38	2,03	1,8	1,70	2,0	3,4	6,90
5	12,5	3,20	1,92	1,5	1,65	2,0	3,3	6,34
6	19,9	2,01	1,26	1,2	1,35	2,0	2,7	3,40
7	23,6	1,70	1,12	0,9	1,05	2,0	2,1	2,35
8	21,0	1,19	0,98	0,7	0,80	2,0	1,6	1,57
9	31,5	1,27	0,76	0,3	0,50	2,0	1,0	0,76
10	39,0	1,02	0,61	0,2	0,25	2,0	0,5	0,30
11	61,0	0,66	0,42	0,2	0,20	2,0	0,4	0,17
თავთხელი		ტივტივები მოძრაობენ დაყოვნებით კალაპოტის მცირე სიღრმისა და ჩახერგილობის გამო						
17	68,0	0,59	0,35	0,2	0,20	2,0	0,4	0,14
შულ								33,0

მეორე გასვლა შედგა 27.06.10, ორ წერტილში, მდ. ფშავის არაგვზე – თვალივის ხიდთან პ/ს და მდ. არაგვზე სოფ. ციხისძირთან (ანანურთან) პ/ს. დაკვირვება წარმოებდა ინსტრუმენტული მეთოდით. საზომი ინსტრუმენტი – ჰიდრომეტრული ტრიალა Ж-3, სტანდარტული საძირავი ტვირთით (წონა 32 კგ); ელემენტარული ხარჯები გაანგარიშებულია შემდეგი სახის გამოსახულებით:

$$q_i = f_i v_i, \quad (1)$$

ხოლო სრული ხარჯი გამოთვლილია შემდეგი ფორმულით:

$$Q = \sum_{i=1}^n q_i f_i, \quad (2)$$

სადაც,  $q_i$  – ელემენტარული ხარჯი კვეთებს შორის;

$f_i$  – კვეთებს შორის მდინარის კალაპოტის ფართობი;

$v_i$  – საშუალო სიჩქარე კვეთში;

$Q$  – სრული ხარჯი;

$\Sigma$  – ელემენტარული ხარჯების და ფართობების შეკრების აღმნიშვნელი.

თვალივის ხიდთან მუშაობის დრო 13.10 – 15.20 სთ; ამინდი: მზიანი, ქარი 5-10 მ/წმ.

გაზომვის პირობები: მდინარის სიგანე 24,5 მ. ხიდზე ყოველ 4 მეტრში შეირჩა სიღრმის საზომი 7 და სიჩქარის საზომი 4 ვერტიკალი ისე, რომ სიჩქარის ვერტიკალები ემთხვეოდა სიჩქარის II, III, IV და VII ვერტიკალებს. საზომ ვერტიკალებზე გაიზომა მდინარის სიღრმე ცოცხალი კვეთის გაანგარიშების მიზნით, ხოლო სიჩქარის ვერტიკალებზე – ნაკადის სიჩქარე. შედეგები მოცემულია ცხრილში 3.

სოფ. ციხისძირის ხიდთან მუშაობის დრო 17.40 – 20.20 სთ; ამინდი: ღრუბლიანი, მცირე წვიმა, ქარი 7-10 მ/წმ; გაზომვის პირობები: მდინარის სიგანე 33,4 მ. ხიდზე ყოველ 4 მეტრში შეირჩა

სიღრმის საზომი 9 და სიჩქარის საზომი 4 ვერტიკალი ისე, რომ სიჩქარის ვერტიკალები ემთხვეოდა სიჩქარის I, III, V და VI ვერტიკალებს. საზომ ვერტიკალებზე გაიზომა მდინარის სიღრმე ცოცხალი კვეთის გაანგარიშების მიზნით, ხოლო სიჩქარის ვერტიკალებზე ნაკადის სიჩქარე. შედეგები მოცემულია ცხრილში 4.

ცხრილი 3. მდ. ფშავის არაგვის წყლის ხარჯი - პ/ს თვალივის ხიდი

საზომი ვერტ. №	სიღრმე, მ	სიჩქარის ვერტ. №	საზომი დრო, წელი	სიზომი დრო, წელი	სიჩქარე, მ/წმ		სიგანე, მ	ფართობი, მ <sup>2</sup>	ხარჯი, მ <sup>3</sup> /წმ
					ვერტიკალზე	საშუალო, ელემენტარულ კვეთში			
მარჯვ.- ნაპირი	0,0								
I	0,6								
II	1,0	I	121 120	1,66 1,22		1,05	7,8	1,68	1,76
III	1,1	II	120 120	2,22 1,13		1,59	4,0	3,88	6,23
IV	0,5	III	120 122	2,30 1,26		1,73	4,0	4,60	7,96
V	0,8								
VI	0,5								
VII	0,2	IV	120 122	1,63 1,51		1,57	8,7	6,24	10,42
მარცხ.- ნაპირი	0,0								
შულ							16,4	26,4	

ცხრილი 4. მდ. არაგვის წყლის ხარჯი - პ/ს ციხისძირი (ანაზური)

საზომი ვერტ. №	სიღრმე, მ	სიჩქარის ვერტ. №	საზომი დრო, წელი	სიჩქარე, მ/წმ		სიგანე, მ	ფართობი, მ <sup>2</sup>	ხარჯი, მ <sup>3</sup> /წმ
				ვერტიკალზე	საშუალო, ელემენტარულ კვეთში			
მარჯვ.- ნაპირი	0,0							
I	0,6	I	121	1,61	0,97	4,0	1,2	1,2
II	1,0							
III	1,1	II	122 120	2,10 1,45	1,70	8,0	7,6	12,9
IV	0,5							
V	0,8	III	120 122	2,10 1,77	1,86	8,0	5,8	10,8
VI	0,5	IV	122	1,9	1,9	4,0	2,6	
VII	0,2							
VIII	0,1	V	120	1,68	1,33	6,0	1,8	5,0
IX	0,3	VI	124	0,30	0,06	3,4	1,7	2,4
მარცხ.- ნაპირი	0,0							
შულ							20,7	32,3

მესამე საკონტროლო გასვლა შედგა 11.07.10, ორ წერტილში, მდ. ფშავის არაგვი-თვალივის ზღვითან პ/ს და მდ. არაგვზე სოფ. ციხისძირთან (ანანურთან) პ/ს. დაკვირვება წარმოებდა ინსტრუმენტული მეთოდით. საზომი ინსტრუმენტი – ჰიდრომეტრული ტრიალა ჯ-3, სტანდარტული საძირავი ტვირთით (წონა 32 კგ);

თვალივის ზღვითან მუშაობის დრო 13.10 – 15.20 სთ; ამინდი: მზიანი, ქარი 5-10 მ/წმ.

გაზომვის პირობები: მდინარის სიგანე 24,5 მ. ზიდზე ყოველ 4 მეტრში შეირჩა სიღრმის საზომი 7 და სიჩქარის საზომი 4 ვერტიკალი ისე, რომ სიჩქარის ვერტიკალები ემთხვეოდა სიჩქარის II, III, IV და VII ვერტიკალებს. საზომ ვერტიკალებზე გაიზომა მდინარის სიღრმე ცოცხალი კვეთის გაანგარიშების მიზნით, ხოლო სიჩქარის ვერტიკალებზე ნაკადის სიჩქარე.

სოფ. ციხისძირის ზღვითან მუშაობის დრო 17.40 – 20.20 სთ; ამინდი: ღრუბლიანი, მცირე წვიმა, ქარი 7-10 მ/წმ; გაზომვის პირობები: მდინარის სიგანე 33,4 მ. ზიდზე ყოველ 4 მეტრში შეირჩა სიღრმის საზომი 9 და სიჩქარის საზომი 4 ვერტიკალი ისე, რომ სიჩქარის ვერტიკალები ემთხვეოდა სიჩქარის I, III, V და VI ვერტიკალებს. საზომ ვერტიკალებზე გაიზომა მდინარის სიღრმე ცოცხალი კვეთის გაანგარიშების მიზნით, ხოლო სიჩქარის ვერტიკალებზე – ნაკადის სიჩქარე.

**ცხრილი 5.** მდ. ფშავის არაგვის წყლის ხარჯი- პ/ს თვალივის ზღვით

საზომი ვერტ. №	სიღრმე, მ	სიჩქარის ვერტ. №	საზომი დრო, წმ	სიჩქარე, მ/წმ		სიგანე, მ	გართობა, მ <sup>2</sup>	ხარჯი, მ <sup>3</sup> /წმ
				ვერტიკალზე	საშუალო ელემენტარულ კვეთში			
მარჯვ. ნაპირი	0							
I	07	I	121	1.84	1,47	1,0	0,18	0,26
II	0,6	II	120	2.57	1,97	4,0	1,47	2,82
III	1,5	III	120	2.60	2,50	4,0	2,1	5,25
IV	1,2	IV	120 121	2.60 2.26	2,43	6,0	1,35	3,28
V	1,0	V	122	2.80	2,29	8,0	1,65	3,78
VI	0,8	VI	120	2.26	1,86	4,0	2,25	4,18
VII	0,3	VII	120 0	2.04	0,96	6,0	1,6	1,54
მარცხ. ნაპირი	0,0							
შულ							10,6	21,11

**ცხრილი 6.** მდ. არაგვის წყლის ხარჯი - პ/ს ციხისძირი (ანანური)

№ საზომი ვერტ. -	სიღრმე, მ	№ სიჩქარის ვერტ. -	საზომი დრო, წმ	სიჩქარე, მ/წმ		სიგანე, მ	ფართობი, მ <sup>2</sup>	ხარჯი, მ <sup>3</sup> /წმ
				ვერტი- კალზე	საშუალო, ელემენტ- კვეთში			
მარჯვ. ნაპირი	0,0							
I	0,8	I	120	1,98	1,19	5,0	2,5	2,98
II	0,5	II	122	1,54	1,76	8,0	1,3	3,06
III	1,1	III	120	2,83	1,77	6,0	1,9	3,36
IV	1,4	IV	121	2,31	2,57	5,0	1,2	2,96
V	0,4	V	120	2,14	1,90	9,0	3,1	5,89
VI	0,4	VI	122	1,76	1,28	3,0	0,6	0,77
მარცხ. აპირი	0,0							
შულ							10.6	12.92

საქონტროლო გაზომვების შედეგებმა აჩვენა, რომ მდინარეთა წყლის ხარჯების სიდიდეები შესაბამება მათ მრავალწლიურ მონაცემთა სტატისტიკური რიგის 40-60%

უზრუნველყოფის მნიშვნელობებს. შესაბამისად, შეიძლება ჩაითვალოს, რომ შედეგები რეპრეზენტატულია და მიღებული მონაცემებით შესაძლებელია შეფასდეს მდინარის ჩამონადენი და შესაბამისად, მისი სეზონური გარიაცია. თვეებს შორის წყლის ხარჯის ყველაზე დიდი მატებით გამოირჩევა აპრილი-მაისი. შემოდგომის პერიოდისათვის მდინარეს ახასიათებს წყალმცირობა, არასტაბილური, ცვალებადი სასიათო. პიდროლოგიური პარამეტრების სტატისტიკური რიგიდან გამომდინარე, ზრდის ტენდენციის მიახლოებითი პროგნოზის მიხედვით, ჩამონადენი მომატებულია. ნამატის რაოდენობა (30-35%) მომავალ წლებში წარმოადგენს მაღალხარისხოვანი სასმელი წყლის იმ რაოდენობას, რომელსაც შეუძლია დაკმაყოფილოს ქთბილის მოსახლეობის მოთხოვნა.

### ლიტერატურა – ЛИТЕРАТУРА – REFERENCES

- თ. შარაშიძე. მდინარე არაგვის აუზის მონიტორინგი, ანთროპოგენური ფაქტორების ზეგავლენა და მათი აღკვეთის შესაძლებელი ღონისძიებები. სადოქტორო დისერტაცია, სტუ, 2011, 166 გვ.
- ლ. გვერდწითელი, თ. შარაშიძე, შ. ახდლულაძე. მდინარე არაგვის მონიტორინგის სტრატეგია და შეფასება. საქართველოს ქიმიური უუნალი. ISSN 1512-0686, 2009, № 3, ტ. 9, გვ. 253-254.
- Метревели Г.С., Швангирадзе М.Х. Оценка уязвимости прибрежной зоны Грузии. Рамкаконвенция изменения климата Организации Объединенных Наций. Второе национальное сообщение, Тбилиси, 2009, ст. 55-89.
- Метревели Г.С., Рехвиашвили Ш.Д. Баланс воды жинвальского водохранилища. Тбилиси, 1999, ст. 54.

### RESULTS OF RIVER ARAGVI HYDROLOGICAL REGIME STUDY

Tamar Sharashidze, Giorgi Metreveli, Leila Gverdtsiteli  
Georgian Technical University

#### SUMMARY

Based on the results of the river Aragvi hydrological regime survey the runoff of the river and its seasonal variations are investigated.

### РЕЗУЛЬТАТЫ ИЗУЧЕНИЯ ГИДРОЛОГИЧЕСКОГО РЕЖИМА РЕКИ АРАГВИ

Т.А.Шарашидзе, Г.С.Метревели, Л.В.Гвердцители  
Грузинский технический университет

#### РЕЗЮМЕ

По результатам изучения гидрологического режима реки Арагви установлены сток воды реки и соответственно ее сезонные вариации.

**შიმიური ეკოლოგია****მეცნიერების ნარჩენებიდან შუალედური პროდუქტების გამოყოფა სამკურნალო და პროცესუალური საშუალებების დამზადების მიზნით**

ავთანდილ დოლიძე, გიორგი დავითაია, ირმა მიქაძე, ნინო ქავთარაძე, ნანა წეროძე, რუსულან ურიდია

**ივანე ჯავახიშვილის სახელობის თბილისის სახელმწიფო უნივერსიტეტის  
პეტრე მელიქიშვილის ფიზიკური და ორგანული ქიმიის ინსტიტუტი**

ბუნებრივი წარმოშობის ეფექტური ბიოლოგიურად აქტიური ნაერთების მისაღებად ახალი წყაროების მოძიება ერთ-ერთი აქტუალური საკითხია. ბუნებრივი ნედლეულის რაციონალური გამოყენებისათვის საყურადღებო ახალი კონკურენტუნარიანი უსაფრთხო ტექნოლოგიების შემუშავება და რეალიზაცია. საკეთი მრეწველობის თხევადი და მყარი ნარჩენების რაოდნობა დღითიდღე იზრდება. ამჟამად, ამ ნარჩენების უტილიზაცია, რომლებიც ბიოლოგიურად აქტიურ ნივთიერებებს შეიცავს ქმნის გარკვეულ ეკოლოგიური პრობლემებს. ბოლო პერიოდში სასოფლო-სამეურნეო და საკეთი პროდუქტების მწარმოებლები დაინტერესდნენ ამ ნარჩენების სხვადასხვა სასარგებლო პროდუქტებად გადამუშავების საკითხით, კერძოდ ბიოპროდუქტების, ბიოსაწვავისა და საკეთი ინგრედიენტების მისაღებად [1].

ყურძნი მსოფლიო წარმოების ერთერთი ყველაზე გავრცელებული პროდუქტია. ყურძნის საწარმოო გადამუშავების მატებასთან ერთად იზრდება მელვინების მეორადი პროდუქტების მოცულობაც, რაც გადამუშავებული ყურძნის საერთო რაოდნობის 20% შეადგნს და საკამაოდ ძვირფს ნედლეულს წარმოადგინს მთელი რიგი პროდუქტების მისაღებად [2]. “საფერავი” და ყურძნის სხვა ჯიშები ფართოდ გამოიყენება ღვინის წარმოებაში. საქართველოში ამის დიდი ტრადიცია და გარკვეული სამომხმარებლო ბაზარია. საინტერესოა ახალი ტექნოლოგიების განვითარება სხვადასხვა შუალედური პროდუქტების გამოსაყოფად ღვინიდან, ყურძნის კანიდან, წიპწიდან, კლერტიდან და სხვ. [3-4]. ლიტერატურული მონაცემების მიხედვით, ყურძნის წიპწა შეიცავს 20%-მდე ზეთებს უჯერი ცხიმიანი მჟავების მაღალი შეცველობით, მთრილავ ნივთიერებებს, ფლავანოიდებს, ანტოციანებს, კონტოციანებს და სხვ. ამასთან დაკავშირებით, ყურძნის წიპწა ფართოდ გამოიყენება ცხიმოვნი ზეთებისა და პროცესუანიდური კომპლექსების მისაღებად.

აქტუალურია მცირებულისაუნარი წარმოებების ორგანიზაცია მაღალი ხარისხის შუალედური პროდუქტების მისაღებად, რომელთა საფუძველზე შესაძლებელია დამზადდეს ისეთი სამედიცინო დანიშნულების საშუალებები, რომლებიც გამოიყენებიან სხვადასხვა მიზნით: ეფექტური ანტიოქსიდანტები, გულისისხლმარღვთა სისტემის დაავადებების და ავთვისებიანი სიმსივნეების პროფილაქტიკა-მკურნალობა, სტრესული ზემოქმედების მოხსნა, მხნეობის კომპონიტიების ფორმულაციების შემუშავება, კანის გახალგაზრდავება, სტომატოლოგიური პათოლოგიები და სხვ. [5-9]. ანტიოქსიდანტური თვისებების მქონე ფენოლურ ნაერთებს შეუძლიათ საკეთ პროდუქტებში ფერისა და გემოს, ასევე ვიტამინების შენარჩუნება, და რაც მნიშვნელოვანია ცოცხალი თრგანიზმების დაცა უანგვითი დაზიანებებისაგან. სამეცნიერო კვლევებით დადასტურებულია ანტიოქსიდანტების უნარი დაიცვან უჯერედი თავისუფალი რადიკალებისაგან და ზოგიერთი დაავადებებისაგან [8]. ამგარად, ყურძნიდან გამოყოფილი ნახევარპროდუქტებიდან შესაძლებელია რიგი ბუნებრივი წარმოშობის პროფილაქტიკური და სამკურნალო საშუალებების დამზადება.

სამუშაო ჯგუფს ჩატარებული აქვს სასიჯი კვლევები და შემუშავებული აქვს სხვადასხვა სასარგებლო პრეპარატები მევნენახეობისა და მეღვინეობის ნარჩენებიდან. აღსანიშნავია ღვინო “საფერავი”-დან მიღებული კონცენტრატი, რომელიც შესაძლებელია წარმატებით იქნას გამოიყენებული სამკურნალო-პროფილაქტიკური საშუალებების დასამზადებლად. ყურძნის წიპწისა და კლერტის დაჭუცმაცემით, კონცენტრირებით, ეთილის სპირტით გარეცხვით და ექსტრაქციით, შემდგომ ვაკუუმირებით გამზღვევის მოცილებით მიღება საკვლევი კატენინების კონცენტრატი, გამოსავალით  $6\div 8\%$ . ყურძნის კანის პომოვნიზაციით, ეთილის სპირტით ექსტრაგირებით, როტორულ-ამაორთქლებელზე გამზღვევის მოცილებით და გაშრობით ვაკუუმზე მიღება პასტის მაგვარი კონცენტრატი კვებითი საღებავის დასამზადებლად. ზემოთ სენტებულ კონცენტრატებთან ერთად შესაძლებელია დანამატის სახით გამოიყენებული იქნას ქონდარიდან მიღებული წყალში ხსნადი ფლავანოიდები, რაც სინერგიულად

მოქმედებს კონცენტრატების ეფექტურობაზე სხვადასხვა დაავადებების პროფილაქტიკის, ანტისტრესული მხარდაჭერისა და პათოლოგიების წინააღმდეგ.

არსებობს ღვინის წარმოების ნარჩენებიდან ნივთიერებების ექსტრაქციის სხვადასხვა ხერხი. უნდა აღინიშნოს, რომ ექსტრაგარებული კონცენტრატის შემადგენლობა და ანტიოქსიდანტური თუ ანტიმიკრობული აქტივობა მნიშვნელოვან წილად განისაზღვრება შერჩეული გამხსნელით [9-10]. თხევადი ფრაქციების კონცენტრირების არსებული მეთოდები, როგორიცაა ლიოფილური გაშრობა, ვაკუუმ აორთქლება და სხვა საჭიროებული შედარებით მაღალ ტემპერატურას ( $100-150^{\circ}\text{C}$ ). ეს იწვევს შემადგენელი კომპონენტების თვისობრივ ცვლილებას და აქტიურ ნივთიერებათა დანაკარგს, ზოგ შემთხვევაში 50%-ზე მეტს. საინტერესო იყო ისეთი ახალი მეთოდის შემუშავება, რომელიც შედარებით რბილ პირობებში უზრუნველყოფდა ბიოლოგიურად აქტიური ნივთიერებების კონცენტრატის მიღებას შეუცვლელი სახით. ამ მიზნით შემუშავდა სტიმულირებული ბუნებრივი აორთქლებების მეთოდი, სადაც გამოიყენება ტემპერატურა არაუმეტეს  $40-45^{\circ}\text{C}$ , მონაცვლეობითი გაციებით 76-120 სთ-ის განმავლობაში. პროცესის სტიმულაციისათვის გამოყენებულია ბუნებრივი მაკოავულირებელი საშუალებები, რომელიც აჩქარებენ ბუნებრივ დალექვას შედარებით დაბალ ტემპერატურაზე. ამგვარად, ამ მეთოდით მიიღება ბლანტი, პასტის მაგვარი ნალექი, გამოსავალი 2% ღვინის საწყის რაოდნობაზე გადათვლით. ანალიზის სხვადასხვა მეთოდებით დადგნილია, რომ დალექილი კონცენტრატი შეიცავს საწყის ღვინომასალაში არსებულ ბიოლოგიურად აქტიურ ნივთიერებებს შეუცვლელი სახით.

აღწერილი ტექნოლოგიური პროცესი შედარებით ხანგრძლივია, თუმცა აქვს უპირატესობა – მიიღება ბიოლოგიურად აქტიური ნივთიერებების კომპლექსი ნატიური სახით. უნდა აღინიშნოს, რომ ღვინიდან გამოყოფილი ბიოლოგიურად აქტიური კონცენტრატის რაოდნობრივი და თვისობრივი შედგენილობა მნიშვნელოვნად არის დამოკიდებული სხვადასხვა ფაქტორებზე – ფურმნის ჯიშზე, საწყისი ღვინის ხარისხზე, მოსავლის წელს არსებულ კლიმატურ პირობებზე, ნიადაგურ-მკვებავ თვისებებზე, მცენარეთა დაცვის გამოყენებულ საშუალებებზე და სხვ. [11]. მცირეტონაჟიანი წარმოების შემთხვევაში შემუშავებული ახალი ტექნოლოგია – სტიმულირებული ბუნებრივი აორთქლების მეთოდი, გამართლებულია როგორც ეკონომიური, ასევე ეკოლოგიური გარემოებით.

#### ლიტერატურა - REFERENCES – ЛИТЕРАТУРА

1. Makris, D.P., Boskou, G., and Andrikopoulos, N.K. Polyphenolic content and in vitro antioxidant characteristics of wine industry and other agri-food solid waste extracts. Journal Food Computational Analysis, 2007, 20 (2), p.125-132.
2. Nerantzis, E. T.; Tataridis, P. Integrated enology - utilization of winery wastes for the production of high added value products. e-Journal of Science & Technology, 2006, Vol. 1 No. 3 79-89
3. Anastasiadi M., Pratsinis H., Kletsas D., Skaltsounis A., Haroutounian SA. Grape stem extracts: polyphenolic content and assessment of their *in vitro* antioxidant properties. LWT-Food Science and Technology, 2012, v. 48, Is. 2, 316-322
4. Георгиевский, В.П. Биологически активные вещества лекарственных растений. Новосибирск: Наука, 1990, 6-7.
5. Seymour E. M., Singer A. M., Bennink M.R., Parikh R.V., Kirakosyan A., Kaufman P. B., Bolling S. F. Chronic Intake of a Phytochemical-Enriched Diet Reduces Cardiac Fibrosis and Diastolic Dysfunction Caused by Prolonged Salt-Sensitive Hypertension. Journal of Gerontology: Biological Sciences, 2008, v. 63A, N.10, 1034-1042.
6. Kuchukashvili Z., Avaliani N., Mcchedlishvili D., Davitaia G. Antioxidant and radical activity of flavonoid extract from Satureja Hortensis L. J. of Biological physics and chemistry, 2006, v. 6, 2, p. 63-65.
7. Konakhidze M., Davitaia G., Gelashvili R., Suleimanov T. The treatment of periodontitis with new native preparation- “ Phage-Flavonoid”. Scientific works, v. III, p. 227-235, 2011. Educational University of Tbilisi “Gorgasali”.
8. Louli, V., N. Ragoussis, K. Magoulas. Recovery of phenolic antioxidants from wine industry by-products, Bioresource Technology, 2004, 92, 201–208.

9. Casazza A.A., Aliakbarian B., Faveri D.D., Fiori L., Perego P. Antioxidants from winemaking wastes: a study on extraction parameters using response surface methodology. *Journal of Food Biochemistry*, 2012, v.36, Is.1, 28-37
10. Casazza A.A., Aliakbarian B., Mantegna http://www.sciencedirect.com/science/article/pii/S0260877410001433 - aff2 S., Cravotto G., Perego P. Extraction of phenolics from *Vitis vinifera* wastes using non-conventional techniques. *Journal of Food Engineering*, 2010, V.100, Is. 1, 50-55.
11. Cheng V., Bekhit A., McConnell M., Mros S., Zhao J. Effect of extraction solvent, waste fraction and grape variety on the antimicrobial and antioxidant activities of extracts from wine residue from cool climate. *Food Chemistry*, 2012, 134 (1), 474-482.
12. Perez-Serradilla J.A., Luque de Castro M.D. Microwave-assisted extraction of phenolic compounds from wine lees and spray-drying of the extract. *Food Chemistry*, 2011, V.124, IS. 4, 1652-1659
13. Ruberto G., Renda A., Daquino C., Amico V., Spatafora C., Tringali C. Polyphenol constituents and antioxidant activity of grape pomace extract from five sicilian red grape cultivars. *Food Chemistry*, 2007, 100, 203-210.

## **PREPARATION OF THE INTERMEDIATES OF VITICULTURE WASTES FOR SUBSEQUENT MANUFACTURE OF THERAPEUTIC AND PROPHYLACTIC MEANS**

Avtandil Dolidze, Giorgi Davitaia, Irma Mikadze, Nino Kavtaradze, Nana Tserodze, Rusudan Uridia  
*Petre Melikishvili Institute of Physical and Organic Chemistry*  
*at Ivane Javakhishvili Tbilisi State University*

### **SUMMARY**

For the purpose of expansion of raw materials source of production of medical-prophylactic means, alternatives of application of wastes of viticulture and winemaking are studied. For receiving of biologically active components in invariable state, a new method of stimulated natural evaporation is proposed. That allows to obtain thick, pasty concentrate, in an amount of 2 % from the starting material, at temperature 40-45°C , with alternation of cooling and with usage of natural precipitator as priming. In the terms of low-tonnage production the new technology – the method of stimulated natural evaporation is elaborated. it is justified both by economic and environmental factors.

## **ПОЛУЧЕНИЕ ПОЛУПРОДУКТОВ ИЗ ОТХОДОВ ВИНОГРАДАРСТВА С ЦЕЛЬЮ ПОСЛЕДУЮЩЕГО ИЗГОТОВЛЕНИЯ ЛЕЧЕБНО-ПРОФИЛАКТИЧЕСКИХ СРЕДСТВ**

А.В.Долидзе, Г.Ш.Давитая, И.И.Микадзе, Н.А.Кавтарадзе, Н.П.Церодзе, Р.З.Уридия  
*Институт физической и органической химии им. П.Г. Меликишвили*  
*Тбилисского государственного университета им. Ив. Джавахишвили/*

### **РЕЗЮМЕ**

С целью расширения сырьевой базы выработки лечебно-профилактических средств, изучены альтернативы применения отходов виноградарства и виноделия. Для получения биологически активных компонентов в неизменённом виде, предложен новый метод стимулированного естественного испарения, что позволяет при температуре 40-45°C, с чередованием охлаждения и при применении в качестве затравки природного осадителя получить густой, пастообразный концентрат, в количестве 2 % от исходного материала. В условиях малотоннажного производства разработанная новая технология – метод стимулированного естественного испарения, оправдан как экономическими, так и экологическими факторами.

**CHEMICAL ECOLOGY****ALTERNATIVES OF PESTICIDE RESIDUES NEUTRALIZATION CONSIDERING LOCAL CONDITIONS AND POSSIBILITIES**

Avtandil Dolidze, Irma Mikadze, Nino Kavtaradze, Liparit Dolidze, Rusudan Uridia, Maia Stephanishvili

*Petre Melikishvili Institute of Physical and Organic Chemistry*

*of Ivane Javakhishvili Tbilisi State University/*

In the second half of the twentieth century due to intensification of agricultural production in many countries wastes of pesticides had been accumulated creating problems for environment. In the countries of the former Soviet Union accumulation of stocks of unfit pesticides was promoted by planned system of managing, and also a lot of other factors, including change of priorities in national policy of the independent states.

Changes had caused destruction of existing system of application and storage of pesticides, and in exchange it was not possible to create efficient system for neutralization of obsolete pesticides and rehabilitation of the polluted soils. In Georgia existing stocks of obsolete pesticides can be divided into 4 groups: 1. Persistent organic pollutants (POPs), prohibited for application; 2. Obsolete chlorinated pesticides, which are rather unstable in soil and do not accumulate in alive tissues; 3. Obsolete not chlorinated pesticides of different composition; 4. Obsolete pesticides containing metals (arsenic, mercury, etc.).

From the forbidden POPs pesticides generally there are various preparative forms DDT, Hexachlorobenzene, etc. These pesticides of first generation are in ten ferroconcrete bunkers in the territory of centralized storage of obsolete pesticides on the mountain Iagluja (Marneuli district). Because of uncontrollable storage, POPs pesticides have been displaced and their separation is impossible. Ferroconcrete bunkers, especially roofs became unfit for use, slipping of its parts and mixing with pesticides have happened (fig. 1, 2).



**Figure 1.**



**Figure 2.**

It is generally accepted that POPs pesticides should be burned in high-temperature incinerators. Such incinerators are located only in a few developed countries. POPs starts decomposition already at 800°C, though in this case formation of dioxins and furans is possible. Therefore such incinerators usually have multistage cleaning (scrubbers, filters, alkaline washing, sorption purification, etc). The Environmental Protection Agency (EPA) of USA recommends - for incinerators of organic pesticides temperature of the combustion chamber 1000 °C, and time of stay 2 seconds. That is important for reduction of formation of incomplete combustion products [1]. According to FAO data during the burning of pesticides gases and fireproof firm particles (ashes and slag) are formed [2]. Gases of combustion contain water, carbon dioxide, some acids, metal oxides, etc, which should be subjected to stepwise cleaning. Approximate cost of combustion in incinerators is 2.5÷4.0 USD per kg.

Such tactic of destruction of POPs pesticides demands analysis, repackaging, transportation, various agreements on export through the third countries and etc. This is very expensive. Besides, separate repackaging of POPs is impossible. Thus, the current situation and storage conditions of POPs don't meet the requirements for burning of pesticides in incinerators of the respective countries. As it seems, it is necessary to find local means for destruction of POPs pesticides.

It should be noted that according to FAO recommendations in case of a large number of stocks of obsolete pesticides the following stages are provided [3]: Inventory of stocks; site arrangement for temporary storage of stocks; liquidation of stocks; prevention of accumulation of obsolete pesticides stocks. Our work considers alternatives of liquidation of obsolete pesticides considering local conditions and possibilities.

In the other countries in similar conditions existing in Georgia, primarily local cement rotary furnaces are used, since it is established that mixing pesticides to 5% doesn't reduce the quality of cement product. The temperature in rotary oven 1400–2000°C is sufficient for decomposition of any pesticides. In addition, formed acid gases and chlorine is absorbed by cement. Thus, entire cleaning process is not required [4]. The cement ovens being in Georgia belong to foreign firms and they aren't ready to carry out such a work.

In the world practice methods of chemical neutralization are partially used (for ex. the mix of polyethyleneglycol and potassium hydroxide) [5,6], but EPA USA doesn't recommend application of this method in case of chloroorganic compounds concentration more than 5% [7]. It should be noted that during chemical neutralization a large amount of the neutralized solutions is formed and their further placements causes additional problems.

In case of small quantities of POPs pesticides (up to 500 tonnes) it is considered that use of small fixed or mobile rotary furnaces with temperature up to 1200°C and capacity 5-10 tonnes per day is rationally. In this case it is necessary to organize the 3-step cleaning system. Also, POPs pesticides will be diluted by other not chlorinated pesticides or inert natural sorbents to decrease the content of chloroorganic compounds in the mix up to 3-5%. It is known that preparative forms of POPs pesticides contains 20-25% of the initial active substances and by dilution is easily to reduce their content below 5%.

Except ten ferroconcrete bunkers containing POPs pesticides, there are 3 open trenches at territory of Iagluja centralized storage. There are located residues of not forbidden pesticides of general use. According to preliminary data the number of pesticides containing chloroorganic compounds does not exceed 2-3% [Fig.3, 4].



**Figure 3.**



**Figure 4.**

Since 2005, EPA USA recognized the reliability of the stimulated bioremediation method when the content of POPs pesticides in the soil is below 5% [8]. During the years, our working group is working in the field of rehabilitation of territory of former military bases contaminated by dangerous substances [9-11]. During the co-work with International organizations, also in reports presented at various conferences new approach is developed, which on the basis of soils "self-purification" processes supposes stimulation of local biological agents (Bacteria, fungi, plant) by creation optimal conditions. At that time for correction of soil acidity together with slaked lime the preparation made from local plant and mineral materials is introduced, which ultimately, by effective and accessible cost makes possible the remediation by environmentally safe method. Thus, in terms of low concentrations of chloroorganic pesticides it is possible to use developed by us stimulated bioremediation method and its varieties for neutralization of obsolete pesticides mixtures.

#### ლიტერატურა - REFERENCES – ЛИТЕРАТУРА

1. Ferguson T.L., Wilkinson R.R. //Treatment and disposal of pesticides wastes. ACS symposium series 259. American Chemical Society, Washington DC, 1984, p.181-191.

2. Food and Agricultural Organization of the United Nations (FAO). Guidelines on disposal of bulk quantities of pesticides in developing countries. FAO, Roma, Italy, 1996.
3. Food and Agricultural Organization of the United Nations (FAO). Pesticides storage and stock control manual. FAO pesticide disposal series 3. FAO, Roma, Italy, 1996.
4. International Group of National Associations of Manufacturers of Agrochemical products (GIFAR). Disposal of unwanted pesticide stock. Brussels, Belgium, 1991.
5. Brunelle D.J., Singleton D.A./Chemosphere, 1985, v. 14, 173-181.
6. Tiernan T.O., Wagel D.J., Garrett J.H., VanNess G.F., Solch L.A./ Chemosphere, 1989, v. 18, 835-841.
7. A citizen's guide to chemical dehalogenation. Technology fast sheet. EPA 542-F-96-004. National Center for Environmental Publications and Information. 1996, Cincinnati, OH.
8. Reference Guide to Non-combustion Technologies for Remediation of Persistent Organic Pollutants in Stockpiles and Soil, EPA=542-R-05-006, 2005, Daramend, p.12-13.
9. N. Barbakadze, I.Mikadze, A.Dolidze. The decontamination of obsolete pesticides burial and former military territories by stimulation of local biological agents. 34<sup>th</sup> AMOP-Technical Seminar on Environmental Contamination and Response, October 4-6, 2011, Banff, Alberta, Canada.
10. Dolidze A., Supatashvili D. Identification of long-term pollution of military airfields with GC/MS. Environmental Forensics, This book was prepared by the organizing Committee of the "Experts Workshop" on Environmental Forensics (Tbilisi,Georgia) 12th-16th September 2011.p.222-226.
11. Dolidze A., SupataShvili D. Demilitarization of obsolete munition and monitoring of polluted territories in Georgia. Symposium NATO/RTA AVT-177 "Munition and Propellant Disposal and its Impact on the Environment" 17-20 October, 2011, Edinburgh, UK. Poster 1.

**პესტიციდების ნარჩენების ნეიტრალიზაციის ალტერნატივები აღგილობრივი  
პირობებისა და შესაძლებლობების ბაზალისტიკით**

ავთანდილ დოლიძე, ირმა მიქაელ, ნინო ქავთარაძე, ლაპარიტ დოლიძე, რუსუდან ურიდია,  
მაია სტეფანიშვილი

ივანე ჯავახიშვილის სახელმწიფო უნივერსიტეტის  
პეტრე მელიქიშვილის ფიზიკური და ორგანული ქმითს ინსტიტუტი

### **რეზიუმე**

მრავალწლიანი არაკონტროლირებადი შენახვის გამო სხვადასხვა ქიმიური შემადგენლობის გაუვარგისებული პესტიციდების ნარჩენები შერეულია იაღლულის სამარხში და მათი დამორება შეუძლებელია. ასეთი ნარევის დაფასოება და გატანა საზღვარგარეთ მაღალტემპერატურულ ინსინერატორში დასაწვავად ნაკლებად სავარაუდოა. მოწოდებულია რამდენიმე აღტერნატივი: მაღალტემპერატურული დაწვა ადგილობრივი ცემენტის ღუმელებში; ჰომოგენიზაციისა და განზღვების შემდეგ დაწვა მცირეტონაჟიან მაღალტემპერატურულ ღუმელებში სამსაფეხურიანი გამწმენდი სისტემით; სტიმულირებული ბიორემედიაციის მეთოდი ადგილობრივი ბიოლოგიური აგენტებისა და ბუნებრივი მასალების გამოყენებით ნიადაგის „თვითგაწმენდის“ პროცესების საფუძველზე.

### **АЛЬТЕРНАТИВЫ НЕЙТРАЛИЗАЦИИ ОСТАТКОВ ПЕСТИЦИДОВ С УЧЕТОМ МЕСТНЫХ УСЛОВИЙ И ВОЗМОЖНОСТЕЙ**

А.В.Долидзе,И. И.Микадзе, Н.А.Кавтарадзе, Л.А.Долидзе, Р.З.Уридия, М.А.Степанишвили  
*Тбилисский государственный университет им. Ив. Джавахишвили/Институт физической и  
органической химии им. П.Г. Меликишвили*

### **РЕЗЮМЕ**

В связи с длительным неконтролированным хранением, остатки непригодных пестицидов с различным химическим составом, в захоронении Яглуджа смешаны и их разделение невозможно. Перефасовка такой смеси и перенос в другие страны для сжигания в высокотемпературных инсинераторах маловероятно. Предложены несколько альтернатив: высокотемпературное сжигание в местных цементных печах; после гомогенизации и разбавления сжигание в малотоннажной высокотемпературной печи трехступенчатой системой очистки; метод стимулированной биоремедиации с использованием местных биологических агентов и природных материалов на основе процессов „самоочищения“ почв.

**პიმიური ტემოლობია****კომიზის პანიდან გუნებრივი საკვები საღებავების მძიმელი სამსტრაჟი**  
**სშაპრპიტიკული ფლუიდებით**

მარიამ ჩხაიძე, ქათევან ებრალიძე, მზა ციცაგი, მირანდა ზაჩიძე, ნანა ჩაგანავა

ივანე ჯავახიშვილის სახელობის თბილისის სახელმწიფო უნივერსიტეტის  
პეტრე მელიქიშვილის ფიზიკური და ორგანული ქიმიის ინსტიტუტი

ფერი ის ატრიბუტია, რომელსაც მომხმარებელი თავდაპირველად აღიქვამს როგორც საკვების მნიშვნელოვან მახასიათებელს. კვების მრეწველობაში შესაფერად გამოიყენება როგორც სინთეზური, ასევე ბუნებრივი საღებავები. უკანასკნელ წლებში სულ უფრო დიდი მნიშვნელობა ენიჭება ბუნებრივი პიგმენტების გამოყოფას, იდენტიფიკაციას და გასუფთავებას მათი საკვებ საღებავებად გამოყენებისა და ჯანმრთელობისთვის სასარგებლო თვისებების გამზ. ამასთან სინთეზური სასურსათო საღებავები ბევრ ქვეყანაში აიკრძალა მათი ტოქსიკურობისა და კანცეროგენულობის გამო.

ლიკოპენი და სხვა კაროტინები ბუნებრივი პიგმენტებია, რომლებშიც შეუღლებული ორმაგი ბმების არსებობა განაპირობებს ხილის, ბოსტნეულისა და მცენარეების ბუნებრივ ყვითელ, ნარინჯისფერ და წითელ ფერს. ეპიდემიოლოგიურმა შესწავლამ აჩვენა, რომ კაროტინოდები ასრულებენ მნიშვნელოვან როლს კიბოს, კატარაქტის, გულისისხლძარღვთა და ასაკთან დაკავშირებული დაავადებების პრევენციაში.

პომიდვრის ექსტრაქტის წითელი ფერი განპირობებულია მასში ლიკოპენის ტრანს-იზომერების არსებობით. თუმცა მასში უმნიშვნელო რაოდენობით არის ცის-იზომერებიც. გარდა ლიკოპენისა, პომიდვრის ექსტრაქტი მდიდარია კაროტინოდებით, ფიტოფლუენცით, ფიტოენით, ტოკოფეროლებითა და ბ-კაროტინით. ეს უკანასკნელი ყვითელი ფერის ბუნებრივი საღებავის წყარო. ლიკოპენის ბუნებრივ საკვებ საღებავად გამოიყენება დამვებულია FDA-ს (Food and Drug Administration) მიერ და გამიზნულია რძის პროდუქტების, უალკოჰოლო არომატული სასმელების, მარცვლეულის პროდუქტების, პურისა და პურ-ფუნთუშეულის, პაშტეტების და აგრეთვე საკვები დანამატების შესაფერად. ექსტრაქტში ლიკოპენი სტაბილურობას 37 თვის განმავლობაში ინარჩუნებს, ხოლო შესაღებ პროდუქტებში მისი სტაბილურობა დამოკიდებულია შემადგენლობასა და წარმოების პროცესზე [1].

ევროპაში პომიდვრის წლიური მოსავალი საშუალოდ 10 მილიონ ტონას შეადგენს, საქართველოში სტატისტიკის დეპარატუარების მონაცემებით - 62,6 ათას ტონას, რაც პომიდვრის გადამუშავების შედეგად დარჩენილ მეორად ნედლეულს პერსპექტივულ წყაროდ ხდის ბუნებრივი საკვების საღებავების მისაღებად.

სუპერკრიტიკული ფლუიდებით ექსტრაქცია თანამედროვე “მწვანე” ტექნოლოგიაა, რომელიც მრავალი უპირატესობის გამო ფართოდ გამოიყენება წარმოების სხვადასხვა სფეროში, ხოლო CO<sub>2</sub> ყველაზე პოპულარული გამხსნელია, რომლიც დაბალი კრიტიკული ტემპერატურის გამო გამოიყენება თერმულად ლაბილური ნივთიერებების ექსტრაქციისთვის [2].

მეორადი ნედლეულის ძირითადი შემადგენელი კომპონენტი პომიდვრის კანია, ამდენად სამუშაოს მიზანი სუპერკრიტიკული CO<sub>2</sub>-ით ლიკოპენისა და ბ-კაროტინების ექსტრაქციის ისეთი ოპერატორული პირობების შერჩევა იყო, რაც ეკოლოგიურად უსაფრთხო მიზნობრივი პროდუქტის მაღალ გამოსავალს განაპირობებდა.

ნედლეულად შეირჩა 2011 წლის მოსავლის პომიდორი, რომელიც შექნილი იქნა ადგილობრივ სავაჭრო ობიექტში. პომიდორს კანი მოსცილდა მექანიკურად. ლიკოპენისა და კაროტინოდებული პიგმენტების სინათლისა და უანგბადისგან დასაცავად მისი გაშრობა მოხდა ვაკუუმ-გამაშრობელში 25°C-ზე 24სთ-ს განმავლობაში. ეს ეტაპი მნიშვნელოვანია ნედლეულის მომზადების პროცესში, რადგან როგორც ლიტერატურიდანაა ცნობილი, სრული გამოშრობა არ არის რეკომენდებული, თუმცა ნიმუშში წყლის სიჭარებმ შეიძლება ექსტრაქცია არაეფექტური გახადოს.

ლიკოპენის გამოყოფის ძირითად პროცედურას მისი ხსნადობა წარმოადგენს, იგი უხსნადია წყალში და კარგად ხსნადია ორგანულ გამხსნელებში (ბენზოლი, ქლოროფორმი, მეთილენქლორიდი). უფრო მეტიც, ლიტერატურაში აღწერილი ექსტრაქციის მეთოდები, მათ შორის სუპერკრიტიკული ფლუიდებით ექსტრაქცია (სფერი) თანაგამხსნელის გარეშე არ იძლევა ლიკოპენის და ბ-კაროტინების მაღალ გამოსავალს, ან მიღებული ექსტრაქტები კვალის სახით შეიცავნ ძლიერ ტოქსიკურ ორგანულ

გამხსნელებს. ამ პრობლემების თავიდან ასაცილებლად სუპერკრიტიკულ ექსტრაქციაში თანაგამხსნელის შესარჩევად ტრადიციული ექსტრაქციის მეთოდებით მოისინჯა როგორც ცალკეული გამხსნელები (ქლოროფორმი, ეთანოლი), ასევე გამხსნელთა სისტემები (აცეტონი/ჰექსანი, აცეტონი/ჰეტროლეინის ეთერი, აცეტონი/ას.ეთანოლი/ჰექსანი/ტოლუოლი). დამაგრაფოლილებელი შედეგი აჩვენა ეთანოლით ექსტრაქციამ, საუკეთესო აღმოჩნდა აცეტონ/ჰექსანის სისტემა. აქედან გამომდინარე, თანაგამხსნელად შეირჩა ნაკლებტოქსიკური აცეტონი და ეთანოლი (არაპოლარული გამხსნელის როლს სფე-ში ასრულებს  $\text{CO}_2$ ) [3-5].

სუპერკრიტიკული ექსტრაქცია ჩატარდა წნევის, ტემპერატურისა და საექსტრაქციო დროის ფართო ინტერვალში, ხოლო ნაკადის სიჩქარე განისაზღვრა 2მლ/წ.მ.

თავიდაპირველად პიგმენტის დაშლის თავიდან ასაცილებლად ოპერატორულ ტემპერატურად შეირჩა  $40^{\circ}\text{C}$  თანაგამხსნელის გარეშე. წნევის ზრდის მიუხედავად გამოსავალი მცირე იყო. თანაგამხსნელად ეთანოლის დამატებით კაროტინოდების გამოსავალი მნიშვნელოვნად გაიზარდა, თუმცა საუკეთესო შედეგი, იგივე ოპერატორულ პირობებში, თანაგამხსნელად აცეტონის გამოყენებამ აჩვენა.

ექსტრაქცია ტარდებოდა 200, 250, 300 ატმ. წნევაზე და  $40, 80^{\circ}\text{C}$ -ის პირობებში. მაღალი წნევის და ტემპერატურის პირობებში ( $30\text{ატმ } 80^{\circ}\text{C}$ ) ბ-კაროტინის გამოსავალი უფრო მაღალი იყო. როგორც შედეგებმა აჩვენა, ტემპერატურის მომატება ზრდის კაროტინოდების ხსნადობას და შესაბამისად მათ გამოსავალს,  $65^{\circ}\text{C}$ - ლიკოპენის გამოსავალი მეტია ბ-კაროტინის გამოსავალზე. რაც შეეხება წნევას, მისი ცვლილება მნიშვნელოვან გავლენას არ ახდენს ბ-კაროტინისა და ლიკოპენის თანაფარდობაზე ექსტრაქტში.

ამდენად, ოპტიმალურად მიჩნეული იქნა  $65-70^{\circ}\text{C}$  ტემპერატურა, 250-300 ატმ. წნევა, თანაგამხსნელად 5% აცეტონი, სტატიკური ექსტრაქციის დრო - 1 სთ, დინამიური - 2სთ, ნაკადის სიჩქარე - 2მლ/სთ.

ექსტრაქტებში ლიკოპენისა და ბ-კაროტინის ანალიზი ტარდებოდა სპექტროფოტომეტრული მეთოდით 350-550 ნმ საზღვრებში.

მიღებული ექსტრაქტები დაიყო ქრომატოგრაფიულ სვეტზე (მყარი ფაზა სილიკაგელი), არაპოლარული პიგმენტების დასაყოფად ელუსინტად გამოყენებული იქნა სისტემა აცეტონი/ჰექსანი 1:9, პოლარული პიგმენტების დასაყოფად კი – სისტემა აცეტონი/ჰექსანი 1:8

მიღებული პიგმენტების იდენტიფიკაცია მოხდა  $0.7\text{-სპექტროსკოპული}$  ანალიზით ვაზელინის ზეთში. ( $\text{სმ}^{-1}$ )  $3100 \text{ CH(SP}^2\text{)} 2923.1 \text{ CH(SP}^3\text{)} 1640 \text{ C=C (trans) } 1087, 964$

### ექსტრაქტული ნაწილი

**ნედლეულის მომზადება:** 2011 წლის ადგილობრივი წარმოების პომიდვრის კანი მექანიკურად მოვაცილეთ ნაყოფს. კანი 24 სთ-ს განმავლობაში შრებოდა ჰაერზე და შემდგომ ვაკუუმ გამაშრობელში  $35^{\circ}\text{C}$ . გამშრალი კანი დავთქვით ელექტროსაფექვავში 15 წმ-იანი ინტერვალებით ნედლეულის გადახურების თავიდან ასაცილებლად.

**ექსტრაქცია:** 15გ. ნიმუში მოვათავსეთ სოქსლეტის აპარატში. ექსტრაქცია ტარდებოდა 12 სთ-ს განმავლობაში 30 მლ. აცეტონი/ჰექსანის სისტემით თანაფარდობით 1:1.

**სუპერკრიტიკული ექსტრაქცია:** 10გ პომიდვრის კანი, რომელსაც შერეული ჰქონდა მინის ბურთულაკები მოთავსდა სფე-ს დანადგარის ავტოკლავში. მოდიფიკატორად გამოყენებულია 5% აცეტონი. ბალონიდან გამოსული  $\text{CO}_2$  ცივდება  $30^{\circ}\text{C}$ -ის განმავლობაში, რის შემდეგაც ირთვება მაღალი წნევის ტუმბო. 150 ატმ-ს დამყარების შემდეგ იხსნება რეაქტორში შემავალი სარქველი და წნევა შენარჩუნებულია ექსტრაქციის სტატიკური დროის გასვლამდე (1სთ), რის შემდეგაც ხდება წნევის რეგულირება ექსტრაქციის დინამიური პროცესისთვის (250-300 ატმ), იხსნება გამომავალი სარქველი და ექსტრაქტი გროვდება მიმღებში.

**ექსტრაქტის დაყოფა ქრომატოგრაფიულ სვეტზე:** ექსტრაქტიდან ლიპიდების მოცილება ხდება შესაპირის. ექსტრაქტი თბება  $56^{\circ}\text{C}-ზე 45^{\circ}\text{C}$ . განმავლობაში მუდმივი მორევის პირობებში 3მლ. 40%-იან კალიუმის ტუტის მეთანოლის ხსნართან ერთად, რის შემდეგაც ორგანული ფენის გამოყოფის მიზნით ხსნარს ემატება 10%-იანი ნატრიუმის ქლორიდის წყალსნარი. ორგანული ფენა ირცხება  $10\text{მლ} \times 3$  დისტილირებული წყლით და შრება 3გ  $\text{Na}_2\text{SO}_4$ -ზე, კონცენტრირდება ვაკუუმ-ამაროტელებულზე და იყოფა ქრომატოგრაფიულ სვეტზე. არაპოლარული პიგმენტების გამოსაყოფად ელუსინტად გამოიყენება სისტემა აცეტონი/ჰექსანი 1:9, პოლარული პიგმენტების გამოსაყოფად კი სისტემა აცეტონი/ჰექსანი 1:8. ფრაქციების გაერთიანების და ნაკერ ხსნარამდე დაკონცენტრირების შემდეგ

ლიკოპენის და  $\beta$ -კაროტინის გამოყოფის მიზნით  $-3^{\circ}\text{C}$ -ზღვე გაციებულ ხსნარს წვეთ-წვეთობით ემატება ჰექსანი.

#### ლიტერატურა – REFERENCES – ЛИТЕРАТУРА

1. Alan Mortensen. Carotenoids and other pigments as natural colorants. Pure Appl. Chem. 2006, v. 78, № 8, p. 1477-1491
2. Facundo Mattea, Angel Martin, Maria Jose Cocero. Carotenoid processing with supercritical fluids. Journal of Food Engineering 2009, №93, p. 255-265
3. Enzo Cadoni, M. Rita De Giorgi, Elena Medda, Gianluca Poma. Supercritical  $\text{CO}_2$  extraction of lycopene and  $\beta$ -carotene from ripe tomatoes Dyes and Pigments. 2000, № 44, p. 27-32
4. Daniele Naviglio, Fabiana Pizzolongo, Lydia Ferrara. Extraction of pure Lycopene from industrial tomato waste in water using the extractor Naviglio. African Journal of Food Science. 2008, v. 2, № 2, p.37-44
5. Baysal T, Ersus S, Starmans DA Supercritical  $\text{CO}_2$  extraction of lycopene and  $\beta$ -carotene from tomato paste waste. J. agric. Food Chem. 2000, v. 48, №11, p. 5507-11

### SUPERCritical FLUID EXTRACTION OF NATURAL FOOD COLORANTS FROM TOMATO SKIN

Mariam Chkhaidze, Mzia Tsitsagi, Ketevan Ebralidze, Miranda Khachidze, Nana Chaganava  
*Petre Melikishvili Institute of Physical and Organic Chemistry  
at Ivane Javakhishvili Tbilisi State University*

#### SUMMARY

The carotenoids are natural pigments that provide the natural yellow, orange and red colors of fruits. According to epidemiological studies carotenoids play an important role in prevention of cancer, cataracts, and aging diseases. Besides some applications of carotinoids for provitamin A activity, they are widely used as colorants in food. This work describes the influence of some operative parameters of supercritical carbon dioxide employed for the isolation of lycopene and  $\beta$ -carotene from the skins of ripe tomato. Optimal operative conditions are  $65\text{-}70^{\circ}\text{C}$  temperature, 250-300 atm pressure, 5% acetone as a co-solvent, static extraction time 1h, dynamic- 2h. flow rate 2ml/min. extracts were analysed by spectrophotometer in the 350-550 nm wavelength range.

### ЭКСТРАКЦИЯ СУПЕРКРИТИЧЕСКИМИ ФЛЮИДАМИ НАТУРАЛЬНЫХ ПИЩЕВЫХ КРАСИТЕЛЕЙ ИЗ КОЖИЦЫ ПОМИДОРОВ

М.Ш.Чхайдзе, М.В.Цицаги, К.Г.Ебралидзе, М.М.Хачидзе, Н.Т.Чаганава  
*Институт физической и органической химии им. П.Г.Меликишивили  
Тбилисского государственного университета им. И.Джавахишвили*

#### РЕЗЮМЕ

Каротиноиды – природные пигменты, окрашивающие фрукты и овощи в натуральный желтый, оранжевый и красный цвет. Согласно эпидемиологическим исследованиям, каротиноиды играют важную роль для превенции катаракты, канцерогенных и возрастных заболеваний. Помимо применения каротиноидов для А провитаминной активности, они широко используются в качестве пищевых красителей. В данной работе описывается влияние некоторых оперативных параметров на экстракцию ликопена и  $\beta$ -каротина суперкритическими флюидами из кожицы спелых помидоров. Установлены оптимальные условия экстракции: температура –  $65\text{-}70^{\circ}\text{C}$ , давление – 250-300 атм., 5% ацетона в качестве модификатора, статическое время экстракции – 1 ч., динамическое – 2 ч., скорость потока – 2 мл/мин. Спектрометрический анализ проведен в длинноволновой области 350-550 нм.

## ქრომ-მანგანუმიანი დუპლექს ფოლადის კოროზიული თვისებები

ეთერ გოზალიშვილი, დალი რამაზაშვილი  
ფერდინანდ .თავაძის მეტალურგიის და მასალათმცოდნეობის ინსტიტუტი

მაღალი მექანიკური სიმტკიცე, გაუმჯობესებული კოროზიული მახასიათებლები და შედეულებადობა განაპირობებს დუპლექს (ფერიტულ-აუსტენიტური) ფოლადების ფართო გამოყენებას ნავთობის და გაზის საძიებო, მოპოვების და სხვ. წარმოებებში. დუპლექს ფოლადების დაბაბულობის ქვეშ კოროზიული დასკდომისადმი მედეგობა ქლორის იონების შემცველ არებში განსაზღვრავს მათ მიმართ განსაკუთრებულ ინტერესს ზღვის ფსკერიდან ნავთობის და გაზის მოპოვების პროცესში [1]. მსოფლიოში ყოველწლიურად გამოყენებული ფოლადების 10%-ს დუპლექს ფოლადები შეადგენს და მათი წილი მუდმივად იზრდება [2].

სამუშაოს მიზანს წარმოადგენდა ინსტიტუტში შემუშავებული მაღალლეგირებული 08X25Γ15C დუპლექს ფოლადის კოროზიული თვისებების შესწავლა მისი გამოყენების სფეროების დასადგენად და გასაფართოებლად. ამისთვის განსაზღვრულ იქნა მისი მიდრეკილება ლოკალური კოროზისადმი და საერთო კოროზის სიჩქარე 2<sup>2</sup> სრული ფაქტორული ექსპრიმენტის გეგმის [3] მიხედვით შედგენილ მოდელურ სსნარებში, რომლთა შორის იყო აგრესიული გრუნტის [4,5] და შავი ზღვის [6] შესაბამისი სსნარებიც; შესწავლილ იქნა ფოლადის კოროზიული ქცევა 0,5 M NaCl-ის და სხვადასხვა pH-ის მქონე გოგირდმჟავა სსნარებში; დაგენილ იქნა კოროზის დენის სიმკვრივის ლოგარითმის დამოკიდებულება სსნარის pH-ზე და შედგენილ იქნა ხაზოვანი რეგრესიის განტოლება კოროზის სიჩქარეზე სსნარში ქლორის და სულფატის იონების შემცველობის გავლენის ანალიზისთვის.

კოროზის ლოკალური სახეების რისკების პროგნოზირებისთვის გამოვიყენეთ ბოლო ათწლეულის მანძილზე შექმნილი და დახვეწილი პოტენციოდინამიკური ციკლური სკანირების მეთოდიკა [7,8]. ფოლადის ელექტროდებს [9], რომელთა მუშა ზედაპირი არ აღმატებოდა 1 სმ<sup>2</sup>, ვათავსდებდით გამოსაცდელ სსნარში და 24 სთ-იანი დაყოვნების შემდეგ დამყარებული კოროზის პოტენციალიდან 0,4 მვ/წმ სიჩქარით ვიღებდით პოლარიზაციულ მრუდებს დადებითი მიმართულებით და შემდეგ უკუსვლით, ანოდურიდან კათოდურ უბანში. ორივე მიმართულებით მიღწეული მაქსიმალური დენის სიმკვრივე, ზედაპირის ძლიერი ცვლილების თავიდან ასაცილებლად, არ აღმატებოდა 10E-4 ა/სმ<sup>2</sup>. მოდელური სსნარების შედგენილობა შეესაბამებოდა სრული ფაქტორული ექსპრიმენტის 2<sup>2</sup> დაგეგმვის მატრიცას (ცხრ.1).

ცხრილი 1. 2<sup>2</sup> დაგეგმვის მატრიცა, ფაქტორების დონეები და მათი ცვლილების ინტერვალი

სსნარის შედგენილობა, M	X <sub>1</sub> (SO <sub>4</sub> <sup>2-</sup> )	X <sub>2</sub> (Cl <sup>-</sup> )			
ზედა დონე	0,286	0,271			
ქვედა დონე	0,111	0,027			
ნულოვანი დონე	0,198	0,192			
ვარირების ინტერვალი	0,088	0,122			
დაგეგმვის მატრიცა					
სსნარის №	სსნარის შედგენილობა, M	X <sub>0</sub>	X <sub>1</sub>	X <sub>2</sub>	
	SO <sub>4</sub> <sup>2-</sup>	Cl <sup>-</sup>			
1	0,111	0,027	+1	-1	-1
2	0,111	0,271	+1	-1	+1
3	0,286	0,027	+1	+1	-1
4	0,286	0,271	+1	+1	+1

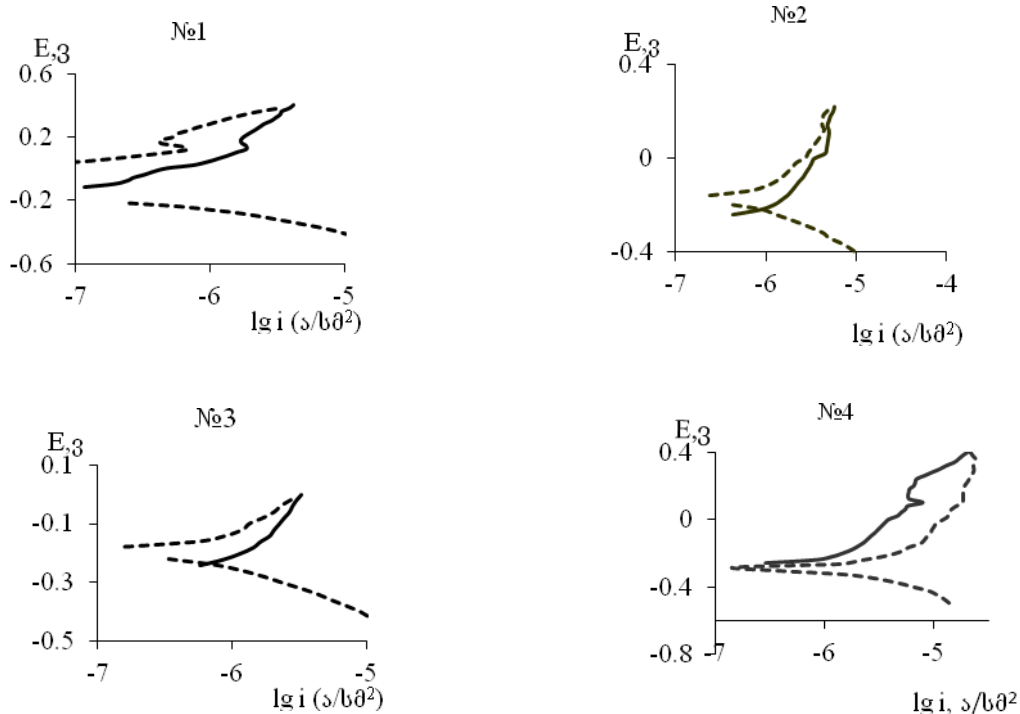
ფოლადის კოროზის სიჩქარეები განსაზღვრული იყო პოტენციოდინამიკური მრუდების ტაფელის დახრების მიხედვით სტანდარტული მეთოდიკის გამოყენებით [8]. კოროზის სიჩქარის გამოთვლისთვის ვიყენებდით სპეციალურ პროგრამას “CORCALC” [10]. გამოვიყენეთ ასევე კოროზის სიჩქარის განსაზღვრის გრავიმეტრული მეთოდი [9], რისთვისაც პრიზმის ელექტროდებს, ზედაპირის ფართით ~10 სმ<sup>2</sup>, ვათავსებდით საკვლევ სსნარში 500 სთ-ის განმავლობაში. სსნარის მოცულობა შეადგენდა ~100 მლ/სმ<sup>2</sup>. სსნარებს ვამზადებდით კალიუმის სულფატის და ნატრიუმის ქლორიდის

ქიმიურად სუფთა რეაქტივებით და გამოხდილი წყალით. ყველგან წარმოდგენილია სამი პარალელური ცდის საშუალო მნიშვნელობები. პოტენციალები მოცემულია სტანდარტული ქლორ-ვერცხლის ელექტროდის მიმართ ( $E_0=0,222\text{V}$ ).

დაგეგმვის მატრიცა და ხსნარების ონური შედგენილობები მოცემულია ცხრ. 1-ში. №1 ხსნარი შეესაბამება აგრესიული გრუნტის შედგენილობას, №4 - შავი ზღვის წყალს. პოტენციოდინამიკური მრუდები თითოეული შედგენილობის შესაბამის ხსნარში წარმოდგენილია ნახ.1-ზე, რომლის მონაცემების მიხედვით განსაზღვრული ლოკალური კოროზის კრიტერიუმები მოცემულია ცხრ.2-ში.

№1 ხსნარში 08X25Γ15C დუპლექს ფოლადის პიტინგის წარმოქმნის პოტენციალი  $\sim 300$  მვ-ით აღმატება შესაბამის კოროზის პოტენციალს და შესაძლო იქნებოდა პიტინგური კოროზის განვითარება, რომ არა რეპასივაციის პოტენციალთან შედარებით კოროზის პოტენციალის ელექტროუარყოფითი

მნიშვნელობა. იგივე დასკვნის გაკეთება შეიძლება ანოდურიდან კათოდური მიმართულებით გადასვლის პოტენციალის კოროზის პოტენციალთან შედარებით უარყოფითი მნიშვნელობის მიხედვით, რაც გვიჩვენებს, რომ ამ გარემოში კოროზის პოტენციალზე წარმოქმნილი პასიური ფენა ძალიან მდგრადია და საერთო კოროზის სიჩქარე იქნება დაბალი. 08X25Γ15C დუპლექს ფოლადის გამოყენება სრულიად შესაძლებელია გრუნტში და ნიადაგებში ლოკალური კოროზის საფრთხის გარეშე, აგრესიული გრუნტის შესაბამისი საერთო კოროზის მაქსიმალური სიჩქარის გათვალისწინებით, რომლის მნიშვნელობა №1 ხსნარში შეადგენს  $0,00$  მმ/წელი.



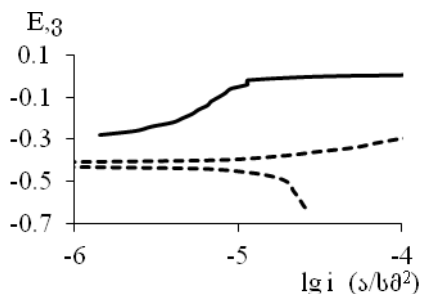
ნახ.1. 08X25Γ15C დუპლექს ფოლადის პოტენციოდინამიკური მრუდები (გადაღებული პირდაპირი  
— და უკუსვლით - - -) ცხრ. 1-ის მიხედვით შედგენილ მოდელირებულ ხსნარებში

ცხრილი 2. 08X25Γ15C ფოლადის ლოკალური კოროზის კრიტერიუმები

ხსნარი	$E_{\text{კორ}}, \text{V}$	$E_{\text{რეა}}, \text{V}$	პისტერეზისი	$E_{\text{პიტ}}, \text{V}$	$i_{\text{კას.}} \text{მკ/ს}^2$	$E_{\text{ან.კათ.}}, \text{V}$
№1	-0,12	0,06	"-	+0,18	1,87	-0,22
№2	-0,26	-0,16	" "	-	-	-0,2
№3	-0,25	-0,18	" "	-	-	-0,22
№4	-0,27	-0,28	"+"	+0,24	7,94	-0,28
0,5 M NaCl	-0,30,	-0,44	"+"	-0,02	22	-0,44

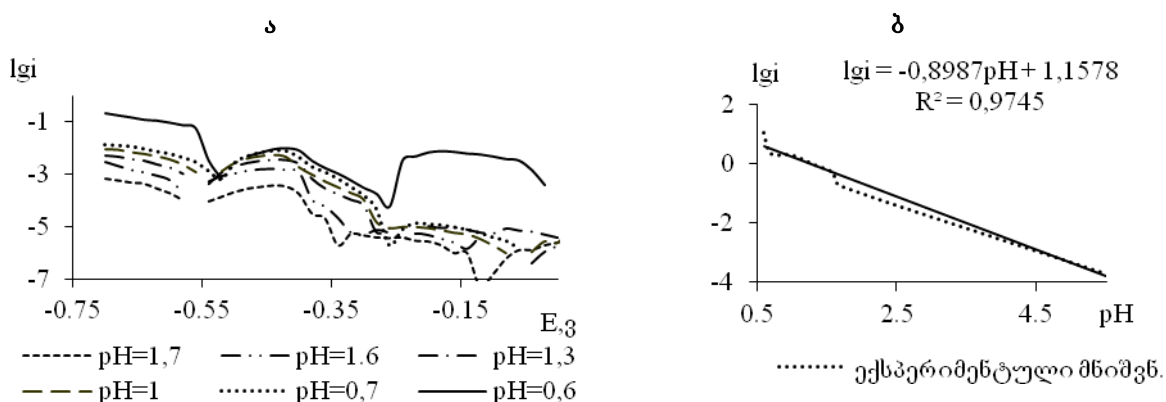
№2-4 სსნარებში გადაღებული მრუდებიდან განსაზღვრული ლოკალური კოროზიის კრიტერიუმების შედარება და ანალიზი გვიჩვენებს, რომ საერთო მოლურობის გაზრდა ხელს უწყობს ფოლადის ლოკალურ კოროზიას (პიტინგური, წყლულოვანი და ა.შ.) გამჭოლი დაზიანებების მაღალი რისკით. სსნარში იონების ჯამური მოლურობის ზრდა 0,138 M-დან 0,557 M-მდე კოროზიულ რისკებთან არის დაკავშირებული. ვინაიდან ცალკე ქლორ-იონების კონცენტრაციის გაზრდა ათჯერ 0,027 M-დან 0,271 M-მდე, ან მხოლოდ სულფატ-იონების - 0,111 M-დან 0,286 M-მდე არ იძლევა ერთმანეთისგან განსხვავებულ სურათს, შეგვიძლია დავასკვნათ, რომ ნეიტრალურ სსნარებში სხვადასხვა იონების ჯამური კონცენტრაციით 0,138 M შესწავლილი ფოლადი არ არის მიღრებილი ლოკალური კოროზიისადმი.

0,5 M NaCl-ის ხსნარში (ნახ.2, ცხრ.2) პასივაციის დენის საშუალო მნიშვნელობა შეადგენს 22 მკა/სმ<sup>2</sup> და ბევრად აღმატება №4 ხსნარში მიღებულ პასივაციის დენის საშუალო მნიშვნელობას (ცხრ.2, №4). ვინაიდან ფოლადის კოროზიის პიტენციალი 0,5 M NaCl-ის ხსნარში მდებარეობს რეპასივაციის და პიტინგის წარმოქმნის პიტენციალებს შორის, დიდია წყლულოვანი კოროზიის რისკი. ხსნარის საერთო მოლურობის ზრდით გამოწვეული უფექტი შენარჩუნებულია მხოლოდ ქლორის იონების შემცველობის პირობებშიც, ქლორის იონებით გამოწვეული უარყოფითი უფექტი გამოისახება პასივაციის დენის გაზრდილი მნიშვნელობით.



ნახ.2. დუპლექს 08X25Γ15C ფოლადის პიტენციოდინამიკური მრუდი 0,5 M NaCl-ის ხსნარში

კოროზიული პროცესის ახსნის მიზნით შესწავლილი იყო X25Γ15C ფოლადის ელექტროქიმიური ქცევა სხვადასხვა pH-ის მქონე გოგირდმჟავა ხსნარებში. X25Γ15C დუპლექს ფოლადის ელექტროდის ზედაპირის ვიზუალურმა დათვალიერებამ ყველაზე ნაკლები კონცენტრაციის გოგირდმჟავა ხსნარში (pH=1,7) წონასწორული პიტენციალის განსაზღვრისას გამოავლინა პიტინგების ჩანასახები.



ნახ. 3. დუპლექს X25Γ15C ფოლადის პიტენციოდინამიური მრუდები H<sub>2</sub>SO<sub>4</sub>-ის ხსნარებში (ა) და კოროზიის სიჩქარის (i, A/10<sup>2</sup>) ლოგარითმის დამოკიდებულება ხსნარის pH-ზე (ბ)

მიღებული პიტენციოდინამიკური მრუდები მოცემულია ნახ.3 ა. pH-ისგან დამოუკიდებლად მრუდები იმეორებენ ერთმანეთის ფორმას და ხასიათდებიან აქტიურ-პასიური გადასვლის უბნით. გოგირდმჟავა ხსნარებში დუპლექს X25Γ15C ფოლადის პიტენციოდინამიკური მრუდების ფორმა ანალოგიურია X18Γ18Ni2 აუსტენიტური ფოლადისთვის 0,5 M H<sub>2</sub>SO<sub>4</sub>-ის ხსნარში მიღებულის [9]. pH-

ის შემცირებასთან ერთად შეიმჩნევა პასივაციის დენის მნიშვნელობების გაზრდა და პასივაციის პოტენციალის გაკეთილშობილება, რაც დამახასიათებელია რკინისთვის, მაშინ როდესაც ქრომისთვის pH-ის ზრდასთან ერთად აქტიურ-პასიური გადასვლის უბანი გადაადგილდება უფრო ელექტროუარყოფით მნიშვნელობებისკენ ( $E_g = -0.35 + 0.05 \lg[H_2SO_4]$ ) [9]. სხვადასხვა კონცენტრაციის გოგირდმჟავა ხსნარში დუპლექს X25Γ15C ფოლადის პოტენციოლინამიგური მრუდების ტაფელის დახრების მიხედვით გამოთვლილი კოროზიის საშუალო სიჩქარეების ლოგარითმის დამოკიდებულება ხსნარის pH-ზე მოცემულია ნახ.3 ბ; მიღებული დამოკიდებულება  $\lg i - \text{pH}$  სუფთა ქრომის ანომალური გახსნის რეაქციისთვის მიღებულის ანალოგიურია, სადაც pH-ის კოეფიციენტი შეადგენს  $\sim 0.89$  [11].

ცნობილია, რომ მსგავსი ტიპის ფოლადებზე ჩამოყალიბებული პასიური ფენა ძირითადად ფორმირდება Cr და Fe ოქიდებისა და ჰიდროქსიდებისგან [12], პასიური ფენის მთლიანობის მოუხედავად მაღალმანგანუმიანი ფოლადებისთვის გოგირდმჟავა ხსნარში, განურჩევლად მათი სტრუქტურისა (აუსტენიტური თუ მარტენიტული), დამახასიათებელია როგორც საერთო კოროზია, ასევე მჟავა გარემოთი გამოწვეული პიტინგური კოროზია, რომელიც ძლიერდება არალითონური ჩანართებით (მაგ. MnS) [13]. მაღალმანგანუმიანი ფოლადებისთვის დამახასიათებელი შედარებით მეტი კოროზიული მედეგობა [14], აგრესიულ გარემოში ნიველირდება - მანგანუმი ზედაპირული ფენიდან მთლიანად იხსნება [15]. მიუხედავად იმისა, რომ X25Γ15C ფოლადის პასივაციის პოტენციალის მნიშვნელობას ქრომზე მეტად განსაზღვრავს რკინა, ამ ფოლადის პასივაციის პროცესზე ძირითადად პასუხისმგებელია ქრომის შემცველი დამცავი ფენების ჩამოყალიბება, რომელთა მთლიანობა შემდგომ შესწავლას მოითხოვს.

მიღებული შედეგები შემოწმდა გრავიმეტრული მეთოდის გამოყენებით. X25Γ15C დუპლექს ფოლადის 500 სთ-იანი გამოცდების შედეგები მოცემულია ცხრ.7-ში.

**ცხრილი 7. 08X25Γ15C ფოლადის კოროზიის სიჩქარეების ( $c_i$ , მმ/წელი) მნიშვნელობები და შესაბამისი გამოთვლები**

ხსნარი, №	$c_1$	$C_2$	$c_3$	$c_{\text{saS}}$
1	0,0013	0,0005	0,0004	0,0008
2	0,0083	0,0047	0,0051	0,0065
3	0,0010	0,0006	0,0004	0,0007
4	0,0074	0,0058	0,0065	0,0072

$G_\delta = 0,827; G_{\text{Gk}} = 0,906; G_{\text{Gk}} > G_\delta; s_o^2 = 7,195E-07$   
 $c = 3,78E-03 + 1,4E-04X_1 + 3,06E-03X_2$   
(1)

$S_{bi}^2 = S_o^2 / 4 = 7,195E-07 / 4 = 1,798 E-07; S_{bi} = 4,241E-04; f = 4(3-1) = 8; t = 2,31;$   
 $t_0 = 8,92; t_1 = 0,33; t_2 = 7,22$   
 $c = 3,78E-03 + 3,06E-03X_2$   
 $s_{\text{sa}}^2 = 3,05 E-07$  (2)

მივიღეთ ხაზოვანი რეგრესიის (1) განტოლება (ცხრ.7), კოეფიციენტების ნიშნადობის შემოწმების შემდეგ სტიუდენტის კრიტერიუმის მიხედვით, რეგრესიის განტოლებამ მიღო სახე (2). ადეკვატურობის დისპერსია  $s_{\text{ad}}^2 < s_o^2$ . მიღებული განტოლება ადეკვატურად ასახავს კოროზიის სიჩქარის დამოკიდებულებას ხსნარის შედეგნილობაზე. ხანგრძლივი გამოცდების შედეგად აღმოჩნდა, რომ კოროზიის საერთო სიჩქარეზე აისახება მხოლოდ ქლორის იონების გავლენა და არ მოქმედებს ხსნარში სულფატის იონების შემცველობა. ხსნარში ქლორის იონების შემცველობის მატება იწვევს კოროზიის სიჩქარის ზრდას, მაგრამ მისი მნიშვნელობა მაინც რჩება ძალიან დაბალი -  $< 0,00$  მმ/წელი. ვიზუალური დათვალიერებით №2 და №4 ხსნარში შეიმჩნეოდა უანგისფერი ნალექი, ხოლო №1 ხსნარის გარდა სხვებში ნიმუშების ზედაპირზე წარმოიქმნა მცირე რაოდენობის პიტინგები. გრავიმეტრული გამოცდებით მაღალი მოლურობის ხსნარებისთვის დადასტურდა ლოკალური კოროზიის რისკი.

08X25Γ15C დუპლექს ფოლადის ნეიტრალურ ხსნარებში სულფატის და ქლორის იონების ჯამური კონცენტრაციით 0,138 M ახასიათებს კოროზიის დაბალი სიჩქარე - 0,00 მმ/წელი და არ ახასიათებს ლოკალური კოროზია, ხსნარის ჯამური მოლურობის ზრდა 0,557 M-დე განაპირობებს ლოკალური კოროზიის რისკს. ფოლადის კოროზიულ ქცევას ძირითადად განსაზღვრავს ქრომის შემცველობა. ეს

ფოლადი, ისევე, როგორც ზოგადად მაღალმანგანუმიანი ფოლადები, მუვა გარემოში ხასიათდება პიტინგური კოროზიით.

08X25G15C დუპლექს ფოლადის გამოყენება სრულიად შესაძლებელია მიწისზედა და გრუნტში განლაგებული ლითონებრივსტრუქციების სხვადასხვა დეტალებისთვის ლოკალური კოროზიის საფრთხის გარეშე, თუმცა ზღვის წყალსა და სხვ. აგრესიულ არებში აუცილებელია კოროზიისგან დაცვის მეთოდების დამუშავება და გამოყენება.

### ლიტერატურა – REFERENCES – ЛИТЕРАТУРА

1. Jalal Alsarraf. Hydrogen Embrittlement Susceptibility of Super Duplex Stainless Steels. Thesis.CRANFIELD UNIVERSITY,2010.
2. Iris Alvarez-Armas. Duplex Stainless Steels: Brief History and Some Recent Alloys. Recent Patents on Mechanical Engineering 2008, 1, 51-57 51
3. NIST/SEMATECH e-Handbook of Statistical Methods.[www.itl.nist.gov/div898/handbook/](http://www.itl.nist.gov/div898/handbook/)
4. P.Lambert. Corrosion Protection Association. Steel Reinforced Concrete – Corrosion of the Reinforcing Steel. Monograph 1. 2002.
5. Corrosion Guidelines. Department of Transportation Division of Engineering Services, 2003.
6. შ.სიდამონიძე, გ.სუპატაშვილი, ს.ადამია. ქიმიის მოკლე ცნობარი. თბილისი: “განათლება”, 1976, გვ. 161.
7. D. C. Silverman. Developing and Applying Technologies – Practical Corrosion Prediction.Corrosion, Vol. 64, No. 8, 2008, pp. 627-640.  
<http://www.argentumsolutions.com/publications/CorrHndbkch68.pdf>
8. Ulhig's Corrosion Handbook. Practical Corrosion Prediction Using Electrochemical Techniques. Second Ed., 2000.
9. Г.Кеше. Коррозия металлов, М.,«Металлургия», 399стр.
10. [www. argentumsolutions.com](http://www.argentumsolutions.com). Argentum Solutions, Inc. Sterling guidance on corrosion and materials degradation.
11. D.M.Drazic, J.P.Popic, B.Jegdic, D.Vasiljevic-Radovic. Electrochemistry of active chromium. Part IV. Dissolution of chromium in deaerated sulfuric acid. J.Serb.Chem.Soc.69 (12), 2004. p.p.1099–1110.
12. Zhang Y.S., Zhu X.M., Zhong S.H. Effect of Alloying Elements on the Electrochemical Polarization Behavior And Passive Film of Fe-Mn Base Alloys in Various Aqueous Solutions. Corrosion Science 46, #4, 2004, p.p. 853-876.
13. B.Tcaneva, L.Fachikov, Y.Marcheva, M.Lukacheva, B.Kostadinov. Corrosion of Chromium-Manganese-Nitrogen Steels in Cloride Media. Journal of University of Chemical Technology and metallurgy, 42, 2, 2007, 163-168.
14. Grajcar, S. Kolodziej, W. Krukiewicz. Corrosion resistance of high-manganese austenitic steels. Volume 41 International Scientific Journal of World Academy of Materials and Manufacturing Engineering. Vol.41, Issue 2, February 2010, Pages 77-84.
15. B.Tcaneva, L.Fachikov, Y.Marcheva, M.Lukacheva, B.Kostadinov. Corrosion of Chromium-Manganese-Nitrogen Steels in Cloride Media. Journal of University of Chemical Technology and metallurgy, 42, 2, 2007, 163-168.

### CORROSION PROPERTIES OF CHROME-MANGANESE DUPLEX STEEL

Eter I. Gozalishvili, Dali R. Ramazashvili  
Ferdinand Tavadze Institute of Metallurgy and Materials Science

### SUMMARY

The tendency to local types of corrosion and general corrosion rate of 08X25G15C duplex steel were studied in model solutions composed according to the plan of the full factorial experiment  $2^2$ , in 0.5 M NaCl

solution and sulfuric acid solutions of various concentrations. The solutions imitating aggressive soil and the Black Sea water were included in the compositions of model solutions. Studies were conducted by using electrochemical techniques predicting local types of the corrosion, investigating the dependence of the corrosion rate on the pH of the solution and the gravimetric method determining the general corrosion rate through using statistical methods of data processing and working out the linear regression equation. It was found that the corrosion behavior of 08X25Г15C duplex steel was determined by the formation iron and chromium hydroxides on the surface of the steel under passivity. The steel is not at risk of localized corrosion in a solution simulating aggressive soil ( $0,111\text{ M SO}_4^{2-}$  and  $0,027\text{ M Cl}^-$ ) and is characterized by low value of  $0.00\text{ mm / year}$  general corrosion rate; in solutions with a high total molar concentrations up to  $0.557\text{ M}$ , there is a risk of pitting corrosion and it is necessary to develop and use the corrosion protection.

## КОРРОЗИОННЫЕ СВОЙСТВА ХРОМО-МАРГАНЦЕВОЙ ДУПЛЕКС СТАЛИ

Э.И.Гозалишвили, Д.Р.Рамазашвили

*Институт металлургии и материаловедения им. Ф.Н.Тавадзе*

### РЕЗЮМЕ

Изучены склонность к локальным видам коррозии и общая скорость коррозии 08Х25Г15С дуплекс стали в модельных растворах, составленных согласно плану полного факторного эксперимента  $2^2$ , в растворе  $0,5\text{ M NaCl}$  и в сернокислых растворах различных концентраций. В состав модельных растворов входили растворы имитирующие агрессивный грунт и воду Чёрного моря. Исследования проводились с применением электрохимической техники прогнозирования локальных видов коррозии, изучения зависимости скорости коррозии от pH раствора и гравиметрическим методом определения общей скорости коррозии с применением статистических методов обработки результатов и составления линейного уравнения регрессии. Было установлено, что коррозионное поведение 08Х25Г15С дуплекс стали определяется формированием при пассивации на поверхности стали гидроксидов хрома и железа. Сталь не подвергается риску локальной коррозии в растворе, имитирующем агрессивный грунт ( $0,111\text{ M SO}_4^{2-}$  и  $0,027\text{ M Cl}^-$ ) и характеризуется низким значением  $0,00\text{ mm /год}$  общей скорости коррозии; в растворах с более высокой суммарной молярной концентрацией, вплоть до  $0,557\text{M}$ , существует риск питтинговой коррозии и обязательна разработка и применение антикоррозионной защиты.

**პიმიური ტემოლობია****ტყვიაშემცველი ანტიდეფონეატორების აღმოჩენატიული ორგანული**  
**დანამატების მიღება და კვლევა**

ლეილა ტატიაშვილი, ნინო ნონიკაშვილი, ნინო ქარქაშაძე, მაია სტეფანიშვილი,  
თამარ დგებუაძე, ირმა მიქაძე

ივანე ჯავახიშვილის სახელობის თბილისის სახელმწიფო უნივერსიტეტის  
პეტრე მელიქიშვილის ფიზიკური და ორგანული ქიმიის ინსტიტუტი

საქართველოს ნაცობი ძირითადად პარაფინულ-ნაფტნური ბუნებისაა და მისგან პირდაპირი გამოხდით მიღებულ ბენზინურ ფრაქციას აქვს ოქტანური რიცხვის დაბალი მაჩვენებელი. ასეთი ფრაქციდან საავტომობილო საწვავის მიღება გართულებულია, ვინაიდან მხოლოდ რიფორმინგ-პროცესები და მაღალოქტანური დანამატები ვერ უზრუნველყოფებ თანამედროვე სტანდარტების შესაბამისი საწვავების მიღებას.

სამწუხაოდ, რიგ ქვეყნებში, თანამედროვე მაღალოქტანური ბენზინის მისაღებად აუცილებელი ხდება ზოგიერთი სახითათ დანამატების გამოყენება. გარდა ტყვიაშემცველი ანტიდეტონატორებისა, გამოიყენება მანგანუმის, რკინის და სხვა მძიმე მეტალების შემცველი დანამატებიც.

საქართველოში მიღებულია კანონმდებლობა, რომელიც 2000 წლიდან კრძალავს ტყვიაშემცველი საავტომობილო ბენზინის გამოყენებას.

მაღალოქტანური და ეკოლოგიურად უსაფრთხო საავტომობილო ბენზინის მისაღებად ფართოდ გამოიყენება მრავალფუნქციური დანამატები, რომლებიც გარკვეულწილად აუმჯობესებენ მათ საექსპლუატაციო და ეკოლოგიურ მახასიათებლებს.

ივანე ჯავახიშვილის თბილისის სახელმწიფო უნივერსიტეტის პეტრე მელიქიშვილის ფიზიკური და ორგანული ქიმიის ინსტიტუტში დაგროვილია გამოცდილება იზომერიზაციის რეაქციის შესწავლის დარგში, რომელიც შესაძლებლობას იძლევა მივიღოთ დაბალოქტანურ ნავთობურ ფრაქციებში შემავალი პარაფინული ნახშირწყალბადების ჩონჩხის იზომერიზაციით მაღალოქტანური იზომერიზატები. გარდა ამისა, შესაძლებელია სამხედრო აღჭურვილობის თხევადი რაკეტული საწვავის ზოგიერთი კომპონენტის გამოყოფა და შემდგომში მათი გამოყენება მაღალოქტანური კომპოზიციის მისაღებად.

**ექსპერიმენტული ნაწილი**

ნაშრომის ძირითად ამოცანას წარმოადგენს ნაჯერი ნახშირწყალბადების – ალკანებისა და ციკლოალკანების იზომერიზაციის რეაქციის ოპტიმალური კატალიზატორების შერჩევა.

ალკანების იზომერიზაციის პირველი სამერცხლო პროცესი შესწავლილი იქნა აშშ-ში გასული საუკუნის 40-იან წლებში სამქლორიანი ალუმინის თანაბიძისას. შემდგომ, 50-იან წლებში დაიწყო ალკანების მაღალტემპერატურული იზომერიზაციის პროცესის კვლევა მყარ ბიფუნქციონალურ ალუმინატატების კატალიზატორებზე. ამ ახალი კატალიზატორების გამოყენებამ ხელი შეუწყო ტექნოლოგიის გამარტივებას და მოხსნა პრობლემები, რომლებიც დაკავშირებული იყო აპარატურის ძლიერ კოროზიასთან სამქლორიანი ალუმინის მოქმედებით.

ჩვენს მიზანს წარმოადგენდა მყარი ეფექტური კატალიზატორების შექმნა ადგილობრივი ნედლეულის მაქსიმალური გამოყენებით, რაც სამუალებას მოგვცემდა აგვემალლებინა პირდაპირი გამოხდის ნაფტას ან მისი წილის ოქტანური რიცხვი [1].

პირველყოვლისა გამოყენებული იყო ახალი კატალიზური სისტემების სარჩევლად ბუნებრივი კლინოპტილოლოიტი. რასაკვირველია, მისი ფორმა სტრუქტურის ზომები მცირეა ჩონჩხის იზომერიციის რეაქციის შედეგად მიღებული პროდუქტებისათვის, მაგრამ სათანადო მოდიფიცირების შედეგად შესაძლო გახდა ეფექტური კატალიზატორების მიღება. მით უმეტეს, რომ ჩვენს ლაბორატორიაში დაგროვდა სამქლორიანი რეანით მოდიფიცირებული კლინოპტილოლოიტის კატალიზატორის დეპილრატაცია-იზომერიზაციის რეაქციაში გამოყენების გამოცდილება.

კატალიზატორი დამზადდა ბუნებრივი ცეოლითის – კლინოპტილოლოიტის საფუძველზე. ეს უკანასკნელი განიცდიდა ფრაქციონირებას. გამოყენებული იქნა 1-2 მმ ფრაქცია და ფხვნილისებური ცეოლითი. კლინოპტილოლოიტის მოდიფიცირებული ფორმები მიიღებოდა ამ უკანასკნელის დამუშავებით შესაბამისი იონის შემცველი მარილის 0,1N ხსნარით.

მაგალითად,  $\text{Fe}^{3+}$  კლინკეტილოლიტის კატალიზატორი მზადდებოდა შემდეგნაირად: 100 სმ<sup>3</sup> ცეოლითის დამუშავება ხდებოდა  $\text{FeCl}_3$ -ის 0,1N ხსნარით მექანიკური სარეველას მეშვეობით. მოცულობითი თანაფარდობა ცეოლითი: ხსნარი – 1 : 6.

პროცესი ტარდებოდა 1 სთ-ის განმავლობაში და მეორდებოდა სამჯერ. ცეოლითი გამოიყენებოდა დისტილირებული წყლით გარეცხვისა და გაშრობის შემდეგ. ანალოგიურად იქნა მიღებული კატალიზატორის შემდეგი ფორმები:  $\text{FeCl}_3$ /კლ;  $(\text{NH}_4)_6\text{Mo}_7\text{O}_{24}$ /კლ;  $\text{H}_7[\text{P}(\text{W}_2\text{O}_7)_6]$ /კლ.

კატალიზატორში რკინის უანგის განსაზღვრამ აჩვენა, რომ მისი შემცველობა ბუნებრივ კლინკეტილოლიტში შეადგენს 1,51 %-ს; ამ უკანასკნელის  $\text{FeCl}_3$ -ის ხსნარით დამუშავების შემდეგ აღწევს 3,04 %-ს მეორადის შემდეგ – 3,36 %-ს, ხოლო მესამედ დამუშავების შემდეგ კი – 3,68 %-ს. კატალიზატორის შემდგომი დამუშავება აღნიშნული ხსნარით შედეგს არ ცვლის. ამიტომ მიზანშეწონლია ოპტიმალურად იქნას მიჩნეული მისი სამჯერადი დამუშავება.

ვინაიდან ჩვენს მიზანს წარმოადგენს ჩინჩხის იზომერიზაცია, ძირითადად უნდა გამოვიყენოთ მჟავური ტიპის კატალიზატორები და შევეცალოთ რეაქციის ჩატარებას მკაცრ პირობებში 200<sup>0</sup> C-ზე მაღლა, თუმცა ასეთ დროს ადგილი ექნება კრეკინგს და პოლიმერიზაციას. ასეთ კატალიზატორებად ძირითადად გამოიყენება ალუმინობლატინის ან ალუმინიალადიუმის კატალიზატორები, რომლებიც პრომოტირებული არიან ჰალოგენებით. ჩვეულებრივ, მეტალებად იყენებენ პლატინას, პალადიუმს, როდიუმს ან მეტალთა უანგულებს (ვოლფრამი, მოლიბდენი) მეავურ ალუმინიუმიკატებთან და ცეოლითებთან. ყველაზე მეტად გავრცელებულია კატალიზატორები, რომლებიც შეიცავენ 0,01-2 %-იან მასურ წილ პლატინას ან პალადიუმს, ხოლო სარჩულად გამოყენებულია ალუმინის უანგი, მაღალსილიციუმიანი ალუმინიუმის ალუმინიუმი. ჩვენს მიერ გამოყენებულია ИП -62 (პლატინის შემცველობა 0,8 %), რომელიც მოდიფიცირებული იყო  $\text{FeCl}_3$ -ით. ასევე დამზადებულია კატალიზატორი კლინკეტილოლიტის საფუძველზე, რომელიც მოდიფიცირებულია  $\text{AlCl}_3$ -ით. ასევე კლინკეტილოლიტის კატალიზატორი, რომელზეც დაფენილი იქნა მანგანუმის უანგი და რკინის უანგი. ზოგ შემთხვევაში გამოყენებულია კობალტის და ნიკელის, მოლიბდენის და ვოლფრამის მარილებიც. აღნიშნული ჰეტეროგენული კატალიზატორები წინასწარ შრებოდა, ხოლო შემდგომ ცდის ტემპერატურაზე ხდებოდა ჰაერის გატარება 1 სთ-ის განმავლობაში. ცდები ტარდებოდა 250-350<sup>0</sup>C-ის პირობებში სხვადასხვა მოცულობითი სიჩქარით 0,2-2 სთ<sup>-1</sup>. მიღებული კატალიზატი გაშრობის შემდეგ ანალიზდებოდა ალურიონიზაციური დეტექტორის მქონე აირთხევად ქრომატოგრაფზე (ჩეხური წარმოების ქრომ-4). ქრომატოგრაფიის სევტად გამოყენებულია 3-4 მ სიგრძის მეტალის მილები, რომლებშიც ჩატვირთულია აპიეზონ L ან აპიეზონ N, დამუშავებული სტანდარტული ჩეხური წარმოების მყარი ფაზები, ძირითადად ქრომოსორბის ტიპის.

რიგ შემთხვევაში ნარევების თვისობრივი ანალიზისათვის გამოიყენებოდა კაპილარული ქრომატოგრაფია და ინფრაწითელი სპექტრალური ანალიზი.

მოსასინჯი ცდები ტარდებოდა ვერტიკალური ტიპის ღუმელში, რომელშიც იყო კვარცის მილი 25 მმ დიამეტრით, კატალიზატორის სვეტის სიმაღლე 5 სმ, მოწოდების დოზირება ხდებოდა მექანიკური ღოზატორით, ხოლო ტემპერატურა რეგულირდებოდა თერმოწყვილით და კონტაქტური რელეს საშუალებით. ტემპერატურის რეგულირების სიზუსტე 2-3<sup>0</sup> C. გამსხვილებული ცდები ტექნოლოგიური რეჟიმის დასაღენად ტარდებოდა მილში, რომელშიც თავსდებოდა 1 ლ-მდე კატალიზატორი. ეს გვაძლევდა შესაძლებლობას მოვეხდინა ტექნოლოგიური რეჟიმების კორექტირება.

### მიღებული შედეგების განსაზღვრა

თანამედროვე ნავთობგადამამუშავებელი ქარხნის ტექნოლოგიური კონფიგურაცია შემდეგია:

ნედლი ნავთობის პირდაპირი გამოხდა, რომლის შედეგადაც მიიღება:

1. ნავთობგაზები;
2. მსუბუქი ნაფტა;
3. მძიმე ნაფტა;
4. ნავთი;
5. დიზელის საწვავი;
6. მაზუთი;
7. ასფალტი.

ნავთობგაზებიდან ხდება გათხევადებული პროპან-ბუტანის მიღება, რომელიც გამოიყენება საყოფაცხოვრებო დანიშნულებით,  $C_5 - C_6$  ფრაქცია მსუბუქი ნაფტა იზომერიზაციაზე მაღალოქტანური

იზომერიზატის მიღებით, მძიმე ნაფტა ( $100-200^{\circ}\text{C}$ ) კატალიზურ რიფორმინგზე, სადაც ხდება დეპიდროციკლიზაცია არომატული ნახშირწყალბადების შემცველობის გაზრდით. ნავთი და დიზელის საწვავი მიღის პირდაპირ მომზმარებელთან, ხოლო მაზუთი განიცდის პიდროკრეკინგის პროცესს, საიდანაც ასევე მიღიღება შეუბუქი ნახშირწყალბადები (ნაფტა), ნავთი და დიზელი. როგორც წესი ყველა ქარხანას აქვს შერევის (კომპაუნდირების) საამქრო, სადაც ხდება სხვადასხვა ბენზინური კომპონენტების შერევა იმ ანგარიშით, რომ მიღებული იქნას ოპტიმალური ნახშირწყალბადები შემადგენლობის ბენზინი, რომელიც დაკავშირდიზაციის ნორმებს.

როგორც ვხედავთ, თანამედროვე ტექნოლოგიურ კონფიგურაციაში მნიშვნელოვანი ადგილი უკავია იზომერიზაციას, ამ პროცესის მნიშვნელობა იზრდება საქართველოს საბაზოების ხედლი ნავთობის ქიმიურ ბუნებასთან დაკავშირებით. ჩვენი ნავთობების პირდაპირი გამოხდით მიღებული ნაფტას ოქტანური რიცხვი ჩვეულებრივ  $52-56$ -ია, მაშინ, როდესაც აზერბაიჯანის ნაფტენურ-არომატული ბუნების ნავთობების პირდაპირი გამოხდით მიღებული ნაფტას ოქტანური რიცხვია  $62-64$ . დაახლოებით  $8-10$  ოქტანური რიცხვის ნაკლებობა უნდა შეავსოს იზომერიზაციაში, რის შედეგადც ხდება ნორმალური პარაფინული ნახშირწყალბადების ჩონჩხის განტოტვა და შესაბამისად იზრდება ოქტანური რიცხვი.

პარაფინული ნახშირწყალბადების იზომერიზაცია წარმოადგენს შექცევად ქიმიურ რეაქციას. როგორც ჰომოგენური, ასევე ჰეტეროგენური კატალიზური რეაქციები იზომერიზაციის  $400-450^{\circ}\text{C}-\text{ზე}$  გადაანაცვლებენ პროდუქტების გამოსავლებს წონასწორული ნარევების მიღებისაკენ. იზომერიზაციის გზით შესაძლებელია ნორმალური და მცირედგანტოტვილი პარაფინების გარდაქმნა ძლიერ განტოტვილ მაღალოქტანურ კომპონენტებად საერთო მოცულობის შეცვლის გარეშე [2].

ოქტანური რიცხვის გაზრდის ყველაზე ეფექტურ პროცესს წარმოადგენს დაბალტემპერატურული თხევადფაზური იზომერიზაცია ფრიდილ-კრაფტსის კატალიზატორების თანაობისას, რადგან ამ შემთხვევაში ტემპერატურის შემცირებას მივყავართ ნარევში მაღალოქტანური კომპონენტების – დიმეთილბუთანების და იზოპენტანის შემცველობის გაზრდამდე. თუმცა ეს პროცესები მოითხოვნ ძლიერი მჟავების გამოყენებას, რომლებიც იწვევენ აპარატურის კოროზიას, ასევე ისეთი კატალიზატორის გამოყენებას, რომლებიც მგრძნობიარე არიან მინარევებისადმი, რაც მოითხოვს ნედლეულის წინასწარ გაწმენდას.

იზომერიზაცია ჩვეულებრივ მიმდინარეობს დაახლოებით  $400^{\circ}\text{C}-\text{ზე}$ . ბიფუნქციონალური კატალიზატორები (ალუმინიუმის ნაკლებად მგრძნობიარე არიან კატალიზატორების შხამების მიმართ.

პირველი მონაცემები კატალიზური იზომერიზაციის შესახებ ცეოლიტებზე მოცემულია რაბოს და თანამშრომლების ნაშრომებში, რომლებიც იკვლევდნენ პლატინის შემცველი  $\text{X}$  და  $\text{Y}$  ტიპის ცეოლითების აქტივობას. მათ აღმოაჩინეს, რომ პლატინა და ცეოლითების ნატრიუმის ფორმებზე იზომერიზაცია არ მიმდინარეობს. უფრო აქტიურია კალციუმის ფორმები, მაგრამ ყველაზე უფექტური კატალიზატორი აღმოჩნდა  $\text{Y}$  ტიპის დეკათონინირებული ცეოლითი, რომელშიც შეტანილია პლატინა [3].

ვიწრო და ფართო ფორმის ცეოლითების შესწავლაშ აჩვენა, რომ ვიწროფორმიან კატალიზატორებზე იზომერიზაციის პროდუქტები წარმოიქმნებიან მცირე რაოდენობით, ეს დამოკიდებულია იმაზე, რომ იზომერიზაციის მსხვილი მოლეკულები ძნელად დიფუნდირდებიან ვიწრო ფორმებიდან და ხდება მათი პიროვნების პროპრიეტეტების ზომები უნდა იყოს მეტი, ვიდრე იზომერიზაციის პროდუქტებისა და რეაგენტების მოლეკულების კრიტიკული ზომა. ასეთ ცეოლიტებს მიეკუთვნებიან  $\text{X}$ ,  $\text{Y}$ ,  $\text{N}$  და ფართო ფორმის მორდენიტი. შემდგომ რაბომ და თანამშრომლებმა აჩვენეს, რომ პალადიუმშემცველი  $\text{Y}$  ცეოლიტს დეკათონინირებულ ფორმაში  $\text{Al}_2\text{O}_3/\text{SiO}_2 = 5$  შეუძლია ნ-პენტანისა და ნ-ჰექსანის გარდაქმნა პროდუქტებად, სადაც შესაბამისი იზომერები იქნებიან წონასწორულ თანაფარდობაში. მაგალითად, ნ-პენტანი  $350^{\circ}\text{C}$  და მოცულობით სიჩქარით  $2 \text{ სთ}^{-1}$  იზოპენტანში გარდაიქმნება  $65\%$  - ით, მაგრამ იმავე პირობებში უფრო დაბალ ტემპერატურაზე ნ-ჰექსანიდან მიღებულია ნარევი, რომელიც შეიცავდა  $15\%-ზე$  მეტ 2,2-დიმეთილბუტანს, ხოლო დანარჩენი პროდუქტები წარმოდგენილია წონასწორული თანაფარდობით.  $\text{C}_5-\text{C}_6$  ნახშირწყალბადების ნარევი ამავე კატალიზატორებზე გატარების შედეგად  $350^{\circ}\text{C}-ზე$  წარმოქმნას იზომერების ნარევს, რომელიც შეიცავს  $13\%-ს$  2,2-დიმეთილბუტანს და  $13\%-ს$  იზოპენტანს. კატალიზატორის აქტივობა გრძელდება  $1250 \text{ სთ}^{-1}$  მეტი ხნის განმავლობაში. უნდა აღინიშნოს, რომ მუშაობის დამთავრების შემდეგ კატალიზატორებზე არ აღინიშნა კოქსის წარმოქმნა. ასევე გარკვეული იყო გოგირდის გავლენაც. დადგენილია, რომ  $0,3\%$

გოგირდის შემცველობის შემთხვევაში 2500 სთ-ის მუშაობის შემდეგ კატალიზატორის აქტივობა შემცირდა, თუმცა 6-პენტანის გატარების შემდეგ ის აღდგა საწყის დონემდე [4].

აღსანიშნავია, რომ ძალზე მაღალი აქტივობა გამოამდავნა იზომერიზაციის პროცესში მორდენიტმა. განსაკუთრებით აღსანიშნავია ამ მხრივ H-მოდერნიტი, რომელიც მზადდება მუსური დამუშავებით. ამგვარად, მუსური სის გავლენით ხდება არა მარტო კათიონების მოცილება, არამედ კარკასიდან ალუმინის ნაწილის მოცილებაც, რაც ხელს უწყობს ფორების გამოთავისუფლებას რეაქციის რეაგენტებისა და პროდუქტებისათვის. H-მოდერნიტში პლატინის შეტანა ხელს უწყობს კატალიზატორის დეზაქტივიზაციის შეჩერებას. ფირმა “შელოილ”–მა დაამუშავა იზომერიზაციის გაზოვაზური პროცესი ცეოლიტურ კატალიზატორზე, სადაც გამოიყენება წყალბადი 26-30 ატ. წნევით 260<sup>0</sup> C-ზე. ასეთი დანადგარი აშენდა იტალიაში ქლასპეციას ნავთობგადამამუშავებელ ქარხანაში. ამ პროცესის კატალიზატორი დამზადებულია ფირმა “Union Carbide” მიერ. ეს კატალიზატორი წარმოადგენს ცეოლიტს მაღალი მუსურინიტის ძალზე დაბალი შემცველობით, რომელშიც დისპერგირებულია კეთილშობილი მეტალი. ამ დროს C<sub>5</sub> – C<sub>6</sub> ფრაქციის იზომერიზაციით მიიღება 75-77 %-იანი თხევადი ბენზინი 12 %-ით უფრო მაღალი ოქტანური რიცხვით, ვიდრე საწყისი ნედლეული. უნდა აღინიშნოს, რომ შესაძლებელია გაიზარდოს იზომერიზატების ოქტანური რიცხვი მათი შემდგომი მრავალჯერადი რეცირკულაციით. მაღალგანვითარებული ქვეწყნების წარმოებაში დანერგილია პროცესები, რომლებიც ითვალისწინებენ იზომერული და ნორმალური ნახშირწყალბადების დაყოფას ცეოლიტებზე, შემდგომ მათ განმეორებით იზომერიზაციას და ამ პროცესის რამდენიმეჯერ გამეორებას. ასეთნაირად შესაძლებელი გახდა C<sub>5</sub> – C<sub>6</sub> ფრაქციის ოქტანური რიცხვის გაზრდა არა 12 ერთეულით, არამედ დაახლოებით 20 ერთეულით [5].

ჩვენს მიერ იზომერიზაციისათვის გამოყენებული იქნა ბუნებრივი ცეოლიტი – კლინოპტილოლიტი, რომლის ფორების ზომები ვიწროა იზოპარაფინებისათვის, მაგრამ FeCl<sub>3</sub>-ით დამუშავება შესაძლებლობას იძლევა გაიზარდოს, როგორც ფორების ზომა ნატრიუმის გამოდევნის ხარჯზე, ასევე ამაღლდეს იზომერიზატის პოტენციალი Fe<sup>3+</sup> იონების მომატების ხარჯზე. აღსანიშნავია, რომ ბუნებრივ ცეოლიტშიც არის რკინის ჟანგი დაახლოებით 1,6%, ხოლო სამჯერადი დამუშავებით მიიღება 4-4,5%.

აღრე ამ ტიპის კატალიზატორზე ჩატარებული იყო ციკლოპექსანოლის დეპიდრატაცია. იზომერიზაციის პროცესი ჩინჩხის იზომერიზაციით და ბენზინური ფრაქციისათვის მისი გამოყენება პრაქტიკულად მივიჩნიეთ. ცდები ჩატარებულია გამსიხვილებულ ლაბორატორიულ დანადგარზე, რომელიც შეიცვდა ვერტიკალურ კატალიზურ მილს სიგრძით 50 სმ. ცდები ტარდებოდა 300-350<sup>0</sup>C-ზე მოცულობითი სიჩქარით 0,2-2 სთ<sup>-1</sup> ფარგლებში. აღსანიშნავია, რომ ამ პირობებში იზომერიზაცია მიმდინარეობდა 60-70- %-ით და ხდებოდა ნარევის ოქტანური რიცხვის გაზრდა 4-8 ერთეულით.

საწყის ნედლეულად აღებული იყო საქართველოს საბადოს (პატარძეული) ნედლი ნავთობის პირდაპირი გამოხდით მიღებული ნაფტა (50-200<sup>0</sup> C), ასევე C<sub>5</sub> – C<sub>6</sub> ფრაქცია (50-100<sup>0</sup> C).

უნდა აღინიშნოს, რომ ვიწრო ფრაქციის იზომერიზაციით უფრო მაღალი შედეგებია მიღებული, თუმცა ნაფტას იზომერიზაციის შედეგები საკმაოდ დამაიმედებელია. გარდა ამისა, გამოყენებულია სამრეწველო კატალიზატორი IP-62, რომელიც შეიცავს 0,8 % პლატინას და მისი მოდიფიცირებული ფორმა, რომელიც დამუშავებულია FeCl<sub>3</sub>-ის სინარით. ასევე გამოყენებულია ბუნებრივი ფართოფორმანი მორდენიტი (ახალქალაქი), რომელიც წინასწარ დამუშავებულია მარილმჟავით, ხოლო შემდგვ მოდიფიცირებულია რკინის იონებით, გამოყენებულია მოდიფიცირებისათვის მანგნუმის ჟანგი, პალადიუმის მარილები, ნიკელის მარილები, კობალტის მარილები და სხვ. ამ კატალიზატორების გამოყენებით C<sub>5</sub> – C<sub>6</sub> ფრაქციის და ნაფტას იზომერიზაციის რეაქციაში მიღებულია იზომერიზატის ოქტანური რიცხვის ზრდა 8-12 ერთეულით, რაც უდაოდ პერსპექტიულია.

მიღებული შედეგების საფუძველზე შერჩეულია ოპტიმალური კატალიზატორები და მონაცემები მზადება დაპატენტებისათვის. აგრეთვე შემუშავებულია კომპოზიციები მაღალოქტანური ნარევების მისაღებად. ლაბორატორიაში დამუშავებული მეთოდებით თხევადი რაკეტული საწვავის კომპონენტ – “სამინი”-დან გამოყოფილია არომატული ამინები – ქსილიდინები, რომელთა ოქტანური რიცხვი აღწევს 106 ერთეულს. არაკონდიცირებული რაკეტული საწვავიდან გამოყოფილი ქსილიდინების და კატალიზური იზომერიზაციით მიღებული იზომერიზატების დამატებით შემუშავებულია მაღალოქტანური კომპოზიცია, რომელიც იძლევა შესაძლებლობას მიღებულ იქნას ეკოლოგიურად დამაკმაყოფილებელი თვისებების მქონე მაღალოქტანური საავტომობილო ბენზინი.

**ლიტერატურა – REFERENCES – ЛИТЕРАТУРА**

1. Rutenbeck D., Papp H., Ernst H., Investigations on the reaction mechanism of the skeletal isomerization of n- butenes to usobutene: Pat II. Reaction mechanism on ferrierites, Applied Catalysis, 2001, N208, p. 153-161.
2. Watanabe T., Suzuki T., Skeletal isomerization of alkanes and hydroisomerization benzene over solid strong acids and their bifunctional catalysts, Catalysis Today, 2001, N66, p.119-126.
3. Rabo J., Pickert P., Pentane and Hexane Isomerisation, Industrial and Engineering Chemistry, 1961, V.53, N9, p.733-736.
4. Galperin L., Process for the isomerization of paraffins, United States Patent 5905181, 1999.
5. Calemma V., Peratello S., Stroppa F., Giardino R., Perego C., Hydrocracking and Hydroisomerization of Long-Chain n-Paraffins. Reactivity and Reaction Pathway for Base Oil Formation, Ind. Eng. Chem. Res., 2004, V.43, p. 934-940.

**PRODUCTION AND RESEARCH OF ALTERNATIVE ORGANIC ADDITIVES OF LEAD CONTAINING ANTIDETONATORS**

Leila Tatiashvili, Nino Nonikashvili, Nino Karkashadze, Maia Stepanishvili,  
Tamar Dgebuadze, Irma Mikadze

*Petre Melikishvili Institute of Physical and Organic Chemistry  
at Ivane Javakhishvili Tbilisi State University*

**SUMMARY**

On the basis of achieved results it is possible to select catalytic systems and technological modes, which will provide increasing octane number in gasoline fraction obtained from direct distillation of Georgian oil by 8-12 units. Clinoptilolite modified with trichloride iron provides 60-65% yield of skeleton isomerization at 350° C and natural clinoptilolit modification with different transition metal containing salt increases paraphine isomerization level up to 70%.

**ПРОИЗВОДСТВО И ИССЛЕДОВАНИЕ АЛЬТЕРНАТИВНЫХ СВИНЕЦСОДЕРЖАЩИМ АНТИДЕТОНАТОРАМ ОРГАНИЧЕСКИХ ПРИСАДОК**

Л.Т.Татиашвили, Н.У.Ноникашвили, Н.Г.Каркашадзе, М.А.Степанишвили, Т.Г.Дгебуадзе,  
И.И.Микадзе

*Институт физической и органической химии им. П.Г.Меликишивили  
Тбилисского государственного университета им. И.Джавахишвили*

**РЕЗЮМЕ**

На основе полученных результатов возможно подобрать катализитические системы и технологические режимы, при которых эффективно повышается октановое число на 8-12 единиц в бензиновой фракции, полученной прямой перегонкой грузинской нефти. Клиноптилолит, модифицированный трёххлористым железом, обеспечивает 60-65%-ный выход скелетного изомеризата при 350°C. Вместе с тем, модификация природного клиноптилолита солями разных переходных металлов повышает степень изомеризации до 70%-ов.

**პიმიური ტემოლობია****ეკოლოგიურად უსაფრთხო ორგანული დანამატების შეჩერება  
საავტომობილო ბენზინისათვის**

ლეილა ტატიაშვილი, ნანა წეროძე, ქეთევან ქოჩიაშვილი, მაია ჯაფარიძე, რუსუდან ცისკარიშვილი, ირმა მიქაძე

**ივანე ჯავახიშვილის სახელობის თბილისის სახელმწიფო უნივერსიტეტის  
პეტრე მელიქიშვილის ფიზიკური და ორგანული ქიმიის ინსტიტუტი**

საქართველოში წელიწადში 800-850 ათას ტონამდე საავტომობილო ბენზინი გამოიყენება. ბოლო ხანგბში, უფრო ეფექტური ძრავების კონსტრუქცია ითვალისწინებს მაღალოქტანური ბენზინების გამოყენებას. ეს უკანასკნელი კი მიიღება დანამატების გამოყენებით, რომელთა შემცველობაც თანამედროვე ბენზინებში აღწევს 15-20%-ს. მაღალოქტანური ბენზინების დამზადება წარმოუდგენელია ანტიდეტონაციური დანამატების გარეშე და მათ შორის ტექნიკურად ყველაზე ეფექტური არის ტეტრაეთილტყვია. ტეტრაეთილტყვის გამოყენება დაიწყო აშშ-ში 1923 წლიდან და ბოლო დრომდე სამართლიანად ითვლება ყველაზე მაღალეფექტურ ანტიდეტონატორულ დანამატად. ამასთან ერთად, ტეტრაეთილტყვის მასიურმა გამოყენებამ საავტომობილო ბენზინებში მსოფლიოს წინაშე დააყენა ძალზე მწვავე პრობლემები. ბენზინის გამონაბოლქვი იწვევს ტყვიის დაგროვებას ადამიანის ორგანიზმისა და გარემოში. ყველაზე მეტად ზიანდება მოზარდის ორგანიზმი. დადგნილია, რომ ტყვია მოქმედებს ნერვულ სისტემაზე და იწვევს გონივრულ სიჩქარებს. გარემოში დაგროვილი ტყვია და მისი ნაწარმები არღვევენ ბუნებრივ წონასწორობას და განაპირობებენ ეკოლოგიურ კატაკლიზმებს. მსოფლიო საზოგადოების დაბეჯითებითი მოთხოვნით მკაცრად შეიზღუდა ტყვიის შემცველობა 1 ლ საავტომობილო ბენზინში ჯერ 50, შემდეგ კი - 0,013 გ-მდე. ეს უკანასკნელი დონე მიჩნეულია პრაქტიკულად უსაფრთხო რაოდენობად. ამდენად, თანამედროვე ბენზინებში ტყვიის შესაძლო შემცველობა არ უნდა აღემატებოდეს 0,013 გ/ლ-ზე.

მრავალი წლის განმავლობაში მოტორული საწვავის ერთადერთ დანამატს წარმოადგენს ანტიდეტონატორები. ამჟამადაც ამ სახის დანამატებს ყველაზე მეტი რაოდენობით ამზადებენ. სხვადასხვა ქვეწის მეცნიერები ცდილობენ აამაღლონ ახალი დანამატების საექსპლუატაციო მახასიათებლები. რასაკირველია, ჯერ განხილული იქნება მიმმე მეტალების შემცველი დანამატები, ხოლო შემდგომ უფრო თანამაღროვე ორგანული დანამატები, რომელთა შესახებაც მონაცემები გაცილებით მცირეა.

საავტომობილო ძრავების ეკონომიურობისა და სიმბლავრის გასაზრდელად კონსტრუქტორები სულ უფრო მეტად აღიდებენ შეკუმშვის ხარისხს, რაც თავის მხრივ ითხოვს ბენზინის ოქტანური რიცხვის გაზრდას.

კარბიურატურული ძრავის წვის კამერაში შეკუმშვის შევლელობის დროს მასში არსებობს ჰომოგენური საწვავ-ჰაერის სამუშაო ნარევი, რომელსაც აალებენ ელექტრული ნაპერწკლით. ალი ვრცელდება თანაბარი სიჩქარით და წნევაც ნელ-ნელა იზრდება წვის ბოლოს. ალის ფრონტის გადაადგილებასთან ერთად ფრონტის დაუწველი საწვავ-ჰაერის ნარევში გადაადგილების პარალელურად იზრდება ტემპერატურა და წნევა. იმ შემთხვევაში, თუ საწვავის მდგრადობა თვითაალებაზე საჭარისი არ არის, მაშინ ციკლის რომელიმე მომენტში სამუშაო ნარევის დაუწვევი ნაწილი მყისიერად აალდება; მიმდინარეობს ძალზე სწრაფი წვის რეაქციები, რის გამოც ხდება კამერის კედლების განსაკუთრებული ინტენსიური ვიბრაცია. ამ მოვლენას ეძახიან დეტონაციას.

ბენზინის ოქტანური რიცხვი დამოკიდებულია მის ნახშირწყალბადოვან შემადგენლობაზე. სხვადასხვა ძრავების მიღრეკილება დეტონაციისადმი არ არის ერთნაირი. იგი დამოკიდებულია შეკუმშვის ხარისხზე, აალების წინსწრებაზე, საწვავის ნარევის შემადგენლობაზე, მის ტემპერატურაზე, კარბურატორის რეგულირებაზე და მრავალ სხვა ფაქტორზე. მოცემულ საავტომობილო ძრავში ბენზინის დამაკმაყოფილებელი ანტიდეტონაციური თვისებები მიიღწევა მხოლოდ იმ შემთხვევაში, თუ მისი ოქტანური რიცხვი არ არის მცირე ძრავისთვის საჭირო დონეზე. ისიც უნდა აღინიშნოს, რომ ოქტანური რიცხვის შეკლა არ არის აბსოლუტური, არამედ მხოლოდ ფარდობითია. სხვადასხვა მეოთხებით ადარებენ საკვლევი საწვავის დეტონაციურ მდგრადობას ნარევთან, რომელიც შედგება ნ-პენტანისა და 2,2,4-ტრიმეთილპენტანისგან. სამწუსაროდ, ეს კარამეტრი არ წარმოადგენს ანტიდეტონაციური მდგრადობის აბსოლუტურ კრიტერიუმს, იგი მხოლოდ შედარებითია.

პირველი ანტიდეტონატორი, იოდი, აღმოჩენილი იყო 1916 წელს, ხოლო შეძლგომ, მრავალი ნაერთის კვლევის შედეგად, დადგინდა ტეტრაეთილტყვიის განსაკუთრებული ანტიდეტონაციური ეფექტურობა.

ტეტრაეთილტყვიით დამზადებული ბენზინი პირველად გაიყიდა 1923 წელს ოპაიოს შტატის ქ-დეიტონის ბენზინგასამართ სადგურზე. თითქმის 1960 წლამდე აშშ-ში სამრეწველო მასშტაბით არავითარი სხვა ანტიდეტონატორი არ გამოიყენებოდა. გაუმჯობესებული თვისებების მქონე ანტიდეტონატორების ძებნა მიმდინარეობს ჯერ კიდევ იოდის აღმოჩენის დროიდან. ცხრილში ნაჩვენებია ზოგიერთი ანტიდეტონატორის ეფექტურობა, გამოხატული ანილინის მოლების რიცხვის ანტიდეტონაციური აქტივობით [1-3].

### მეტალორგანული ანტიდეტონატორები

ტეტრაეთილტყვია	118
დიმეთილდიოუნილტყვია	115
ჰექს-ე-ქსილოლდიტყვია	76
ტეტრაფენილტყვია	70
კარბონილრკინა	50
კარბონილნიკელი	35
დიეთილტელური	27
ტრიმეთილბისმუტი	24
დიეთილსელენი	6,9
ტეტრაეთილკალა	4,0
ტრიფენილარსინი	1,6
დიმეთილკადმიუმი	1,2

### ამინები

დიფელამინი	1,5
N – მეთილანილინი	1,4
M – ქსილიდინი	1,4
ანილინი	1,0
N, N – დიმეთილანილინი	0,21
უთილამინი	0,20
ტრიფენილამინი	0,09

თვალინათლივ ჩანს, რომ ტეტრაეთილტყვია ყველაზე ეფექტური ანტიდეტონატორია. ორგანული დანამატები (ამინები) ნაკლებად აქტიურია. ყველა ანტიდეტონატორიდან უფრო ეკონომიურია რკინის პენტაკარბონილი, ის სამრეწველო მასშტაბებით რამოდენიმე წლის განმავლობაში გამოიყენებოდა გერმანიაში და მზადდებოდა ნავთში რკინის პენტაკარბონილის 50%-იანი ხსნარის სახით (ე.წ. “მოტილი”). მაგრამ აღმოჩნდა, რომ ტეტრაეთილტყვიასთან შედარებით რკინის პენტაკარბონილს ახასიათებს მთელი რიგი ნაკლოვანებები. მათგან ყველაზე მნიშვნელოვანია ცვეთის საგრძნობი გაზრდა ძრავაში აპრაზიული თვისებების მქონე რკინის უანგის წარმოქმნის გამო. შეფერხებები გამოიწვია ასევე აალების სანთლების მოკლე ჩართვამ ფაიფურის იზოლატორებზე რკინის ხენჯის  $\text{Fe}_3\text{O}_4$ -ის წარმოქმნის გამო. გარდა ამისა, რკინის პენტაკარბონილი ბენზინში ძალზე სწრაფად იშლება სინათლის ზეგავლენით. 1958 წ-მდე გარდა ტეტრაეთილტყვიისა, ერთადერთ სამრეწველო დეტონატორს წარმოადგენდა ქსილიდინების ნარევი CS (კუმოლის შემცველი). მეორე მსოფლიო ომის დროს ეს ნარევი გამოიყენებოდა დიდ ბრიტანეთში ზოგიერთ საავიაციო ძრავაში [4].

როგორც წესი, ტეტრაეთილტყვიის კონცენტრაციის გაზრდასთან ერთად ბენზინში ყოველი შემდგომი ულუფის ეფექტურობა მცირდება, ამიტომ ტეტრაეთილტყვიის დიდი რაოდენობით დამატებას არა აქვს აზრი. ჯერ კიდევ 1926 წ. აშშ-ის ჯანმრთელობის სამსახურმა შემოიღო ტეტრაეთილტყვიის შეზღუდვა საავტომობილო ბენზინში მის შემცველობაზე 0.795 მლ 1 ლ-ში მისი ტოქსიკურობის გამო. ეს კონცენტრაცია შემდგომში აღარ გაზრდილა.

უნდა აღინიშნოს, რომ ტეტრაეთილტყვიის ეფექტურობა დიდად არის დამოკიდებული ბენზინის შემადგენლობაზე. ჩვეულებრივ, ტეტრაეთილტყვია უფრო ეფექტურია ინდივიდუალურ პარაფინულ ან ნაფტენურ ნახშირწყალბადებში. ამასთან ერთად, ტეტრაეთილტყვია ძალზე მგრძნობიარეა გოგირდოვანი ნაერთების შემცველობის მიმართ. ცველაზე მეტად ტეტრაეთილტყვიის მიმართ ანტაგონისტები არიან მერკაპტანები და პოლისულფიდები. ჩვეულებრივ გოგირდიანი ნავთობებიდან მიღებული პირდაპირნახადი ბენზინური ფრაქციისათვის ტეტრაეთილტყვიის დამატება ნაკლებად ეფექტურია.

1958 წელს შემუშავებულ იქნა მანგანუმორგანული ანტიდეტონატორი. სამრეწველო მასშტაბით მისი გამოშვება დაიწყო 1959 წლიდან. ეს იყო მანგანუმის მეთოლციკლოპენტადიენილტრიკარბონილი. ამ დანამატის (AK – 33X) შემუშავებას ხელი შეუწყო ფენოცენმა (რკინის ბისციკლოპენტადიენილი), რომელიც წარმოადგენდა პირველ მეტალორგანულ ნაერთის გარდამავალ მეტალთან. ვინაიდნ თანამედროვე საავტომობილო ბენზინები მაღალარომატიზირებულია, ამ დანამატის გამოყენება შედარებით მოკრძალებულია. AK – 33X ძალზე ძვირია, რათა გამოყენებულ იქნას ძირითად ანტიდეტონაციურ დანამატად. უნდა აღინიშნოს, რომ მაღალოქტენური, მაღალარომატული ბენზინებისათვის ტეტრაეთილტყვიაზე უფრო ეფექტურია ტეტრამეთილტყვია. მისი სამრეწველო დამზადება დაიწყო 1960 წელს. თუმცა მანაც ვერ ჰპოვა დიდი გამოყენება ტოქსიკურობის გამო. გამოიყენება ასევე ტყვიის შერეული მეთილ და ეთილალკილები, მაგრამ აქაც არის პრობლემები ტოქსიკურობასთან დაკავშირებით.

### ინფორმაცია ანტიდეტონაციური მოქმედების მექანიზმის შესახებ

მიუხედავად იმისა, რომ თითქმის 80 წელია რაც ბენზინში ანტიდეტონატორული დანამატები გამოიყენება, დეტონაციის დათრგუნვის მექანიზმი მთლიანად ჯერ არ არის ნათელი, თუმცა ამ საკითხთან დაკავშირებით არსებობს გარკვეული მოსაზრებები.

როგორც აღნიშნეთ, ბენზინურ ძრავებში ნახშირწყალბადოვანი საწვავი ორ საფეხურად იწვის [5]. დგუშის ზემოთ ასვლის დროს ხდება საწვავ-ჰერის ნარევის შეკუმშვა, რომელიც იწვევს წნევისა და ტემპერატურის გაზრდას. შემდგომ ნაპერწყალი აალებს საწვავ-ჰერის ნარევს და ალის ფრონტი, რომელიც ვრცელდება ცილინდრში, როგორც დგუში დამატებით კუმშვას ჯერ კიდევ დაუწვავ ნარევს, სადაც ხდება აალების წინა რეაქციები. თუ ნორმალური ალის ფრონტი თანაბრად გადაადგილდება წვის კამერაში, მაშინ გაზი იწვება დეტონაციის გარეშე. დეტონაცია წარმოიქმნება, თუ მიმდინარეობს წვის ძალზე სწრაფი რეაქციები სამუშაო ნარევის უკანასკნელ ულუფებში, გადაადგილებული ალის ფრონტის წინ. წინააალების რეაქციების პროდუქტები ქმნიან დეტონაციის ხელშემწყობ პირობებს.

ანილინი და მისი ნაწარმები ამუხრუჭებენ ცივი ალის წარმოქმნას. ანილინის ეს თვისება განაპირობებს მის ანტიდეტონაციურ მოქმედებას. თვლიან, რომ არომატული ანტიდეტონატორული მოქმედება თავისი ხასიათით მათ მიერ თხევად- ფაზური დაუანგვის რეაქციის დათრგუნვის ანალოგიურია. ამ შემთხვევაში ამინები მოქმედებს, როგორც დაუანგვის ჯაჭვური რეაქციის გამწვეტები თავისუფალი რადიკალების მოსპობის ხარჯზე. ეს მიიღწევა თავისუფალ რადიკალზე წყალბადის ატომის გადაცემის შედეგად, რომლის დროსაც წარმოიქმნება სტაბილური მოლეკულა და ამინის ნარჩენი, როგორც თავისუფალი რადიკალი, რომელსაც შეუძლია ჯაჭვის გაგრძელება.

ტეტრაეთილტყვიის შემთხვევაში ცნობილია, რომ თავიდან ხდება წვის კამერაში მისი დაშლა და მხოლოდ შედეგ მედანზე ანტიდეტონაციური მოქმედება.

ვინაიდან წვის დროს ხდება ეთილინებულ ბენზინებში არაორგანული პროდუქტების მიღება, ისინი ნამწვის სახით გროვდებიან სანთლებზე, რაც დიდ პრობლემას ქმნის, ამიტომ ტეტრაეთილტყვიასთან ერთად ჩვეულებრივ იყენებენ უწ. გამომტანებს. ეთილინებულ ბენზინს უმატებენ დიქლორ- და დიბრომეთანს. ჩვეულებრივ წინასწარ ამზადებენ ტეტრაეთილტყვიის ნარევს გამომტანებთან და შემდგომ უმატებენ. გამომტანებად იყენებენ ფოსფორის ნაერთებსაც [6-10].

ამჟამად, მსოფლიოში სულ უფრო გაზრდილია მოთხოვნები საავტომობილო ბენზინების ეკოლოგიურ მახასიათებლებზე. განვითარებულ ქვენებში მიღებული სტანდარტებით აკრძალულია ტყვია და მმიმე მეტალების შემცველი დანამატების გამოყენება, ბენზოლის შემცველობა არ უნდა აღემატებოდეს – 0.8%-ს, მთლიანი არომატიკა – 25%-ს. შეზღუდულია ასევე უანგბადშემცველი ნაერთებისა და ფოსფორიული დანამატების შემცველობაც. ეს ძალზე მკაცრი მოთხოვნებია და საჭირო ხდება თანამედროვე მაღალოქტანური ბენზინების მისაღებად ბენზინების წარმოების ტექნოლოგიური კონფიგურაციის შეცვლა. ცველაზე მეტად პერსპექტიულად გამოიყურება ბენზინური ფრაქციის მაქსიმალური იზომერიზაცია, განსაკუთრებით C<sub>5</sub> – C<sub>6</sub>, რათა შემდგომ რიფორმინგის ან დისპროპორციონირების პროცესების ჩატარებით მივიღოთ მაღალოქტანური ბაზისური ბენზინი, რომელშიც მაქსიმალურად იქნება შემცირებული ბენზოლი

და ჯამური არომატიკა. შემდგომ ეტაპზე ეკოლოგიურად ნაკლებად სახიფათო ორგანული დანამატების გამოყენებით მიღება მსოფლიო სტანდარტების შესაბამის ბენზინს.

ამდენად, საქართველოს პირობებში მაღალოქტანური ბენზინის მისაღებად საქართველოს საბადოების ნედლი ნავთობის ქიმიური შემადგენლობის გათვალისწინებით აუცილებელი ხდება იზომერიზაციის პროცესის მაქსიმალური გამოყენება, რომელიც ამავე დროს დააგმაყოფილებს თანამედროვე ეკოლოგიურ მოთხოვებს.

#### ლიტერატურა – REFERENCES – ЛИТЕРАТУРА

1. Ахметов С.А. Технология глубокой переработки нефти и газа. Уфа: «ГИЛЕМ», 2002, 671с.
2. Капустин В. М. Основные каталитические процессы переработки нефти. – М., 2006, 116 с.
3. Маноян А. К. Технология переработки природных энергоносителей. – М., Химия, 2004, 456 с.
4. Kevin N., Clean air and renewable fuels: the market for fuel ethanol in the US from 1984 to 1993, Energy Economics, 1998, V. 20, P. 325–345.
5. Storcha H., Costa-Cabrala M., Hagnera Ch., Fesera F., Four decades of gasoline lead emissions and control policies in Europe: a retrospective assessment, Science of The Total Environment, 2003, V.311, P. 151–176.
6. Serap E., Gasoline Additives and Public Health, Encyclopedia of Energy, 2004, P. 821–830.
7. Abramova A. V., Panin, A. A., Kliger G. A., Kulikova E. A., Slivinsky E. V., Production of synthetic fuels from alternative petroleum raw material by method of Fischer-Tropsch on zeolite catalyst, Stud. Surf. Sci. Catal., 2005, p.1709-1716.
8. Skjoedt M., Butts R., Assanis D., Bohac S., Effects of oil properties on spark-ignition gasoline engine friction, Tribology International, 2008, V. 41, P. 556–563.
9. Igartua A., Areitioaurtenaa O., Lutherb R., Seyfertb Ch., Biolubricants and triboreactive materials for automotive applications, Tribology International, 2009, V. 42, P.561–568.
10. Stout S, Douglas G, Uhler A., Contaminant Specific Guide, Environmental Forensics, 2005, P. 465–531.

#### ECOLOGICALLY SAFE ORGANIC ADDITIVES FOR CAR GASOLINE

Leila Tatiashvili, Nana Tserodze, Ketevan Kochiashvili, Maia Japaridze, Rusudan Tsiskarishvili, Irma Mikadze  
*Petre Melikishvili Institute of Physical and Organic Chemistry*  
*at Ivane Javakhishvili Tbilisi State University*

#### SUMMARY

Crude oil of Georgian oil fields is mainly paraffin-naphthenic. Gasoline fraction, so called naphta, obtained from its direct distillation is law octane. To get a high quality petrol it is necessary to use additional processes and additives. Based on this, it gets important to develop new methods for obtaining organic additives, which are less dangerous than anti-detonators containing heavy metals. Additionally to that, they do not change gasoline oil character.

#### ЭКОЛОГИЧЕСКИ БЕЗОПАСНЫЕ ОРГАНИЧЕСКИЕ ПРИСАДКИ ДЛЯ АВТОМОБИЛЬНОГО ТОПЛИВА

Л.Т.Татиашвили, Н.П.Церодзе, К.Н.Кочиашвили, М.З.Джапаридзе, Р.П.Цискаришвили, И.И.Микадзе  
*Институт физической и органической химии им. П.Г.Меликисвili*  
*Тбилисского государственного университета им. И.Джавахишвили*

#### РЕЗЮМЕ

Сырая нефть грузинских месторождений в основном имеет парафино-нефтяной характер. Бензиновая фракция, полученная прямой перегонкой, так называемая нафта, сравнительно низкооктановая. Для получения высококачественного бензина требуется использовать дополнительные процессы и присадки. Исходя из этого, необходимо разработать методику производства таких органических присадок, которые гораздо менее опасны, чем антидетонаторы, содержащие тяжёлые металлы, при этом не меняя нефтяной характер бензина.

## 06 ფორმაცია ავტორებისათვის

ურნალი “საქართველოს მეცნიერებათა ეროვნული აკადემიის მაცნე. ქიმიის სერია” აქვეყნებს სტატიებს ქიმიური მეცნიერების დარგში ქართულ, ინგლისურ და რუსულ ენებზე; მიმოხილვებისა და ინფორმაციული ხასიათის მასალების წარმოდგენა შესაძლებელია სარედაქციო კოლეგიასთან შეთანხმებით. გამოსაქვეყნებელი მასალის მოცულობა, ფორმატი და მისი წარმოდგენის სხვა პირობები შეთანხმებული უნდა იყოს პასუხისმგებელ მდივანთან, ავტორებმა ტექსტი უნდა წარმოადგინონ ელექტრონულ ფორმაში, Microsoft Word ფაილის (\*.doc ან \*.rtf) სახით, ნახაზები და სურათები – შავ-თეთრი გრაფიკული (\*.bmp, \*.dib, \*.jpg, \*.gif და სხვ.) ფაილების სახით. სამეცნიერო სტატიების ავტორების დასახმარებლად რედაქციის მიერ გათვალისწინებულია როგორც სტანდარტული ელექტრონული ფორმატები სამივე ენაზე, ისე სხვა ტექნიკური მომსახურება. Chemical Abstracts-სა (ინგლისურ ენაზე) და საქართველოს რევერსულ უფრნალში (ქართულ და ინგლისურ ენებზე) სტატიის რეფერირებისათვის ავტორი ვალდებულია გათვალისწინოს შინაარსობრივი რეზუმეების მომზადება ორივე ენაზე.

სარედაქციო კოლეგიასთან შეთანხმებული საფასური უნდა იყოს გადარიცხული საქართველოს მეცნიერებათა ეროვნული აკადემიის ანგარიშზე “ლიბერთი” ბანკში № GE80LB0121115150495000, საიდენტიფიკაციო კოდი 203851536.

## INFORMATION for AUTHORS

The journal “**Proceedings of the Georgian National Academy of Sciences. Chemical series**” is publishing articles in a field of chemical sciences in Georgian, English, and Russian, reviews and informational/advertising materials may be submitted after consultations with the Editorial Board. Volume, format, and other details of contribution are to be discussed with the Executive Secretary; Authors submit texts of articles in a form of Microsoft Word files (\*\*\*.doc or \*\*\*.rtf), figures and pictures – as monochrome (\* bmp, \*.dib) or black/white (\*.jpg, \*.gif, etc.) files. To help Authors of scientific articles, standard Georgian, English, and Russian formats are provided as well as other technical service and support. For references of the article in the Chemical Abstracts (in English) and in the Georgian Abstracts Journal (in Georgian and in English) authors are obliged to foresight substantial summaries in both languages.

Agreed with the Editorial Board publishing expenses are to be paid at the Liberty Bank on the account of the Georgian National Academy of Sciences No GE80LB0121115150495000, identification code 203851536.

## ИНФОРМАЦИЯ ДЛЯ АВТОРОВ

Журнал "Известия Национальной Академии наук Грузии. Серия химическая" публикует статьи и краткие сообщения в области химических наук на грузинском, английском и русском языках; обзорные статьи и материалы информационного характера публикуются по предварительному согласованию с редакционной коллегией. Объем, формат и условия представления материала для публикации следует согласовать с ответственным секретарем; авторы должны представить тексты в виде файлов Microsoft Word (\*\*\*.doc или \*\*\*.rtf), а рисунки, чертежи и фотоснимки – в виде черно-белых графических (\*.bmp, \*.dib, \*.jpg, \*.gif и др.) файлов. Для оказания помощи авторам научных статей, редакция предусматривает стандартные электронные формы на всех трех языках, а также другую техническую поддержку. Для реферирования статьи в Chemical Abstracts (на английском языке) и Грузинском реферативном журнале (на английском и грузинском языках) авторам следует предусмотреть содержательные резюме на обоих языках.

Оплата расходов по публикации производится перечислением согласованной с коллегией суммы на счёт Национальной Академии наук Грузии в банке «Либерти» № GE80LB0121115150495000, идентификационный код 203851536.